

# Automatic Compilation and Semi-Automatic Validation of Abstract DEVS Models

Diego A. Hollmann

This document contains the manuscript of my thesis written in Spanish with its abstract in English and two articles published in English summarizing the thesis:

- Hollmann, D.A., Cristiá, M., Frydman, C. CML-DEVS: a specification language for DEVS conceptual models. En *Simulation Modelling Practice and Theory*, Elsevier, vol. 57, pág 100-117. 2015.
- Hollmann, D.A., Cristiá, M., Frydman, C. A Family of Simulation Criteria to Guide DEVS Models Validation Rigorously, Systematically and Semi-Automatically. En *Simulation Modelling Practice and Theory*, Elsevier, vol. 49, pág. 1-26. 2014.

Universidad Nacional de Rosario  
Facultad de Ciencias Exactas, Ingeniería y Agrimensura  
Realizada en el Centro Internacional Franco Argentino de Ciencias de la  
Información y de Sistemas



Tesis Doctoral

# Traducción y Validación Sistemática y Automática de Modelos DEVS Abstractos

Diego Ariel Hollmann  
Doctorando

Directora: Dra. Claudia Frydman  
Co-Director: Dr. Maximiliano Cristiá

Miembros del Jurado:  
Dr. Silvio Gonnet  
Dr. Nazareno Aguirre  
Dr. Ernesto Kofman

*Tesis presentada en la Facultad de Ciencias Exactas, Ingeniería y Agrimensura en  
cumplimiento parcial de los requisitos para optar al título de*

**Doctor en Informática**

**Rosario, Argentina, Marzo de 2015**



Certifico que el trabajo incluido en esta Tesis es el resultado de tareas de investigación originales y que no ha sido presentado previamente para optar a un título de posgrado en ninguna otra Universidad o Institución.

**Diego Ariel Hollmann**



*a Ana Inés  
y a mis viejos y hermanos*



# Agradecimientos

Quiero agradecer, en primer lugar a mis directores, Claudia y Maxi, por guiarme y apoyarme durante el largo y duro proceso del doctorado, que se refleja en esta tesis. A mis compañeros de oficina, Pablo, Dante, Laura, Pame y Cristian por hacer del lugar de trabajo, un espacio dónde dan ganas de estar. Quiero agradecer especialmente a Pablo Granitto por toda la ayuda invaluable y desinteresada que me ha brindado a lo largo de todo el doctorado. En este aspecto, no puedo dejar de agradecer a Fede Bergero, quien estuvo siempre a disposición cada vez que necesité una mano. Gracias a todos los compañeros del CIFASIS, por la calidez brindada en cada charla, mate de por medio, en cada almuerzo o en cada simple cruce por los pasillos; construyendo un instituto de gran capital humano.

Quiero agradecer también a mis compañeros y amigos de la facultad, Rafa, Pela, Andrés, Fede, Mono, Pablo, Mariano, Iván, Hernán; con quienes di los primeros pasos en este universo académico y me siguen acompañando en la vida al día de hoy.

Este logro no hubiera sido posible sin el apoyo de toda mi familia y amigos. No sólo en el desarrollo de esta tesis, sino a lo largo de todo el doctorado así como también en mi carrera de grado. El profesional que intento llegar a ser, es debido a ellos.

Conjuntamente al desafío de este doctorado, comenzamos una nueva aventura con Ana. Su apoyo diario hizo que pueda lograr este objetivo, sin dejar de mencionar que ha sido la etapa más feliz de mi vida. Lo que sigue seguramente será aún mejor. Gracias por tu amor incondicional. Gracias por ser, ni más ni menos, el amor de mi vida.





# Índice de contenidos

Agradecimientos	v
Índice de contenidos	vii
Índice de figuras	xi
Índice de tablas	xiii
Abstract	xv
Resumen	xvii
<b>1. Introducción y Motivaciones</b>	<b>1</b>
1.1. Modelado y Simulación de Sistemas a Eventos Discretos . . . . .	1
1.2. Descripción del Formalismo DEVS . . . . .	2
1.2.1. Ejemplos de modelos DEVS . . . . .	3
1.3. Simuladores DEVS . . . . .	7
1.3.1. PowerDEVS . . . . .	7
1.3.2. DEVS-Suite . . . . .	8
1.4. Motivaciones y Contribuciones de esta Tesis . . . . .	8
<b>2. Especificación Abstracta de Modelos DEVS</b>	<b>11</b>
2.1. Introducción . . . . .	11
2.2. Trabajos Relacionados y Otros Enfoques . . . . .	14
2.3. Definiendo modelos DEVS abstractos con CML-DEVS . . . . .	16
2.3.1. Estructura de un Modelo Atómico . . . . .	18
2.3.2. Definiciones . . . . .	19
2.3.3. Funciones de Transición, Salida y Avance de Tiempo . . . . .	20
2.3.4. Parámetros del modelo . . . . .	25
2.3.5. Funciones definidas por el modelador . . . . .	25
2.3.6. Valores iniciales de las variables de estado para la simulación . .	27
2.4. Renderización de un modelo CML-DEVS . . . . .	27

2.5.	Traducción de modelos CML-DEVS a modelos concretos . . . . .	27
2.5.1.	Pre-procesamiento . . . . .	28
2.5.2.	Reglas de traducción . . . . .	30
2.5.3.	Funciones definidas por el usuario . . . . .	37
2.5.4.	Post-procesamiento . . . . .	37
2.6.	Conclusiones y otras consideraciones . . . . .	39
<b>3.</b>	<b>Validación de Modelos DEVS</b>	<b>43</b>
3.1.	Introducción . . . . .	43
3.1.1.	Validación de modelos de simulación y el testing basado en modelos	44
3.2.	Trabajos Relacionados y Otros Enfoques . . . . .	48
3.3.	Partición del conjunto de configuraciones de simulación . . . . .	50
3.4.	Criterios de Partición . . . . .	53
3.4.1.	Funciones de transición definidas por casos . . . . .	53
3.4.2.	Conjuntos definidos por extensión . . . . .	54
3.4.3.	Conjuntos definidos por comprensión . . . . .	55
3.4.4.	Particiones estándar . . . . .	56
3.4.5.	Propagación de dominios . . . . .	56
3.4.6.	Particiones del tiempo . . . . .	57
3.5.	Combinando clases . . . . .	59
3.6.	Secuenciación de simulación . . . . .	61
3.7.	Automatización y otras cuestiones . . . . .	62
3.8.	Conclusiones y trabajo futuro . . . . .	64
<b>4.</b>	<b>Casos de Estudio</b>	<b>67</b>
4.1.	Ascensor . . . . .	67
4.1.1.	Modelo DEVS abstracto . . . . .	68
4.1.2.	Modelo en CML-DEVS . . . . .	72
4.1.3.	Modelos de simulación concretos . . . . .	78
4.1.4.	Aplicación de los Criterios . . . . .	78
4.2.	Máquina expendedora de gaseosas . . . . .	81
4.2.1.	Modelo DEVS abstracto . . . . .	82
4.2.2.	Modelo en CML-DEVS . . . . .	83
4.2.3.	Modelos de simulación concretos . . . . .	86
4.2.4.	Aplicación de los criterios . . . . .	86
<b>5.</b>	<b>Conclusiones generales y trabajo futuro</b>	<b>91</b>
5.1.	Conclusiones generales . . . . .	91
5.2.	Temas abiertos y trabajo futuro . . . . .	93

---

<b>A. EBNF del lenguaje CML-DEVS</b>	<b>95</b>
<b>B. ModDEVS - Reglas de Traducción</b>	<b>99</b>
B.1. Estructura General . . . . .	99
B.1.1. Estructura general de un modelo atómico DEVS-Suite . . . . .	99
B.1.2. Estructura general de un modelo atómico PowerDEVS . . . . .	100
B.2. Definiciones . . . . .	101
B.3. Puertos de entrada . . . . .	106
B.4. Puertos de salida . . . . .	106
B.5. Funciones de transición, salida y avance de tiempo . . . . .	107
B.5.1. Asignaciones . . . . .	108
B.5.2. Estructura “For Each” . . . . .	113
B.5.3. Definiciones por caso . . . . .	114
B.5.4. Condiciones . . . . .	115
B.5.5. Sentences “Where” . . . . .	126
B.6. Funciones definidas por el usuario . . . . .	126
B.7. Código Java y Código C++ . . . . .	127
B.7.1. Código Java (Expr) . . . . .	127
B.7.2. Código C++ (Expr) . . . . .	130
B.7.3. Nombres . . . . .	133
B.8. Funciones Auxiliar . . . . .	134
<b>C. SCCs generadas para el Ascensor</b>	<b>139</b>
C.1. Funciones de transición definidas por casos . . . . .	139
C.2. Conjuntos definidos por extensión . . . . .	140
C.3. Particiones estándar . . . . .	141
C.4. Particiones del tiempo . . . . .	141
<b>D. SCCs generadas para la máquina expendedora de gaseosas</b>	<b>143</b>
D.1. Funciones de transición definidas por casos . . . . .	143
D.2. Particiones estándar . . . . .	143
D.3. Conjuntos definidos por extensión . . . . .	144
D.4. Particiones del tiempo . . . . .	144
<b>Bibliografía</b>	<b>147</b>
<b>Publicaciones durante el doctorado</b>	<b>155</b>



# Índice de figuras

1.1. Trayectorias de un modelo DEVS . . . . .	4
2.1. Modelado de un sistema con CML-DEVS . . . . .	13
2.2. Modelo de la Cola de Procesamiento en CML-DEVS . . . . .	18
2.3. CML-DEVS - Ejemplos de variables de estado y puertos de entrada y salida . . . . .	19
2.4. CML-DEVS - Ejemplo de asignaciones . . . . .	22
2.5. CML-DEVS - Ejemplo de una sentencia <i>for each</i> . . . . .	22
2.6. CML-DEVS - Ejemplos de condiciones . . . . .	24
2.7. CML-DEVS - Ejemplo de una sentencia <i>where</i> . . . . .	24
2.8. CML-DEVS - Ejemplo de una función definida por el modelador . . . . .	26
2.9. Traducción de modelos CML-DEVS a diferentes lenguajes de simulación	28
2.10. Traducción de una unión de CML-DEVS a DEVS-Suite . . . . .	33
2.11. Traducción de una unión de CML-DEVS a PowerDEVS . . . . .	34
2.12. Traducción de asignaciones básicas de CML-DEVS a código DEVS-Suite	35
2.13. Traducción de asignaciones básicas de CML-DEVS a código PowerDEVS	35
2.14. Traducción de una sentencia <i>foreach</i> de CML-DEVS a código Java . . .	35
2.15. Traducción de una sentencia <i>foreach</i> de CML-DEVS a código C++ . . .	36
2.17. Traducción de sentencias <b>case</b> de CML-DEVS a PowerDEVS . . . . .	36
2.16. Traducción de sentencias <b>case</b> de CML-DEVS a DEVS-Suite . . . . .	36
2.18. Traducción de condiciones de CML-DEVS a código Java . . . . .	36
2.19. Traducción de condiciones de CML-DEVS a código C++ . . . . .	37
2.20. Traducción de una sentencia “where” de CML-DEVS a código Java . . .	37
2.21. Traducción de una sentencia “where” de CML-DEVS a código C++ . . .	37
2.22. Traducción de una función definida con CML-DEVS a código Java . . .	38
2.23. Traducción de una función definida con CML-DEVS a código C++ . . .	38
3.1. V&V de modelos de simulación en el proceso de modelado . . . . .	44
3.2. Validación de modelos DEVS a través de simulación . . . . .	46
3.3. Selección tradicional de configuraciones de simulación . . . . .	50
3.4. Nuestra propuesta: Partición de las configuraciones de simulación . . . .	51

---

4.1. Modelo DEVS del sistema de control de un ascensor (Parte A) . . . . .	68
4.2. Modelo DEVS del sistema de control de un ascensor (Parte B) . . . . .	69
4.3. Modelo DEVS del sistema de control de un ascensor (Parte C) . . . . .	70
4.4. Modelo DEVS del sistema de control de un ascensor (Parte D) . . . . .	71
4.5. Modelo DEVS del sistema de control de una máquina expendedora de gaseosas (Parte A) . . . . .	82
4.6. Modelo DEVS del sistema de control de una máquina expendedora de gaseosas (Parte B) . . . . .	83
B.1. Esquema de una regla de traducción . . . . .	102

# Índice de tablas

2.1. CML-DEVS - Operadores y funciones matemáticas . . . . .	22
2.2. CML-DEVS - Operadores relacionales . . . . .	23
2.3. Traducción de tipos básicos, Sets y List . . . . .	32





# Abstract

This thesis presents two original contributions on the modeling and simulation field, more precisely, of models based on the DEVS formalism.

The first contribution is a language that allows the description of DEVS abstract models (based on mathematics and logic) which later can be translated automatically into different simulation languages. This allows describing a DEVS model without having to know the input language of the target simulation tool. Currently, models are written directly in the concrete language or the translation of the abstract model into a concrete model (in the simulator) is done manually. Both alternatives are error prone during the modeling phase and requires the specialist having programming skills or asking someone else to translate the models. Thus, with our proposal, the insertion of errors during the modeling phase is avoided and, on the other hand, allows the specialists to describe their models without knowing any particular programming language. Furthermore, it allows using several simulation tools to simulate the model.

The second contribution is a new methodology to rigorously and systematically validate DEVS models allowing the semi-automation of this process. In general, DEVS models are validated through simulation, comparing the behavior and the results against the requirements of the system being modeled. The number of simulation scenarios is usually infinite, therefore, selecting which scenarios must be simulated becomes a crucial task. The selected scenarios must include those that can reveal possible errors in the model, leaving no key aspect of the model without analyzing and excluding redundant scenarios, turning the validation task in an efficient process (number of errors found over the number of simulations performed). This selection is currently done by following the experience or intuition of an specialist. The methodology presented in this thesis is based on a family of simulation criteria to guide the selection of simulation scenarios in a disciplined way covering the most significant simulations. This is achieved by analyzing the mathematical and logical structure of the DEVS model. To automate this process, it is necessary that the model be described in its most abstract form, possibly, using the modeling language proposed as the first contribution.



# Resumen

Esta tesis presenta dos aportes originales que se enmarcan dentro del modelado y simulación de sistemas, más precisamente, de modelos basados en el formalismo DEVS.

El primer aporte consiste en un lenguaje que permite la descripción de modelos DEVS abstractos (basados en matemática y lógica) y que luego pueden ser traducidos en forma automática a diferentes lenguajes de simulación. Esto permite describir un modelo DEVS sin que sea necesario conocer el lenguaje de entrada de la herramienta de simulación que se desea utilizar. En general, se escribe el modelo directamente utilizando el lenguaje concreto, o la traducción del modelo abstracto al modelo concreto (en el simulador) se realiza manualmente. Ambas alternativas, son propensas a la inserción de errores durante el modelado y requiere que el especialista tenga nociones o conocimientos de programación para implementar sus modelos o necesita de alguien para esto. Entonces, con el lenguaje de modelado propuesto en esta tesis se evita por un lado, la incorporación de errores en la traducción de los modelos y por otro, permite al especialista modelar el sistema sin la necesidad de conocer un lenguaje de programación en particular. Podemos agregar, además, que permite usar varios simuladores para simular el modelo.

La segunda contribución es una nueva metodología para validar modelos DEVS en forma rigurosa y sistemática permitiendo la semi-automatización del proceso de validación. Generalmente los modelos DEVS se validan simulándolos con alguna herramienta de simulación, comparando el comportamiento y los resultados obtenidos con los requerimientos del sistema que está siendo modelado. El número de escenarios de simulación es usualmente infinito, entonces, seleccionar cuáles de estos escenarios simular se convierte en una tarea crucial. El conjunto de escenarios seleccionados debe incluir aquellos que puedan revelar posibles errores en el modelo sin dejar ningún aspecto del mismo sin analizar y no incluir escenarios redundantes convirtiendo a la tarea de validación en un proceso eficiente (hallazgo de errores en función de la cantidad de simulaciones realizadas). Esta selección, actualmente, se realiza siguiendo la experiencia o intuición de un especialista. La metodología presentada en esta tesis se basa en una familia de criterios de simulación que permite seleccionar los escenarios de simulación de modelos DEVS en forma disciplinada, cubriendo las simulaciones más significativas. Esto se obtiene analizando la representación y estructura matemática y lógica del modelo DEVS.

Para automatizar este proceso es necesario que el modelo se encuentre descrito en forma abstracta, posiblemente, utilizando el lenguaje de modelado propuesto como la primera contribución.

# Capítulo 1

## Introducción y Motivaciones

En esta tesis se presenta un lenguaje que permite la descripción abstracta de modelos DEVS y una nueva metodología para validar dichos modelos. El formalismo DEVS es el formalismo más general para describir sistemas de eventos discretos y, en la actualidad, su uso se ha extendido en los ambientes más diversos. DEVS es utilizado tanto por centros de investigación y universidades, por la industria e ingeniería en general e incluso por departamentos de defensa o instituciones militares. Para poder describir el lenguaje de modelado y esta nueva metodología de validación que se presenta, es necesario primero introducir tanto el modelado y simulación de sistemas a eventos discretos como el formalismo DEVS. Este capítulo es, por tanto, una introducción a estos temas y termina con una descripción de las motivaciones y los aportes que esta tesis presenta y cómo se estructura la misma.

### 1.1. Modelado y Simulación de Sistemas a Eventos Discretos

El desarrollo y uso de modelos de simulación se ha incrementado considerablemente en los últimos años. Frecuentemente son utilizados como la primera representación de sistemas y luego son utilizados para tomar decisiones sobre situaciones críticas. Otras veces son utilizados para realizar experimentos dado que es poco viable o muy costoso experimentar sobre el sistema real.

Este gran crecimiento, ha llevado al desarrollo de sistemas cada vez más complejos, como sistemas de control de tráfico aéreo, sistemas automatizados de manufacturación, sistemas de navegación o pilotos automáticos, control de velocidad crucero, etc. La complejidad de estos sistemas se debe a la variedad de requerimientos de los mismos, incluyendo propiedades sobre funciones, requerimientos de rendimiento, restricciones de tiempo real.

Todos estos sistemas se caracterizan por la ocurrencia de *eventos discretos* que suceden en forma asincrónica. Estos sistemas se denominan *Sistemas de Eventos Discretos* (DES). En esta clase de sistemas, se asume que un número finito de eventos puede ocurrir en un intervalo de tiempo finito.

Existen varios formalismos para representar estos sistemas, i.e. Redes de Petri, Statecharts, Timed Automata, Máquinas de Estados Finitos, Cadenas de Markov. A finales de los años 70, abordando la problemática de la representación y simulación de DES, Bernard Zeigler propuso una teoría para el modelado y simulación de DES creando el formalismo DEVS [1] el cual permite modelar (y la posterior simulación) la dinámica de estos sistemas. DEVS está basado en la teoría general de sistemas y es el formalismo más general para describir sistemas de eventos discretos. Todo modelo representado por alguno de los formalismos mencionados anteriormente, puede ser representado utilizando DEVS [2].

La generalidad de DEVS se deriva del hecho de que permite el modelado de sistemas con un conjunto infinito de posibles estados; donde el nuevo estado, después de un evento de llegada, puede depender del tiempo (continuo) transcurrido desde el estado anterior [3]. Por otro lado, DEVS es un formalismo independiente de toda implementación.

## 1.2. Descripción del Formalismo DEVS

Existen dos clases de modelos, modelos *atómicos* y modelos *acoplados*. Todo el trabajo de esta tesis involucra solamente modelos atómicos. De hecho, un modelo acoplado es equivalente a un (tal vez complicado) modelo atómico [1]. Un modelo DEVS atómico está definido por la estructura:

$$M = \langle X, Y, S, \delta_{int}, \delta_{ext}, \lambda, ta \rangle$$

donde:

- $X = \{(p, v) \mid p \in InPorts, v \in X_p\}$  es el conjunto de puertos de entrada y valores, donde *InPorts* representa el conjunto de puertos de entrada y  $X_p$ , el conjunto de valores para los puertos de entrada;
- $Y = \{(p, v) \mid p \in OutPorts, v \in Y_p\}$  es el conjunto de puertos de salida y valores, donde *OutPorts* representa el conjunto de puertos de salida e  $Y_p$ , el conjunto de valores para los puertos de salida;
- $S$  es el conjunto de valores del estado,
- $\delta_{int}: S \rightarrow S$  es la *Función de Transición Interna* (*Internal Transition Function*),

- $\delta_{ext}: Q \times X \rightarrow S$  es la *Función de Transición Externa* (*External Transition Function*), donde:

$Q = \{(s, e), s \in S, 0 \leq e \leq ta(s)\}$  es el conjunto de estados totales, y  $e$  es el *tiempo transcurrido* (*Elapsed Time*) desde la última transición;

- $\lambda: S \rightarrow Y$  es la función de salida; y
- $ta: S \rightarrow \mathbb{R}_{0,\infty}^+$  es la *Función de Avance de Tiempo* (*Time Advance Function*).

Las funciones  $\delta_{int}$ ,  $\delta_{ext}$  y  $ta$  definen la dinámica del sistema. En un momento dado, el sistema se encuentra en un estado  $s$ . Si no ocurre ningún evento externo el sistema permanecerá en dicho estado el tiempo determinado por  $ta(s)$ . Cuando  $ta(s)$  es 0, ocurre una transición interna. En ese caso, el sistema produce una salida  $y \in Y$  determinado por la función de salida  $\lambda$  ( $y = \lambda(s)$ ). Luego, el sistema asume un nuevo estado,  $s'$  determinado por  $\delta_{int}(s)$  ( $s' = \delta_{int}(s)$ ). Si en cambio  $ta(s) = \infty$ , se dice que el sistema está en un estado pasivo y permanecerá en el mismo hasta que un evento externo ocurra.

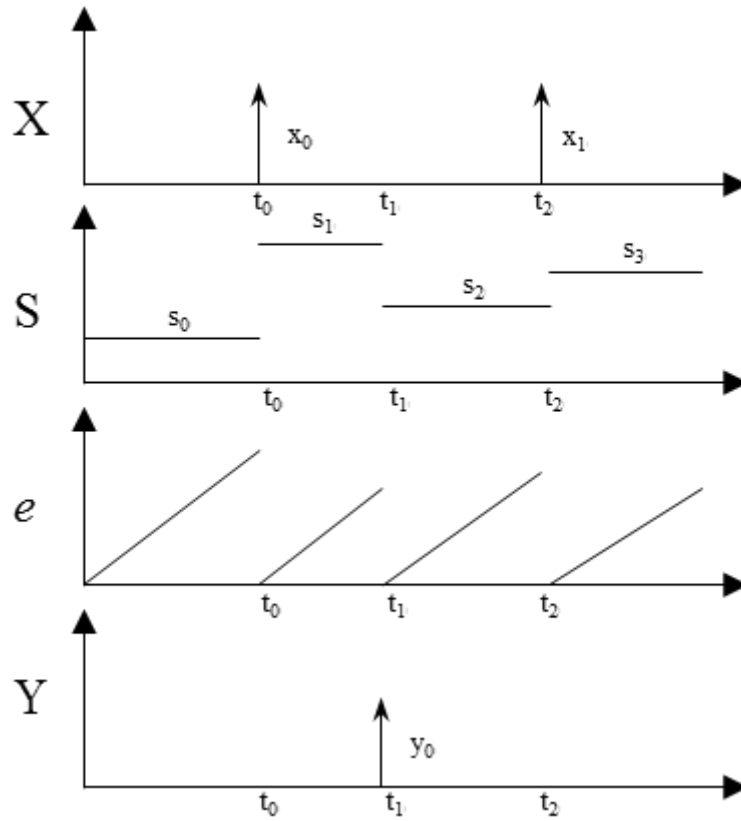
Cuando llega un evento de entrada,  $x \in X$ , el sistema cambia de estado inmediatamente y se dice que el sistema ejecuta una transición externa. El nuevo estado  $s'$  no depende, en este caso, solamente del estado previo, sino también del tiempo transcurrido desde la última transición,  $e$ , y del valor del evento de entrada,  $s' = \delta_{ext}(s, e, x)$ . En este caso, no se produce ningún evento de salida.

En la figura 1.1 vemos en un pequeño ejemplo la trayectoria de un modelo DEVS. Inicialmente, el sistema se encuentra en el estado  $s_0$ . En el instante  $t_0$ , y antes de que se cumpla el tiempo de avance asociado a  $s_0$ ,  $ta(s_0)$ , i.e.  $t_0 < ta(s_0)$ , se produce un evento de entrada,  $x_0$ . En ese instante, el sistema asume un nuevo estado determinado por la función de transición externa,  $s_1 = \delta_{ext}(s_0, e, x_0)$ . El tiempo transcurrido,  $e$ , en este caso es igual a  $t_0$ . Luego, al transcurrir  $ta(s_1)$  unidades de tiempo ( $t_1 = t_0 + ta(s_1)$ ), y en la ausencia de eventos de entrada, el sistema emite un evento de salida,  $y_0 = \lambda(s_1)$ , y realiza una transición interna asumiendo el nuevo estado  $s_2 = \delta_{int}(s_1)$ . Más tarde, en el instante de tiempo  $t_2$  ( $t_2 < ta(s_2) + t_1$ ) se produce un nuevo evento de entrada,  $x_1$ , haciendo que el sistema realice una nueva transición interna y asuma un nuevo estado,  $s_3 = \delta_{ext}(s_2, e, x_1)$ , con  $e = t_2 - t_1$ .

### 1.2.1. Ejemplos de modelos DEVS

Presentamos a continuación algunos simples ejemplos para entender mejor el comportamiento de los modelos DEVS y cómo se describen los mismos. Los ejemplos están basados en los del libro de Zeigler et al [1].





**Figura 1.1:** Trayectorias de un modelo DEVS

### Generador

El primer ejemplo, es el modelo muy simple de un generador,  $M_{gen}$ , que no recibe ningún evento de entrada y emite, periódicamente, un 1. Al no recibir ningún evento de entrada, la función de transición externa,  $\delta_{ext}$  no se describe. El período cada cual se emite el evento de salida es de  $T_{gen}$  unidades de tiempo.

$$M_{gen} = \langle X, Y, S, \delta_{int}, \delta_{ext}, \lambda, ta \rangle$$

- $X = \{\}$
- $Y = \{(out, 1)\}$
- $S = \mathbb{R}_0^+$
- $\delta_{int}(\sigma) = T_{gen}$
- $\lambda(s) = (out, 1)$
- $ta(\sigma) = \sigma$

El conjunto de puertos y valores de entrada es vacío, ya que no recibe ningún evento y el de puertos y valores de salida está formado sólo por el par  $(out, 1)$ , es decir, un solo

puerto de salida, *out*, y un solo posible valor para emitir por dicho puerto, 1. El estado está formado por un solo elemento, que representa el tiempo que falta para emitir el próximo evento. Entonces, en cada transición interna, luego de emitir el evento, se vuelve a configurar el estado en  $T_{gen}$ .

### Procesador

En este ejemplo, el modelo representa un procesador que recibe trabajos y tarda un tiempo en procesarlos. El valor que recibe en el evento de entrada representa el tiempo que se tarda en procesar el trabajo correspondiente. Si el procesador está ocupado procesando un trabajo y llega uno nuevo, este último es ignorado. Una vez que el trabajo es procesado, el sistema emite un evento de salida con el tiempo que tardó en procesarlo.

$$M_{proc} = \langle X, Y, S, \delta_{int}, \delta_{ext}, \lambda, ta \rangle$$

- $X = \{(in, x) : x \in \mathbb{R}^+\}$
- $Y = \{(out, y) : y \in \mathbb{R}^+\}$
- $S = \{libre, ocupado\} \times (\mathbb{R}_0^+ \cup \{\infty\}) \times \mathbb{R}^+$
- $\delta_{int}((fase, \sigma, trabajo)) = (libre, \infty, trabajo)$
- $\delta_{ext}((fase, \sigma, trabajo), e, (in, x)) = \begin{cases} (ocupado, x, x) & \text{si } fase = libre \\ (fase, \sigma - e, trabajo) & \text{caso contrario} \end{cases}$
- $\lambda((fase, \sigma, trabajo)) = (out, trabajo)$
- $ta((fase, \sigma, trabajo)) = \sigma$

El conjunto de puertos y valores para los eventos de entrada, está formado por un solo puerto, *in* y por los reales positivos que representan el tiempo de procesamiento del trabajo que debe ser procesado. Lo mismo ocurre con los eventos de salida, en el puerto *out*. El estado está conformado por tres variables<sup>1</sup>. La primera representa el estado del procesador (*ocupado*, *libre*); la segunda, el tiempo de procesamiento que queda ( $\infty$  en caso de que no haya ningún trabajo siendo procesado); y la tercera, el tiempo total de procesamiento del trabajo actual. Cuando llega un trabajo, si está en la fase *libre*, se configura el tiempo restante de procesamiento con el valor de la entrada y se cambia de fase. En cambio, si la fase es *ocupado*, directamente se ignora el trabajo que llega y solo se actualiza el tiempo transcurrido. Cuando se termina el tiempo de procesamiento, se emite el evento con este tiempo como valor por el puerto de salida. En la transición interna correspondiente, se cambia de fase a *libre* y se cambia el tiempo a  $\infty$ , en cuyo caso, no habrá ninguna nueva transición a menos que llegue un nuevo trabajo.

<sup>1</sup>O conformado por una variable que tiene tres componentes

## Cola de Almacenamiento

La cola consiste en un lista que almacena identificadores de trabajos (números reales positivos), por orden de llegada. Cuando recibe una señal, en lugar de un trabajo, la cola transmite el primer trabajo de la lista (el primero que llegó), si es que hay alguno, y lo saca de la lista.

$$M_{cola} = \langle X, Y, S, \delta_{int}, \delta_{ext}, \lambda, ta \rangle$$

- $X = \{(in, x) : x \in \mathbb{R}^+ \cup \{emitir\}\}$
- $Y = \{(out, y) : y \in \mathbb{R}^+ \cup \{\emptyset\}\}$
- $S = (\text{List } \mathbb{R}^+) \times (\mathbb{R}_0^+ \cup \{\infty\})$
- $\delta_{int}((xs, \sigma)) = \begin{cases} (\text{tail } xs, \infty) & \text{si } xs \neq \emptyset \\ (xs, \infty) & \text{si } xs = \emptyset \end{cases}$
- $\delta_{ext}((xs, \sigma), e, (in, x)) = \begin{cases} (xs \frown \langle x \rangle, \infty) & \text{si } x \in \mathbb{R}^+ \\ (xs, 0) & \text{si } x = emitir \end{cases}$
- $\lambda((xs, \sigma)) = \begin{cases} (out, \text{head } xs) & \text{si } xs \neq \emptyset \\ (out, \emptyset) & \text{si } xs = \emptyset \end{cases}$
- $ta((xs, \sigma)) = \sigma$

El estado, entonces, es una tupla formada por una secuencia de número reales (el identificador de los trabajos) y un número real positivo o el símbolo  $\infty$ . El primer elemento de la tupla representa la lista de los trabajos en la cola y el segundo se utiliza para el comportamiento interno del modelo. El valor 0 indica que se debe emitir un trabajo (si hay) y  $\infty$  indica que hay que esperar a que llegue un evento. El conjunto de valores del puerto de entrada *in* está formado por reales positivos y la señal *emitir*, y el conjunto de valores del puerto de salida *out*, por reales positivos y el símbolo  $\emptyset$ .

Cuando llega un evento, si es un número real positivo ( $x \in \mathbb{R}^+$ ), i.e. el identificador de un trabajo para ser encolado, se lo agrega a la lista. Si en cambio el valor que arriba es la señal *emitir*, se setea el valor de la variable que controla el funcionamiento interno en 0, lo que generará una transición interna debido a que *ta* usa este valor.

En la transición interna, si la lista de trabajos no está vacía, se emite por el puerto *out* el primer elemento de la lista, y se lo quita de la misma. Si cambio está vacía, se emite el valor  $\emptyset$  indicando este hecho.

## Extensiones y Variantes del Formalismo DEVS

En las últimas décadas, numerosas variantes o extensiones del formalismo DEVS han sido desarrolladas, generalmente, pensadas para modelar con mayor facilidad o precisión sistemas de un dominio específico, como por ejemplo, sistemas de tiempo real o sistemas paralelos. Algunas de estas extensiones son: P-DEVS (Parallel DEVS) [4] para el modelado y simulación de sistemas concurrentes y/o sistemas distribuidos; RT-DEVS (Real Time DEVS) [5], pensada para modelar y simular sistemas de tiempo real; Cell-DEVS [6], para modelar sistemas que pueden ser representados como *cell spaces* (espacios de celdas, o espacios celulares); STDEVS (Stochastic DEVS) [7], para modelar y simular modelos DEVS no deterministas; y VECDEVS (Vectorial DEVS) [8], que proporciona una manera simple de representar sistemas de gran escala.

## 1.3. Simuladores DEVS

Como se menciona en la introducción de este capítulo, el uso del formalismo DEVS se ha extendido notablemente en comunidades muy diversas. Esto ha llevado al desarrollo de varias herramientas de modelado y simulación (M&S) cada una de ellas con sus propias características y lenguaje de modelado. Algunas nacieron basadas en DEVS *puro* y otras como implementaciones de alguna extensión o variante del mismo. Entre los muchos simuladores existentes podemos mencionar: DEVS-C++ [9], DEVSim++ [10], PowerDEVS [11], CD++ [12, 13], DEVS-Suite [14] y JDEVS [15]. En esta sección sólo presentamos dos, PowerDEVS y DEVS-Suite, ya que son los que fueron utilizados en esta tesis.

### 1.3.1. PowerDEVS

PowerDEVS [11] es una herramienta para modelar y simular sistemas híbridos, i.e. sistemas que combinan dinámicas discretas y continuas, donde estas últimas deben ser discretizadas de algún modo para poder ser simulados. PowerDEVS implementa los métodos de discretización *Quantized State System* (QSS) [16].

Los modelos pueden ser definidos en C++ y luego acoplarse gráficamente en bloques jerárquicos para crear modelos más complejos. PowerDEVS traduce automáticamente los modelos acoplados gráficamente a código C++ que es ejecutado por el simulador.

PowerDEVS permite la posibilidad de ejecutar simulaciones bajo un sistema operativo de tiempo real llamado RTAI. Además, puede interconectarse con herramientas como Scilab, pudiendo PowerDEVS hacer uso de las variables y funciones de Scilab para el posterior procesamiento y análisis de datos.

### 1.3.2. DEVS-Suite

DEVSSJAVA [17], que fue desarrollado por Zeigler, es un entorno para el modelado y simulación de modelos basados en DEVS y Parallel DEVS. Está basado en Java y soporta la visualización jerárquica de modelos y la animación del intercambio de mensajes entre componente atómicos y acoplados.

Más tarde, DEVSSJAVA junto con DEVS Tracking Environment (DTE) [18] fueron utilizados para el desarrollo de DEVS-Suite [14], una herramienta más completa que permite la visualización *on-the-fly* the los datos de simulación. Los datos generados por el modelo pueden ser recolectados en forma dinámica y mostrados como trayectorias basadas en el tiempo.

## 1.4. Motivaciones y Contribuciones de esta Tesis

Las motivaciones de de esta tesis, a pesar de estar conectadas entre ellas, pueden separarse en dos.

Si bien varias de las herramientas de modelado y simulación, como las presentadas anteriormente, están basadas en el mismo lenguaje de programación, C++ o Java la mayoría, no comparten el lenguaje de modelado, teniendo cada una su forma particular de describir un modelo, o componentes del mismo. Esto hace que no sean compatibles unas con otras o no puedan interactuar entre ellas. Un sistema modelado en, por ejemplo, DEVSSim++ no puede ser simulado utilizando DEVS-Suite, al menos no sin un arduo y tedioso trabajo de adaptación.

Además, un especialista que desea modelar y/o simular un sistema con alguna herramienta de M&S en particular, necesita conocer las características y particularidades del lenguaje de modelado de dicha herramienta.

Entonces, la primera contribución de esta tesis consiste en un lenguaje que permite la descripción de modelos DEVS abstractos, independiente de cualquier plataforma o implementación, basado en expresiones lógicas y matemáticas. Los modelos descritos utilizando dicho lenguaje, luego pueden ser traducidos (*compilados*) en forma automática al lenguaje de modelado de diferentes herramientas de M&S para que puedan ser simulados. El objetivo es, por tanto, que el especialista pueda diseñar sus modelos expresándolos en su forma más abstracta, como se mostró en los ejemplos de la sección 1.2.1, sin necesidad de tener conocimientos o habilidades de programación. Luego puede traducirlo, en forma automática, y simularlo con la herramienta que desee. Esto permite, entonces, que ingenieros o especialistas no relacionados con la informática puedan modelar y simular sus sistemas.

Por otra parte, junto con el gran crecimiento en el uso de modelos de simulación, se ha hecho cada vez más necesaria la definición de técnicas rigurosas para asegurar que

estos modelos representan lo mejor posible el sistema real que se está modelando. En otras palabras, la Verificación y Validación (V&V) de los modelos de simulación se ha convertido en una tarea crucial.

Una técnica para validar modelos DEVS, es simularlos varias veces, bajo diferentes condiciones y escenarios y comparar los resultados de dichas simulaciones con los requerimientos del sistema para determinar su exactitud.

Inspirados en técnicas bien conocidas y aceptadas en el ámbito de la Ingeniería de Software, más precisamente en el Testing Basado en Modelos; como segundo aporte, presentamos una familia de criterios para guiar las simulaciones en forma rigurosa y disciplinada cubriendo las simulaciones más significativas o importantes. Esta técnica permite, además, la semi-automatización del proceso de validación. Para lograrlo, es necesario que el modelo esté descrito en forma abstracta y para esto, se podría utilizar el lenguaje de modelado enunciado anteriormente.

El resto de la tesis se estructura de la siguiente manera. En el capítulo que sigue, se resumen los trabajos relacionados al modelado utilizando el formalismo DEVS y se presenta el lenguaje de modelado abstracto. Además, se describen las reglas para traducir estos modelos abstractos a modelos concretos de diferentes herramientas de M&S. En el Capítulo 3 se hace un resumen de la verificación y validación de modelos, se describen los trabajos relacionados y se presenta la técnica de validación propuesta. En el Capítulo 4 se muestran los aportes de la tesis a través de dos casos de estudio. Finalmente, en el Capítulo 5 se analizan las conclusiones generales de la tesis y se detalla el trabajo a futuro que de la misma se desprende.



# Capítulo 2

## Especificación Abstracta de Modelos DEVS

En este capítulo se desarrolla el primer aporte que presenta esta tesis, un lenguaje para especificar en forma abstracta modelos DEVS. Este lenguaje fue publicado en una revista internacional [19]. En la siguiente sección se introduce el tema y finaliza describiendo cómo se estructura el resto del capítulo.

### 2.1. Introducción

Cómo se mencionó en el Capítulo 1, el gran crecimiento del uso de modelos de simulación llevó al desarrollo de numerosas herramientas de M&S basadas en el formalismo DEVS o alguna de sus extensiones, como por ejemplo, DEVS-C++ [9], DEVSim++ [10], CD++ [20], PowerDEVS [21], JDEVS [15], DEVS-Suite [14]). Cada una de estas herramientas posee su propio lenguaje de entrada, basado en algún lenguaje de programación, utiliza sentencias en algún lenguaje de programación específico o, simplemente, es un lenguaje de programación de propósito general como C++ o Java. Esto hace que quien desee utilizar dichas herramientas para modelar y simular un sistema requiera conocimientos, no necesariamente triviales, de programación o de alguien con dichos conocimientos para que implemente sus modelos.

Más aún, estos lenguajes son diferentes unos de otros, lo que dificulta la interoperabilidad entre herramientas de simulación, así como también la cooperación entre diferentes comunidades de M&S. Un modelo de simulación descrito utilizando, por ejemplo PowerDEVS, no puede ser simulado en JDEVS. Por otro lado, el modelo descrito en PowerDEVS modela, esencialmente, el mismo sistema que sería modelado en JDEVS.



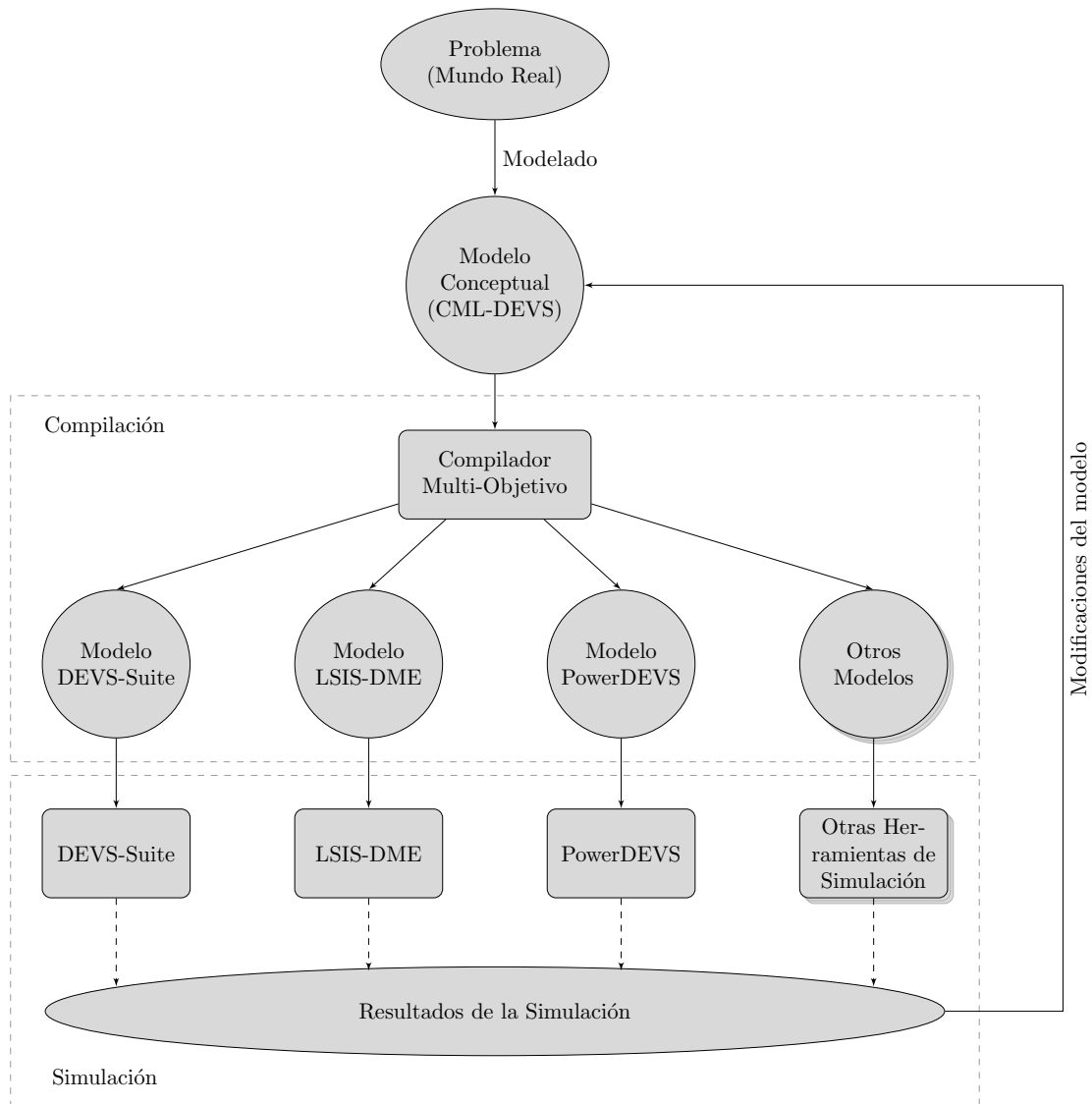
En función de lo antes comentado, sería deseable poder describir el modelo abstracto como es pensado o visto por el especialista y luego ser traducido en forma automática a uno o más lenguajes de modelado de algunas de las herramientas de M&S.

Entonces, esta primera contribución consiste en un lenguaje formal, CML-DEVS (por su siglas en inglés, Conceptual Modeling Language for DEVS), para la descripción abstracta de modelos DEVS en término de expresiones lógicas y matemáticas sin involucrar conceptos o nociones de programación. De este modo los ingenieros o especialistas pueden usar CML-DEVS para escribir modelos DEVS utilizando matemática *cotidiana*, como fue propuesto originariamente por Zeigler a la hora de definir el formalismo. Los modelos CML-DEVS pueden luego ser analizados y traducidos, en forma automática, a los lenguajes de entrada de diferentes herramientas de M&S para poder ser simulados con éstos. Esta es la misma idea que ocurre en la comunidad de métodos formales (cf. Z [22], B [23], Alloy [24]), dónde especificaciones formales son escritas con matemática y lógica clásica, de modo que estas especificaciones pueda proporcionarse tal cual están a herramientas tales como chequeadores de tipos, probadores de teoremas, generadores de código, etc.

CML-DEVS se describe dando su sintaxis y semántica. La sintaxis, se describe a través de su EBNF (Extendend Backus Naur Form, Forma Norma de Backus Extendida) y por medio de ejemplos, mientras que la semántica es dada en términos del código que debe ser generado en el lenguaje de entrada de dos herramientas, PowerDEVS y DEVS-Suite. En este sentido, se puede construir un compilador multi-objetivo (multi-target compiler) de CML-DEVS para producir modelos de PowerDEVS y DEVS-Suite a partir de modelos DEVS abstractos o matemáticos. Para utilizarlo con otros lenguajes objetivo, sólo bastaría dar las reglas de traducción a esos nuevos lenguajes y programar la parte del compilador correspondiente. La elección de estos dos simuladores es relativamente arbitraria. Teniendo, éstos, diferentes lenguajes de entrada (C++ y Java) la intención es mostrar como puede traducirse en forma automática un modelo CML-DEVS al lenguaje de diferentes simuladores.

En la Figura 2.1 se esboza el proceso de modelado utilizando CML-DEVS. A partir de los requerimientos, el especialista describe el modelo abstracto o conceptual con CML-DEVS. Luego, un compilador multi-target se encarga de traducir, en forma automática, el modelo abstracto en modelos concretos de diferentes lenguajes de herramientas de M&S.

A pesar que definir un estándar para describir modelos DEVS es un tarea más que necesaria a esta altura, y de hecho ya se está intentando llevar a cabo, no es la intención de este trabajo proveer dicho estándar, sino mostrar que es posible escribir un modelo DEVS en su forma más abstracta, y luego traducirlo en forma automática a la herramienta de simulación que se desee. La definición de un estándar involucra gran



**Figura 2.1:** Modelado de un sistema con CML-DEVS

interacción, desarrollo y esfuerzo entre la industria y las comunidades de investigación que trabajan con DEVS.

El resto de este capítulo está organizado como sigue. En la siguiente sección hacemos una revisión sobre otros enfoques y trabajos que atacan el problema de la descripción de modelos DEVS. En la sección 2.3 presentamos CML-DEVS y mostramos su propósito y utilidad a través de algunos ejemplos. En la Sección 2.5 explicamos como un modelo CML-DEVS es traducido a modelos DEVS-Suite y PowerDEVS dando las reglas de traducción. Finalmente, en la Sección 2.6 algunas conclusiones y otras consideraciones son discutidas. En el Capítulo 4 mostramos con dos casos de estudio, un poco más complejos que los ejemplos de este capítulo, como se describen modelos DEVS abstractos utilizando CML-DEVS.

## 2.2. Trabajos Relacionados y Otros Enfoques

Siendo DEVS un formalismo tan utilizado y ya que existen tantas herramientas para modelar y simular modelos DEVS, se ha empleado mucho esfuerzo en desarrollar un lenguaje general para describir dichos modelos. Incluso, se ha creado un grupo internacional, compuesto por investigadores de varias universidades y centros de investigación alrededor del mundo, abocado a la definición de un estándar para la representación procesable por computadoras del formalismo DEVS [25].

Este grupo de estandarización ha identificado cuatro áreas del entorno DEVS que necesitan estandarización [26, 27]:

- El formalismo DEVS en sí mismo, y sus variantes,
- La representación de modelos, que debe describir la estructura del modelo y la dinámica de forma independiente de la plataforma o herramienta,
- Los requerimientos mínimos para que un simulador soporte DEVS,
- Librerías de modelos, destinados a proporcionar una colección de modelos listos para usar.

Con CML-DEVS intentamos atacar el segundo punto, representando de forma abstracta los modelos DEVS de manera independiente de toda plataforma y lenguaje de programación.

A nuestro criterio, vemos CML-DEVS como una versión extendida o mejorada de DEVSpecL, un lenguaje de especificación para modelos DEVS desarrollado por Hong y Kim [28]. CML-DEVS tiene el objetivo de preservar el concepto abstracto del formalismo DEVS e incorpora nuevas nociones matemáticas abstractas para acercar DEVSpecL al DEVS original; como por ejemplo, una teoría de conjuntos útil para dicha abstracción. Como Hong y Kim mencionan, DEVSpecL soporta solo características básicas y para ser más general, soporta APIs definidas por el usuario. El modelador debe definir estas APIs en el lenguaje de programación del entorno en el que el modelo es ejecutado. Además, en cuanto a los *tipos compuestos* que soporta, solo incluyen secuencias (y en realidad vistas como pilas). Estas últimas consideraciones limitan el poder de abstracción del modelo. Además, sigue exigiendo que el modelador tenga que “programar” para hacer algo más o menos complejo. CML-DEVS está más inspirado en las notaciones formales de ingeniería de software agregando teorías matemáticas útiles para modelar sistemas.

Creemos que los modelos definidos con CML-DEVS son más “DEVS puros”, i.e. preservando el formato definido por Zeigler. Por ejemplo, con DEVSpecL el modelador debe definir *tipos de mensajes* e *interfaces* para representar los eventos de entrada/salida, los cuales pueden contener código escrito en algún lenguaje de programación de

propósito general. Con CML-DEVS intentamos mantener los eventos de entrada/salida en forma abstracta definiendo solamente el tipo de los valores de los puertos.

Por otro lado, el artículo dónde presentan DEVSpecL, carece de datos suficientes en algunos aspectos. Por ejemplo, las transiciones internas y externas consisten en secuencias de **expr**, como muestran por medio de la BNF, pero no se da ningún detalle sobre dichas expresiones más allá de algunos ejemplos. Además, en la función de transición externa no se hace referencia al tiempo transcurrido desde la última transición,  $e$ .

Finalmente, en esta tesis se presentan las reglas de traducción que permiten implementar un compilador multi-objetivo para los lenguajes de entrada de dos simuladores. Esto no parece haber sido presentado por Hong y Kim.

Mitaal and Douglass [29] presentan otro lenguaje de dominio específico para Parallel DEVS como un componente de la versión revisada del entorno DEVSMML (DEVSMML 2.0), basado en Finite Deterministic DEVS (FDDEVS), DEVS Finitos Deterministas. También tiene la intención de ser utilizado (entre otras cosas) como una representación abstracta de modelos DEVS. Utilizando el entorno Xtext y la EBNF de la gramática de su lenguaje, integraron a Eclipse un editor de DEVSMML para definir de manera simple modelos con algunas características elegantes y útiles como asistente de código y validación del modelo (en cuanto a sintaxis y semántica) en tiempo de ejecución. Sin embargo, la gramática de DEVSMML tiene algunas diferencias y limitaciones con respecto a Parallel DEVS. Por ejemplo, los valores de entrada/salida son definidos como *entidades de mensajes*. El tiempo transcurrido,  $e$ , en la transición externa es omitido y reemplazado por las sentencias **continue** y **reschedule**. Finalmente, FDDEVS es un subconjunto, restringido y menos expresivo que el formalismo DEVS original.

Ambos trabajos antes mencionados, permiten la generación automática de código, de modo de obtener código DEVS ejecutable, en diferentes implementaciones DEVS como DEVSSJAVA, DEVSSim++ y DEVSSim-Java.

En varios trabajos [27, 30–32] se propone a XML como lenguaje para describir modelos DEVS. Según Touraille et al. [27] parece ser una buena elección, ya que existen numerosas herramientas para trabajar con XML y es independiente de la plataforma, entre otras ventajas. Sin embargo ésta tampoco sería precisamente una representación abstracta de un modelo DEVS. Tal vez, XML sí sea una opción adecuada para una representación intermedia, i.e. entre la descripción abstracta del modelo y su representación en alguna herramienta de simulación.

En un trabajo reciente, enmarcado en su tesis doctoral, L. Touraille [33] desarrolló un entorno que apunta a modelar sistemas con DEVS. El núcleo de este entorno es un meta-modelo DEVS. El mismo está virtualmente separado en dos partes, una para especificar la parte “estática” del modelo, i.e. estados, entradas y salidas; y otra para definir el comportamiento, es decir, transiciones internas y externas, avance del tiempo y función de salida. Esta última, se basa en un lenguaje semi-genérico definido por él,

el cual dista de ser una representación abstracta de dichas funciones de DEVS. Basado en el meta-modelo realiza traducciones hacia varias plataformas DEVS, permitiendo la interoperabilidad entre varias herramientas de simulación. Esta transformación, no se hace a partir de la descripción abstracta de un modelo DEVS sino, precisamente, a partir de este meta-modelo.

En general, existen muchos lenguajes que permiten definir modelos DEVS. Sin embargo, hasta donde sabemos, no hay ninguno que tome como punto de partida la descripción abstracta (basado en matemática y lógica) de un modelo DEVS. Todos ellos, describen el modelo utilizando directamente el lenguaje de una herramienta de simulación, construido sobre otro de propósito general, como C++ o Java; o un meta-lenguaje que luego se traduce a diferentes idiomas de simulación.

### 2.3. Definiendo modelos DEVS abstractos con CML-DEVS

Como mencionamos en la introducción de este capítulo, la contribución que presentamos es un lenguaje que permite describir en forma abstracta modelos DEVS, de modo muy similar a como se describieron los ejemplos de la Sección 1.2.1, sin involucrar nociones de programación, i.e. estructuras de control, manejo de memoria, estructuras de datos.

Si un especialista desea simular con alguna herramienta de modelado y simulación existente uno de esos modelos, incluso uno tan simple, esto involucraría tareas de programación, situación que no ocurre al modelarlo con CML-DEVS. Por ejemplo, en el modelo de la cola de procesamiento, se debe tomar una decisión sobre la representación de  $X$ ,  $Y$ , y  $S$ , en cuanto a cómo representar el símbolo  $\emptyset$  y la señal *emitir*. Tal vez, en este caso particular, con una variable de tipo `float` o `double` de algún lenguaje alcanzaría para representar  $X$  e  $Y$  usando, por ejemplo, un valor negativo para representar *emitir* y  $\emptyset$  respectivamente. Sin embargo, en un caso ligeramente diferente, por caso  $\mathbb{R} \cup \{\emptyset\}$ , esta representación no alcanzaría y una distinta debería definirse. Además, es necesario algún tipo de estructura de datos para manejar los elementos de la cola. Nuevamente, utilizando CML-DEVS, el modelador no necesita lidiar con estos asuntos, puede expresar el modelo directamente en su forma abstracta.

En la Figura 2.2 vemos cómo podría describirse el modelo de la cola de procesamiento en CML-DEVS. En este ejemplo, podemos ver, a grandes rasgos, cómo es la estructura de un modelo CML-DEVS. El mismo consiste en varias subestructuras o componentes, cada una de ellas, representando un componente de un modelo DEVS atómico. Cada componente, está enmarcada por *indicadores* o *palabras claves*, como `X is ... end X` para el caso de los puertos de entrada. Las variables de estado y puertos

---

de entrada y salida se definen de la misma forma, cada uno dentro de las estructuras correspondientes. Esto se hace dándole un nombre y el tipo pertinente (por ejemplo,  $s : \mathbb{R} \cup \{\emptyset\}$ ). Las funciones de transición, salida y avance de tiempo, también tienen estructuras similares entre sí. El cuerpo de estas funciones se compone de diferentes tipos de sentencias. En general, estas sentencias son asignaciones para modificar los valores del estado o para emitir un evento por un puerto de salida. Como puede verse en este ejemplo, hay sentencias un poco más complejas, como la definición por casos (`defcases ... end defcases`), en las funciones de transición y de salida. Las definiciones por casos tienen una estructura muy similar al modelo abstracto del ejemplo, donde el resultado de la función (el nuevo estado o el valor de salida respectivamente) están ligados a una condición.

```

atomic cola is < X, Y, S,  $\delta_{int}$ ,  $\delta_{ext}$ ,  $\lambda$ , ta > where
X is
  in :  $\mathbb{R} \cup \{emitir\}$ ;
end X
Y is
  out :  $\mathbb{R} \cup \{\emptyset\}$ ;
end Y
S is
  s : List  $\mathbb{R} \times \text{Time}$ ;
end S
 $\delta_{int}((xs, \sigma))$  is
  defcases
    case s = (tail xs,  $\infty$ ); if (xs  $\neq \{\}$ )
    case s = (xs,  $\infty$ ); if (xs =  $\{\}$ )
  end defcases
end  $\delta_{int}$ 
 $\delta_{ext}((xs, \sigma), e, (in, x))$  is
  defcases
    case s = (xs  $\hat{\ } \langle x \rangle$ ,  $\infty$ ); if (x  $\in \mathbb{R}$ )
    case s = (xs, 0); if (x = emitir)
  end defcases
end  $\delta_{ext}$ 
 $\lambda((xs, \sigma))$  is
  defcases
    case (out, head xs); if (xs  $\neq \{\}$ )
    case (out,  $\emptyset$ ); if (x =  $\{\}$ )
  end defcases
end  $\lambda$ 
ta((xs,  $\sigma$ )) is
   $\sigma$ ;
end ta
end atomic

```

**Figura 2.2:** Modelo de la Cola de Procesamiento en CML-DEVS

En las secciones que siguen explicaremos con más detalle la sintaxis del lenguaje. Además, la EBNF de CMD-DEVS se muestra en el Apéndice A, siendo esta la forma más común para mostrar la gramática de un lenguaje formal.

### 2.3.1. Estructura de un Modelo Atómico

Un modelo DEVS atómico en CML-DEVS consiste en varias subestructuras o componentes, cada una de ellas representando un componente de un modelo DEVS atómico. El orden en el que se declaran estas estructuras es indistinto, y tampoco es necesario u obligatorio que se declaren en caso de que no sean usadas. Es decir, si un modelo

no recibe eventos, puede omitirse la declaración de  $X$  y de  $\delta_{\text{ext}}$ . Si estas no se definen, tampoco deben declararse en el vector que define el modelo:  $\langle X, Y, S, \delta_{\text{int}}, \delta_{\text{ext}}, \lambda, \tau_a \rangle$ . Es decir, todas las componentes que allí se declaren, deben luego estar definidas.

Además de las estructuras que se pueden observar en la Figura 2.2, del ejemplo anterior, existen dos más que son opcionales. Las mismas no forman parte del formalismo DEVS original pero son utilizadas en casi todas las implementaciones de modelos de simulación. Estas permiten la definición de *parámetros* o *valores constantes* del modelo y *funciones auxiliares*, que simplifican la descripción y mantenimiento de los modelos.

Como en todo lenguaje, existen palabras claves o reservadas. En el ejemplo de la cola pueden distinguirse de variables o valores porque aparecen en otro formato de texto, como por ejemplo `atomic`.

### 2.3.2. Definiciones

La definición de estados y de puertos de entrada y de salida comparten la misma sintaxis, como se ve en la Figura 2.2 del ejemplo de la cola. En la Figura 2.3 se muestran otras posibles definiciones de variables del estado y puertos de entrada y/o salida, dependiendo de la estructura dentro de la cual se declaran. Si se define más de una variable dentro del estado, entonces, el conjunto de posibles valores del estado del modelo es la tupla formada por los conjuntos a los que pertenece cada una de estas variables. Por ejemplo, si las variables de un modelo en particular son *jobs* y *sensor* de la Figura 2.3, el conjunto de posibles valores del estado de dicho modelo sería  $S = (\text{List } \mathbb{R}) \times \text{Boolean}$ .

```

jobs : List  $\mathbb{R}$ ;
 $\sigma$  : Time;
in :  $\mathbb{R} \cup \{\text{signal}\}$ ;
out :  $\mathbb{R} \cup \{\emptyset\}$ ;
elevator : {up, down, stopped};
sensor : Boolean;
name : Text;
years :  $\mathbb{P} \mathbb{N}$ ;
pair :  $\mathbb{Z} \times \mathbb{R}$ ;

```

**Figura 2.3:** CML-DEVS - Ejemplos de variables de estado y puertos de entrada y salida

En el caso de los eventos de entrada y salida, cada definición equivale a un puerto (de entrada o salida, según corresponda) y el tipo o conjunto de los valores asociados a dicho puerto.

CML-DEVS provee varios *tipos básicos* para definir variables y permite la construcción de nuevos *tipos complejos* como tuplas, uniones, conjuntos y listas; como puede



verse en la Figura 2.3. Los tipos básicos son  $\mathbb{N}$ ,  $\mathbb{Z}$ ,  $\mathbb{R}$ , **Time** (equivalente a  $\mathbb{R}_0^+ \cup \{\infty\}$ ), **Text**, **Boolean** y tipos enumerados, expresados entre llaves,  $\{ \}$ .

$\mathbb{P}$ , **List**,  $\cup$  y  $\times$  son los constructores para los tipos complejos.  $\mathbb{P}$  *Type* representa un conjunto de elementos del tipo *Type* (sin ningún orden y sin elementos repetidos). **List** *Type*, por su parte, es una lista ordenada de elementos del tipo *Type* (las listas pueden contener elementos repetidos).  $\cup$  y  $\times$  se utilizan para construir, respectivamente, uniones y tuplas de elementos de tipos posiblemente diferentes (de hecho, uniones de elementos del mismo tipo no tendría sentido).

Además, CML-DEVS permite la definición de *sinónimos*. Estos se pueden utilizar para simplificar o facilitar la declaración de variables y puertos, o incluso la declaración de otros sinónimos. Si un tipo complejo es utilizado varias veces, el modelador puede darle un nombre a este tipo complejo con algún sinónimo y luego usar este último en la declaración. Por ejemplo:

```
var1 :  $\mathbb{N} \times \mathbb{R}$ ;
var2 :  $(\mathbb{N} \times \mathbb{R}) \times \text{Boolean}$ ;
var3 : List  $(\mathbb{N} \times \mathbb{R}) \cup \{\emptyset\}$ ;
```

Puede ser reemplazado por:

```
NRPair ==  $\mathbb{N} \times \mathbb{R}$ ;
var1 : NRPair;
var2 : NRPair  $\times$  Boolean;
var3 : List NRPair  $\cup \{\emptyset\}$ ;
```

### 2.3.3. Funciones de Transición, Salida y Avance de Tiempo

La descripción de las funciones de transición, así como también las de salida y avance de tiempo, tienen la misma estructura. Un panorama general de estas se mostró en el ejemplo de la Cola de Procesamiento. Estas funciones consisten en un marco, por ejemplo  $\delta_{int}$  is ... end  $\delta_{int}$ , para el caso de la transición interna, con argumentos opcionales. Estos argumentos son, justamente, los argumentos de dichas funciones, i.e.  $(s, e, x)$  para el caso de  $\delta_{ext}$  y  $(s)$  para  $\delta_{int}$ ,  $\lambda$  y  $ta$ .

Si los argumentos no están presentes, las variables declaradas en el estado son usadas en forma implícita como argumentos, junto con las variables reservadas de CML-DEVS **e**, **value** y **port**, representando el tiempo transcurrido desde la última transición, el valor del evento de entrada y el puerto de dicho evento, respectivamente.

Si los argumentos son declarados en forma explícita, esto debe hacerse en el orden en el que las variables del estado fueron declaradas. Sin embargo, los nombres utilizados como argumentos no necesariamente deben ser los mismos. Esto se debe a que, por

ejemplo el especialista podría definir el estado como una tupla, pero, en la definición de la transición interna desea utilizar cada componente del par como una variable individual, dándole un nombre a cada componente dentro de los argumentos de la función:

```

S is
    var :  $\mathbb{R} \times \mathbb{R}$ ;
end S
:
 $\delta\text{int}((var1, var2))$  is
    var1 = ...
    var2 = ...
end  $\delta\text{int}$ 

```

donde *var1* (*var2*) corresponde a la primera (segunda) componente de *var*.

Este es también el caso del ejemplo de la cola de procesamiento, donde el estado está definido por la variable *s*: `List  $\mathbb{R} \times \text{Time}$` ; y luego, tanto en las funciones de transición como en la de salida y la de avance de tiempo, en lugar de usar *s* como argumento se utiliza el par  $(xs, \sigma)$ .

Los últimos dos argumentos de  $\delta_{ext}$ , en caso de que se definan en forma explícita, pueden también tener nombre arbitrarios. Obviamente, el modelador puede hacer uso de las variables reservadas; `e`, `value` y `port`; directamente si así lo desea.

El cuerpo de cada una de estas funciones se compone de *sentencias*. Hay cinco tipos de sentencias. Las más simples de todas son la *expresión* y la *asignación*. La expresión, que es básicamente la base con la que se construye un modelo, puede ser el nombre de una variable, una operación o una expresión compuesta como tuplas, conjuntos o listas. La asignación es utilizada, principalmente, para actualizar el valor de las variables del estado luego de una transición, como  $xs = \text{tail } xs$ . El lado izquierdo de una asignación siempre es el nombre de una variable. En cambio, el lado derecho puede cualquiera de las expresiones como las mencionadas anteriormente. Algunos ejemplos de asignaciones se pueden observar en la figura 2.4, con diferentes tipos de expresiones del lado derecho.

```

engine = stopped;
years = {1974, 1988, 1990, 1991, 1992, 2004, 2013};
pair = (-14, 3.1416);
val = sin(45);
jobs = ⟨2.34, 5.98, 6.83⟩;
elem = head xs;
σ = σ - e;
listA = listB;

```

**Figura 2.4:** CML-DEVS - Ejemplo de asignaciones

En cuanto a los operadores matemáticos, CML-DEVS soporta una amplia variedad, incluyendo operaciones sobre listas y conjuntos, funciones matemáticas y trigonométricas y la aplicación de funciones definidas por el modelador usando CML-DEVS. Los operadores y funciones matemáticas soportadas se listan en la Tabla 2.1.

+	−	*	\
∪	∩	#	∧
sin	cos	tan	arcsin
arccos	arctan	log	sign
min	max	sqrt	rev
head	last	tail	front

**Tabla 2.1:** CML-DEVS - Operadores y funciones matemáticas

El tercer tipo de sentencia de CML-DEVS apunta a modelar expresiones como:

$$\forall x \in X \bullet X = (X \setminus \{x\}) \cup \{x * 2\}$$

Dicha expresión puede describirse en CML-DEVS como se muestra en la Figura 2.5. Se asume que el tipo de  $x$  es *Type* y el de  $X$  es  $\mathbb{P}$  *Type*

```

foreach x in X
  X = (X \ {x}) ∪ {x * 2};
end foreach

```

**Figura 2.5:** CML-DEVS - Ejemplo de una sentencia *for each*

Estas sentencias consisten en la declaración `foreach` seguido de un identificador, la palabra reservada `in`, una expresión o variable, seguido por un conjunto de sentencias y finaliza con `end foreach`. El tipo de la expresión o variable debe ser `List Type` o `ℙ Type`.

El cuarto tipo de sentencia de CML-DEVS es una estructura que permite la definición de una función por casos. Esta es una forma ampliamente utilizada y una manera muy útil de definir funciones de transición, de salida y de avance de tiempo. En la Figura 2.2 de la cola de procesamiento ya se ha utilizado.

CML-DEVS ofrece dos alternativas para definir funciones de esta forma. Una es más similar a las definiciones matemáticas mostradas en los ejemplos, es decir, dando primero la expresión y luego la condición. La otra es más parecida a la usada en lógica: *if condición then expresión (condición  $\Rightarrow$  expresión)*.

Para la primera forma, cada caso se define dentro de una estructura `case sentencias if condición end case`. En el caso del segundo estilo, cada caso tiene la estructura: *if condición  $\Rightarrow$  sentencias*. En los casos de estudio del Capítulo 4 se muestran ambos estilos.

Existe un comando opcional, `default`, que se puede utilizar para el caso de que ninguna de las condiciones se satisfaga. Este va seguido sólo de las *sentencias*, sin el comando `if` ni *condiciones*.

Para ambos estilos, el conjunto total de casos se declara dentro del marco:

```
defcases
...
end defcases
```

Las sentencias definen el resultado de la función en caso de se satisfaga la *condición*. Las condiciones van encerradas entre paréntesis, `()`, y consiste en un *operador relacional* entre dos *operandos*. Los operandos pueden ser nombres de variables, valores u operaciones y los operadores de comparación soportados se listan en la Tabla 2.2. Como se puede notar en el ejemplo de la cola, el operador `=` está sobrecargado, i.e. es utilizado como un operador de asignación y de comparación. Las condiciones pueden negarse o combinarse utilizando los operadores de conjunción y disyunción lógica, `∧`, `∨` y `¬`, respectivamente. La Figura 2.6 muestra algunas condiciones de ejemplo.

<	>	≤	≥
=	≠	∈	∉
⊂	⊆		

**Tabla 2.2:** CML-DEVS - Operadores relacionales

```

 $\neg (engine = stopped)$ 
 $(years \neq \{\})$ 
 $(pair.1 \leq 13)$ 
 $((5.63 \in jobs) \wedge (4.13 \notin jobs))$ 
 $((\{1974, 1990\} \subseteq years) \vee (\#years = 1))$ 
 $(value = emitir)$ 

```

**Figura 2.6:** CML-DEVS - Ejemplos de condiciones

Otra forma usual de definir las funciones de un modelo es utilizando variables o expresiones auxiliares. Por ejemplo:

```

 $\delta_{ext}((xs, \sigma), e, (port, value)) = (ys, \infty)$ 
where:
 $ys = xs \hat{\ } value$ 

```

El quinto tipo de sentencia de CML-DEVS intenta, justamente, proveer una forma de definir funciones de este tipo. En la Figura 2.7 se describe el código en CML-DEVS del ejemplo anterior. La estructura se enmarca por los comandos `defwhere` y `end defwhere` y consiste en sentencias y definiciones. Las definiciones y las sentencias que van luego del comando `where` hacen referencia a las variables y operaciones auxiliares.

```

 $\delta_{ext}((xs, \sigma), e, (port, value))$  is
defwhere
   $xs = ys;$ 
   $\sigma = \infty;$ 
where
   $ys : List \mathbb{R};$ 
   $ys = xs \hat{\ } value;$ 
end defwhere
end  $\delta_{ext}$ 

```

**Figura 2.7:** CML-DEVS - Ejemplo de una sentencia *where*

Notar que las estructuras *for each*, *where* y las definiciones por casos pueden combinarse una con otra siendo que las tres son consideradas sentencias.

Una observación final sobre las funciones de transición es que si una de las variables de estado no cambia su valor no es necesario que se declare esta situación en forma explícita, por ejemplo  $xs = xs$ , siendo esta sentencia opcional. Por lo tanto, se asume

que las variables que no aparecen del lado izquierdo de ninguna asignación mantienen su valor luego de la transición.

En cuanto a la función de salida, la misma se compone, generalmente, por un par de la forma  $(port, value)$  representando, justamente, la producción de un evento de salida, con el valor  $value$  por el puerto  $port$ . Pueden utilizarse, además, la estructura de definiciones por casos, en cuyo caso, en lugar de asignaciones las sentencias serán pares como los antes mencionados. También pueden utilizarse, en caso de que se necesiten, las estructuras *where* y *for each*.

Finalmente, la función de avance de tiempo,  $ta$ , es similar a la función de salida, salvo que en lugar de un par (o pares, en las definiciones por casos) esta consiste en una expresión (o varias expresiones) cuyo tipo debe corresponderse con  $\mathbb{R}_0^+ \cup \{\infty\}$ , siendo el valor de dicha expresión el valor que la función de avance de tiempo retorna.

#### 2.3.4. Parámetros del modelo

Los parámetros, si bien no forman parte del formalismo original DEVS, son utilizados por casi todas las herramientas de M&S y facilitan la descripción y el mantenimiento de los modelos. Si el modelador desea utilizar parámetros para su modelo, debe indicarlo con la sentencia (**params**) luego del nombre del modelo, y definir, posteriormente, dichos parámetros dentro de la estructura:

```
params is
    param1 = val1;
    param2 = val2;
    ...
end params
```

Los parámetros, no se definen como las demás variables del modelo, sino que, al declararse ya con un valor fijo (que no se modifica en todo el modelo) el tipo del parámetro se deriva de dicho valor. Es decir, el tipo queda implícito. Estos parámetros pueden verse como constantes del modelo. Por cuestiones obvias, dichos parámetros o constantes no pueden tener el mismo nombre que ninguna variable del modelo.

#### 2.3.5. Funciones definidas por el modelador

La definición de funciones auxiliares por parte del modelador tampoco forma parte del formalismo definido por Zeigler, pero es muy común y útil definir funciones auxiliares para describir el comportamiento de una parte del modelo o realizar algún tipo de operación. CML-DEVS provee una estructura básica para definir este tipo de funciones

auxiliares. Las mismas se definen todas dentro de la estructura:

```
functions LibraryName is
  ...
end functions
```

Las funciones que se definen allí, forman una *librería*, y cuando el modelador desea utilizar una función de dicha librería lo hace de la siguiente forma:

```
LibraryName.funcName(...);
```

Cabe aclarar que esta librería puede ser utilizada para definir cualquier modelo que requiera alguna de las funciones allí ya definidas. Es decir, la definición de estas librerías es independiente del modelo.

Las funciones auxiliares se describen usando casi la misma gramática que el resto de las funciones del modelo. La primera línea del cuerpo de una función define su tipo, i.e. el tipo de los argumentos y el tipo del valor de retorno de la función. Esto es seguido, posiblemente, por la definición de otras variables y luego una o más sentencias como las descritas anteriormente.

Veamos esto con un pequeño ejemplo. Consideremos una función *filtro* que toma dos argumentos, el primero, un conjunto de números enteros y el segundo, un número entero. La función debe devolver un conjunto formado por todos los elementos del primer argumento menores que el segundo argumento. La Figura 2.8 muestra una posible forma de describir dicha función en CML-DEVS.

```
function filter is
   $S : \mathbb{P} \mathbb{N}, n : \mathbb{N} \rightarrow res : \mathbb{P} \mathbb{N};$ 
  foreach  $x$  in  $S$ 
    defcases
      if  $(x < n) \Rightarrow res = res \cup \{x\};$ 
    end defcases
  end foreach
end function
```

**Figura 2.8:** CML-DEVS - Ejemplo de una función definida por el modelador

### 2.3.6. Valores iniciales de las variables de estado para la simulación

La última estructura que nos queda por describir, igual que las dos anteriores no es parte del formalismo DEVS original, y más aún, no forma parte del modelado del sistema sino más bien es un aspecto que concierne a la fase de simulación. Esto es, designar valores iniciales para las variables de estado del modelo. Creemos, sin embargo, que es muy útil proveer esta alternativa en CML-DEVS, de modo que no sea necesario analizar o modificar el código ya traducido al lenguaje del simulador para poder configurar estos valores iniciales. En el próximo capítulo veremos que este tema puntual será de gran ayuda durante el proceso de validación del modelo.

La estructura es muy simple:

```
simulate ModelName from
    asignaciones
end simulate
```

dónde las *asignaciones* tienen la misma forma que las ya descritas anteriormente y se utilizan, justamente, para asignarle los valores a las variables del estado del sistema.

## 2.4. Renderización de un modelo CML-DEVS

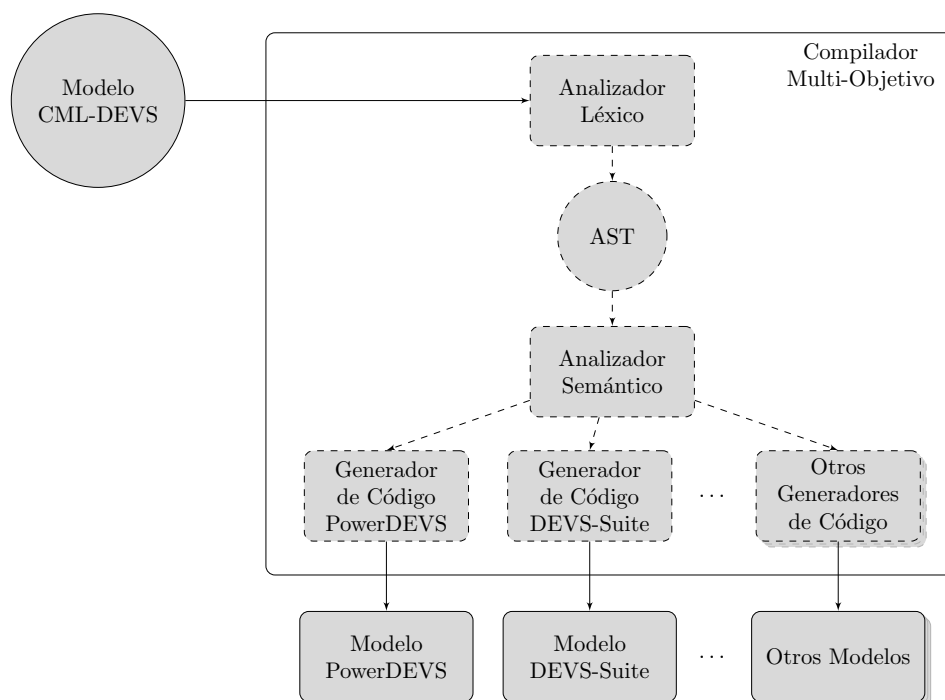
La sintaxis de CML-DEVS está pensada, como se puede notar, para que el modelo resultante sea lo más parecido a como el especialista lo describiría “con lápiz y papel”, de manera similar a los ejemplos que mostramos en el Capítulo 1. Más aún, un modelo CML-DEVS es fácilmente renderizable a un modelo que quede exactamente igual dichos ejemplos. Es decir, el modelo de la Figura 2.2 puede renderizarse fácilmente para que quede igual al ejemplo de la cola de almacenamiento de la Sección 1.2.1. Esto se podría hacer, por ejemplo, utilizando un lenguaje como LaTeX [34], definiendo en dicho lenguaje las macros y comandos necesarias.

## 2.5. Traducción de modelos CML-DEVS a modelos concretos

En esta sección describiremos cómo los modelos CML-DEVS se traducen a modelos concretos, i.e. modelos escritos con el lenguaje de herramientas de M&S. Esta tarea es responsabilidad de un compilador multi-objetivo, es decir, un compilador que genera código en diferentes lenguajes. El mismo genera, a través de un analizador sintáctico, lo que se conoce como un árbol de sintaxis abstracta (AST). En éste se encuentra



toda la información del modelo en forma estructurada y es utilizado por un analizador semántico, que se encarga de determinar que el modelo “tenga sentido”, como por ejemplo, que no se quiera comparar un conjunto con un texto (chequeo de tipos). Luego, una vez que el modelo es semánticamente verificado, y por medio de generadores de código “especializados”, cada uno para un lenguaje destino diferente, se genera el código de los modelos en el lenguaje destino. Si se desea generar código para el lenguaje de una herramienta de M&S nueva, solo se necesita agregar un nuevo generador de código, que tome el AST y genere el código correspondiente. Un esquema de este compilador multi-objetivo se esboza en la Figura 2.9



**Figura 2.9:** Traducción de modelos CML-DEVS a diferentes lenguajes de simulación

### 2.5.1. Pre-procesamiento

Antes de comenzar con la traducción propiamente dicha del modelo CML-DEVS, debe realizarse un pre-procesamiento para que sea posible dicha traducción. En este pre-procesamiento se “normaliza” la definición del modelo según dos requisitos. El primero hace referencia a la normalización en la definición de los tipos *Unión* y el segundo, a la definición de tipos complejos en general.

#### Normalización de los tipo *Unión*

Al ser tan flexible la definición de variables utilizando uniones entre conjuntos de diferentes tipos, el tipo resultante puede incluir en forma redundante algunos tipos.

Por ejemplo, por algún motivo el modelador podría definir algo como sigue:

$$\begin{aligned} Type1 &== \mathbb{N} \cup \{\emptyset\}; \\ Type2 &== \mathbb{Z} \cup \{\infty\}; \\ var &: Type1 \cup Type2; \end{aligned}$$

dónde el tipo de la variable  $var$ , en definitiva, es  $\mathbb{Z} \cup \{\emptyset, \infty\}$  (dado que  $\mathbb{N} \subseteq \mathbb{Z}$ ). Sin embargo, como se verá más adelante en las reglas de traducción, no son analizados esos casos particulares. Las variables de tipo Unión, se representan con estructuras (clases, en los lenguajes orientados a objetos) relativamente complejas utilizando una variable por cada tipo de la unión. Al traducir una definición como la anterior generaría variables innecesarias y dificultaría o produciría resultados tal vez incorrectos en las asignaciones o comparaciones que utilicen variables de este tipo.

Es por esto que, antes de la traducción se deben normalizar todos los tipos definidos mediante uniones. Luego de esta fase de pre-procesamiento, un tipo unión  $A_1 \cup \dots \cup A_N$ , es normalizado de la siguiente forma equivalente:  $B_1 \cup \dots \cup B_M$ , dónde  $M \leq N$  y:

- $A_i = \{x_1^{A_i}, \dots, x_{N_{A_i}}^{A_i}\} \wedge A_j = \{x_1^{A_j}, \dots, x_{N_{A_j}}^{A_j}\} \Rightarrow$   
 $\exists k : B_k = \{x_1^{A_i}, \dots, x_{N_{A_i}}^{A_i}, x_1^{A_j}, \dots, x_{N_{A_j}}^{A_j}\}$
- $A_i = \mathbb{N} \wedge A_j = \mathbb{Z} \Rightarrow \exists k : B_k = \mathbb{Z} \wedge \nexists l : B_l = \mathbb{N}$
- $A_i = \mathbb{N} \wedge A_j = \mathbb{R} \Rightarrow \exists k : B_k = \mathbb{R} \wedge \nexists l : B_l = \mathbb{N}$
- $A_i = \mathbb{Z} \wedge A_j = \mathbb{R} \Rightarrow \exists k : B_k = \mathbb{R} \wedge \nexists l : B_l = \mathbb{Z}$
- $k \neq l \Rightarrow B_k \neq B_l$

con  $i, j \in 1 \dots N$  y  $k, l \in 1 \dots M$

Lo anterior significa que, en una unión normalizada, hay (cómo máximo) sólo un tipo enumerado, conteniendo todos los elementos de los tipos enumerados de la unión no normalizada y solo queda el tipo matemático “más grande”,  $\mathbb{N} \subset \mathbb{Z} \subset \mathbb{R}$ .

Por otro lado, luego de esta normalización, no importa el orden de los tipos en una unión. El tipo  $B_k \cup B_l$  es el mismo que  $B_l \cup B_k$  y por tanto, sólo uno permanece.

### Redefinición y normalización de tipos complejos

La otra fase de pre-procesamiento se la conoce como *aplanamiento* de las definiciones de tipo. En la misma, se le asigna un nombre (sinónimo) a cada unión o tupla que forme parte de un tipo mayor. Luego, la unión o el tipo es reemplazado por el sinónimo asignado. Veamos esta situación con un ejemplo. La expresión:

$$varName : \mathbb{P}((\mathbb{N} \cup \{\emptyset\}) \times (\mathbb{R} \cup \{\emptyset\}));$$

se transforma en:

$$\begin{aligned} varNameType1 &== (\mathbb{N} \cup \{\emptyset\}); \\ varNameType2 &== (\mathbb{R} \cup \{\emptyset\}); \\ varNameType3 &== varNameType1 \times varNameType2; \\ varName &: \mathbb{P} varNameType3; \end{aligned}$$

Notar que la redefinición es “de adentro hacia afuera”, i.e. las tuplas y uniones internas se redefinen primero y luego las exteriores. Otra observación es que si  $Expr_i = Expr_j$  con  $i \neq j$ , luego  $SynonName_i = SynonName_j$ . En otras palabras, a expresiones de tipo equivalentes se les asigna el mismo sinónimo.

Entonces, una vez terminado este proceso de redefinición, cada definición de variable tiene la siguiente forma:

$$varName : Type;$$

dónde  $Type$  es uno de los siguientes:

- $(BT \mid SN)$
- $List(BT \mid SN)$
- $\mathbb{P}(BT \mid SN)$
- $((BT \mid SN) \mid (List(BT \mid SN)) \mid (\mathbb{P}(BT \mid SN))) \times \dots \times ((BT \mid SN) \mid (List(BT \mid SN)) \mid (\mathbb{P}(BT \mid SN)))$
- $((BT \mid SN) \mid (List(BT \mid SN)) \mid (\mathbb{P}(BT \mid SN))) \cup \dots \cup ((BT \mid SN) \mid (List(BT \mid SN)) \mid (\mathbb{P}(BT \mid SN)))$

con  $BT = \mathbb{N} \mid \mathbb{Z} \mid \mathbb{R} \mid \text{Text} \mid \text{Bool} \mid \text{Time} \mid EnumType$  y  $SN$  es el nombre que se le ha asignado a algún sinónimo.

Por otro lado, cada definición de sinónimo es de la siguiente forma:

$$SynonName == Type;$$

dónde  $Type$  es también de la forma mencionada anteriormente.

### 2.5.2. Reglas de traducción

En esta sección mostramos y comentamos, a través de algunos ejemplos, cómo transformar un modelo abstracto escrito en CML-DEVS en modelos implementados en DEVS-Suite y en PowerDEVS. En el Anexo B se detalla en forma completa las reglas

de traducción. Como puede notarse en dicho anexo, muchas de las reglas se definen en forma recursiva, o utilizan otras reglas, a su vez, para llevar a cabo las traducciones.

### Estructura del modelo

Lo primero que hay que hacer para poder simular un modelo, tanto en DEVS-Suite como en PowerDEVS, es generar los archivos necesarios, con la estructura y el código que cada herramienta requiere. Para el caso de DEVS-Suite, se necesita un archivo “ModelName.java” incluyendo en él toda la información del modelo. Este archivo consiste en una clase Java que representa el modelo en sí. Las variables de estado son declaradas como variables de la clase, junto con las funciones de transición, de salida y de avance de tiempo, como métodos de la clase. En el constructor de la clase se instancian las variables que sean necesarias y se declaran los puertos de entrada y de salida. En caso de que corresponda, DEVS-Suite prevé un método, en las clases que representan modelos, para inicializar las variables del mismo.

En el caso de PowerDEVS, son necesarios, al menos, tres archivos. Uno con la estructura del modelo (con la ruta a la implementación del modelo, parámetros y conexiones de puertos), “ModelName.pds”. Los otros dos son archivos C++, la cabecera, “ModelName.h”, y el código fuente, “ModelName.cpp”. En la cabecera se definen las variables de estado y se declaran las funciones. Las definiciones de estas funciones van en el archivo del código fuente. Si además, el especialista quiere simular el modelo utilizando la GUI de PowerDEVS, se necesita un archivo más, “ModelName.pdm”, incluyendo la información gráfica (tamaño, colores, posición, etc).

### Definiciones

Las definiciones se utilizan, principalmente, para definir variables del estado. Pero también, como mencionamos antes, CML-DEVS permite definiciones de variables en otras partes del modelo, e.g. en las sentencias *where* y en las funciones definidas por el usuario.

Los tipos básicos,  $\mathbb{N}$ ,  $\mathbb{Z}$ ,  $\mathbb{R}$ , `Time`, `Text` y `Boolean`, son bastante simple de traducir ya que para cada uno de estos existe un tipo o clase en Java y C++ al cual puede ser traducido. En cuando a los tipos enumerados  $\{enum_1, \dots, enum_n\}$ , en lugar de usar el tipo `enum` de Java y C++ decidimos usar `String` y `const char*` respectivamente, para facilitar la inclusión de éstos en tipos complejos. Los conjuntos y listas también son relativamente simple de traducir, aprovechando las plantillas (templates) ya definidos por ambos lenguajes. La Tabla 2.3 muestra estas traducciones.

CML-DEVS	DEVS-Suite	PowerDEVS
<i>varName</i> : $\mathbb{N}$ ;	Integer <i>varName</i> ;	unsigned int <i>varName</i> ;
<i>varName</i> : $\mathbb{Z}$ ;	Integer <i>varName</i> ;	int <i>varName</i> ;
<i>varName</i> : $\mathbb{R}$ ;	Double <i>varName</i> ;	double <i>varName</i> ;
<i>varName</i> : Time;	Double <i>varName</i> ;	double <i>varName</i> ;
<i>varName</i> : Boolean;	Boolean <i>varName</i> ;	bool <i>varName</i> ;
<i>varName</i> : Text;	String <i>varName</i> ;	const char* <i>varName</i> ;
<i>varName</i> : {...};	String <i>varName</i> ;	const char* <i>varName</i> ;
<i>varName</i> : Set Type;	Set<Type> <i>varName</i> ;	std::set<Type> <i>varName</i> ;
<i>varName</i> : List Type;	List<Type> <i>varName</i> ;	std::list<Type> <i>varName</i> ;

**Tabla 2.3:** Traducción de tipos básicos, Sets y List

En cuanto a las tuplas y uniones, diferentes tipos de clases se definen para representarlas. Además, dependiendo del tipo, cada clase necesita diferentes métodos y constructores que servirán luego para el manejo de variables de estos tipos en asignaciones, comparaciones o inclusiones. Por ejemplo, en las Figuras 2.10 y 2.11 mostramos cómo traducir a Java y C++, respectivamente, la siguiente definición de una unión:

$$out : \mathbb{R} \cup \{\emptyset\};$$

El método `equals(...)` de la Figura 2.10 y la sobrecarga del operador `==`, `operator==(...)`, de la Figura 2.11 son utilizados para comparar instancias de dichas clases a fin de determinar si estas son iguales o no. En cambio, el método `compareTo(...)` y la sobrecarga del operador `<`, `operator<(...)`, de las mismas Figuras, respectivamente, no son usados propiamente para comparar si una instancia de dicha clase es menor que otra. Por ejemplo, en el caso de Java, las clases usadas para traducir tuplas y uniones implementan `Comparable<Object>` a fin de poder incluirlas en conjuntos y listas. Esta implementación necesita que el método `compareTo` sea implementado y, en nuestro caso, solo basta con determinar si las instancias son diferentes o no. Algo similar ocurre en C++ con la sobrecarga del operador `<`. Esta operación es utilizada por el template `std::set` en la operación de inserción, `insert`. La sobrecarga del operador `=` en C++, `operator=(...)`, es usada en las asignaciones. Los diferentes constructores son utilizados para implementar asignaciones y comparaciones.

Para el caso particular de las definiciones de los puertos, hay que mencionar que, en el caso de los puertos de entrada, tanto en Java como en C++ se define una variable extra, cuyo tipo es la unión de los tipos de los diferentes puertos de entrada. Esta variable se utiliza para manejar los valores de entrada en la función de transición externa. En cuanto a los puertos de salida, se define una clase “independiente” por cada puerto de salida, con el tipo de dicho puerto. Esto último se debe a que los valores deben poder ser accedidos desde fuera del modelo atómico que se está traduciendo.

```
static class T_out extends Entity implements Comparable<Object>{
    public Double v_Number;
    public String v_Enum;
    public String type;
    T_out(){
        v_Number = new Double(0.0);
        v_Enum = new String("");
        type = new String("");
    }
    T_out(T_out other){
        this.v_Number=other.v_Number;
        this.v_Enum=other.v_Enum;
        this.type=other.type;
    }
    T_out(Double v){
        v_Number=v;
        type="Number";
    }
    T_out(String v){
        v_Enum=v;
        type="Enum";
    }
    @Override
    public boolean equals(Object obj){
        if (obj == this) return true;
        else if (obj==null) return false;
        else if (obj.getClass()!=T_out.class) return false;
        else{
            T_out other = (T_out) obj;
            if (other.type!=this.type) return false;
            else if (this.type=="Number") return (this.v_Number.equals(other.v_Number));
            else return (this.v_Enum.equals(other.v_Enum));
        }
    }
    @Override
    public int compareTo(Object other){
        return this.equals(other)?0:1;
    }
}
T_out out;
```

**Figura 2.10:** Traducción de una unión de CML-DEVS a DEVS-Suite

```
class T_out{
public:
double v_Number;
const char* v_Enum;
const char* type;
bool operator==(const T_out& other) const{
    if (this->type==other.type){
        if (this->type=="Number") return (this->v_Number==other.v_Number);
        else return (this->v_Enum==other.v_Enum);
    }
    else return false;
}
bool operator<(const T_out& other) const{
    return !(*this==other);
}
T_out& operator=(const T_out& other){
    this->v_Number=other.v_Number;
    this->v_Enum=other.v_Enum;
    this->type=other.type;
    return *this;
}
T_out(){
}
T_out(double v){
    v_Number=v;
    type="Number";
}
T_out(const char* v){
    v_Enum=v;
    type="Enum";
}
} out;
```

**Figura 2.11:** Traducción de una unión de CML-DEVS a PowerDEVS

```

engine = "stopped";
years = buildSet(1974, 1988, 1990, 1991, 1992, 2004, 2013);
pair.v1 = toInteger(-14);
pair.v2 = toDouble(3.1416);
val = sin(45);
jobs = buildList(2.34, 5.98, 6.83);
elem = (xs).get(0);
sigma = sigma - e;
out.type = "Enum";
out.v_Enum = "EMPTY";
listA.clear();
listA.addAll(listB);

```

**Figura 2.12:** Traducción de asignaciones básicas de CML-DEVS a código DEVS-Suite

```

engine = "stopped";
years = buildSet<int>(7,1974, 1988, 1990, 1991, 1992, 2004, 2013);
pair.v1 = (int)-14;
pair.v2 = (double)3.1416;
val = sin(45);
jobs = buildList<double>(3,2.34, 5.98, 6.83);
elem = (xs).front();
sigma = sigma - e;
listA = listB;

```

**Figura 2.13:** Traducción de asignaciones básicas de CML-DEVS a código PowerDEVS

## Asignaciones

Dependiendo del tipo de la variable del lado izquierdo de la asignación, una asignación puede involucrar una o más sentencias en el lenguaje destino. Más aún, algunas funciones auxiliares como `buildSet`, pueden llegar a ser necesarias. Las Figuras 2.12 y 2.13 muestran las traducciones de las asignaciones de la Figura 2.4 a DEVS-Suite y PowerDEVS respectivamente.

Además de la funciones auxiliares `buildSet`, `buillist`, `toInteger` y `toDouble` hay varias más que ayudan con la traducción. Estas pueden verse en el Anexo B.

## Sentencias “For Each”

La traducción de las sentencias *foreach* involucra también variables auxiliares. En las Figuras 2.14 y 2.15 se muestra como traducir a código Java y C++, respectivamente la sentencia *foreach* de CML-DEVS de la Figura 2.5. Recordar que estas sentencias funcionan solamente para  $\mathbb{P}$  y List.

```

Set<Integer> setTmp = new TreeSet<Integer>(X);
for(Integer x: setTmp){
    X = setDiff(X,buildSet(new Integer(x)));
    X = setUnion(X,buildSet(new Integer(x*2)));
}

```

**Figura 2.14:** Traducción de una sentencia *foreach* de CML-DEVS a código Java



```

std::set<int> setTmp = X;
for(std::set<int>::iterator it = setTmp.begin(); it!=setTmp.end(); it++){
    int x = *it;
    X = setDiff(X,buildSet<int>(1,x));
    X = setUnion(X,buildSet<int>(1,x*2));
}

```

**Figura 2.15:** Traducción de una sentencia *foreach* de CML-DEVS a código C++

```

if (xs != buildList<double>(0)){
    s.v1 = listTail(xs);
    s.v2 = INFINITY;
}
else if (xs == buildList<double>(0)){
    s.v1 = xs;
    s.v2 = INFINITY;
}

```

**Figura 2.17:** Traducción de sentencias *case* de CML-DEVS a PowerDEVS

### Sentencias “case”

La clave en la traducción de las sentencias *case ... ; if (...)* está en la traducción de las condiciones, ya que la traducción de las sentencias antes del *if* son como las que ya describimos o describiremos a continuación (asignaciones, *foreach*, *case* y *where*). La estructura principal de una sentencia *case* se traduce usando las clásicas estructuras condicionales de Java y C++, *if*, *else if* y *else*. En las Figuras 2.16 y 2.17 mostramos cómo traducir a Java y C++ las sentencias *case* de la transición interna del ejemplo de la Cola de Producción y, además, en las Figuras 2.18 y 2.19 las traducciones de las condiciones de CML-DEVS de la Figura 2.6

```

if (xs != buildList()){
    s.v1 = xs.subList(1,xs.size()-1);
    s.v2 = INFINITY;
}
else if (xs == buildList()){
    s.v1 = xs;
    s.v2 = INFINITY;
}

```

**Figura 2.16:** Traducción de sentencias *case* de CML-DEVS a DEVS-Suite

```

!(engine=="stopped")
year != buildSet()
pair.v1 <= 13
jobs.contains(toDouble(5.63))
isSubset(buildSet(toInteger(1974), toInteger(1990)), years)
(in.type=="Enum")&&(in.v_Enum.equals("emitir"))

```

**Figura 2.18:** Traducción de condiciones de CML-DEVS a código Java

```
!(engine=="stopped")
year != buildSet<int>()
pair.v1 <= 13
findInSet(jobs, (double)5.63)
isSubset(buildSet<int>((int)1974), years)
(in.type=="Enum")&&(in.v_Enum=="emitir")
```

**Figura 2.19:** Traducción de condiciones de CML-DEVS a código C++

### Sentencias “where”

La traducción de las sentencias **where** consiste, justamente, en reorganizar apropiadamente el orden de las definiciones y las sentencias en el lenguaje objetivo y realizar las correspondientes traducciones de dichas definiciones y sentencias. Las traducciones a Java y C++ de la sentencia **where** de DML-DEVS de la Figura 2.7 se describen en las Figuras 2.20 y 2.21, respectivamente.

```
List<Double> ys = new ArrayList<Double>();
ys = listCat(xs,toDouble(value));
xs = ys;
```

**Figura 2.20:** Traducción de una sentencia “where” de CML-DEVS a código Java

```
std::list<Double> ys;
ys = listCat(xs, (double)value);
xs = ys;
```

**Figura 2.21:** Traducción de una sentencia “where” de CML-DEVS a código C++

### 2.5.3. Funciones definidas por el usuario

Para traducir una función de CML-DEVS definida por el usuario, antes que todo, debe chequearse si el tipo de retorno de la función ha sido definido ya o no (parte del pre-procesamiento) y definirlo si es necesario. Luego, la función se define (con la correspondiente declaración en la cabecera en el caso de C++) usando las reglas de traducción previamente explicadas. Las figuras 2.22 y 2.23 muestran cómo se traduce la función definida en la Figura 2.8 a Java y a C++.

### 2.5.4. Post-procesamiento

Una vez que el modelo ha sido traducido, tanto a DEVS-Java como a PowerDEVS, es necesario realizar un post-procesamiento en el que cada variable involucrada en el estado del modelo, es reemplazada, dentro de las definiciones de las funciones de transición ( $\delta_{int}$  y  $\delta_{ext}$ ), en cada ocurrencia de éstas en el lado derecho de una asignación o en una comparación. Para tal fin, se utiliza una copia de las variables del modelo

```

public Set<Integer> filter(Set<Integer> S, Integer n){
    Set<Integer> res;
    Set<Integer> setTmp = new TreeSet<Integer>(S);
    for(Integer x: setTmp){
        if (x<n){
            res = setUnion(res, buildSet(toInteger(x)));
        }
    }
    return retVal;
}

```

**Figura 2.22:** Traducción de una función definida con CML-DEVS a código Java

```

std::set<unsigned int> modelName::filter(std::set<unsigned int> S, unsigned int n){
    std::set<unsigned int> res;
    std::set<unsigned int> setTmp = S;
    for(std::set<unsigned int>::iterator it = setTmp.begin(); it!=setTmp.end(); it++)\{
        unsigned int x = *it;
        if (x<n){
            res = setUnion(res, buildSet<unsigned int>((unsigned int)(x)));
        }
    }
    return retVal;
}

```

**Figura 2.23:** Traducción de una función definida con CML-DEVS a código C++

hecha anteriormente, al inicio de la función (`modelName prev=modelName(this);` -en el caso de Java-).

Por ejemplo, supongamos que la variable `varX` es parte del estado del modelo y la misma aparece en el lado derecho de una asignación:

```
varY=varX+7;
```

entonces, se reemplaza por:

```
varY=prev.varX+7;
```

y, de igual forma, aparece dentro de una comparación (en cualquiera de los lados):

```
(varX >= varY)
```

también se reemplaza:

```
(prev.varX >= varY)
```

Este reemplazo se debe a que, en las funciones de transición, estas variables pueden modificar su valor pero, cuando se hace referencia a éstas en el modelo abstracto, la referencia es sobre el valor de las mismas en el estado previo a la transición.

Supongamos que en un modelo el estado tiene la siguiente representación:

$$S = \mathbb{N} \times \mathbb{R} \times \text{Time}$$

y la función de transición interna,  $\delta_{int}$ , es como sigue:

$$\delta_{int}((n, r, \sigma)) = (n + 1, r * n, \sigma + n)$$

En este caso, tanto en  $r * n$  como en  $\sigma + n$  se debe considerar el valor de  $n$  antes de realizar dicha transición, i.e. antes de que  $n$  asuma el valor  $n + 1$ . Veamos cómo sería el código Java del modelo luego de la traducción. La definición del estado sería:

```
Integer n;
Double r;
Double t;
```

y la función de transición interna:

```
public void deltint(){
    n = n+1;
    r = r*n;
    sigma = sigma+n;
}
```

Sin embargo, claramente este no es el comportamiento que expresa el modelo (al finalizar la función,  $\sigma$  tendría el valor  $\sigma + (n + 1)$  en lugar de  $\sigma + n$ , y un caso similar ocurre con  $r$ ). Por lo tanto, las ocurrencias de las variables del estado en la parte derecha de las asignaciones son reemplazadas por la copia hecha previamente:

```
public void deltint(){
    modelName prev=new modelName(this);
    n = prev.n+1;
    r = prev.r*prev.n;
    sigma = prev.sigma+prev.n;
}
```

Notar que no todos los reemplazos son necesario para preservar el comportamiento del modelo. Sin embargo, para evitar tener que determinar qué variables modifican sus valores antes de ser utilizadas del lado derecho de una asignación o una comparación, todas son reemplazadas sin afectar la complejidad del modelo.

## 2.6. Conclusiones y otras consideraciones

En este capítulo describimos el primer aporte que presenta esta tesis. Este se centra en CML-DEVS, un lenguaje que permite la descripción de modelos DEVS en forma

conceptual, abstracta, como fue presentado originalmente por Zeigler; independiente de toda plataforma o implementación.

Creemos que CML-DEVS es realmente abstracto, en cuanto a la expresividad que tiene y cómo se definen con él los modelos DEVS. Por ejemplo, si el lenguaje proveyese solamente listas (como el caso de DEVSpecL) se puede complicar innecesariamente la descripción del modelo, si el ingeniero desea utilizar conjuntos. En este sentido intentamos acercar el lenguaje a formalismos tales como Z y B donde se utilizan más la teoría de conjuntos que la teoría de listas para especificar. Muchas entidades del mundo real son esencialmente conjuntos y no listas.

El principal beneficio de este lenguaje es que el especialista, o modelador, puede definir sus modelos sin la necesidad de poseer conocimientos o habilidades de programación y sin tener que conocer el lenguaje de ninguna herramienta de M&S específica.

También presentamos las reglas que permiten traducir, en forma automática, un modelo CML-DEVS en modelos de PowerDEVS y de DEVS-Suite. Estas reglas pueden ser implementadas dentro de un compilador multi-objetivo. De este modo, el especialista puede describir el modelo en forma abstracta y luego simularlo con la herramienta que desee. Se eligieron estas dos herramientas en particular, pero este trabajo puede extenderse al resto de las herramientas de M&S más utilizadas y conocidas. La intención principal es mostrar que es posible describir modelos DEVS en forma abstracta, o conceptual y traducirlos en forma automática a algún lenguaje concreto.

Teniendo los modelos DEVS descritos en su forma abstracta, independiente de toda implementación o plataforma particular permite, por un lado, la interoperabilidad entre especialistas o investigadores y, por el otro, facilita el mantenimiento y modificaciones de dichos modelos

En cuanto a la sintaxis de CML-DEVS y los símbolos como  $\mathbb{N}$ ,  $\mathbb{R}$ ,  $\infty$ ,  $\emptyset$ , para describir el modelo y que luego pueda ser procesado por el compilador, podrían utilizarse varias alternativas. Una, es la de utilizar algún procesador de textos como Write de Libreoffice, o Microsoft Word, por ejemplo y los símbolos que estos procesadores proveen. Luego, estos documentos pueden convertirse fácilmente a documentos XML para ser procesados. También podría escribirse el modelo en texto plano utilizando comandos como los de  $\text{\LaTeX}$ [34] o simplemente definir comandos o palabras claves para reemplazar los símbolos. Otra opción es desarrollar una GUI que ofrezca, entre otras cosas cómo asistente código y verificación de sintaxis, un entorno gráfico para el uso de estos símbolos y también mostrar el modelo y las funciones de una forma elegante.

Actualmente, no hay ningún compilador de CML-DEVS desarrollado. Esto forma parte de nuestro futuro trabajo, por lo tanto, las consideraciones antes mencionadas serán tenidas en cuenta. Creemos que, teniendo definidas ya las reglas de traducción, no es una empresa muy complicada desarrollar una GUI, incluyendo el compilador

multi-objetivo, que permita la creación y edición de modelos CML-DEVS de forma sencilla y elegante.

El trabajo futuro incluye, además, extender CML-DEVS para incluir las variantes o extensiones del formalismo DEVS mencionadas en el Capítulo 1, es decir, utilizar CML-DEVS para describir en forma abstracta modelos P-DEVS, STDEVS, Cell-DEVS, etc. También podemos incluir dentro de las futuras líneas de investigación, extender las reglas de traducción de modelos CML-DEVS a otras herramientas de M&S.

Como el lector pudo notar a lo largo del capítulo, el código generado luego de la traducción puede no ser tan elegante como uno espera, podría ser tal vez más simple o quizás el lector podría imaginar una traducción óptima en algunos casos. Siendo que CML-DEVS trata de cubrir un gran espectro de modelos, esto ocasiona que el código objetivo resultante de la traducción de tal rango de modelos sea a veces engorroso. Sin embargo, creemos que el código resultante no debe ser mantenido ni editado. Si el especialista o modelador necesita hacer cambios en el modelo, debe realizarlo sobre el modelo CML-DEVS y luego re-compilarlo. Por ejemplo, por este motivo también se provee de un método para asignar valores iniciales a las variables del estado del sistema, y no tener que editar el código final asignando dichos valores. Por otro lado, una vez que el ingeniero o especialista está seguro de tener el modelo que quiere, es decir el modelo ha sido ya validado (Capítulo 3), puede pedirle a algún programador que haga una implementación óptima en el mejor simulador para dicho modelo.



# Capítulo 3

## Validación de Modelos DEVS

En este capítulo describimos la segunda contribución que presenta esta tesis, la misma consiste en una novedosa técnica de validación de modelos DEVS y ésta fue publicada durante el desarrollo de esta tesis en un congreso internacional [35] y una revista internacional [36]. En la siguiente sección introducimos la verificación y validación de modelos DEVS y finalizamos describiendo cómo se estructura el resto del capítulo.

### 3.1. Introducción

El desarrollo y el uso de modelos de simulación ha aumentado considerablemente en los últimos años. Con frecuencia se utilizan como la primera representación de sistemas que más tarde se usarán para la toma de decisiones en situaciones críticas. Se ha convertido, por lo tanto, cada vez más necesario la definición de técnicas rigurosas que aseguren que dichos modelos representan tan bien como sea posible el sistema real que está siendo modelado. Dicho en otras palabras, la utilización de métodos de Verificación y Validación (V&V) de modelos de simulación se ha vuelto crucial.

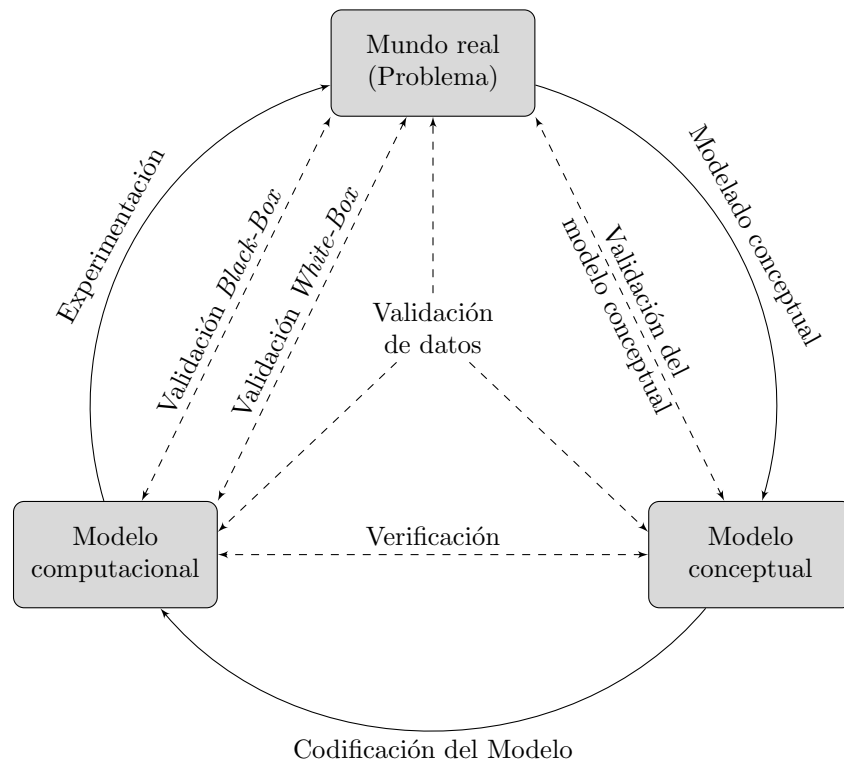
De acuerdo con el la directiva [37] del Departamento de Defensa de EE.UU., verificación es “el proceso de determinar si la implementación de un modelo representa con exactitud la descripción y especificaciones conceptuales del desarrollador”. En el contexto del modelado y simulación, la pregunta que la verificación de modelos trata de responder es: ¿Estamos simulando, o hemos simulado, el modelo correctamente? Por otro lado, validación es “el proceso de determinar el grado en que un modelo es la representación exacta del mundo real desde la perspectiva del uso previsto del modelo”. En este caso, la pregunta es: ¿Estamos simulando, o hemos simulado, el modelo correcto?

Realizar la V&V de modelos de simulación ha sido identificado como una actividad primordial ya que esto puede incrementar la confianza del usuario en los resultados



de la simulación y llegar a la acreditación/certificación de los sistemas simulados [38]. Esta acreditación o certificación es de especial importancia cuando los resultados de la simulación se usan en la toma de decisiones sobre temas cruciales.

La Figura 3.1, presentada por Sargent [39] y adaptada luego por Robinson [40], muestra las diferentes fase de V&V sobre el proceso de modelado. A partir del problema o sistema que se intenta modelar se describe el modelo conceptual (o abstracto) que luego se codifica obteniendo el modelo computacional (o concreto). Sobre este modelo concreto se realizan los experimentos (simulaciones). Entre las diferentes etapas existen validaciones y verificaciones. Esto es, se verifican y validan los modelos comparándolos entre sí y con el problema del mundo real o el sistema que se intenta modelar. El trabajo presentado en este capítulo apunta a la fase *Validación del modelo conceptual*, i.e. validar el modelo abstracto o conceptual contra los requerimientos del mismo.



**Figura 3.1:** V&V de modelos de simulación en el proceso de modelado

### 3.1.1. Validación de modelos de simulación y el testing basado en modelos

La validación de un modelo contra los requerimientos, usualmente no puede ser realizada matemáticamente porque los requerimientos no son formales. Una forma alternativa es a través de simulaciones. El ingeniero compara los resultados de las simulaciones con los requerimientos con el fin de decidir si el modelo es correcto o no. Esto es

particularmente importante cuando el modelo es demasiado grande, su implementación es crítica y/o las decisiones que se tomen de acuerdo a los resultados provistos por la implementación del modelo y sus simulaciones son críticas. Además, dado que es muy importante encontrar la mayor cantidad de errores posibles y lo más pronto posible, entonces un minucioso proceso de simulación puede ser una actividad que reduzca el costo total del sistema de destino.

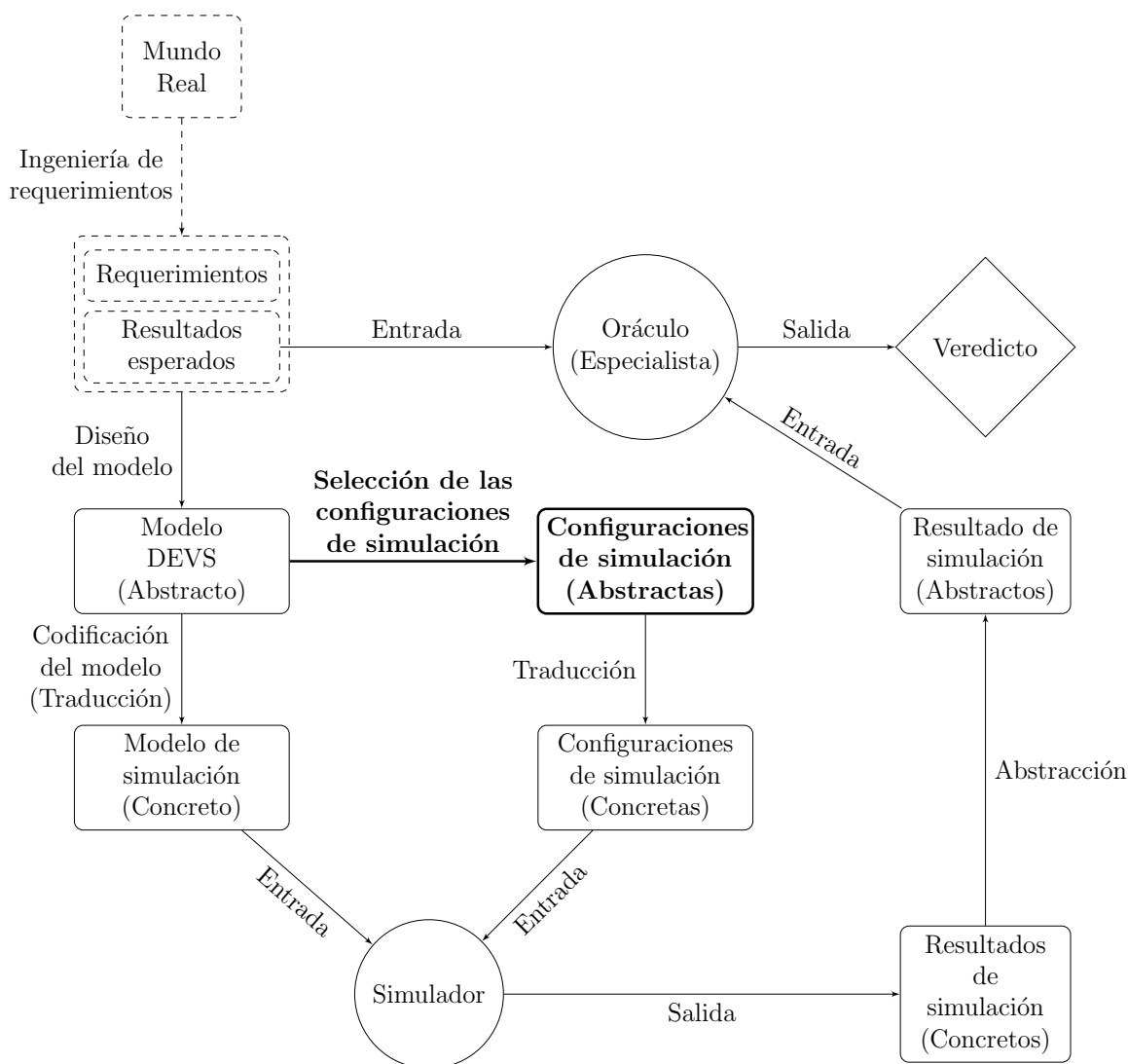
Durante la simulación del modelo sería deseable ejecutar todas las posibles simulaciones, i.e. ejecutar simulaciones con todas las configuraciones de simulación (estados iniciales y secuencias de eventos) posibles, y comparar estos comportamientos con los requerimientos. Desafortunadamente, una simulación exhaustiva es impracticable en casi todos los proyectos ya que involucra un número infinito de configuraciones de simulación. Considerando esto, la selección de un conjunto apropiado de configuraciones de simulación es un asunto crucial que debe considerar dos factores opuestos: a) el conjunto de configuraciones de simulación debe ser lo suficientemente grande para dar una seguridad razonable de que el modelo es una representación correcta de los requerimientos; y b) el conjunto debe ser lo suficientemente chico para que la V&V encaje dentro del tiempo y presupuesto con el que se cuenta.

El formalismo de modelado y simulación en el que basamos este trabajo, como en toda la tesis, es DEVS. En la Figura 3.2 presentamos el proceso de validación de modelos DEVS a través de simulaciones. Este proceso es una de las posibles alternativas para llevar a cabo la fase de validación del modelo conceptual de la Figura 3.1. Primero que todo, los requerimientos se extraen del *mundo real*, o de la descripción del problema que está siendo modelado. Basado en éstos, el modelo conceptual o abstracto es definido utilizando un formalismo de modelado.

De acuerdo con este proceso de validación, una vez que el modelo abstracto es definido, un conjunto de configuraciones de simulación es derivado de este. Posteriormente, ambos, el modelo abstracto y el conjunto de configuraciones de simulación son traducidos al lenguaje de alguna herramienta de simulación.

Finalmente, los resultados de la simulación (concretos) necesitan ser traducidos en forma inversa, es decir, desde el lenguaje concreto al abstracto. Entonces, estos resultados abstractos se comparan con los resultados esperados. Esta última tarea, conocida generalmente como el *problema del oráculo*, es un problema complejo en este contexto como también lo es en el testing de software y para el cual no hay una solución general [38, 41].

A pesar del hecho de que el objetivo final es formalizar todo el proceso de validación, el aporte de este capítulo está enfocado en la selección de un conjunto apropiado de configuraciones de simulación. Como mencionamos antes, esta es la parte crucial en este proceso de validación. El mismo consiste en convertir un problema infinito (el conjunto de todas las configuraciones de simulación) en un problema finito. Más



**Figura 3.2:** Validación de modelos DEVS a través de simulación

aún, esto debe hacerse tratando de mantener en el conjunto final las configuraciones más importantes o relevantes. En otras palabras, el conjunto final de configuraciones de simulación debe ser pequeño y debe cubrir minuciosamente todas las alternativas funcionales descritas en el modelo. El resto del proceso de validación consiste, principalmente, en la implementación de dicho proceso y se detalla con más profundidad en la Sección 3.7

En general, la simulación de modelos se realiza de acuerdo a la experiencia o intuición de un especialista. Por lo tanto, no se sigue ninguna guía ni criterios rigurosos para definir un conjunto adecuado de configuraciones de simulación, convirtiendo a la simulación de modelos en un proceso informal y propenso a errores. Por otro lado, siendo la selección de configuraciones de simulación una actividad informal, esta no puede ser automatizada. Sin embargo, se puede automatizar hasta cierto punto si el proceso de selección es formalizado en forma tal que, más tarde, una herramienta de software pueda ayudar en esta tarea. Por consiguiente, es deseable definir formalmente

criterios de simulación para considerar la simulación de modelos como un proceso de validación con un aceptable grado de exactitud.

En el campo del *testing de software* existe un escenario análogo. De acuerdo a Utting y Legeard [42] el testing de software se ocupa de la verificación dinámica del comportamiento de un programa en un conjunto finito de casos de prueba, adecuadamente seleccionados de un dominio de ejecución usualmente infinito, contra el comportamiento esperado. Existen varios trabajos tratando de formalizar el proceso de testing de software. Muchos de estos pertenecen al sub-campo del testing conocido como *testing basado en modelos* (MBT, por el inglés Model Based-Testing). Utting y Legeard definen MBT como la generación de casos de test ejecutables, basada en modelos del comportamiento del sistema que se está testeando (SUT, del inglés System Under Test). Entonces, podemos trazar una analogía entre MBT y la validación de modelos vía simulación. El modelo puede ser visto como la especificación del SUT en MBT y la generación de casos de test como la generación de las configuraciones de simulación. Más aún, podemos trazar también una analogía entre CML-DEVS, presentado en el Capítulo 2 y los lenguajes formales de especificación de MBT.

Siendo tan importante en el desarrollo de software, el proceso de MBT ha sido perfeccionado hasta el punto de convertirse en casi automático, en muchos casos obteniendo muy buenos resultados. [41–43]. En consecuencia, vale la pena explorar si algunas de las técnicas de MBT pueden replicarse en el contexto de la validación de modelos vía simulación.

Una parte importante de esta automatización es posible gracias a que existen criterios de testing precisos. Esto es, criterios de testing que indican que tests deben generarse a partir del modelo, siendo que usualmente existe un número infinito de posibles tests [42]. Además, es una condición necesaria para lograr la automatización partir de un lenguaje de especificación formal.

A pesar de que muchos métodos de MBT pueden ser utilizados o adaptados para seguir la analogía antes mencionada, basamos el trabajo que se presenta en este capítulo en el *Test Template Framework* (TTF). El TTF es un método de MBT presentado por Stocks y Carrington [44] e implementado luego por Cristiá et al [43]. El TTF fue introducido para definir formalmente conjuntos de datos de test proviendo de una estructura al proceso de testing. La elección del TTF como método de MBT es motivada por el hecho de que lidia con la definición matemática y lógica del modelo en lugar de analizar, por ejemplo, trazas o ejecuciones del mismo. Por lo tanto, la forma en que se define un modelo DEVS permite adaptar el TTF de forma relativamente sencilla como veremos más adelante.

Teniendo todo esto en cuenta, como segundo aporte de esta tesis se presenta una familia de criterios de simulación proporcionando una novedosa técnica para validar, en forma rigurosa y sistemática, modelos DEVS vía simulaciones. Esta técnica fue

publicada en un congreso internacional [35], premiado como mejor artículo del *Symposium on Theory of Modeling & Simulation* (TMS/DEVS 2012) y artículo finalista de la *Spring Simulation Multi-Conference 2012* en reconocimiento a su calidad, originalidad e importancia para el modelado y la simulación. Además, una versión extendida fue publicada en una revista internacional [36].

Creemos que simulando los modelos DEVS siguiendo esta técnica se incrementa la confianza en la corrección del modelo, validando aspectos o características del mismo que pueden ser pasadas por alto por el especialista. Además, la técnica permite automatizar en gran medida este proceso de validación, ahorrando tiempo y costos considerablemente.

El resto de este capítulo se organiza de la siguiente manera. En la Sección que sigue describimos y comentamos otros enfoques sobre la V&V de modelos de sistemas de eventos discretos. En la Sección 3.3 presentamos los criterios de simulación que forman el núcleo de esta contribución. Una posible automatización de este proceso de validación es abordada en la Sección 3.7, junto con otras consideraciones; y en la Sección 3.8 comentamos las conclusiones y trabajo futuro que se desprenden de este trabajo. Los casos de estudio con los que se muestra como se aplica esta técnica de validación se describen en el Capítulo 4.

## 3.2. Trabajos Relacionados y Otros Enfoques

A continuación discutimos y comentamos diferentes trabajos que involucran verificación y validación de modelos de simulación. Estos trabajos, o bien presentan los enfoques más similares al nuestro, o bien motivan o muestran por qué nuestro trabajo es relevante para la comunidad de M&S.

Balci [45] presenta las directrices para la verificación, validación y acreditación (VV&A) de modelos de simulación. Allí realiza una clasificación de las diferentes técnicas de V&V para modelos de simulación presentando una taxonomía de más de 77 técnicas de V&V para modelos de simulación convencionales y 38 técnicas de V&V para modelos de simulación orientados a objetos. En su trabajo, Balci lista al testing de modelos como uno de los candidatos para la V&V de modelos de simulación. También, Labiche y Wainer [38] hacen una revisión de la V&V de modelos de sistemas de eventos discretos. Ellos proponen aplicar o adaptar técnicas de testing de software existentes a la V&V de modelos DEVS. En particular, ellos afirman que técnicas formales deben ser aplicadas. Por tanto, justificando nuestro aporte. En varios trabajos [46–49] Sargent discute diferentes enfoques, paradigmas y técnicas relacionadas a la validación y verificación de modelos de simulación. Estos son trabajos interesantes para conocer sobre la generalización de diferentes procesos de validación y verificación, sin embargo, no describen ningún proceso particular de validación en detalle. Nuestra contribución

complementa todos estos trabajos dando un método de validación detallado y formal, adaptado de la comunidad de ingeniería de software.

Existen varios trabajos que usan técnicas de verificación, como *model-checking*, para verificar que un modelo sea correcto. Por ejemplo, Napoli y Parente [50] presentan un algoritmo de model-checking para Máquinas de Estados Finitas Jerárquicas como una abstracción de un modelo DEVS. Hacen foco en la generación de configuraciones de simulación para DEVS, pero como contra-ejemplos obtenidos al aplicar su algoritmo de model-checking. Otro trabajo reciente y relevante que involucra técnicas de verificación es [51] donde Saadawi y Wainer introducen una nueva extensión del formalismo DEVS, llamado *Rational Time-Advance DEVS* (RTA-DEVS), DEVS de avance de tiempo racional. Los modelos RTA-DEVS pueden ser formalmente chequeados con algoritmos de model-checking estándares, permitiendo la verificación de modelos DEVS clásicos. A pesar de que las técnicas de model-checking están definidas formalmente, y son útiles para probar propiedades y teoremas sobre el modelo, el principal problema que estas revisten es el así llamado *problema de explosión de estados* [52], i.e. la explosión exponencial del espacio de estados y las variables en cualquier sistema práctico o real. Esto hace casi imposible el uso de estas técnicas en grandes proyectos, a pesar de que model-checking ha sido utilizado en proyectos reales.

K. J. Hong and T. G. Kim [53] introducen un método para la verificación de sistemas de eventos discretos. Proponen un formalismo llamado *Time State Reachability Graph* (TSRG), para especificar módulos de un modelo de eventos discretos; y una metodología para la generación de secuencias de test para testear dichos módulos a un nivel de entrada/salida (E/S). Luego, un análisis teórico de grafos de TSGR genera todas las secuencias temporizadas de E/S posibles con las que se puede construir un conjunto de de secuencias de test temporizadas de E/S con un 100 % de cobertura.

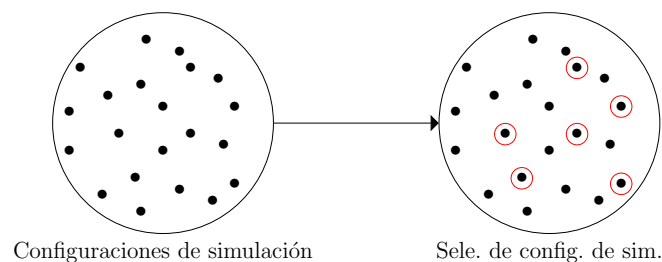
Otro trabajo reciente que aplica técnicas de verificación sobre simulación de eventos discretos es [54] donde da Silva y de Melo presentan un método para realizar simulaciones ordenadamente y verificar propiedades sobre éstas usando sistemas de transiciones. Ambos, los posibles caminos de simulación y las propiedades a ser verificadas se describen usando sistemas de transición. La verificación es alcanzada mediante la construcción de un tipo especial de producto sincrónico entre estos dos sistemas de transición. Ellos enfocan su trabajo en la verificación de propiedades sobre la simulación pero no en la generación de configuraciones de simulación para validar el modelo.

Li et al [55] desarrollaron un entorno para testear herramientas DEVS. En este entorno combinan enfoques de testing *black-box* y *white-box*. En realidad, este trabajo no está relacionado directamente con el nuestro, ya que no validan o verifican modelos DEVS, si no implementaciones DEVS. Sin embargo, es útil para ver cómo introducen técnicas de testing de software en las comunidades que trabajan con el formalismo DEVS.

Luego de revisar muchos trabajos sobre la V&V de modelos de simulación parece que no hay ninguna propuesta similar al método de validación que presentamos en este capítulo. Por ejemplo, no pudimos encontrar ningún trabajo que tome la representación matemática o lógica del modelo como punto de partida para el proceso de validación. Más aún, creemos que, en general, la gente de la comunidad de M&S no tienen este tema en cuenta. Actualmente, desarrollan sus modelos directamente utilizando una herramienta de simulación, con su propio lenguaje, y realizan experimentos directamente sobre ella. Al trabajar con el modelo concreto, se apunta a técnicas de verificación, i.e. verificar que el modelo concreto represente el modelo abstracto. Nosotros, por el otro lado, proponemos una técnica complementaria, para trabajar directamente con el modelo abstracto de modo de comprobar que éste se ajusta a los requerimientos. Más concretamente, nuestro trabajo propone un método para validar formalmente los modelos abstractos e introduce técnicas bien conocidas de MBT en la comunidad de M&S.

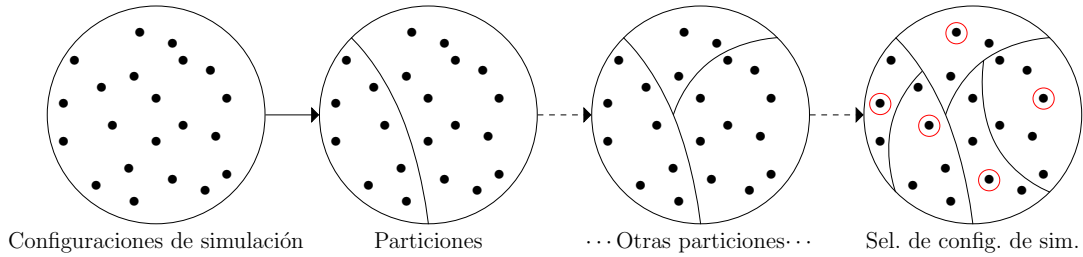
### 3.3. Partición del conjunto de configuraciones de simulación

Dado un modelo DEVS, con el fin de simularlo con alguna herramienta de simulación, es necesario proporcionar un estado inicial (no definido por el formalismo) y una secuencia de eventos de entrada con sus correspondientes tiempos de ocurrencia. Llamamos a estos estados iniciales y secuencias de eventos de entrada una *Configuración de Simulación*. Usualmente, el conjunto de todas las configuraciones de simulación posibles, i.e. todos los estados iniciales posibles y todas las posibles secuencias de eventos de entrada, es infinito, incluso si el modelo tiene conjuntos de estados y de eventos de entrada y de salida finitos. Entonces, la validación vía simulaciones requiere seleccionar algunas de estas configuraciones de simulación, ver Figura 3.3. Actualmente, esta selección se realiza de acuerdo a la experiencia de algún especialista, por tanto, un experto en el dominio es necesario.



**Figura 3.3:** Selección tradicional de configuraciones de simulación

La técnica que se presenta en este trabajo propone dividir el conjunto de todas las configuraciones de simulación en clases de equivalencia, aplicando uno o más *criterios de partición*. Llamamos a cada una de estas clases de equivalencia una *Clase de Configuración de Simulación* (SCC, del inglés Simulation Configuration Class). Una SCC es, entonces, un conjunto de configuraciones de simulación. Posteriormente, una configuración de simulación de cada SCC debe ser elegida, ver Figura 3.4. Estas configuraciones de simulación seleccionadas son las únicas que deben ser ejecutadas.



**Figura 3.4:** Nuestra propuesta: Partición de las configuraciones de simulación

La razón de seleccionar solo una configuración de simulación de cada clase está basada en la *hipótesis de uniformidad* presentada por Bougé et al [56]. Esta afirma, en el testing de software, que “un programa se comporta uniformemente en una clase de equivalencia si se cumple lo siguiente: si el programa trabaja correctamente para algunos datos de entrada de una clase de equivalencia entonces trabaja correctamente para todos los demás datos de la clase”. Esta es la suposición clave que hace la comunidad de testing de software porque permite reducir el dominio de entrada potencialmente infinito a uno más chico, finito. Siendo una suposición, no es probada a pesar de que muchos métodos de testing se basan en ésta [41]. De hecho, la idea misma del testing se basa implícitamente en esta hipótesis debido a que un caso de test individual representa toda una clase de casos de test. En otras palabras, cuando un especialista selecciona un caso de test, está asumiendo que representa un conjunto de posibles candidatos.

Nosotros adaptamos este concepto a la validación de modelos. Por lo tanto, decimos que estos subconjuntos, en los que las posibles configuraciones de simulación se dividen son clases de equivalencia porque se asume que el modelo tiene un comportamiento uniforme para estos subconjuntos de configuraciones de simulación. Además, si la hipótesis de uniformidad se cumple y un error en el modelo es encontrado con alguna simulación de alguna clase de configuraciones de simulación en particular, entonces el mismo error debe ser revelado con cualquier otra simulación de esa clase.

En este contexto, la hipótesis de uniformidad puede ser formalizada como sigue. Sea  $M_{abs}$  algún modelo abstracto ( $M_{abs}$  puede ser visto como una fórmula matemática o lógica) y  $M_{con}$  su modelo concreto, i.e. su correspondiente traducción al lenguaje de una herramienta de simulación. Sea, además,  $a$  una configuración de simulación derivada de  $M_{abs}$  y  $a'$  su traducción al lenguaje concreto. Entonces,  $M_{con}(a')$  significa la ejecución



de  $a'$  en  $M_{con}$ ; y  $M_{abs}(a, M_{con}(a'))$  afirma que  $M_{con}(a')$  es el resultado esperado con respecto a  $a$  de acuerdo a  $M_{abs}$ . Notar que si  $M_{con}(a')$  no es el resultado esperado de  $a$  de acuerdo a  $M_{abs}$ , entonces  $M_{abs}(a, M_{con}(a'))$  es falso, i.e.  $\neg M_{abs}(a, M_{con}(a'))$  es verdadero. Entonces, la hipótesis de uniformidad se cumple si y sólo si para cada  $SCC_i$  y para cada  $a \in SCC_i$  se cumple lo siguiente:

$$M_{abs}(a, M_{con}(a')) \Rightarrow \forall x \in SCC_i : M_{abs}(x, M_{con}(x'))$$

esto es, la hipótesis de uniformidad se cumple si el modelo se comporta de la misma forma para todos los elementos de una SCC dada,  $SCC_i$ .

Con esta hipótesis de uniformidad, algunas estrategias o criterios de simulación asumen que cada elemento de una clase es equivalente a todos los otros (de la misma clase) para la simulación de una funcionalidad particular del modelo. Sin embargo, esta es justamente una hipótesis y no siempre se satisface. Por lo tanto, como señalan Stocks y Carrington [44], esta suposición es a veces inválida y proponen aplicar repetidamente las estrategias con el fin de dividir las clases en sub-clases hasta que el ingeniero considere que las clases son razonablemente pequeñas o cada funcionalidad del modelo está cubierta por alguna clase [57]. Por otra parte, si las clases se subdividen al infinito, entonces, cada clase es un conjunto unitario y, por consiguiente, la hipótesis se verifica trivialmente. Por lo tanto, si no se va hasta el infinito pero se subdividen las clases significativamente, se aumenta la probabilidad de que esta hipótesis sea válida.

Como mencionamos al principio de la sección, cada elemento de una SCC consiste en un estado inicial (para inicializar la simulación) y un par conteniendo el evento a simular y su correspondiente tiempo de arribo, i.e. cuándo debe ser simulado dicho evento. Siguiendo esta idea, para describir una SCC necesitamos definir el conjunto de posibles estados iniciales y el conjunto de posibles pares de entrada para la simulación. Un par de entrada es un par ordenado (*evento, tiempo*). Por lo tanto, una SCC es definida por:

- un conjunto de estados,  $IniSt \subseteq S$ , y
- un conjunto de pares ordenados de evento y tiempo,  $InPairs \subseteq \{(x, t) : x \in X \cup \{\tau\}, t \in \mathbb{R}_0^+\}$ .

donde  $\tau$  representa simular la situación de *no evento* y una transición interna ocurre en este caso. Esto es necesario para indicar la simulación de una transición interna.

Es importante remarcar, como ya se ha mencionado, que el formalismo DEVS no define estados iniciales. Esto, en realidad, pertenece a la fase de simulación, y siendo que este trabajo apunta a guiar estas simulaciones, un estado inicial debe definirse. Este no es necesariamente el estado inicial del sistema real, y de hecho no lo suele ser, es solamente el punto de partida de la simulación. Más aún, definir este estado inicial

hace que la simulación de diferentes funcionalidades del modelo sea más simple, ya que no es necesario llevar el sistema hasta un estado en particular para comenzar la simulación allí.

La clase total de configuraciones de simulación, i.e. el conjunto de todas las configuraciones de simulación posibles, para un modelo DEVS dado está definido por:

- $IniSt = IniSt_1 \cup \dots \cup IniSt_n = S$ , y
- $InPairs = InPairs_1 \cup \dots \cup InPairs_n = \{(x, t) : x \in X \cup \{\tau\} \wedge t \in \mathbb{R}_0^+\}$ .

$IniSt$  representa todos los estados iniciales posibles a partir de los cuales puede comenzar una simulación. Notar que, inicialmente, todos los estados del modelo son posibles estados iniciales. Algunos de estos estados podrían ser considerados *inseguros* o *inalcanzables* por parte de algún experto en el área. Sin embargo, hasta que el modelo sea validado, esto no puede ser confirmado porque, precisamente, el ingeniero está tratando de descubrir si se han entendido y formalizado correctamente los requerimientos del modelo, de este modo, necesita validar todos los estados (y descartar aquellos que realmente sean inseguros o inalcanzables).  $InPairs$  es el conjunto de todos los posibles pares de entrada. Entonces, la idea es partir  $IniSt \times InPairs$  analizando el modelo DEVS guiado por los criterios que se definen a continuación.

## 3.4. Criterios de Partición

Presentamos, ahora, los diferentes criterios para dividir, o partir el conjunto de todas las posibles configuraciones de simulación. Los criterios atacan diferentes aspectos de los modelos DEVS. Algunos criterios se aplican, por ejemplo, a las definiciones de las funciones de transición interna o externa, otros a la definición de los estados o los conjuntos de eventos de entrada y de salida.

Es importante mencionar que en algún momento del proceso de partición, es posible que un criterio no genere nuevas clases. Esto se debe a que el resultado puede ser una clase ya obtenida anteriormente o una clase vacía. Más aún, no importa el orden en el que los criterios se aplican, ya que son independientes unos de otros.

### 3.4.1. Funciones de transición definidas por casos

Es muy común definir las funciones de transición externa y/o interna por casos. Es decir, definiendo los resultados de las mismas en función de ciertas condiciones. El primer, y tal vez, el criterio más intuitivo es partir el conjunto de posibles simulaciones en varias clases, una por cada caso en la definición de estas funciones.

Sean  $\delta_{ext}$  y  $\delta_{int}$  las funciones de transición de un modelo DEVS definidas por casos:

$$\delta_{ext}(s, e, x) = \begin{cases} expr_{ext}^1(s, e, x) & \text{si } P_{ext}^1(s, e, x) \\ \vdots \\ expr_{ext}^n(s, e, x) & \text{si } P_{ext}^n(s, e, x) \end{cases}$$

$$\delta_{int}(s) = \begin{cases} expr_{int}^1(s) & \text{si } P_{int}^1(s) \\ \vdots \\ expr_{int}^m(s) & \text{si } P_{int}^m(s) \end{cases}$$

donde  $expr_{ext}^i$  y  $expr_{int}^i$  son los resultados de las funciones si la proposiciones  $P_{ext}^i$  y  $P_{int}^i$ , respectivamente, se cumplen. Este criterio propone generar una clase por cada proposición en la definición de las funciones de transición. Cada clase queda definida por:

- Asociadas a la función de transición externa:

$$IniSt_i = \{s \in S \mid \exists e \in \mathbb{R}_0^+, x \in X : P_{ext}^i(s, e, x)\},$$

$$InPairs_i = \{(x, t) \in InPairs \mid \exists s \in IniSt_i, e \in \mathbb{R}_0^+ : P_{ext}^i(s, e, x)\}.$$

con  $i \in [1, n]$

- Asociadas a la función de transición interna:

$$IniSt_j = \{s \in S \mid P_{int}^j(s)\},$$

$$InPairs_j = \{(\tau, 0)\}.$$

con  $j \in [1, m]$ .

En el caso de la función de transición interna la idea es configurar cierto estado permitiendo que ocurra una transición interna en particular, es por esto que el tiempo relativo al evento  $\tau$  (el no evento) es 0.

### 3.4.2. Conjuntos definidos por extensión

En la definición de los modelos DEVS, muchas veces, algunos conjuntos (estados, eventos de entrada o eventos de salida) o parte de estos se definen por extensión. i.e. listando los elementos del conjunto. Necesariamente, estos conjuntos son finitos y relativamente pequeños. Por lo tanto, este criterio propone simular todos los escenarios donde aparezcan, al menos una vez, cada elemento de estos conjuntos.

Supongamos que el conjunto de valores del estado,  $S$ , de un modelo DEVS es un conjunto definido por extensión:

$$S = \{s_1, s_2, \dots, s_n\}$$

entonces, las clases generadas al aplicar este criterio deben ser:

$$\begin{aligned} IniSt_i &= \{s_i\}, \\ InPairs_i &= InPairs. \end{aligned}$$

con  $i \in [1, n]$ . Aplicando este criterio, el especialista se garantiza simular el modelo en cada posible estado. Sin embargo, si este criterio se aplica solamente sobre la definición del estado, y ningún otro criterio es aplicado, ciertos eventos de entrada pueden no ser simulados para ciertos estados.

Supongamos ahora que el conjunto de valores de entrada está definido por:

$$X = \{(in, x) : x \in \{x_1, x_2, \dots, x_n\}\}$$

las clases resultantes serían ahora:

$$\begin{aligned} IniSt_i &= S, \\ InPairs_i &= \{((in, x_i), t) : t \in \mathbb{R}_0^+\}. \end{aligned}$$

con  $i \in [1, n]$ . Con esto, el especialista se asegura simular todos los posibles eventos de entrada. Combinando estas clases con las anteriores, permite simular todos los posibles estados con todos los posibles eventos. Esto es explicado más extensamente en la Sección 3.5.

### 3.4.3. Conjuntos definidos por comprensión

Los conjuntos definidos por comprensión son otra forma usual de definir conjuntos de un modelo DEVS, es decir, definiendo las propiedades que cada elemento del conjunto debe satisfacer. Esto se hace a través de un predicado lógico, el cual puede ser simple o una definición muy compleja involucrando varias operaciones. Por tanto, este criterio plantea usar estas definiciones para partir el conjunto de configuraciones de simulación.

Supongamos que el conjunto de estados de un modelo particular es un conjunto definido por comprensión,  $S = \{s : TYPE \mid P(s)\}$ , donde  $TYPE$  es el tipo de los elementos del conjunto y  $P$  es un predicado lógico. El criterio indica, primero, escribir  $P$  en su forma normal disyuntiva (FND) [58]:

$$P = (P_1^1 \wedge \dots \wedge P_{n_1}^1) \vee (P_1^2 \wedge \dots \wedge P_{n_2}^2) \vee \dots \vee (P_1^m \wedge \dots \wedge P_{n_m}^m)$$

y luego, partir el conjunto de configuraciones de simulación de acuerdo a esta FND:

$$\begin{aligned} IniSt_i &= \{s \in S \mid (P_1^i(s) \wedge \dots \wedge P_{n_i}^i(s))\}, \\ InPairs_i &= InPairs. \end{aligned}$$

con  $i \in [1, m]$ . Esta misma idea puede aplicarse al conjunto de entradas, salidas o cualquier otro conjunto definido por comprensión del modelo.

Por ejemplo, supongamos que el conjunto de estados,  $S$ , de un modelo dado es  $S = \{(n, m) : \mathbb{Z} \times \mathbb{Z} \mid n * m > 0 \Rightarrow n > m\}$ . Entonces, el predicado  $P = n * m > 0 \Rightarrow n > m$  se escribe en su FND, aplicando algún algoritmo conocido [58],  $P = \neg(n * m > 0) \vee (n > m)$  y dos SCCs deben definirse, una para el predicado  $\neg(n * m > 0)$  y la otra para  $n > m$ .

### 3.4.4. Particiones estándar

En casi todos los modelos, diferentes operadores matemáticos o lógicos aparecen en las definiciones de los elementos del modelo (funciones de transición, de avance de tiempo, valores del estado) y estos pueden ser simples (suma, unión de conjuntos) o más complejos (operadores definidos en términos de otros más simples, funciones definidas por el modelador). Cada uno de estos operadores tiene un dominio de entrada particular y con este criterio se busca dividir este dominio asociando a este una *partición estándar*. Una partición estándar es una partición del dominio del operador en conjuntos llamados sub-dominios; cada sub-dominio está definido por las condiciones que cada operando de la operación debe satisfacer. En consecuencia, cada sub-dominio es transformado en una condición para generar una SCC.

Por lo tanto, para cada operador del modelo debe definirse una partición estándar. Por ejemplo, para el operador  $< (a < b)$ , la partición estándar podría ser [57]:

$$\begin{array}{lll} a < 0, b < 0 & a < 0, b = 0 & a < 0, b > 0 \\ a = 0, b < 0 & a = 0, b = 0 & a = 0, b > 0 \\ a > 0, b < 0 & a > 0, b = 0 & a > 0, b > 0 \end{array}$$

Supongamos que  $x_1, \dots, x_n$  son algunas de las variables que definen el estado,  $S$ , de algún modelo y  $\theta(x_1, \dots, x_n)$  es un operador de aridad  $n$  con la partición estándar asociada  $PE_1(x_1, \dots, x_n), \dots, PE_m(x_1, \dots, x_n)$ . Cuando  $\theta$  aparece en una expresión del modelo, el conjunto de configuraciones de simulación debe partirse usando la partición estándar asociada a él:

$$\begin{aligned} IniSt_i &= \{s \in S \mid PE_i(x_1, \dots, x_n)\}, \\ InPairs_i &= InPairs. \end{aligned}$$

### 3.4.5. Propagación de dominios

Este es un criterio particular, ya que no genera nuevas particiones por sí mismo. El propósito es obtener particiones estándar de operadores complejos combinando las particiones estándar de los sub-operadores más simples que lo componen.

Cada sub-operación tiene su propia partición del dominio de entrada, que pueden ser ignorados por el criterio de particiones estándar si este se aplica al operador complejo. Usando la propagación de dominios las particiones de los dominios de entrada de los sub-operadores son propagados al de más alto nivel [59].

Por ejemplo, sea  $\blacksquare$  un operador complejo definido como:  $\blacksquare(A, B, C) = (A \blacktriangle B) \blacklozenge C$  donde  $\blacktriangle$  y  $\blacklozenge$  son operadores simples.

Supongamos que  $\blacktriangle$  y  $\blacklozenge$  tienen las siguientes particiones estándar:

$$\begin{aligned} PE^{\blacktriangle}(S, T) &= D_1^{\blacktriangle}(S, T) \vee \dots \vee D_n^{\blacktriangle}(S, T) \\ PE^{\blacklozenge}(U, V) &= D_1^{\blacklozenge}(U, V) \vee \dots \vee D_k^{\blacklozenge}(U, V) \end{aligned}$$

Entonces, aplicamos primero  $PE^{\blacktriangle}$  a la sub-expresión  $(A \blacktriangle B)$ , reemplazando los parámetros formales que aparecen en  $PE^{\blacktriangle}$  por  $A$  y  $B$  respectivamente:

$$PE^{\blacktriangle}(A, B) = D_1^{\blacktriangle}(A, B) \vee \dots \vee D_m^{\blacktriangle}(A, B)$$

con  $m \leq n$ .

Posteriormente, hacemos lo mismo con  $PE^{\blacklozenge}$ , obteniendo:

$$PE^{\blacklozenge}(A \blacktriangle B, C) = D_1^{\blacklozenge}(A \blacktriangle B, C) \vee \dots \vee D_j^{\blacklozenge}(A \blacktriangle B, C)$$

con  $j \leq k$ .

Finalmente, conjugamos las dos proposiciones obtenidas y simplificamos, es decir, llevamos el resultado a su FND, simplificamos cada término y eliminamos aquellos que no se satisfacen (que reducen a falso, o cuyo resultado es vacío). Formalmente:

$$\begin{aligned} PE^{\blacksquare} &= PE^{\blacktriangle}(A, B) \wedge PE^{\blacklozenge}(A \blacktriangle B, C) = \\ &= (D_1^{\blacktriangle}(A, B) \vee \dots \vee D_m^{\blacktriangle}(A, B)) \wedge (D_1^{\blacklozenge}(A \blacktriangle B, C) \vee \dots \vee D_j^{\blacklozenge}(A \blacktriangle B, C)) \\ &= (D_1^{\blacktriangle}(A, B) \wedge D_1^{\blacklozenge}(A \blacktriangle B, C)) \vee \dots \vee (D_1^{\blacktriangle}(A, B) \wedge D_j^{\blacklozenge}(A \blacktriangle B, C)) \vee \dots \vee \\ &\quad \vee (D_m^{\blacktriangle}(A, B) \wedge D_1^{\blacklozenge}(A \blacktriangle B, C)) \vee \dots \vee (D_m^{\blacktriangle}(A, B) \wedge D_j^{\blacklozenge}(A \blacktriangle B, C)) \end{aligned}$$

dónde algunas de las conjunciones pueden ser falsas (o vacías) y en cuyo caso las descartamos.

### 3.4.6. Particiones del tiempo

En formalismos temporizados, como DEVS, el modelado del tiempo es un aspecto importante. Es muy común, en modelos DEVS, usar variables adicionales para modelar el tiempo. Además, una característica de estos modelos es que el tiempo transcurrido desde la última transición,  $e$ , aparece como un parámetro en la función de transición externa y se puede hacer uso  $e$ , como una variable más, en la definición de dicha función

de transición. Por lo tanto, en la validación de estos modelos, surge la pregunta “¿cómo sabemos si cada evento ha sido ya simulado en todos los intervalos de tiempo relevantes o significativos?”. Esto es, en aquellos intervalos de tiempo donde es posible encontrar algún error de modelado. Nuevamente, para responder a esta pregunta habría que simular todos los posibles eventos en todos los posibles intervalos de tiempo haciendo de la validación un proceso infinito.

Entonces, este criterio consiste en, primero, identificar aquellas variables del estado que interactúan con el tiempo transcurrido,  $e$ , o son utilizadas para simular el avance del tiempo o temporizadores, por ejemplo. Posteriormente, se definen *instantes de tiempo claves* o *intervalos de tiempo claves* de acuerdo con la interacción de estas variables. Una vez que estos intervalos de tiempo están definidos, se deben generar clases por cada evento de entrada en cada instante de tiempo. Por ejemplo, supongamos que el intervalo de tiempo  $[a, b]$  es relevante para ver una funcionalidad particular del modelo, por consiguiente, sería significativo simular eventos  $(x, t)$  con  $x \in X \cup \{\tau\}$  y tiempos  $t < a$ ,  $t = a$ ,  $a < t < b$ ,  $t = b$  y  $t > b$ . Formalmente, para cada intervalo de tiempo definido  $[a_i, b_i]$ , cinco SCCs deben crearse:

- $IniSt_i^1 = \{s \in S\}$ ,  
 $InPairs_i^1 = \{(x, t) \mid x \in X \cup \{\tau\}, t \in \mathbb{R}_0^+ \wedge t < a_i\}$ .
- $IniSt_i^2 = \{s \in S\}$ ,  
 $InPairs_i^2 = \{(x, a_i) \mid x \in X \cup \{\tau\}\}$ .
- $IniSt_i^3 = \{s \in S\}$ ,  
 $InPairs_i^3 = \{(x, t) \mid x \in X \cup \{\tau\}, t \in \mathbb{R}_0^+ \wedge a_i < t < b_i\}$ .
- $IniSt_i^4 = \{s \in S\}$ ,  
 $InPairs_i^4 = \{(x, b_i) \mid x \in X \cup \{\tau\}\}$ .
- $IniSt_i^5 = \{s \in S\}$ ,  
 $InPairs_i^5 = \{(x, t) \mid x \in X \cup \{\tau\}, t \in \mathbb{R}_0^+ \wedge t > b_i\}$ .

y por cada instante de tiempo establecido  $t_j$ , tres clases deben ser definidas:

- $IniSt_j^1 = \{s \in S\}$ ,  
 $InPairs_j^1 = \{(x, t) \mid x \in X \cup \{\tau\}, t \in \mathbb{R}_0^+ \wedge t < t_j\}$ .
- $IniSt_j^2 = \{s \in S\}$ ,  
 $InPairs_j^2 = \{(x, t_j) \mid x \in X \cup \{\tau\}\}$ .
- $IniSt_j^3 = \{s \in S\}$ ,  
 $InPairs_j^3 = \{(x, t) \mid x \in X \cup \{\tau\}, t \in \mathbb{R}_0^+ \wedge t > t_j\}$ .

La intención de este criterio es simular diferentes escenarios donde eventos ocurran en diferentes instantes, para validar la interacción de aquellas variables utilizadas para simular el tiempo entre ellas y la interacción entre estas y  $e$  (en el caso de la transición externa).

Luego, cuando una de estas clases se combina con aquellas generadas, por ejemplo, por el criterio *Conjuntos definidos por extensión*, será posible simular todos los eventos de entrada en todos los intervalos de tiempo relevantes.

### 3.5. Combinando clases

Como se mencionó en la Sección 3.4, los criterios de partición son independientes unos de otros. Más aún, cada configuración de simulación apunta a validar una característica particular del modelo. Sin embargo, suele ser más eficiente<sup>1</sup> validar simultáneamente más de una característica.

Con el fin de lograr esto, es beneficioso combinar las clases generadas al aplicar cada criterio. Observar que, sin embargo, no todos los criterios son siempre aplicados. Esto dependerá del modelo y del tiempo disponible para validarlo. Además, notar que el mismo criterio puede ser aplicado más de una vez sobre el mismo modelo. Por ejemplo, el criterio *Conjuntos definidos por extensión* se puede aplicar primero sobre el conjunto de estados y luego sobre el conjunto de eventos de entrada. El resultado de esto, son dos conjuntos de configuraciones de simulación independientes. Estos conjuntos pueden combinarse con el fin de simular el arribo de cada evento sobre cada estado. En este sentido, estas SCCs combinadas encontrarían errores, por ejemplo, por la llegada de un evento particular estando el sistema en un estado equivocado.

Veamos cómo las SCCs pueden combinarse en un simple ejemplo. Sean  $X = \{(in, x) : x \in \mathbb{N}\}$  y  $S = \mathbb{N} \times \{ON, OFF\}$ , parte de un modelo de algún sistema. Supongamos que luego de aplicar algunos criterios se obtienen las siguientes SCCs:

- $SCC_a$ :  
 $IniSt_a = \{(n, m) \in S \mid n \leq 10\}$ ,  
 $InPairs_a = \{(1, t) \mid t \in \mathbb{R}_0^+\}$
- $SCC_b$ :  
 $IniSt_b = \{(n, m) \in S \mid m = ON\}$ ,  
 $InPairs_b = \{(1, t) \mid t \in \mathbb{R}_0^+\}$
- $SCC_c$ :  
 $IniSt_c = \{(n, m) \in S \mid m = OFF\}$ ,  
 $InPairs_c = \{(1, t) \mid t \in \mathbb{R}_0^+\}$

---

<sup>1</sup>Usamos eficiencia como una medida del número de errores encontrados en el modelo. La eficiencia computacional no es abordada aquí.



Ahora, podemos combinar estas clases haciendo la intersección de los correspondientes conjuntos  $IniSt$  y  $InPairs$  como sigue:

- $SCC_d = SCC_a \wedge SCC_b$ :

$$\begin{aligned} IniSt_d &= IniSt_a \cap IniSt_b = \{(n, m) \in S \mid n \leq 10\} \cap \{(n, m) \in S \mid m = ON\} = \\ &= \{(n, m) \in S \mid n \leq 10 \wedge m = ON\}, \end{aligned}$$

$$\begin{aligned} InPairs_d &= InPairs_a \cap InPairs_b = \{(1, t) \mid t \in \mathbb{R}_0^+\} \cap \{(1, t) \mid t \in \mathbb{R}_0^+\} = \\ &= \{(1, t) \mid t \in \mathbb{R}_0^+\} \end{aligned}$$

- $SCC_e = SCC_a \wedge SCC_c$ :

$$\begin{aligned} IniSt_e &= IniSt_a \cap IniSt_c = \{(n, m) \in S \mid n \leq 10\} \cap \{(n, m) \in S \mid m = OFF\} = \\ &= \{(n, m) \in S \mid n \leq 10 \wedge m = OFF\}, \end{aligned}$$

$$\begin{aligned} InPairs_e &= InPairs_a \cap InPairs_c = \{(1, t) \mid t \in \mathbb{R}_0^+\} \cap \{(1, t) \mid t \in \mathbb{R}_0^+\} = \\ &= \{(1, t) \mid t \in \mathbb{R}_0^+\} \end{aligned}$$

- $SCC_f = SCC_b \wedge SCC_c$ :

$$\begin{aligned} IniSt_f &= IniSt_b \cap IniSt_c = \{(n, m) \in S \mid m = ON\} \cap \{(n, m) \in S \mid m = OFF\} = \\ &= \{\}, \end{aligned}$$

$$\begin{aligned} InPairs_f &= InPairs_b \cap InPairs_c = \{(1, t) \mid t \in \mathbb{R}_0^+\} \cap \{(1, t) \mid t \in \mathbb{R}_0^+\} = \\ &= \{(1, t) \mid t \in \mathbb{R}_0^+\} \end{aligned}$$

Notar, sin embargo, que solo  $SCC_d$  y  $SCC_e$  son SCCs válidas ya que  $SCC_f$  es vacía por ser  $IniSt_f$  el conjunto vacío.

Como se muestra en el ejemplo, combinar SCCs vía intersección puede producir clases vacías (o insatisfacibles). Si este es el caso se debe proceder de la siguiente forma: a) eliminar las vacías resultantes; y b) mantener las SCCs que producen estas SCCs vacías (salvo que las SCCs originales queden incluidas en otras SCCs resultantes de este proceso de combinación).

Observar que, siendo la intersección conmutativa, es lo mismo combinar, por ejemplo,  $SCC_a$  y  $SCC_b$  como  $SCC_a \cap SCC_b$  o como  $SCC_b \cap SCC_a$ . Más aún, si  $SCC_d$  es el resultado de combinar  $SCC_a$  y  $SCC_b$ , y  $SCC_d$  se combina con alguna  $SCC_\alpha$  el resultado es  $SCC_b \cap SCC_a \cap SCC_\alpha$ , que es lo mismo independientemente del orden en el que las clases se combinan. En resumen, las SCCs pueden combinarse en cualquier orden.

Entonces, el objetivo de generar nuevas SCCs, a través de estas combinaciones, es simular situaciones cada vez más complejas, o involucrando más aspectos del modelo,

a través de clases cada vez más refinadas. Cabe aclarar que, idealmente, se combinan todas las clases generadas por los criterios. Esto puede depender del tiempo y presupuesto disponible. Otra aclaración es que, las configuraciones de simulación se elijen de las clases resultantes de las combinaciones y no de las clases combinadas.

### 3.6. Secuenciación de simulación

Una vez que todas las SCCs quedan definidas es necesario configurar un estado inicial para la simulación y ejecutar una transición. Sin embargo, el nuevo estado obtenido luego de la transición podría ser un estado inicial de otra SCC. Si este es el caso, sería computacionalmente más eficiente, y práctico, continuar la simulación ejecutando alguna transición indicada por esta nueva SCC. Esto evita tener que configurar una nueva simulación para esta última SCC, reusando la configuración dejada por la transición anterior. Luego, este proceso termina produciendo una secuencia de configuraciones de simulación que deben ejecutarse una tras la otra.

Aquí proponemos un algoritmo para generar estas secuencias analizando las clases obtenidas luego de aplicar los criterios. El pseudo código del algoritmo puede verse en el Algoritmo 1, y se explica a continuación.

---

#### Algorithm 1 Secuenciación de simulación

---

**Input:** *TotSCC*: Conjunto de todas las SCCs generadas por los criterios  
**Output:** *SimSeq*: Conjunto de secuencias de configuraciones de simulación

- 1: **while**  $TotSCC \neq \emptyset$  **do**
- 2:   select  $scc \in TotSCC$
- 3:   select  $is \in scc.IniSt$
- 4:   select  $ip \in scc.InPair$
- 5:    $s' \leftarrow simulate(is, ip)$
- 6:    $seq \leftarrow (is, ip)$
- 7:    $TotSCC \leftarrow TotSCC \setminus \{scc\}$
- 8:   **while**  $\exists scc' \in TotSCC \mid s' \in scc'.IniSt$  **do**
- 9:     select  $scc' \in TotSCC \mid s' \in scc'.IniSt$
- 10:     select  $ip' \in scc'.InPairs$
- 11:      $seq \leftarrow seq \circ (s', ip')$
- 12:      $s' \leftarrow simulate(s', ip')$
- 13:      $TotSCC \leftarrow TotSCC \setminus \{scc'\}$
- 14:   **end while**
- 15:    $SimSeq \leftarrow SimSeq \cup \{seq\}$
- 16: **end while**

---

El proceso principal del algoritmo está guiado por la siguiente idea: seleccionar una SCC ( $scc \in TotSCC$ ), un estado inicial de esa SCC ( $is \in scc.IniSt$ ) y simular un evento del conjunto de pares de eventos de entrada ( $event, time$ ) asociados a esa SCC

( $ip \in scc.InPair$ ). La sentencia  $simulate(s, ip)$  significa ejecutar un paso de la simulación del modelo desde el estado  $s$  con el par  $ip$ . Una vez que el evento seleccionado ha sido simulado y se ha alcanzado un nuevo estado,  $s'$ , la secuencia actual es actualizada (sentencia 6) y el conjunto de SCCs se reduce removiendo la SCC agregada a la secuencia (sentencia 7). Ahora, hay dos alternativas, a) esperar a que ocurra una transición interna (si  $ta(s) \neq \infty$ ); o b) simular otro evento. Como se muestra en la sentencia 8, si existe una SCC,  $scc'$ , tal que  $s'$  es uno de sus posibles estados iniciales, entonces  $scc'$  es elegida como la siguiente SCC ( $scc'$  puede reflejar cualquiera de las situaciones anteriores, a o b). En este caso, uno de sus pares de eventos de entrada es simulado (sentencias 10, 11 y 12). Posteriormente, el proceso continua repetidamente eligiendo un estado o aguardando por una transición interna. A este punto del proceso, si el estado alcanzado por el último paso de la simulación no pertenece al conjunto de estados iniciales de ninguna de las SCCs restantes, esta secuencia termina y se la agrega al conjunto de secuencias de configuraciones de simulación (sentencia 15). Una nueva secuencia de simulación comienza, luego, si quedan SCCs sin explorar.

De esta manera, con el Algoritmo 1 todas las clases se utilizan al menos una vez. Además, criterios de cobertura más complejos podrían definirse para la generación de las secuencias, por ejemplo, de una manera similar a lo que proponen Souza et al [60].

### 3.7. Automatización y otras cuestiones

Como se ha mencionado en la introducción de este capítulo, la técnica presentada en este trabajo permite automatizar una gran parte del proceso de validación de modelos DEVS. La intención de esta sección es mostrar cómo se podría construir una pieza de software para asistir a los especialistas cuando apliquen este método. Por consiguiente, explicamos qué es lo que se puede automatizar en cada etapa y describimos los principales temas que necesitan ser abordados para lograr dicha automatización. Además, otras consideraciones sobre la metodología son discutidas.

Un panorama general de este proceso semi-automático es como sigue:

1. Parsear la descripción abstracta o matemática del modelo DEVS.
2. Seleccionar y aplicar los criterios de partición para generar las simulaciones.
3. Traducir las configuraciones de simulación al lenguaje de simulación elegido.
4. Seleccionar las simulaciones y generar las secuencias de simulación.
5. Simular las secuencias.
6. Traducir los resultados al lenguaje abstracto del modelo.

7. Comparar los resultados obtenidos con los requerimientos a fin de lograr un veredicto sobre la validación del modelo.

La descripción matemática o abstracta de un modelo DEVS puede ser parseada automáticamente sólo si se escribe utilizando algún estándar o notación formal. Esto fue ya abordado y discutido en el Capítulo 2 de esta tesis y, una posibilidad, es utilizar el lenguaje allí presentado, CML-DEVS, para describir estos modelos.

En cuanto a la aplicación de los criterios, un análisis preliminar indica que sería apropiado aplicarlos en forma semi-automática. Creemos que una herramienta debería permitir al especialista seleccionar qué criterios deben ser aplicados sobre qué partes del modelo. Mas aún, el especialista podría agregar nuevos criterios y utilizarlos. Otra alternativa podría ser implementar una heurística que seleccione automáticamente los criterios de acuerdo a un análisis sobre la descripción del modelo.

La aplicación de los criterios involucra un problema importante, que es el número total de las SCCs generadas. A pesar de que el número de clases puede ser considerable, este no es exponencial y el número de criterios involucrados es fijo y pequeño. La cuestión crucial es la combinación entre las clases. El orden del número de clases generadas, entonces, está dado por  $O(x^n)$  donde  $x$  es el número de clases producidas por un criterio y  $n$  el número total de criterios aplicados (recordar que  $n$  es fijo y pequeño).

Las configuraciones de simulación generadas, están descritas esencialmente en matemática. Por lo tanto, para realizar las simulaciones éstas necesitan ser también traducidas al lenguaje de simulación, como la definición del modelo. Esto podría hacerse con el mismo compilador de CML-DEVS, en caso de que se haya utilizado dicho lenguaje para describir el modelo; o adaptando los trabajos hechos para MBT [61?]. Este sería un proceso semi-automático, en el caso que el ingeniero tenga que definir las reglas para esta traducción (si no se utilizó CML-DEVS para describir el modelo).

Para la secuenciación de simulación, y la simulación propiamente dicha, al menos una configuración de simulación de cada clase debe ser elegida. Encontrar una configuración de simulación para una SCC particular significa encontrar un elemento que pertenezca a esta. Usualmente, esto involucra resolver una fórmula sobre la teoría de conjuntos, aritmética sobre enteros y números reales y, posiblemente, otras teorías matemáticas. Además, variables libres se mueven en rangos sobre conjuntos infinitos, convirtiendo el problema en *indecidible*. Una posibilidad para resolver este problema es utilizar un *SMT solver* (Satisfiability Modulo Theories Solver) [62, 63] adaptando el trabajo de Cristiá y Frydman [64]. Otra alternativa podría ser utilizar un *constraint solver* como  $\{log\}$  (pronunciado ‘setlog’) [65–67].

Luego de realizar la simulación, debe llevarse a cabo un proceso inverso. Esto es, los resultados de la simulación deben traducirse al lenguaje matemático o formal usado para describir el modelo DEVS. Nuevamente, este debería ser un proceso semi au-

tomático si el ingeniero tiene que definir las reglas de traducción. Luego, los resultados de la simulación pueden ser comparados con los resultados esperados (los requerimientos). Esta comparación necesariamente es manual, ya que involucra los requerimientos y éstos suelen estar detallados en un lenguaje coloquial.

Por otro lado, es posible utilizar esta metodología para testear el modelo de simulación concreto. Sin embargo, hay que tener en cuenta que ambas validaciones no se puede hacer al mismo tiempo para el mismo modelo. En efecto, si nuestra metodología se utiliza para validar el modelo abstracto, es necesario asumir que el modelo concreto es una fiel representación del modelo abstracto. Nuevamente, utilizando CML-DEVS para describir el modelo, se ayuda notablemente en esta tarea porque, una vez verificado el compilador de CML-DEVS, las traducciones de los modelos abstractos pueden asumirse como correctas (con respecto al modelo abstracto). En cambio, si la metodología se utiliza para validar el modelo concreto, se debe asumir que el modelo abstracto es correcto con respecto a los requerimientos.

Finalmente, como puede observarse y ya fue mencionado durante todo el capítulo, los criterios son aplicados sobre la definición matemática del modelo y también se basan en operaciones lógicas o matemáticas. Por consiguiente, el proceso de validación puede ser considerado como una metodología rigurosa (dado que se basa en matemática, lógica y lenguajes formales). Más aún, esta metodología es sistemática siendo que el conjunto total de configuraciones de simulación es sistemáticamente subdividido obteniendo clases de simulación cada vez más refinadas y expresivas. En este sentido, ya que cubrir todos los caminos posibles del modelo es imposible (por ser éstos un número infinito) proponemos cubrir todas las estructuras lógicas y matemáticas del modelo, en consecuencia, cubriendo todos los caminos significativos del modelo.

### 3.8. Conclusiones y trabajo futuro

Como segunda contribución de la tesis, en este capítulo se presenta una familia de criterios para conducir las simulaciones de modelos DEVS en forma disciplinada y cubriendo las simulaciones más significativas para incrementar la confianza sobre la corrección del modelo. La principal ventaja de realizar la simulación de un modelo como aquí se propone es que no se necesita de la experiencia de un especialista o grupos de especialistas, ni un experto en el dominio del modelo, para seleccionar las configuraciones de simulación con el fin de validar el modelo. Esta selección es el resultado de seguir un conjunto de reglas formales sobre el modelo matemático, sin tener que conocer sobre el dominio sobre el cual se está modelando. Esto disminuye la posibilidad de pasar por alto alguna configuración de simulación que pudiera revelar errores de modelado.

Otra ventaja de este trabajo es la posibilidad de automatizar al menos parte del proceso de validación de modelos DEVS. Una cuestión importante y necesaria pa-

ra permitir esta automatización es que los modelos DEVS se definan utilizando una gramática formal y abstracta. Esto fue detallado en el capítulo anterior donde se provee un lenguaje para tal efecto.

También se debe considerar la posibilidad de reutilizar estas técnicas para testear software derivados de modelos DEVS. Un modelo DEVS puede ser usado como una adecuada forma de especificación de un sistema a ser implementado en un lenguaje de programación. Las secuencias de simulación generadas al aplicar los criterios de partición pueden usarse como casos de test para testear dicha implementación. Más aún, existen herramientas de simulación que generan código automáticamente. De este modo, si el modelo es validado minuciosamente, la pieza de software resultante sería correcta.

El trabajo futuro que se desprende de esta tesis, es la automatización del proceso de validación de modelos DEVS vía simulaciones. Esto se lo hará integrando con el futuro editor y compilador de CML-DEVS ofreciendo un entorno completo para el diseño de modelos DEVS abstractos y la validación de los mismos. Además de implementar la técnica aquí presentada para la generación de las configuraciones de simulación, se pueden agregar nuevos criterios de cubrimiento para la generación de secuencias de simulación.

Otra línea de investigación es extender esta metodología a modelos DEVS acoplados y a las diferentes extensiones o variantes del formalismo DEVS presentadas en el Capítulo 1. Esto significa la definición de nuevos criterios teniendo en cuenta las particularidades y características de los modelos acoplados y de estas extensiones o variantes de DEVS.



# Capítulo 4

## Casos de Estudio

En este capítulo mostramos, a través de dos casos de estudio, cómo se describe un modelo DEVS *real* en forma abstracta utilizando CML-DEVS y cómo se aplica la técnica de validación presentada en el Capítulo 3. Los modelos representan el sistema de control de un ascensor y de una máquina expendedora de gaseosas, respectivamente.

Por cada caso de estudio, presentamos primero la descripción del sistema a ser modelado y los requerimientos del mismo. Luego describimos el modelo abstracto, en la versión de DEVS “original” y también utilizando CML-DEVS. Posteriormente, mostramos la traducción de cada modelo a DEVS-Suite y a PowerDEVS. Finalmente, detallamos cómo se aplican los criterios de simulación para cada modelo mostrando algunas de las clases de configuraciones generadas por estos criterios, el resto de las SCCs se muestran en los apéndices C y D.

### 4.1. Ascensor

El primer caso de estudio representa el modelo del sistema de control de un ascensor. El mismo tiene un panel de control con un botón para cada piso y otros dos botones, uno para abrir la puerta y otro para cerrarla. Además, cuenta con un interruptor para detener o reiniciar su funcionamiento. Cada vez que el ascensor alcanza un piso, este recibe una señal (la misma señal para todos los pisos). El ascensor cuenta con un display que debe mostrar el número del piso actual o el símbolo **ST** en caso de que esté detenido por estar activado el interruptor. Para prevenir accidentes o malfuncionamiento del ascensor, este posee dos sensores, uno para chequear, durante el cerrado de la puerta, si hay alguien o algo cruzándola. El otro sensor, previene que se exceda el límite del peso soportado por el ascensor antes de que comience a operar. Para completar el funcionamiento del ascensor, el sistema cuenta con tres temporizadores, cuyos propósitos se describe a continuación, junto con los requerimientos restantes del sistema:



- Si el ascensor está detenido en algún piso y alguien lo llama desde un piso diferente, o alguien presiona el botón de algún otro piso desde el tablero interior, luego de  $T_{D_1}$  unidades de tiempo la puerta debe comenzar a cerrarse, y demora  $T_{D_2}$  unidades de tiempo en cerrarse completamente. Sin embargo, si el botón de apertura de puerta se presiona o se activa alguno de los sensores, la puerta detiene el cerrado y se abre, reseteando el temporizador.
- Si luego de  $T_A$  unidades de tiempo ( $T_A > T_{D_1}$ ) desde que al ascensor se le indica ir a un piso diferente al actual la puerta no se cierra, se dispara una alarma indicando esta situación. A diferencia del temporizador anterior, este no se resetea a pesar de que alguno de los sensores se active, o alguno de los botones de la puerta es presionado. Solamente se resetea cuando la puerta se cierra totalmente y el ascensor comienza a moverse; si la alarma se había disparado, ésta deberá apagarse en este momento.
- Luego de  $T_{GF}$  unidades de tiempo desde que el ascensor se detiene en un piso, diferente a la planta baja, y si no recibe ningún llamado de ningún piso, éste debe regresar a la planta baja y abrir sus puertas.
- Este ascensor no tiene memoria, por lo tanto, va al primer piso que se le indica desde que está detenido, ignorando las siguientes solicitudes, hasta que llegue a destino.
- La puerta nunca debe cerrarse si:
  - Alguno de los sensores está activo (i.e. alguien o algo está cruzando la puerta, o el límite del peso soportado ha sido excedido).
  - El interruptor de funcionamiento está activado.

#### 4.1.1. Modelo DEVS abstracto

En las Figuras 4.1, 4.2, 4.3 y 4.4 se muestra una posible representación del modelo DEVS del sistema de control del ascensor descrito en la sección anterior.

---


$$M_A = \langle S, X, Y, \delta_{int}, \delta_{ext}, \lambda, ta \rangle$$

$$S = ActualFloor \times FloorCalled \times Engine \times Door \times Sensors \times Switch \times Alarm \times Timers \times NextTimer$$

donde:

$$ActualFloor = \mathbb{N}$$

$$FloorCalled = \mathbb{N} \cup \{\emptyset\}$$

$$Engine = \{\text{up, down, stopped}\}$$

$$Door = \{\text{open, closed, closing}\}$$

$$Sensors = \{0, 1\} \times \{0, 1\}$$

$$Alarm = Switch = \{0, 1\}$$

$$Timers = (\mathbb{R}_0^+ \cup \{\infty\}) \times (\mathbb{R}_0^+ \cup \{\infty\}) \times (\mathbb{R}_0^+ \cup \{\infty\}) \times (\mathbb{R}_0^+ \cup \{\infty\})$$

$$NextTimer = \{A, D_1, D_2, GF, O\}$$


---

**Figura 4.1:** Modelo DEVS del sistema de control de un ascensor (Parte A)

$$X = \{(in, x) : x \in \mathbb{N} \cup \{\text{fsg}, \text{ws}_{\text{on}}, \text{ws}_{\text{off}}, \text{ds}_{\text{on}}, \text{ds}_{\text{off}}, \text{od}_{\text{press}}, \text{cd}_{\text{press}}, \text{son}, \text{s}_{\text{off}}\}\}$$

$$Y = \{(out, y) : y \in (\mathbb{N} \cup \{\text{ST}\}) \times \{\text{up}, \text{down}, \text{stop}, \emptyset\} \times \{\text{opendoor}, \text{closeddoor}, \emptyset\} \times \{\text{firealarm}, \text{stopalarm}, \emptyset\}\}$$

$$\delta_{int}(f, fc, eng, d, (ws, ds), sw, a, (at, dt1, dt2, gft, ot), nt) =$$

$$\left\{ \begin{array}{l} (f, \emptyset, \text{stopped}, \text{open}, (ws, ds), sw, a, (\infty, \infty, \infty, \text{T}_{\text{GF}}, \infty), nt'(\infty, \infty, \infty, \text{T}_{\text{GF}}, \infty)) \\ \quad \text{if } nt = \text{O} \wedge eng \neq \text{stopped} \wedge f = fc \wedge f \neq 0 \quad (4.1) \\ (f, \emptyset, \text{stopped}, \text{open}, (ws, ds), sw, a, (\infty, \infty, \infty, \infty, \infty), nt'(\infty, \infty, \infty, \infty, \infty)) \\ \quad \text{if } nt = \text{O} \wedge eng \neq \text{stopped} \wedge f = fc \wedge f = 0 \quad (4.2) \\ (f, fc, eng, d, (ws, ds), sw, a, (\infty, \infty, \infty, \infty, \infty), nt'(\infty, \infty, \infty, \infty, \infty)) \\ \quad \text{if } nt = \text{O} \wedge eng \neq \text{stopped} \wedge f \neq fc \quad (4.3) \\ (f, fc, \text{stopped}, d, (ws, ds), sw, a, (\text{T}_{\text{A}}, \infty, \infty, \infty, \infty), nt'(\text{T}_{\text{A}}, \infty, \infty, \infty, \infty)) \\ \quad \text{if } nt = \text{O} \wedge sw = 1 \wedge eng \neq \text{stopped} \quad (4.4) \\ (f, fc, eng, d, (ws, ds), sw, a, (at - ot, dt1 - ot, dt2 - ot, gft - ot, \infty), nt'(at - ot, dt1 - ot, dt2 - ot, gft - ot, \infty)) \\ \quad \text{if } nt = \text{O} \wedge sw = 1 \wedge eng = \text{stopped} \quad (4.5) \\ (f, fc, \text{up}, d, (ws, ds), sw, 0, (\infty, \infty, \infty, \infty, \infty), nt'(\infty, \infty, \infty, \infty, \infty)) \\ \quad \text{if } nt = \text{O} \wedge ds = 0 \wedge ws = 0 \wedge sw = 0 \wedge d = \text{closed} \wedge fc \neq \emptyset \wedge fc > f \quad (4.6) \\ (f, fc, \text{down}, d, (ws, ds), sw, 0, (\infty, \infty, \infty, \infty, \infty), nt'(\infty, \infty, \infty, \infty, \infty)) \\ \quad \text{if } nt = \text{O} \wedge ds = 0 \wedge ws = 0 \wedge sw = 0 \wedge d = \text{closed} \wedge fc \neq \emptyset \wedge fc < f \quad (4.7) \\ (f, fc, eng, \text{closing}, (ws, ds), sw, 0, (at - ot, \infty, \text{T}_{\text{D}_2}, \infty, \infty), nt'(at - ot, \infty, \text{T}_{\text{D}_2}, \infty, \infty)) \\ \quad \text{if } nt = \text{O} \wedge ds = 0 \wedge ws = 0 \wedge sw = 0 \wedge d = \text{open} \wedge fc \neq \emptyset \quad (4.8) \\ (f, fc, eng, d, (ws, ds), sw, a, (\infty, \infty, \infty, gft - ot, \infty), nt'(\infty, \infty, \infty, gft - ot, \infty)) \\ \quad \text{if } nt = \text{O} \wedge ds = 0 \wedge ws = 0 \wedge sw = 0 \wedge fc = \emptyset \quad (4.9) \\ (f, fc, eng, \text{open}, (ws, ds), sw, a, (at - ot, \text{T}_{\text{D}_1}, \infty, \infty, \infty), nt'(at - ot, \text{T}_{\text{D}_1}, \infty, \infty, \infty)) \\ \quad \text{if } nt = \text{O} \wedge d = \text{closing} \quad (4.10) \\ (f, fc, eng, \text{closing}, (ws, ds), sw, a, (at - dt1, \infty, \text{T}_{\text{D}_2}, \infty, ot - dt1), nt'(at - dt1, \infty, \text{T}_{\text{D}_2}, \infty, ot - dt1)) \\ \quad \text{if } nt = \text{D}_1 \wedge ds = 0 \wedge ws = 0 \wedge sw = 0 \quad (4.11) \\ (f, fc, eng, d, (ws, ds), sw, a, (at - dt1, \infty, \infty, \infty, ot - dt1), nt'(at - dt1, \infty, \infty, \infty, ot - dt1)) \\ \quad \text{if } nt = \text{D}_1 \wedge \neg (ds = 0 \wedge ws = 0 \wedge sw = 0) \quad (4.12) \\ (f, fc, \text{up}, \text{closed}, (ws, ds), sw, 0, (\infty, \infty, \infty, \infty, ot - dt2), nt'(\infty, \infty, \infty, \infty, ot - dt2)) \\ \quad \text{if } nt = \text{D}_2 \wedge ds = 0 \wedge ws = 0 \wedge sw = 0 \wedge fc > f \quad (4.13) \\ (f, fc, \text{down}, \text{closed}, (ws, ds), sw, 0, (\infty, \infty, \infty, \infty, ot - dt2), nt'(\infty, \infty, \infty, \infty, ot - dt2)) \\ \quad \text{if } nt = \text{D}_2 \wedge ds = 0 \wedge ws = 0 \wedge sw = 0 \wedge fc < f \quad (4.14) \\ (f, fc, eng, d, (ws, ds), sw, a, (at - dt2, \infty, \infty, \infty, ot - dt2), nt'(at - dt2, \infty, \infty, \infty, ot - dt2)) \\ \quad \text{if } nt = \text{D}_2 \wedge \neg (ds = 0 \wedge ws = 0 \wedge sw = 0) \quad (4.15) \\ (f, fc, eng, d, (ws, ds), sw, 1, (\infty, dt1 - at, dt2 - at, gft - at, ot - at), nt'(\infty, dt1 - at, dt2 - at, gft - at, ot - at)) \\ \quad \text{if } nt = \text{A} \quad (4.16) \\ (f, 0, eng, \text{closing}, (ws, ds), sw, a, (\infty, \infty, \text{T}_{\text{D}_2}, \infty, ot), nt'(\infty, \infty, \text{T}_{\text{D}_2}, \infty, ot)) \\ \quad \text{if } nt = \text{GF} \wedge f \neq 0 \wedge fc = \emptyset \wedge d = \text{open} \wedge ds = 0 \wedge ws = 0 \wedge sw = 0 \quad (4.17) \\ (f, 0, eng, d, (ws, ds), sw, a, (at - gft, \infty, \infty, \infty, ot), nt'(at - gft, \infty, \infty, \infty, ot)) \\ \quad \text{if } nt = \text{GF} \wedge f \neq 0 \wedge fc = \emptyset \wedge d = \text{open} \wedge \neg (ds = 0 \wedge ws = 0 \wedge sw = 0) \quad (4.18) \end{array} \right.$$

$$nt'(at, dt1, dt2, gft, ot) = \begin{cases} \text{A} & \text{if } \min(at, dt1, dt2, gft, ot) = at \\ \text{D}_1 & \text{if } \min(at, dt1, dt2, gft, ot) = dt1 \\ \text{D}_2 & \text{if } \min(at, dt1, dt2, gft, ot) = dt2 \\ \text{GF} & \text{if } \min(at, dt1, dt2, gft, ot) = gft \\ \text{O} & \text{if } \min(at, dt1, dt2, gft, ot) = ot \end{cases}$$

Figura 4.2: Modelo DEVS del sistema de control de un ascensor (Parte B)

$\delta_{ext}((f, fc, eng, d, (ws, ds), sw, a, (at, dt1, dt2, gft, ot), nt), e, (in, x)) =$

$$(f, n, eng, d, (ws, ds), sw, a, (\top_A, \top_{D_1}, dt2', \infty, ot'), nt'(\top_A, \top_{D_1}, dt2', \infty, ot'))$$

$$\text{if } x = n, n \in \mathbb{N} \wedge n \neq f \wedge eng = \text{stopped} \wedge fc = \emptyset \quad (4.1)$$

$$(f + 1, fc, eng, d, (ws, ds), sw, a, (at', dt1', dt2', gft', 0), nt'(at', dt1', dt2', gft', 0))$$

$$\text{if } x = \text{fsig} \wedge eng = \text{up} \quad (4.2)$$

$$(f - 1, fc, eng, d, (ws, ds), sw, a, (at', dt1', dt2', gft', 0), nt'(at', dt1', dt2', gft', 0))$$

$$\text{if } x = \text{fsig} \wedge eng = \text{down} \quad (4.3)$$

$$(f, fc, eng, d, (ws, 1), sw, a, (at', dt1', dt2', gft', 0), nt'(at', dt1', dt2', gft', 0))$$

$$\text{if } x = \text{ds}_{on} \wedge eng = \text{stopped}) \quad (4.4)$$

$$(f, fc, eng, d, (ws, 1), sw, a, (at', dt1', dt2', gft', ot'), nt'(at', dt1', dt2', gft', ot'))$$

$$\text{if } x = \text{ds}_{on} \wedge eng \neq \text{stopped}) \quad (4.5)$$

$$(f, fc, eng, d, (ws, 0), sw, a, (at', \top_{D_1}, dt2', gft', ot'), nt'(at', \top_{D_1}, dt2', gft', ot'))$$

$$\text{if } x = \text{ds}_{off} \wedge d = \text{open} \wedge fc \neq \emptyset \wedge ws = 0 \wedge sw = 0 \quad (4.6)$$

$$(f, fc, eng, d, (ws, 0), sw, a, (at', dt1', dt2', gft', ot'), nt'(at', dt1', dt2', gft', ot'))$$

$$\text{if } x = \text{ds}_{off} \wedge (d \neq \text{open} \vee fc = \emptyset \vee ws = 1 \vee sw = 1) \quad (4.7)$$

$$(f, fc, eng, d, (1, ds), sw, a, (at', dt1', dt2', gft', 0), nt'(at', dt1', dt2', gft', 0))$$

$$\text{if } x = \text{ws}_{on} \wedge eng = \text{stopped} \quad (4.8)$$

$$(f, fc, eng, d, (1, ds), sw, a, (at', dt1', dt2', gft', ot'), nt'(at', dt1', dt2', gft', ot'))$$

$$\text{if } x = \text{ws}_{on} \wedge eng \neq \text{stopped} \quad (4.9)$$

$$(f, fc, eng, d, (0, ds), sw, a, (at', \top_{D_1}, gft', ot'), nt'(at', \top_{D_1}, gft', ot'))$$

$$\text{if } x = \text{ws}_{off} \wedge fc \neq \emptyset \wedge d = \text{open} \quad (4.10)$$

$$(f, fc, eng, d, (0, ds), sw, a, (at', dt1', dt2', gft', ot'), nt'(at', dt1', dt2', gft', ot'))$$

$$\text{if } x = \text{ws}_{off} \wedge (fc = \emptyset \vee d \neq \text{open}) \quad (4.11)$$

$$(f, fc, eng, d, (ws, ds), 1, a, (at', dt1', dt2', gft', 0), nt'(at', dt1', dt2', gft', 0))$$

$$\text{if } x = \text{s}_{on} \quad (4.12)$$

$$(f, fc, eng, d, (ws, ds), 0, a, (at', \top_{D_1}, dt2', gft', ot'), nt'(at', \top_{D_1}, dt2', gft', ot'))$$

$$\text{if } x = \text{s}_{off} \wedge d = \text{open} \wedge fc \neq \emptyset \wedge fc \neq f \quad (4.13)$$

$$(f, fc, eng, d, (ws, ds), 0, a, (at', dt1', dt2', gft', ot'), nt'(at', dt1', dt2', gft', ot'))$$

$$\text{if } x = \text{s}_{off} \wedge fc = \emptyset \quad (4.14)$$

$$(f, fc, eng, d, (ws, ds), 0, a, (at', dt1', dt2', gft', 0), nt'(at', dt1', dt2', gft', 0))$$

$$\text{if } x = \text{s}_{off} \wedge fc \neq \emptyset \wedge d = \text{closed} \quad (4.15)$$

$$(f, fc, eng, d, (ws, ds), sw, a, (at', dt1', dt2', gft', 0), nt'(at', dt1', dt2', gft', 0))$$

$$\text{if } x = \text{od}_{press} \wedge d = \text{closing} \quad (4.16)$$

$$(f, fc, eng, d, (ws, ds), sw, a, (at', 0, dt2', gft', ot'), nt'(at', 0, dt2', gft', ot'))$$

$$\text{if } x = \text{cd}_{press} \wedge d = \text{open} \wedge fc \neq \emptyset \wedge ds = 0 \wedge ws = 0 \wedge sw = 0 \quad (4.17)$$

$$(f, fc, eng, d, (ws, ds), sw, a, (at', dt1', dt2', gft', ot'), nt'(at', dt1', dt2', gft', ot'))$$

$$\text{Otherwise} \quad (4.18)$$

$at' = at - e, dt1' = dt1 - e, dt2' = dt2 - e, gft' = gft - e, ot' = ot - e,$

**Figura 4.3:** Modelo DEVS del sistema de control de un ascensor (Parte C)

.....  
 $\lambda((f, fc, eng, d, (ws, ds), sw, a, (at, dt1, dt2, gft, ot), nt)) =$

$(f, \emptyset, \text{closeddoor}, \emptyset)$	if $nt = D_1 \wedge ds = 0 \wedge ws = 0 \wedge sw = 0$	(4.1)
$(f, \emptyset, \emptyset, \emptyset)$	if $nt = D_1 \wedge (ws = 1 \vee ds = 1) \wedge sw = 0$	(4.2)
$(ST, \emptyset, \emptyset, \emptyset)$	if $nt = D_1 \wedge sw = 1$	(4.3)
$(f, \text{up}, \emptyset, \emptyset)$	if $nt = D_2 \wedge ds = 0 \wedge ws = 0 \wedge sw = 0 \wedge fc > f \wedge a = 0$	(4.4)
$(f, \text{down}, \emptyset, \emptyset)$	if $nt = D_2 \wedge ds = 0 \wedge ws = 0 \wedge sw = 0 \wedge fc < f \wedge a = 0$	(4.5)
$(f, \text{up}, \emptyset, \text{stopalarm})$	if $nt = D_2 \wedge ds = 0 \wedge ws = 0 \wedge sw = 0 \wedge fc > f \wedge a = 1$	(4.6)
$(f, \text{down}, \emptyset, \text{stopalarm})$	if $nt = D_2 \wedge ds = 0 \wedge ws = 0 \wedge sw = 0 \wedge fc < f \wedge a = 1$	(4.7)
$(f, \emptyset, \emptyset, \emptyset)$	if $nt = D_2 \wedge (ws = 1 \vee ds = 1) \wedge sw = 0$	(4.8)
$(ST, \emptyset, \emptyset, \emptyset)$	if $nt = D_2 \wedge sw = 1$	(4.9)
$(f, \emptyset, \text{closeddoor}, \emptyset)$	if $nt = GF \wedge f \neq 0 \wedge fc = \emptyset \wedge d = \text{open} \wedge ds = 0 \wedge ws = 0 \wedge sw = 0$	(4.10)
$(f, \emptyset, \emptyset, \emptyset)$	if $nt = GF \wedge (f = 0 \vee ws = 1 \vee ds = 1) \wedge sw = 0$	(4.11)
$(ST, \emptyset, \emptyset, \emptyset)$	if $nt = GF \wedge sw = 1$	(4.12)
$(f, \text{stop}, \text{opendoor}, \emptyset)$	if $nt = O \wedge eng \neq \text{stopped} \wedge f = fc$	(4.13)
$(f, \emptyset, \emptyset, \emptyset)$	if $nt = O \wedge eng \neq \text{stopped} \wedge f \neq fc$	(4.14)
$(f, \emptyset, \text{opendoor}, \emptyset)$	if $nt = O \wedge d \neq \text{open} \wedge eng = \text{stopped}$	(4.15)
$(ST, \text{stop}, \emptyset, \emptyset)$	if $nt = O \wedge sw = 1 \wedge eng \neq \text{stopped}$	(4.16)
$(ST, \emptyset, \emptyset, \emptyset)$	if $nt = O \wedge sw = 1 \wedge eng = \text{stopped}$	(4.17)
$(f, \text{up}, \emptyset, \emptyset)$	if $nt = O \wedge ds = 0 \wedge ws = 0 \wedge sw = 0 \wedge d = \text{closed} \wedge fc > f \wedge a = 0$	(4.18)
$(f, \text{down}, \emptyset, \emptyset)$	if $nt = O \wedge ds = 0 \wedge ws = 0 \wedge sw = 0 \wedge d = \text{closed} \wedge fc < f \wedge a = 0$	(4.19)
$(f, \text{up}, \emptyset, \text{stopalarm})$	if $nt = O \wedge ds = 0 \wedge ws = 0 \wedge sw = 0 \wedge d = \text{closed} \wedge fc > f \wedge a = 1$	(4.20)
$(f, \text{down}, \emptyset, \text{stopalarm})$	if $nt = O \wedge ds = 0 \wedge ws = 0 \wedge sw = 0 \wedge d = \text{closed} \wedge fc < f \wedge a = 1$	(4.21)
$(f, \emptyset, \emptyset, \emptyset)$	if $nt = O \wedge d = \text{open} \wedge sw = 0$	(4.22)
$(f, \emptyset, \text{closeddoor}, \emptyset)$	if $nt = O \wedge d = \text{open} \wedge fc \neq \emptyset \wedge a = 1$	(4.23)
$(f, \emptyset, \emptyset, \text{firealarm})$	if $nt = A \wedge sw = 0$	(4.24)
$(ST, \emptyset, \emptyset, \text{firealarm})$	if $nt = A \wedge sw = 1$	(4.25)

$ta((f, fc, eng, d, (ws, ds), sw, a, f(at, dt1, dt2, gft, ot))) = \min(at, dt1, dt2, gft, ot)$

**Figura 4.4:** Modelo DEVS del sistema de control de un ascensor (Parte D)

Un estado,  $s \in S$ , del modelo es una tupla que representa, respectivamente, el piso en el cual se encuentra el ascensor, el piso al que debe ir (piso solicitado), el estado del motor del ascensor, el estado de su puerta, los sensores de la puerta y de peso, la alarma, los diferentes temporizadores (incluyendo un temporizador artificialmente agregado para el manejo de eventos externos) y, finalmente, una variable indicando cuál es el próximo temporizador en finalizar.

Los valores de entrada pueden ser un número (indicando un piso) o diferentes señales: indicando que el ascensor alcanzado un piso, el sensor de peso o el sensor del piso se ha activado o desactivado, se ha presionado el botón de apertura o cierre de puerta o el interruptor ha sido encendido o apagado.

La salida, por su parte, consiste en una tupla de cuatro valores donde cada variable representa una indicación, respectivamente, para el *display*, el motor, la puerta y la alarma.  $\emptyset$  significa “no hacer nada” (o más bien, mantener la acción actual).

En cuanto a la función de transición interna, detallamos ahora algunos de los casos con el fin de poder entenderla. Por ejemplo, el caso (16) representa cuando el temporizador de la alarma termina y, por lo tanto, la alarma debe ser disparada, con los correspondientes casos (24) y (25) de la función de salida. El caso (10), por su parte, representa cuando el botón de apertura de puerta es presionado y la puerta debe abrirse, si es que ésta se está cerrando. El caso correspondiente en la función de salida es el (15).

Por otra parte, la función de transición externa es, tal vez, más intuitiva para entender cada caso. Por ejemplo, el caso (1) representa cuando el ascensor es llamado de algún piso, diferente al actual, estando el motor apagado y ningún piso ha sido llamado hasta el momento. Mientras, los casos (10) y (11) simbolizan la situación cuando el sensor de límite de peso se desactiva, habiendo algún piso solicitado o no, y con la puerta abierta o no.

### 4.1.2. Modelo en CML-DEVS

A continuación presentamos el mismo modelo utilizando, ahora, el lenguaje CML-DEVS.

```

atomic Elevator(params) is (S, X, Y,  $\delta_{int}$ ,  $\delta_{ext}$ ,  $\lambda$ , ta) where
params is
  TGF = 1000;
  TD1 = 5;
  TD2 = 2;
  TA = 10;
end params
S is
  f :  $\mathbb{N}$ ;
  fc :  $\mathbb{N} \cup \{\emptyset\}$ ;
  eng : {up, down, stopped};
  d : {open, closed, closing};
  sens : Boolean  $\times$  Boolean;
  sw, a : Boolean;
  timers : Time  $\times$  Time  $\times$  Time  $\times$  Time  $\times$  Time;
  nt : NextTimer;
  NextTimer == {A, D1, D2, GF, O};
end S
X is
  input :  $\mathbb{N} \cup \{f\_sig, ws\_on, ws\_off, ds\_on, ds\_off, od\_press, cd\_press, s\_on, s\_off\}$ 
end X

```

Y is

```

out : DispOut × EngOut × DoorOut × AlarmOut;
DispOut == ℕ ∪ {ST};
EngOut == {up, down, stop, ∅};
DoorOut == {open, close, ∅};
AlarmOut == {fire, stop, ∅};

```

end Y

$\delta\text{int}(f, fc, eng, d, (ws, ds), sw, a, (at, dt1, dt2, gft, ot), nt)$  is

defcases

case

```

fc = ∅;
eng = stopped;
d = open;
timers = (∞, ∞, ∞, TGF, ∞);
nt = Lib.nt(∞, ∞, ∞, TGF, ∞);

```

if

$((nt = O) \wedge (eng \neq stopped) \wedge (f = fc) \wedge (f \neq 0))$

case

```

fc = ∅;
eng = stopped;
d = open;
timers = (∞, ∞, ∞, ∞, ∞);
nt = Lib.nt(∞, ∞, ∞, ∞, ∞);

```

if

$((nt = O) \wedge (eng \neq stopped) \wedge (f = fc) \wedge (f = 0))$

case

```

timers = (∞, ∞, ∞, ∞, ∞);
nt = Lib.nt(∞, ∞, ∞, ∞, ∞);

```

if

$((nt = O) \wedge (eng \neq stopped) \wedge (f \neq fc))$

case

```

eng = stopped;
timers = (TA, ∞, ∞, ∞, ∞);
nt = Lib.nt(TA, ∞, ∞, ∞, ∞);

```

if

$((nt = O) \wedge (sw = \text{true}) \wedge (eng \neq stopped))$

case

```

timers = (at - ot, dt1 - ot, dt2 - ot, gft - ot, ∞);
nt = Lib.nt(at - ot, dt1 - ot, dt2 - ot, gft - ot, ∞);

```

if

$((nt = O) \wedge (sw = \text{true}) \wedge (eng = stopped))$

case

```

eng = up;
timers = (∞, ∞, ∞, ∞, ∞);
nt = Lib.nt(∞, ∞, ∞, ∞, ∞);

```

if

$((nt = O) \wedge (ds = \text{false}) \wedge (ws = \text{false}) \wedge (sw = \text{false}) \wedge (d = \text{closed}) \wedge (fc \neq \emptyset) \wedge (fc > f))$

case

```

eng = down;
timers = (∞, ∞, ∞, ∞, ∞);
nt = Lib.nt(∞, ∞, ∞, ∞, ∞);

```

if

$((nt = O) \wedge (ds = \text{false}) \wedge (ws = \text{false}) \wedge (sw = \text{false}) \wedge (d = \text{closed}) \wedge (fc \neq \emptyset) \wedge (fc < f))$

case

```

d = closing;
a = false;
timers = (at - ot, ∞, TD2, ∞, ∞);
nt = Lib.nt(at - ot, ∞, TD2, ∞, ∞);

```

if

$((nt = O) \wedge (ds = \text{false}) \wedge (ws = \text{false}) \wedge (sw = \text{false}) \wedge (d = \text{open}) \wedge (fc \neq \emptyset))$

```

case
  timers = ( $\infty, \infty, \infty, gft - ot, \infty$ );
  nt = Lib.nt( $\infty, \infty, \infty, gft - ot, \infty$ );
if
  ((nt = O)  $\wedge$  (ds = false)  $\wedge$  (ws = false)  $\wedge$  (sw = false)  $\wedge$  (fc =  $\emptyset$ ))
case
  d = open;
  timers = (at - ot, TD1,  $\infty, \infty, \infty$ );
  nt = Lib.nt(at - ot, TD1,  $\infty, \infty, \infty$ );
if
  ((nt = O)  $\wedge$  (d = closing))
case
  d = closing;
  timers = (at - dt1,  $\infty, TD2, \infty, ot - dt1$ );
  nt = Lib.nt(at - dt1,  $\infty, TD2, \infty, ot - dt1$ );
if
  ((nt = D1)  $\wedge$  (ds = false)  $\wedge$  (ws = false)  $\wedge$  (sw = false))
case
  timers = (at - dt1,  $\infty, \infty, \infty, ot - dt1$ );
  nt = Lib.nt(at - dt1,  $\infty, \infty, \infty, ot - dt1$ );
if
  ((nt = D1)  $\wedge$   $\neg$  ((ds = false)  $\wedge$  (ws = false)  $\wedge$  (sw = false)))
case
  eng = up;
  d = closed;
  a = false;
  timers = ( $\infty, \infty, \infty, \infty, ot - dt2$ );
  nt = Lib.nt( $\infty, \infty, \infty, \infty, ot - dt2$ );
if
  ((nt = D2)  $\wedge$  (ds = false)  $\wedge$  (ws = false)  $\wedge$  (sw = false)  $\wedge$  (fc > f))
case
  eng = down;
  d = closed;
  a = false;
  timers = ( $\infty, \infty, \infty, \infty, ot - dt2$ );
  nt = Lib.nt( $\infty, \infty, \infty, \infty, ot - dt2$ );
if
  ((nt = D2)  $\wedge$  (ds = false)  $\wedge$  (ws = false)  $\wedge$  (sw = false)  $\wedge$  (fc < f))
case
  timers = (at - dt2,  $\infty, \infty, \infty, ot - dt2$ );
  nt = Lib.nt(at - dt2,  $\infty, \infty, \infty, ot - dt2$ );
if
  ((nt = D2)  $\wedge$   $\neg$  ((ds = false)  $\wedge$  (ws = false)  $\wedge$  (sw = false)))
case
  a = true;
  timers = ( $\infty, dt1 - at, dt2 - at, gft - at, ot - at$ );
  nt = Lib.nt( $\infty, dt1 - at, dt2 - at, gft - at, ot - at$ );
if
  (nt = A)
case
  fc = 0;
  d = closing;
  timers = ( $\infty, \infty, TD2, \infty, ot$ );
  nt = Lib.nt( $\infty, \infty, TD2, \infty, ot$ );
if
  ((nt = GF)  $\wedge$  (f  $\neq$  0)  $\wedge$  (fc =  $\emptyset$ )  $\wedge$  (d = open)  $\wedge$  (ds = false)  $\wedge$  (ws = false)  $\wedge$  (sw = false))

```

```

case
  fc = 0;
  timers = (at - gft, ∞, ∞, ∞, ot);
  nt = Lib.nt(at - gft, ∞, ∞, ∞, ot);
if
  ((nt = GF) ∧ (f ≠ 0) ∧ (fc = ∅) ∧ (d = open) ∧ ¬ ((ds = false) ∧ (ws = false) ∧ (sw = false)))
end defcases
end δint
δext((f, fc, eng, d, (ws, ds), sw, a, (at, dt1, dt2, gft, ot), nt), e, (port, value)) is
  defcases
    case
      timers = (TA, TD1, dt2 - e, ∞, ot - e);
      nt = Lib.nt(TA, TD1, dt2 - e, ∞, ot - e);
    if
      ((value ∈ ℕ) ∧ (value ≠ f) ∧ (eng = stopped) ∧ (fc = ∅))
    case
      f = f + 1;
      timers = (at - e, dt1 - e, dt2 - e, gft - e, 0);
      nt = Lib.nt(at - e, dt1 - e, dt2 - e, gft - e, 0);
    if
      ((value = f_sig) ∧ (eng = up));
    case
      f = f - 1;
      timers = (at - e, dt1 - e, dt2 - e, gft - e, 0);
      nt = Lib.nt(at - e, dt1 - e, dt2 - e, gft - e, 0);
    if
      ((value = f_sig) ∧ (eng = down))
    case
      sens = (ws, true);
      timers = (at - e, dt1 - e, dt2 - e, gft - e, 0);
      nt = Lib.nt(at - e, dt1 - e, dt2 - e, gft - e, 0);
    if
      ((value = ds_on) ∧ (eng = stopped))
    case
      sens = (ws, true);
      timers = (at - e, dt1 - e, dt2 - e, gft - e, ot - e);
      nt = Lib.nt(at - e, dt1 - e, dt2 - e, gft - e, ot - e);
    if
      ((value = ds_on) ∧ (eng ≠ stopped))
    case
      sens = (ws, false);
      timers = (at - e, TD1, dt2 - e, gft - e, ot - e);
      timers = Lib.nt(at - e, TD1, dt2 - e, gft - e, ot - e);
    if
      ((value = ds_off) ∧ (d = open) ∧ (fc ≠ ∅) ∧ (ws = false) ∧ (sw = false))
    case
      sens = (ws, false);
      timers = (at - e, dt1 - e, dt2 - e, gft - e, ot - e);
      nt = Lib.nt(at - e, dt1 - e, dt2 - e, gft - e, ot - e);
    if
      ((value = ds_off) ∧ ((d ≠ open) ∨ (fc = ∅) ∨ (ws = true) ∨ (sw = true)))
    case
      sens = (true, ds);
      timers = (at - e, dt1 - e, dt2 - e, gft - e, 0);
      nt = Lib.nt(at - e, dt1 - e, dt2 - e, gft - e, 0);
    if
      ((value = ws_on) ∧ (eng = stopped))

```



```

case
  sens = (true, ds);
  timers = (at - e, dt1 - e, dt2 - e, gft - e, ot - e);
  nt = Lib.nt(at - e, dt1 - e, dt2 - e, gft - e, ot - e);
if
  ((value = ws_on) ∧ (eng ≠ stopped))
case
  sens = (false, ds);
  timers = (at - e, TD1, gft - e, ot - e);
  nt = Lib.nt(at - e, TD1, gft - e, ot - e);
if
  ((value = ws_off) ∧ (fc ≠ ∅) ∧ (d = open))
case
  sens = (false, ds);
  timers = (at - e, dt1 - e, dt2 - e, gft - e, ot - e);
  nt = Lib.nt(at - e, dt1 - e, dt2 - e, gft - e, ot - e);
if
  ((value = ws_off) ∧ ((fc = ∅) ∨ (d ≠ open)))
case
  sw = true;
  timers = (at - e, dt1 - e, dt2 - e, gft - e, 0);
  nt = Lib.nt(at - e, dt1 - e, dt2 - e, gft - e, 0);
if
  (value = s_on)
case
  sw = false;
  timers = (at - e, TD1, dt2 - e, gft - e, ot - e);
  nt = Lib.nt(at - e, TD1, dt2 - e, gft - e, ot - e);
if
  ((value = s_off) ∧ (d = open) ∧ (fc ≠ ∅) ∧ (fc ≠ f))
case
  sw = false;
  timers = (at - e, dt1 - e, dt2 - e, gft - e, ot - e);
  nt = Lib.nt(at - e, dt1 - e, dt2 - e, gft - e, ot - e);
if
  ((value = s_off) ∧ (fc = ∅))
case
  sw = false;
  timers = (at - e, dt1 - e, dt2 - e, gft - e, 0);
  nt = Lib.nt(at - e, dt1 - e, dt2 - e, gft - e, 0);
if
  ((value = s_off) ∧ (fc ≠ ∅) ∧ (d = closed))
case
  timers = (at - e, dt1 - e, dt2 - e, gft - e, 0);
  nt = Lib.nt(at - e, dt1 - e, dt2 - e, gft - e, 0);
if
  ((value = od_press) ∧ (d = closing))
case
  timers = (at - e, 0, dt2 - e, gft - e, ot - e);
  nt = Lib.nt(at - e, 0, dt2 - e, gft - e, ot - e);
if
  ((value = cd_press) ∧ (d = open) ∧ (fc ≠ ∅) ∧ (ds = false) ∧ (ws = false) ∧ (sw = false))
default
  timers = (at - e, dt1 - e, dt2 - e, gft - e, ot - e);
  nt = Lib.nt(at - e, dt1 - e, dt2 - e, gft - e, ot - e);
end defcases
end δext
ta(f, fc, eng, d, sens, sw, a, timers, nt) is
  min(timers);
end ta

```

```

λ(f, fc, eng, d, (ws, ds), sw, a, (at, dt1, dt2, gft, ot), nt) is
  defcases
    case (out, (f, ∅, closeddoor, ∅));
    if ((nt = D1) ∧ (ds = false) ∧ (ws = false) ∧ (sw = false))
    case (out, (f, ∅, ∅, ∅));
    if ((nt = D1) ∧ ((ws = true) ∨ (ds = true)) ∧ (sw = false))
    case (out, (ST, ∅, ∅, ∅));
    if ((nt = D1) ∧ (sw = true))
    case (out, (f, up, ∅, ∅));
    if ((nt = D2) ∧ (ds = false) ∧ (ws = false) ∧ (sw = false) ∧ (fc > f) ∧ (a = false))
    case (out, (f, down, ∅, ∅));
    if ((nt = D2) ∧ (ds = false) ∧ (ws = false) ∧ (sw = false) ∧ (fc < f) ∧ (a = false))
    case (out, (f, up, ∅, stopalarm));
    if ((nt = D2) ∧ (ds = false) ∧ (ws = false) ∧ (sw = false) ∧ (fc > f) ∧ (a = true))
    case (out, (f, down, ∅, stopalarm));
    if ((nt = D2) ∧ (ds = false) ∧ (ws = false) ∧ (sw = false) ∧ (fc < f) ∧ (a = true))
    case (out, (f, ∅, ∅, ∅));
    if ((nt = D2) ∧ ((ws = true) ∨ (ds = true)) ∧ (sw = false))
    case (out, (ST, ∅, ∅, ∅));
    if ((nt = D2) ∧ (sw = true))
    case (out, (f, ∅, closeddoor, ∅));
    if ((nt = GF) ∧ (f ≠ 0) ∧ (fc = ∅) ∧ (d = open) ∧ (ds = false) ∧ (ws = false) ∧ (sw = false))
    case (out, (f, ∅, ∅, ∅));
    if ((nt = GF) ∧ ((f = 0) ∨ (ws = true) ∨ (ds = true)) ∧ (sw = false))
    case (out, (ST, ∅, ∅, ∅)); if ((nt = GF) ∧ (sw = true))
    case (out, (f, stop, opendoor, ∅)); if ((nt = O) ∧ (eng ≠ stopped) ∧ (f = fc))
    case (out, (f, ∅, ∅, ∅)); if ((nt = O) ∧ (eng ≠ stopped) ∧ (f ≠ fc))
    case (out, (f, ∅, opendoor, ∅)); if ((nt = O) ∧ (d ≠ open) ∧ (eng = stopped))
    case (out, (ST, stop, ∅, ∅)); if ((nt = O) ∧ (sw = true) ∧ (eng ≠ stopped))
    case (out, (ST, ∅, ∅, ∅)); if ((nt = O) ∧ (sw = true) ∧ (eng = stopped))
    case (out, (f, up, ∅, ∅));
    if ((nt = O) ∧ (ds = false) ∧ (ws = false) ∧ (sw = false) ∧ (d = closed) ∧ (fc > f) ∧ (a = false))
    case (out, (f, down, ∅, ∅));
    if ((nt = O) ∧ (ds = false) ∧ (ws = false) ∧ (sw = false) ∧ (d = closed) ∧ (fc < f) ∧ (a = false))
    case (out, (f, up, ∅, stopalarm));
    if ((nt = O) ∧ (ds = false) ∧ (ws = false) ∧ (sw = false) ∧ (d = closed) ∧ (fc > f) ∧ (a = true))
    case (out, (f, down, ∅, stopalarm));
    if ((nt = O) ∧ (ds = false) ∧ (ws = false) ∧ (sw = false) ∧ (d = closed) ∧ (fc < f) ∧ (a = true))
    case (out, (f, ∅, ∅, ∅)); if ((nt = O) ∧ (d = open) ∧ (sw = false))
    case (out, (f, ∅, closeddoor, ∅)); if ((nt = O) ∧ (d = open) ∧ (fc ≠ ∅) ∧ (a = true))
    case (out, (f, ∅, ∅, firealarm)); if (nt = A ∧ (sw = false))
    case (out, (ST, ∅, ∅, firealarm)); if (nt = A ∧ (sw = true))
  end defcases
end λ
end atomic
functions Lib is
function nt is
  at, dt1, dt2, gft, ot : Time → res : NextTimer;
  defcases
    case res = A; if (min(at, dt1, dt2, gft, ot) = at)
    case res = D1; if (min(at, dt1, dt2, gft, ot) = dt1)
    case res = D2; if (min(at, dt1, dt2, gft, ot) = dt2)
    case res = GF; if (min(at, dt1, dt2, gft, ot) = gft)
    case res = O; if (min(at, dt1, dt2, gft, ot) = ot)
  end defcases
end function
end functions

```

Como puede notarse, el modelo DEVS abstracto y el modelo CML-DEVS son muy parecidos. No son idénticos, tal vez, por cuestiones de sintaxis. Sin embargo, el modelo CML-DEVS sigue manteniendo el concepto abstracto, ya que la notación es prácticamente matemática sin involucrar nociones de programación.

### 4.1.3. Modelos de simulación concretos

Como los modelos, tanto en Java como en C++ (para DEVS-Suite y Power-DEVS, respectivamente) son bastante extensos, no los mostramos en esta tesis, pero están disponibles en forma *online*: <http://www.cifasis-conicet.gov.ar/hollmann/projects/CML-DEVS/models>.

El código de estos modelos concretos fue hecho a mano, pero aplicando las reglas de traducción mostradas en el Capítulo 2.

### 4.1.4. Aplicación de los Criterios

En esta sección, mostramos cómo se aplican los criterios del Capítulo 3 para dividir el conjunto de todas las posibles configuraciones de simulación, generando las diferentes clases de configuraciones de simulación. Por cada criterio, mostramos en este capítulo sólo algunas clases, el resto, pueden observarse en el Apéndice C.

#### Funciones de transición definidas por casos

El primer criterio que aplicamos para este ejemplo utiliza la definición de las funciones de transición interna y externa, generando una clase para cada caso en la definición de cada función.

Para describir las SCCs de este ejemplo, usaremos varias veces un estado genérico,  $s \in S$ , definido como  $s = (f, fc, eng, d, (ws, ds), sw, a, (at, dt1, dt2, gft, ot), nt)$ .

Entonces, algunas de las clases generadas por este criterio son:

- $IniSt_1 = \{s : s \in S \mid eng = \text{stopped} \wedge fc = \emptyset\}$ ,  
 $InPairs_1 = \{((in, n), t) : n \in \mathbb{N}, t \in \mathbb{R}_0^+ \mid n \neq f\}$
- $IniSt_{13} = \{s : s \in S \mid d = \text{open} \wedge fc \neq \emptyset \wedge fc \neq f\}$ ,  
 $InPairs_{13} = \{((in, s_{\text{off}}), t) : t \in \mathbb{R}_0^+\}$
- $IniSt_{30} = \{s : s \in S \mid nt = D_2 \wedge ds = 0 \wedge ws = 0 \wedge sw = 0 \wedge fc > f\}$   
 $InPairs_{30} = \{(\tau, 0)\}$

Con la primera clase, se simula el llamado del ascensor de un piso diferente del actual, estando el motor apagado y no habiendo otro piso llamado. Esto corresponde al primer caso de la función de transición externa.

## Conjuntos definidos por extensión

En este ejemplo, hay seis conjuntos definidos por extensión, *Engine*, *Door*, *Sensors*, *Alarm*, *Switch* y *NextTimer*. Además,  $X$  es la unión de un conjunto infinito y otro definido por extensión.

Siendo que estos conjuntos tienen un número relativamente pequeño de elementos (considerando solamente el conjunto finito de la unión que forma  $X$ ), definimos una SCC por cada uno de estos elementos, como el criterio lo indica. Algunas de estas son:

- $IniSt_{36} = \{s : s \in S\}$ ,  
 $InPairs_{36} = \{(in, n), t) : n \in \mathbb{N}, t \in \mathbb{R}_0^+\}$
- $IniSt_{49} = \{s : s \in S \mid d = \text{open}\}$ ,  
 $InPairs_{49} = \{(x, t) : x \in X \cup \{\tau\}, t \in \mathbb{R}_0^+\}$
- $IniSt_{57} = \{s : s \in S \mid a = 1\}$ ,  
 $InPairs_{57} = \{(x, t) : x \in X \cup \{\tau\}, t \in \mathbb{R}_0^+\}$
- $IniSt_{59} = \{s : s \in S \mid sw = 1\}$ ,  
 $InPairs_{59} = \{(x, t) : x \in X \cup \{\tau\}, t \in \mathbb{R}_0^+\}$

Con la tercer clase, se simularía el arribo de un evento externo o alguna transición interna estando la alarma disparada.

## Particiones estándar

Ahora aplicamos el criterio de particiones estándar sobre los operadores  $<$ ,  $>$ ,  $+$  y  $-$ . Para estos operadores se puede utilizar la misma partición estándar definida en la sección 3.4.4. Sin embargo, algunos casos los debemos ignorar ya que las variables involucradas no pueden ser menores a cero ( $f \geq 0$  y  $fc \geq 0$ ).

Las siguientes clases, son algunas de las resultantes al aplicar este criterio. Las primeras dos se refieren a la ocurrencia de los operadores  $<$  y  $>$  en la definición de  $\delta_{int}$  y las últimas dos, a la ocurrencia de los operadores  $+$  y  $-$  en dicha función.

- $IniSt_{67} = \{s : s \in S \mid nt = O \wedge ds = 0 \wedge ws = 0 \wedge sw = 0 \wedge d = \text{closed} \wedge fc \neq \emptyset \wedge fc = f \wedge f = 0\}$ ,  
 $InPairs_{67} = \{(\tau, 0)\}$
- $IniSt_{72} = \{s : s \in S \mid nt = O \wedge ds = 0 \wedge ws = 0 \wedge sw = 0 \wedge d = \text{closed} \wedge fc \neq \emptyset \wedge fc > f \wedge f = 0\}$ ,  
 $InPairs_{72} = \{(\tau, 0)\}$
- $IniSt_{76} = \{s : s \in S \mid nt = D_2 \wedge ds = 0 \wedge ws = 0 \wedge sw = 0 \wedge fc > f \wedge f > 0\}$ ,  
 $InPairs_{76} = \{(\tau, 0)\}$
- $IniSt_{77} = \{s : s \in S \mid nt = D_2 \wedge ds = 0 \wedge ws = 0 \wedge sw = 0 \wedge fc < f \wedge fc = 0\}$ ,  
 $InPairs_{77} = \{(\tau, 0)\}$

La segunda clase, indica la simulación de una transición interna, en la situación en la que están los sensores y el interruptor desactivado, la puerta cerrada, hay un piso llamado, más alto que el actual, y el ascensor está actualmente en planta baja.

## Particiones del tiempo

Finalmente, aplicamos este criterio particular, teniendo en cuenta la relación entre el tiempo transcurrido,  $e$ , y las variables usadas como temporizadores, en la tupla: *timers*. Considerando los valores que estas variables asumen, los intervalos de tiempo relevantes son:  $[0, T_{D_1}]$ ,  $[0, T_{D_2}]$ ,  $[0, T_A]$ ,  $[0, T_{GF}]$ ,  $[T_{D_1}, T_{D_2}]$ ,  $[T_{D_1}, T_A]$ ,  $[T_{D_1}, T_{GF}]$ ,  $[T_{D_2}, T_A]$ ,  $[T_{D_2}, T_{GF}]$ ,  $[T_A, T_{GF}]$  (asumiendo  $T_{D_1} < T_{D_2} < T_A < T_{GF}$ ).

Por lo tanto, los instantes de tiempo,  $t$  relevantes para simular cada evento son:  $t = 0$ ,  $0 < t < T_{D_1}$ ,  $t = T_{D_1}$ ,  $T_{D_1} < t < T_{D_2}$ ,  $t = T_{D_2}$ ,  $T_{D_2} < t < T_A$ ,  $t = T_A$ ,  $T_A < t < T_{GF}$ ,  $T = T_{GF}$  y  $T > T_{GF}$ .

Entonces, algunas de las clases generadas por este criterio son:

- $IniSt_{82} = \{s : s \in S\}$   
 $InPairs_{82} = \{(x, t) : x \in X \cup \{\tau\}, t \in \mathbb{R}_0^+ \mid T_{D_1} < t < T_{D_2}\}$
- $IniSt_{85} = \{s : s \in S\}$   
 $InPairs_{85} = \{(x, T_A) : x \in X \cup \{\tau\}\}$
- $IniSt_{87} = \{s : s \in S\}$   
 $InPairs_{87} = \{(x, T_{GF}) : x \in X \cup \{\tau\}\}$

Con la primera clase se quiere simular la ocurrencia de algún evento o la ejecución de una transición interna, es decir que suceda algo, después de que la puerta empiece a cerrarse y antes de que se cierre completamente.

## Combinando clases

Una vez que todos los criterios se han aplicado, hacemos la intersección de las clases resultantes obteniendo otras nuevas y refinadas. Aquí solamente mostramos algunas de las clases producidas por estas combinaciones. Por ejemplo, si queremos testear la situación cuando alguien llama el ascensor desde un piso, estando el motor detenido y con la puerta abierta, debemos intersecar  $SCC_1$  y  $SCC_{49}$  obteniendo:

- $SCC_1 \cap SCC_{49}$  :

$$\begin{aligned}
 IniSt_{89} &= IniSt_1 \cap IniSt_{49} = \\
 &= \{s : s \in S \mid eng = stopped \wedge fc = \emptyset\} \cap \{s : s \in S \mid d = open\} = \\
 &= \{s : s \in S \mid eng = stopped \wedge fc = \emptyset \wedge d = open\}, \\
 InPairs_{89} &= InPairs_1 \cap InPairs_{49} = \\
 &= \{(in, n), t) : n \in \mathbb{N}, t \in \mathbb{R}_0^+ \mid n \neq f\} \cap \{(x, t) : x \in X \cup \{\tau\}, t \in \mathbb{R}_0^+\} = \\
 &= \{(n, t) : n \in \mathbb{N}, t \in \mathbb{R}_0^+ \mid n \neq f\}
 \end{aligned}$$

Acá se puede observar el efecto de la conmutatividad de la intersección, siendo  $SCC_1 \cap SCC_{49}$  igual a  $SCC_{49} \cap SCC_1$

Otra combinación interesante resulta de  $SCC_{13}$  y  $SCC_{57}$ , dónde la clase resultante representa la situación en la que se apaga el interruptor, estando la alarma disparada, algún piso pedido (distinto al actual) y la puerta abierta:

- $SCC_{13} \cap SCC_{57}$  :

$$IniSt_{102} = \{s : s \in S \mid d = \text{open} \wedge fc \neq \emptyset \wedge fc \neq f \wedge a = 1\},$$

$$InPairs_{102} = \{((in, s_{\text{off}}), t) : t \in \mathbb{R}_0^+\}$$

Con las siguientes dos clases, podrían encontrarse errores en las reglas de desempate, cuando este modelo se acople con otros, o en la implementación del simulador. Estas clases se obtienen de combinar  $SCC_{36}$  con  $SCC_{87}$ , por un lado, y  $SCC_{13}$ ,  $SCC_{59}$  y  $SCC_{85}$  por el otro. Por ejemplo, las clases definidas por  $IniSt_{91}$  y  $InPairs_{91}$  simulan el caso cuando el ascensor es llamado en el mismo instante en el que finaliza el temporizador “volver a planta baja”.

- $SCC_{36} \cap SCC_{87}$  :

$$IniSt_{103} = \{s : s \in S\},$$

$$InPairs_{103} = \{((in, n), T_{GF}) : n \in \mathbb{N}\}$$

- $SCC_{13} \cap SCC_{59} \cap SCC_{85}$  :

$$IniSt_{104} = \{s : s \in S \mid d = \text{open} \wedge fc \neq \emptyset \wedge fc \neq f \wedge sw = 1\},$$

$$InPairs_{104} = \{((in, s_{\text{off}}), T_A)\}$$

## 4.2. Máquina expendedora de gaseosas

El segundo caso de estudio presentado, consiste en el sistema de control de una máquina expendedora de gaseosas. La máquina acepta monedas de \$0.25, \$0.50 y \$1. A su vez, da vuelto optimizándolo, i.e. dando la menor cantidad de monedas posible. El expendio de las gaseosas en sí, i.e. la situación en la que la máquina entrega la gaseosa al usuario, no se incluye en el modelo.

La máquina tiene dos tipos de gaseosas, normal y dietética, de diferentes precios, y el sistema que controla las operaciones debe cumplir con los siguientes requerimientos:

- Durante una operación, si luego de  $T_{ret}$  unidades de tiempo no se inserta ninguna moneda o no se selecciona ninguna gaseosa, la máquina devuelve todas las monedas introducidas hasta el momento durante la operación.
- Los precios de las gaseosas se incrementan a medida que va pasando el tiempo. Cada  $T_{incr}$  unidades de tiempo ambos precios aumentan \$0.25.
- Si el dinero devuelto no es retirado por el usuario luego de  $T_{chg}$  unidades de tiempo, la máquina lo recupera.
- La máquina tiene una pequeña pantalla donde indica el monto de dinero introducido durante la operación, o el cambio que debe dar la máquina luego de seleccionar una gaseosa.
- En cualquier momento de la operación, pero antes de seleccionar una gaseosa, el usuario puede cancelar dicha operación y la máquina devuelve las monedas insertadas.

Como puede verse, algunos requerimientos temporales (en particular el segundo) fueron incluidos artificialmente a fin de tener más variables relacionadas con el tiempo interactuando en el modelo, permitiendo de esta forma, aumentar las particiones obtenidas al aplicar los criterios del Capítulo 3.

### 4.2.1. Modelo DEVS abstracto

Las Figura 4.5 y 4.6 muestran un posible modelo DEVS para el sistema de control de la máquina expendedora de gaseosas descrito en la sección anterior.

$$M_{sv} = \langle S, X, Y, \delta_{int}, \delta_{ext}, \lambda, ta \rangle$$

$$S = MachState \times Display \times OpTime \times NormalPrice \times DietPrice \times IncrTime \times MoneyStorage \times OperationMoney \times MoneyReturned$$

where:

$$MachState = \{\text{idle}, \text{operating}, \text{finishOp}, \text{cancelOp}, \text{waitRetChange}\}$$

$$OpTime = \mathbb{R}_0^+ \cup \{\infty\}$$

$$Display = IncrTime = NormalPrice = DietPrice = \mathbb{R}_0^+$$

$$MoneyStorage = OperationMoney = MoneyReturned = Coins1d \times Coins50c \times Coins25c$$

where:

$$Coins1d = Coins50c = Coins25c = \mathbb{N}_0$$

$$X = \{(in, x) : x \in \{25, 50, 100, \text{getNormal}, \text{getDiet}, \text{cancel}, \text{moneyRetreated}\}\}$$

$$Y = \{(out, y) : y \in Display \times MoneyReturned\}$$

$$\delta_{ext}((m, d, ot, np, dp, it, ms, om, mr), e, (in, x)) =$$

$$\left\{ \begin{array}{ll} (\text{operating}, d + x, 0, np, dp, it - e, ms, om \oplus x, (0, 0, 0)) & \text{if } x \in \{100, 50, 25\} \\ & \wedge m \in \{\text{idle}, \text{operating}\} \quad (4.1) \\ (\text{finishOp}, d - np, 0, np, dp, it - e, ms \oplus om, (0, 0, 0), mr) & \text{if } x = \text{getNormal} \\ & \wedge d \geq np \quad (4.2) \\ (\text{finishOp}, d - dp, 0, np, dp, it - e, ms \oplus om, (0, 0, 0), mr) & \text{if } x = \text{getDiet} \wedge d \geq dp \quad (4.3) \\ (\text{cancelOp}, d, 0, np, dp, it - e, ms, (0, 0, 0), om) & \text{if } x = \text{cancel} \quad (4.4) \\ (\text{idle}, 0, 0, np, dp, it - e, ms, (0, 0, 0), (0, 0, 0)) & \text{if } x = \text{moneyRetreated} \quad (4.5) \end{array} \right.$$

$$\delta_{int}((m, d, ot, np, dp, it, ms, om, mr)) =$$

$$\left\{ \begin{array}{ll} (m, d, T_{ret}, np, dp, it - ot, ms, om, (0, 0, 0)) & \text{if } m = \text{operating} \wedge ot < it \quad (4.1) \\ (\text{waitRetChange}, d, T_{chg}, np, dp, it - ot, ms \ominus (d \otimes ms), om, d \otimes ms) & \text{if } m = \text{finishOp} \wedge ot < it \quad (4.2) \\ (\text{waitRetChange}, d, T_{chg}, np, dp, it - ot, ms, (0, 0, 0), mr) & \text{if } m = \text{cancelOp} \wedge ot < it \quad (4.3) \\ (\text{idle}, 0, \infty, np, dp, it - ot, ms \oplus mr, (0, 0, 0), (0, 0, 0)) & \text{if } m = \text{waitRetChange} \wedge ot < it \quad (4.4) \\ (\text{idle}, 0, \infty, np, dp, it - ot, ms, (0, 0, 0), (0, 0, 0)) & \text{if } m = \text{idle} \wedge ot < it \quad (4.5) \\ (m, d, ot - it, np + 0.25, dp + 0.25, T_{incr}, ms, om, mr) & \text{if } it \leq ot \quad (4.6) \end{array} \right.$$

**Figura 4.5:** Modelo DEVS del sistema de control de una máquina expendedora de gaseosas (Parte A)

En este modelo, un estado  $s \in S$  es una tupla donde cada variable representa, respectivamente, el estado de la máquina, la pantalla, un temporizador interno, los precios actuales (normal y dietética), el temporizador que controla el incremento del

---


$$\lambda((m, d, ot, np, dp, it, ms, om, mr)) = (out, (d, mr))$$

$$ta((m, d, ot, np, dp, it, ms, om, mr)) = \min(ot, it)$$

$$(coins1d, coins50c, coins25c) \oplus x = \begin{cases} (coins1d + x, coins50c, coins25c) & \text{if } x = 100 \\ (coins1d, coins50c + x, coins25c) & \text{if } x = 50 \\ (coins1d, coins50c, coins25c + x) & \text{if } x = 25 \end{cases}$$

$$(coins1d, coins50c, coins25c) \oplus (coins1d', coins50c', coins25c') = (coins1d + coins1d', coins50c + coins50c', coins25c + coins25c')$$

$$(coins1d, coins50c, coins25c) \ominus (coins1d', coins50c', coins25c') = (coins1d - coins1d', coins50c - coins50c', coins25c - coins25c')$$

$$d \odot (coins1d, coins50c, coins25c) = (coins1d', coins50c', coins25c'),$$

where:

$$coins1d' = \min(coins1d, d \text{ div } 1)$$

$$coins50c' = \min(coins50c, (d - coins1d') \text{ div } 0.50)$$

$$coins25c' = \min(coins25c, (d - coins1d' - coins50c') \text{ div } 0.25)$$


---

**Figura 4.6:** Modelo DEVS del sistema de control de una máquina expendedora de gaseosas (Parte B)

precio, el dinero almacenado en la máquina, las monedas insertadas en la operación actual y el vuelto.

Los valores de entrada representan, la denominación de cada moneda, el pedido de una gaseosa normal o una dietética, la cancelación de la operación actual y la señal que indica que el vuelto ha sido retirado de la máquina.

La función de transición externa tiene un caso por cada valor de entrada diferente a una moneda (casos 2, 3, 4 y 5) y un caso para todas las monedas (1). Mientras, la función de transición interna tiene un caso por cada estado de la máquina ( $m \in MachState$ ), para el “temporizador funcional”, (casos 1, 2, 3, 4 y 5) y un caso (6) para el temporizador de incremento de precios.

La salida consiste en un par ordenado indicando que se debe mostrar en la pantalla y cuanto dinero debe ser devuelto.

### 4.2.2. Modelo en CML-DEVS

Al igual que con el modelo del ascensor, presentamos ahora el modelo DEVS abstracto descripto utilizando CML-DEVS.

```
atomic Sodas(params) is < S, X, Y,  $\delta_{int}$ ,  $\delta_{ext}$ ,  $\lambda$ , ta > where
params is
    Tret = 6;
    Tchq = 12;
    Tincr = 129600;
end params
```



```

S is
  m : {idle, operating, finishOp, cancelOp, waitRetChange};
  d, it, np, dp : ℝ;
  ot : Time;
  ms, om, mr : ℕ × ℕ × ℕ
end S
X is
  in : {25, 50, 100, getNormal, getDiet, cancel, moneyRetreated};
end X
Y is
  out : ℝ × (ℕ × ℕ × ℕ);
end Y
δext((m, d, it, np, dp, ot, ms, om, mr), e, (port, value)) is
  defcases
    if ((value ∈ {100, 50, 25}) ∧ (m ∈ {idle, operating})) ⇒
      m = operating;
      d = d + value;
      ot = 0;
      it = it - e;
      om = Library.oplus(om, value);
      mr = (0, 0, 0);
    if ((value = getNormal) ∧ (d ≥ np)) ⇒
      m = finishOp;
      d = d - np;
      ot = 0;
      it = it - e;
      ms = Library.oplus(ms, om);
      om = (0, 0, 0);
    if ((value = getDiet) ∧ (d ≥ dp)) ⇒
      m = finishOp;
      d = d - dp;
      ot = 0;
      it = it - e;
      ms = Library.oplus(ms, om);
      om = (0, 0, 0);
    if (value = cancel) ⇒
      m = cancelOp;
      ot = 0;
      it = it - e;
      om = (0, 0, 0);
      mr = om;
    if (value = moneyRetreated) ⇒
      m = idle;
      d = 0;
      ot = 0;
      it = it - e;
      om = (0, 0, 0);
      mr = (0, 0, 0);
  end defcases
end δext

```

```

 $\delta\text{int}((m, d, it, np, dp, ot, ms, om, mr))$  is
  defcases
    if  $((m = \text{operating}) \wedge (ot < it)) \Rightarrow$ 
       $ot = Tret;$ 
       $it = it - ot;$ 
       $mr = (0, 0, 0);$ 
    if  $((m = \text{finishOp}) \wedge (ot < it)) \Rightarrow$ 
       $m = \text{waitRetChange};$ 
       $ot = Tchg;$ 
       $it = it - ot;$ 
       $ms = \text{Library.ominus}(ms, \text{Library.oslash}(d, ms));$ 
       $mr = \text{Library.oslash}(d, ms);$ 
    if  $((m = \text{cancelOp}) \wedge (ot < it)) \Rightarrow$ 
       $m = \text{waitRetChange};$ 
       $ot = Tchg;$ 
       $it = it - ot;$ 
       $om = (0, 0, 0);$ 
    if  $((m = \text{waitRetChange}) \wedge (ot < it)) \Rightarrow$ 
       $m = \text{idle};$ 
       $d = 0;$ 
       $ot = \infty;$ 
       $it = it - ot;$ 
       $ms = \text{Library.oplus}(ms, mr);$ 
       $om = (0, 0, 0);$ 
       $mr = (0, 0, 0);$ 
    if  $((m = \text{idle}) \wedge (ot < it)) \Rightarrow$ 
       $d = 0;$ 
       $ot = \infty;$ 
       $it = it - ot;$ 
       $om = (0, 0, 0);$ 
       $mr = (0, 0, 0);$ 
    if  $(it \leq ot) \Rightarrow$ 
       $ot = ot - it;$ 
       $np = np + 0.25;$ 
       $dp = dp + 0.25;$ 
       $it = Tincr;$ 
  end defcases
end  $\delta\text{int}$ 
 $\lambda((m, d, it, np, dp, ot, ms, om, mr))$  is
   $(out, (d, mr));$ 
end  $\lambda$ 
 $\text{ta}((m, d, it, np, dp, ot, ms, om, mr))$  is
   $\min(ot, it);$ 
end ta
end atomic
functions Library is
function oplusx is
   $m : \mathbb{N} \times \mathbb{N} \times \mathbb{N}, x : \mathbb{N} \rightarrow res : \mathbb{N} \times \mathbb{N} \times \mathbb{N};$ 
  defcases
    if  $(x = 100) \Rightarrow res = (m.1 + x, m.2, m.3);$ 
    if  $(x = 50) \Rightarrow res = (m.1, m.2 + x, m.3);$ 
    if  $(x = 25) \Rightarrow res = (m.1, m.2, m.3 + x);$ 
  end defcases
end oplusx
function oplus is
   $m1, m2 : \mathbb{N} \times \mathbb{N} \times \mathbb{N} \rightarrow res : \mathbb{N} \times \mathbb{N} \times \mathbb{N};$ 
   $res = (m1.1 + m2.1, m1.2 + m2.2, m1.3 + m2.3);$ 
end oplus

```

```

function ominus is
  m1, m2 :  $\mathbb{N} \times \mathbb{N} \times \mathbb{N} \rightarrow res : \mathbb{N} \times \mathbb{N} \times \mathbb{N}$ ;
  res = (m1.1 - m2.1, m1.2 - m2.2, m1.3 - m2.3);
end ominus
function oslash is
  d :  $\mathbb{R}$ , m :  $\mathbb{N} \times \mathbb{N} \times \mathbb{N} \rightarrow res : \mathbb{N} \times \mathbb{N} \times \mathbb{N}$ ;
  res.1 = min(m.1, d/1);
  res.2 = min(m.2, (d - min(m.1, d/1))/0.50);
  res.3 = min(m.3, (d - min(m.1, d/1) - min(m.2, (d - min(m.1, d/1))/0.50))/0.25);
end oslash
end functions

```

### 4.2.3. Modelos de simulación concretos

Nuevamente, al ser el código completo de los modelos en Java y en C++ muy extenso, se omite en este manuscrito pero puede encontrarse en <http://www.cifasis-conicet.gov.ar/hollmann/projects/CML-DEVS/models>.

El código de estos modelos concretos fue hecho a mano aplicando las reglas de traducción mostradas en el Capítulo 2.

### 4.2.4. Aplicación de los criterios

Como en el ejemplo anterior, vamos aplicando los criterios generando las diferentes SCCs y luego las combinamos obteniendo otras nuevas más refinadas. Nuevamente, mostramos sólo algunas clases en este capítulo. El resto de las clases generadas para este ejemplo pueden observarse en el Apéndice D. También aquí usamos un estado  $s \in S$  genérico para describir las SCCs del ejemplo, definido como  $s = (m, d, ot, np, dp, it, ms, om, mr)$ .

#### Funciones de transición definidas por caso

Algunas de las clases generadas al aplicar este criterio son:

- $IniSt_3 = \{s : s \in S \mid d \geq dp\}$ ,  
 $InPairs_3 = \{(in, getDiet), t) : t \in \mathbb{R}_0^+\}$
- $IniSt_7 = \{s : s \in S \mid m = finishOp \wedge ot < it\}$ ,  
 $InPairs_7 = \{(\tau, 0)\}$
- $IniSt_{11} = \{s : s \in S \mid m = idle \wedge ot \leq it\}$ ,  
 $InPairs_{11} = \{(\tau, 0)\}$

#### Particiones estándar

Aplicamos ahora el criterio particiones estándar sobre los operadores  $\geq$ ,  $+$ ,  $-$ ,  $\oplus$ ,  $\ominus$  y  $\otimes$ .

- $\geq$  aparece dos veces ( $d \geq np$  y  $d \geq dp$ ) y la partición estándar para este operador es igual a la partición estándar de  $<$ , descrito en la sección 3.4.4. Las siguientes clases son algunas de las resultantes al aplicar este criterio. Las primeras dos corresponden a la aplicación del criterio sobre la comparación  $d \geq np$  y la última, sobre  $d \geq dp$ :

- $IniSt_{12} = \{s : s \in S \mid d = np = 0\},$   
 $InPairs_{12} = \{(x, t) : x \in X \cup \{\tau\}, t \in \mathbb{R}_0^+\}$

- $IniSt_{14} = \{s : s \in S \mid d = 0 \wedge np > 0\},$   
 $InPairs_{14} = \{(x, t) : x \in X \cup \{\tau\}, t \in \mathbb{R}_0^+\}$

- $IniSt_{19} = \{s : s \in S \mid d > 0 \wedge dp > 0\},$   
 $InPairs_{19} = \{(x, t) : x \in X \cup \{\tau\}, t \in \mathbb{R}_0^+\}$

- $\oplus$ , por definición, está basado en  $+$ , por lo tanto, puede tener la misma partición estándar. Sin embargo, siendo que involucra sólo elementos mayores a cero, no se pueden agregar nuevas particiones significativas. Excepto si se deseara simular aquellos casos en donde la implementación de esas operaciones en el modelo concreto puedan arrojar algún error, e.g. errores de *overflow*. En este caso, los errores no serían propiamente del modelo sino de sus implementaciones. Esto, obviamente, está relacionado al testing de la implementación y no a la validación del modelo.
- En aquellos casos en los que el operador  $-$  interactúa con variables usadas para la representación del tiempo o temporizadores, las clases correspondientes serán descritas más tarde, en el criterio **partición del tiempo**. Algunas de las clases para las restantes ocurrencias del operador  $-$  son:

- $IniSt_{22} = \{s : s \in S \mid 0 < d < np\},$   
 $InPairs_{22} = \{(x, t) : x \in X \cup \{\tau\}, t \in \mathbb{R}_0^+\}$

- $IniSt_{26} = \{s : s \in S \mid 0 < d < dp\},$   
 $InPairs_{26} = \{(x, t) : x \in X \cup \{\tau\}, t \in \mathbb{R}_0^+\}$

- $IniSt_{27} = \{s : s \in S \mid 0 < dp < d\},$   
 $InPairs_{27} = \{(x, t) : x \in X \cup \{\tau\}, t \in \mathbb{R}_0^+\}$

- Con el operador  $\odot$  se puede aplicar el criterio **propagación de dominios** ya que está formado por dos operadores más simples. A pesar que  $-$  y  $/$  tienen la misma partición estándar, las operaciones involucran diferentes variables. Por lo tanto, se pueden obtener nuevas clases al aplicar la propagación de dominios.

Algunas de las clases generadas son:

- $IniSt_{28} = \{s : s \in S \mid d = 0\},$   
 $InPairs_{28} = \{(x, t) : x \in X, t \in \mathbb{R}_0^+\}$

- $IniSt_{29} = \{s : s \in S \mid 0 < d < coins1d \wedge coins25c = d - coins1d' - coins50c' = 0\}$ ,  
 $InPairs_{29} = \{(x, t) : x \in X, t \in \mathbb{R}_0^+\}$
- $IniSt_{31} = \{s : s \in S \mid 1 < d < coins1d \wedge 0.50 < d - coins1d' < coins50c'\}$ ,  
 $InPairs_{31} = \{(x, t) : x \in X, t \in \mathbb{R}_0^+\}$

### Conjuntos definidos por extensión

En este ejemplo tenemos dos conjuntos definidos por extensión,  $X$  y  $MachState$ . Al tener estos conjuntos un número pequeño de elementos, definimos una SCC para cada elemento. Algunas de las clases generadas:

- $IniSt_{32} = \{s : s \in S \mid m = \text{operating}\}$ ,  
 $InPairs_{32} = \{(x, t) : x \in X \cup \{\tau\} \wedge t \in \mathbb{R}_0^+\}$
- $IniSt_{34} = \{s : s \in S \mid m = \text{cancelOp}\}$ ,  
 $InPairs_{34} = \{(x, t) : x \in X \cup \{\tau\} \wedge t \in \mathbb{R}_0^+\}$
- $IniSt_{41} = \{s : s \in S\}$ ,  
 $InPairs_{41} = \{((in, \text{getNormal}), t) : t \in \mathbb{R}_0^+\}$
- $IniSt_{42} = \{s : s \in S\}$ ,  
 $InPairs_{42} = \{((in, \text{getDiet}), t) : t \in \mathbb{R}_0^+\}$

### Particiones del tiempo

En este ejemplo, las variables que interactúan con el tiempo son  $ot$  e  $it$ , además del avance de tiempo  $e$ . Nuevamente, considerando los valores que estas variables asumen definimos los intervalos de tiempo claves:  $[0, it]$ ,  $[0, ot]$ ,  $[it, ot]$  (cuando  $it < ot$ ) y  $[ot, it]$  (cuando  $ot < it$ ). Además, un instante de tiempo clave es:  $t = ot = it$ , esto es, en el mismo instante en que el se deben aumentar los precios está programada otra transición interna. Algunas clases generadas:

- $IniSt_{46} = \{s : s \in S \mid it > 0\}$ ,  
 $InPairs_{46} = \{(x, t) : x \in X \cup \{\tau\}, t \in \mathbb{R}_0^+ \mid 0 < t < it\}$
- $IniSt_{53} = \{s : s \in S \mid 0 < it < ot\}$ ,  
 $InPairs_{53} = \{(x, it) : x \in X \cup \{\tau\}\}$
- $IniSt_{59} = \{s : s \in S \mid 0 < ot < it\}$ ,  
 $InPairs_{59} = \{(x, t) : x \in X \cup \{\tau\}, t \in \mathbb{R}_0^+ \mid ot < t < it\}$
- $IniSt_{62} = \{s : s \in S \mid ot = it\}$ ,  
 $InPairs_{62} = \{(x, t) : x \in X \cup \{\tau\}, t \in \mathbb{R}_0^+ \mid t < ot\}$
- $IniSt_{64} = \{s : s \in S \mid ot = it\}$ ,  
 $InPairs_{64} = \{(x, t) : x \in X \cup \{\tau\}, t \in \mathbb{R}_0^+ \mid t > ot\}$

### Combinando clases

Entonces, una vez que los criterios han sido aplicados, hacemos la conjunción lógica entre las clases obtenidas, conservando aquellas distintas de la clase vacía.

Algunas clases obtenidas por este medio:

- $SCC_3 \cap SCC_{19}$  :  
 $IniSt_{65} = \{s : s \in S \mid d \geq dp \wedge d > 0 \wedge dp > 0\}$ ,  
 $InPairs_{65} = \{(in, getDiet), t) : t \in \mathbb{R}_0^+\}$
- $SCC_{22} \cap SCC_{41}$  :  
 $IniSt_{66} = \{s : s \in S \mid 0 < d < np\}$ ,  
 $InPairs_{66} = \{(in, getNormal), t) : t \in \mathbb{R}_0^+\}$
- $SCC_{27} \cap SCC_{42} \cap SCC_{62}$  :  
 $IniSt_{67} = \{s : s \in S \mid 0 < dp < d \wedge it = ot\}$ ,  
 $InPairs_{67} = \{(in, getDiet), t) : t \in \mathbb{R}_0^+ \mid t < ot\}$

Aquí puede observarse cómo se podría encontrar un error en el modelo con la clase definida por  $IniSt_{67}$  y  $InPairs_{67}$ , siendo que esta representa a un caso que no ha sido definido en el modelo, esto es, cuando se inserta menos plata que el precio de la gaseosa solicitada.



# Capítulo 5

## Conclusiones generales y trabajo futuro

Con este capítulo se concluye la tesis resumiendo brevemente las contribuciones que presenta y las conclusiones que se desprenden de estos.

También discutimos los temas que quedan abiertos para ser abordados y las futuras líneas de investigación referentes a los mismos.

### 5.1. Conclusiones generales

Esta tesis se enmarca dentro del proceso de modelado y simulación de sistemas a eventos discretos utilizando el formalismo DEVS. La tesis presenta dos contribuciones originales para la comunidad de M&S. La primera, es un lenguaje que permite la descripción de modelos DEVS en forma abstracta, independiente de cualquier implementación y plataforma, basado en nociones lógicas y matemáticas. La segunda, una técnica para validar rigurosa y sistemáticamente estos modelos contra los requerimientos, a través de simulaciones.

El lenguaje que se presenta en el Capítulo 2, CML-DEVS, permite describir modelos DEVS preservando la idea abstracta original del formalismo propuesto por Zeigler. Los modelos se pueden describir utilizando CML-DEVS sin tener que conocer el lenguaje de ninguna herramienta de M&S en particular, y más aún, sin que sean necesarios conocimientos o habilidades de programación, ya que CML-DEVS se abstrae de estos conceptos utilizando nociones basadas en la matemática y la lógica de uso cotidiano.

También mostramos cómo los modelos CML-DEVS se traducen en forma automática al lenguaje de modelado de dos herramientas de M&S diferentes, PowerDEVS y DEVS-Suite. Entonces, el especialista puede modelar el sistema en forma abstracta y luego simularlo con la herramienta que desee. Para realizar esta tarea, se puede



construir un compilador multi-objetivo que implemente las reglas de traducción presentadas.

Hemos descrito la sintaxis de CML-DEVS a través de su EBNF y explicada mediante varios ejemplos. La semántica la detallamos en función del código que debe generarse en el lenguaje de las herramientas de M&S mencionadas.

Las principales ventajas que esta contribución presenta son, como ya mencionamos, la posibilidad de describir modelos DEVS sin la necesidad conocer algún lenguaje de simulación ni tener habilidades de programación; y poder simularlo luego con la herramienta que se desee. Además, el mantenimiento y modificación de los modelos es muy accesible ya que no hay que examinar un código fuente de ningún lenguaje de programación. Simplemente se modifica el modelo abstracto y se vuelve a generar en forma automática el modelo concreto para ser simulado. Como consecuencia, permite la colaboración entre diferentes investigadores, industrias, o comunidades en general que trabajen con modelos DEVS donde, en la actualidad, cada una usa su propia implementación del formalismo y los modelos de unos no pueden ser simulados con las herramientas de los otros. Finalmente, posibilita la automatización del proceso de validación de modelos DEVS vía simulaciones, referente a la segunda contribución de esta tesis.

El segundo aporte, enunciado y analizado en el Capítulo 3, introduce una nueva metodología para validar modelos DEVS en forma rigurosa y sistemática, siguiendo un conjunto de criterios formalmente definidos. Por tanto, formalizando el proceso de validación de estos modelos contra los requerimientos vía simulaciones. Esta metodología está inspirada en técnicas de ingeniería de software, más precisamente en el área de testing basado en modelos. Estas técnicas fueron probadas en dicha área con muy buenos resultados. Entonces, basados en estas técnicas presentamos una familia de criterios para seleccionar del conjunto infinito de posibles configuraciones de simulación, las configuraciones más significativas y relevantes, sin dejar características o funcionalidades del modelo sin cubrir y dejando afuera aquellas simulaciones redundantes o innecesarias. Es decir, optimizando el conjunto de simulaciones a llevar a cabo para validar el modelo.

Las ventajas de validar un modelo DEVS siguiendo esta metodología son, en primer lugar, que no se necesita un experto del dominio para validar el modelo correspondiente. Esto se debe a que dicha validación se hace siguiendo una rigurosa familia de criterios que analiza la estructura lógica y matemática del modelo, independientemente del área o dominio relativo al modelo. La segunda ventaja importante es la posibilidad de automatizar (en gran medida) este proceso. La consecuencia inmediata es el ahorro de tiempo y recursos empleados durante el proceso general de modelado, validación y desarrollo de sistemas de eventos discretos.

Ambas contribuciones de la tesis fueron aplicadas a dos casos de estudio para mostrar la utilidad y funcionamiento de las mismas. Si bien estos ejemplos son relativamente pequeños, nos parecen suficientes para mostrar cómo se puede describir en forma abstracta un modelo DEVS, traducirlo a modelos concretos en forma automática para poder simularlos y validarlos con la técnica presentada. Poniendo de esta forma en relieve el aporte que presentamos para la comunidad de M&S.

## 5.2. Temas abiertos y trabajo futuro

Dentro de los temas que quedan abiertos y creemos merecen ser abordados podemos mencionar, primero, el desarrollo del compilador multi-objetivo para la traducción automática de los modelos CML-DEVS. Básicamente consiste en el desarrollo de un analizador sintáctico y semántico del lenguaje y en la implementación de las reglas de traducción ya presentadas. Existen herramientas como Xtext [68], que generan estos analizadores sintácticos y semánticos a partir de la BNF o EBNF de un lenguaje.

El segundo punto, siguiendo esta línea, sería la implementación de la técnica de validación desarrollando una herramienta que, a partir de un modelo DEVS abstracto, asista al ingeniero en la validación del modelo, generando en forma automática el conjunto de configuraciones de simulación.

Entonces, la idea global es desarrollar un conjunto de herramientas proporcionando un entorno completo para el modelado y validación de modelos DEVS integrando las implementaciones antes mencionadas.

En una segunda etapa, se pretende atacar los demás temas abiertos, extendiendo tanto CML-DEVS como la técnica de validación a las diferentes extensiones y variantes del formalismo DEVS. Además de generar el marco teórico necesario, esto es, la definición del lenguaje CML-DEVS extendido y de los nuevos criterios de simulación; se debe integrar al entorno de modelado y validación, las implementaciones correspondientes. En esta misma etapa, es posible el desarrollo de nuevas reglas de traducción, para convertir modelos CML-DEVS en modelos que puedan ser simulados por el resto de las herramientas de M&S enunciadas en el Capítulo 1. Por otra parte, se puede quizás enriquecer aun más CML-DEVS, sin modificar su concepto abstracto, soportando nuevas estructuras matemáticas como por ejemplo funciones parciales y relaciones binarias.



# Apéndice A

## EBNF del lenguaje CML-DEVS

En este apéndice, mostramos formalmente la sintaxis completa de CML-DEVS a través de su *Extended Bakus-Naur Normal Form* (EBNF), formal normal de Bakus extendida. Como en casi toda EBNF, los términos entre corchetes angulares,  $\langle \rangle$ , son no-terminales, y existen reglas de producción para reemplazarlos por terminales u otros no terminales. Las expresiones encerradas entre llaves,  $\{ \}$ , significan cero o más repeticiones de dicha expresión. Para identificar a las llaves que forman parte de la sintaxis del lenguaje, las encerramos entre comillas, “{” y “}”. Finalmente, las expresiones entre corchetes  $[ ]$ , son expresiones opcionales.

```
 $\langle CML - DEVS \rangle ::= \langle atomic \rangle$   
                   $[\langle functions \rangle]$   
                   $[\langle simulate \rangle]$   
 $\langle atomic \rangle ::= atomic \langle id \rangle [(\langle params \rangle) <[\langle S \rangle,] [\langle X \rangle,] [\langle Y \rangle,] [\langle \delta int \rangle,] [\langle \delta ext \rangle,] [\langle \lambda \rangle,] [\langle ta \rangle] > is$   
                   $[\langle params \rangle]$   
                   $[\langle S \rangle]$   
                   $[\langle X \rangle]$   
                   $[\langle Y \rangle]$   
                   $[\langle \delta int \rangle]$   
                   $[\langle \delta ext \rangle]$   
                   $[\langle \lambda \rangle]$   
                   $[\langle ta \rangle]$   
                  end atomic  
 $\langle id \rangle ::= \langle letter \rangle \{ \langle letter \rangle | \langle digit \rangle | \_ \} | \sigma$   
 $\langle letter \rangle ::= a | b | c | d | e | f | g | h | i | j | k | l | m | n | o | p$   
               $| q | r | s | t | uv | w | x | y | z | A | B | C | D | E | F$   
               $| G | H | I | J | K | L | M | NO | P | Q | R | S | T | U$   
               $| V | W | X | Y | Z$ 
```

```

<digit> ::= 0 | 1 | 2 | 3 | 4 | 5 | 6 | 7 | 8 | 9
<val> ::= <digit> | <letter>{<digit> | <letter>}
<S> ::= S is
      <definitions>
      [<synonyms>]
      end S
<definitions> ::= <id>{,<id>}:<type>;
      [<definitions>]
<synonyms> ::= <id>==<Type>;
      [<synonyms>]
<type> ::=  $\mathbb{N}$  |  $\mathbb{Z}$  |  $\mathbb{R}$  | Time | Text | Boolean | <enum>
      |  $\mathbb{P}$  <type>
      | List <type>
      | <type> $\cup$ <type>{ $\cup$ <type>}
      | <type> $\times$ <type>{ $\times$ <type>}
      | <id>
<enum> ::= "{" <id> | <symbol>{,<id> | <symbol>}"}"
<symbol> ::=  $\infty$  |  $\emptyset$ 
<X> ::= X is
      <definitions>
      [<synonyms>]
      end X
<Y> ::= Y is
      <definitions>
      [<synonyms>]
      end Y
<deltint> ::=  $\delta$ int [<ids>] is
      <sentence>
      {<sentence>}
      end  $\delta$ int
<deltext> ::=  $\delta$ ext [<ids>] is
      <sentence>
      {<sentence>}
      end  $\delta$ ext

```

---


$$\begin{aligned}
\langle ids \rangle &::= ((\langle id \rangle \mid \langle ids \rangle)\{, (\langle id \rangle \mid \langle ids \rangle)\}) \\
\langle sentence \rangle &::= \langle assignment \rangle \\
&\quad \mid \langle expr \rangle \\
&\quad \mid \langle foreach \rangle \\
&\quad \mid \langle caseblock \rangle \\
&\quad \mid \langle whereblock \rangle \\
\langle assignment \rangle &::= \langle var \rangle = \langle expr \rangle ; \\
\langle var \rangle &::= \langle id \rangle \mid \langle idComp \rangle \mid \text{value} \mid \text{port} \mid \text{e} \\
\langle idComp \rangle &::= \langle id \rangle . \langle digit \rangle \{ . \langle digit \rangle \} \\
\langle expr \rangle &::= \langle var \rangle \mid \langle val \rangle \mid \langle vals \rangle \mid \langle set \rangle \mid \langle list \rangle \mid \langle operation \rangle \\
\langle vals \rangle &::= (\langle expr \rangle , \langle expr \rangle \{ , \langle expr \rangle \}) \\
\langle set \rangle &::= "\{ " \langle expr \rangle \{ , \langle expr \rangle \} "\}" \\
\langle list \rangle &::= "< " \langle expr \rangle \{ , \langle expr \rangle \} ">" \\
\langle operation \rangle &::= [\langle unOp \rangle] \langle operand \rangle [\langle binOp \rangle \langle operand \rangle] \\
\langle operand \rangle &::= \langle var \rangle \mid \langle val \rangle \mid \langle mathFun \rangle \mid \langle defFun \rangle \\
\langle mathFun \rangle &::= \langle funId \rangle ([\langle unOp \rangle] (\langle var \rangle \mid \langle operation \rangle) \{ , [\langle unOp \rangle] (\langle var \rangle \mid \langle operation \rangle) \}) \\
\langle funId \rangle &::= \sin \mid \cos \mid \tan \mid \arcsin \mid \arccos \mid \arctan \mid \log \mid \text{sign} \mid \text{min} \\
&\quad \mid \text{max} \mid \text{sqrt} \\
\langle defFun \rangle &::= \langle id \rangle ((\langle var \rangle \mid \langle operation \rangle) \{ , (\langle var \rangle \mid \langle operation \rangle) \}) ; \\
\langle unOp \rangle &::= - \mid \text{rev} \mid \text{head} \mid \text{last} \mid \text{tail} \mid \text{front} \mid \# \\
\langle binOp \rangle &::= + \mid - \mid \setminus \mid * \mid \wedge \mid \cap \mid \cup \\
\langle foreach \rangle &::= \text{foreach } \langle id \rangle \text{ in } \langle expr \rangle \text{ do} \\
&\quad \langle sentence \rangle \\
&\quad \{ \langle sentence \rangle \} \\
&\quad \text{end foreach} \\
\langle caseblock \rangle &::= \text{defcases} \\
&\quad (\text{case } \langle sentence \rangle ; \{ \langle sentence \rangle ; \} \text{ if } \langle conditions \rangle) \\
&\quad \mid (\text{if } \langle conditions \rangle \Rightarrow \langle sentence \rangle ; \{ \langle sentence \rangle ; \}) \\
&\quad (\{ \text{case } \langle sentence \rangle ; \{ \langle sentence \rangle ; \} \text{ if } \langle conditions \rangle \}) \\
&\quad \mid (\{ \text{if } \langle conditions \rangle \Rightarrow \langle sentence \rangle ; \{ \langle sentence \rangle ; \} \}) \\
&\quad [\text{default } \langle sentence \rangle ; \{ \langle sentence \rangle ; \}] \\
&\quad \text{end defcases} \\
\langle conditions \rangle &::= \langle condition \rangle \\
&\quad \mid \neg (\langle conditions \rangle) \\
&\quad \mid (\langle conditions \rangle) \wedge (\langle conditions \rangle) \\
&\quad \mid (\langle conditions \rangle) \vee (\langle conditions \rangle) \\
\langle condition \rangle &::= (\langle var \rangle \mid \langle val \rangle \mid \langle operation \rangle) \langle comparison \rangle (\langle var \rangle \mid \langle val \rangle \mid \langle operation \rangle) \\
\langle comparison \rangle &::= < \mid > \mid \leq \mid \geq \mid = \mid \neq \mid \in \mid \notin \mid \subset \mid \subseteq
\end{aligned}$$

```

⟨whereblock⟩ ::= defwhere
    ⟨sentence⟩
    {⟨sentence⟩}
    where
    [⟨definition⟩]
    [⟨synonyms⟩]
    {⟨sentence⟩}
    end defwhere

⟨λ⟩ ::= λ [⟨ids⟩] is
    ⟨sentence⟩
    {⟨sentence⟩}
    end λ

⟨ta⟩ ::= ta [⟨ids⟩] is
    ⟨sentence⟩
    {⟨sentence⟩}
    end ta

⟨params⟩ ::= params is
    ⟨id⟩=⟨val⟩;
    [⟨id⟩=⟨val⟩;]
    end params

⟨functions⟩ ::= functions ⟨id⟩ is
    ⟨function⟩
    {⟨function⟩}
    end functions

⟨function⟩ ::= function ⟨id⟩ is
    ⟨id⟩:⟨type⟩{,⟨id⟩:⟨type⟩}→⟨id⟩:⟨Type⟩;
    [⟨definitions⟩]
    [⟨synonyms⟩]
    ⟨sentence⟩;
    {⟨sentence⟩;}
    end function

⟨simulate⟩ ::= simulate ⟨id⟩ from
    ⟨assignment⟩
    {⟨assignment⟩}
    end simulate

```

# Apéndice B

## ModDEVS - Reglas de Traducción

En este apéndice se muestra en detalle cómo traducir modelos CML-DEVS a modelos que se puedan simular en DEVS-Suite y en PowerDEVS. Se empieza describiendo la estructura general del modelo y los archivos que deben ser generados para la simulación. Luego, se dan las reglas para la traducción de cada estructura o componente de un modelo CML-DEVS. Las reglas se enuncian utilizando una estructura general, que se describe en la Sección B.2. Además, en cada sección se muestra la porción de la EBNF que hace referencia a la(s) regla(s) de traducción correspondiente(s).

### B.1. Estructura General

---

```
<atomic> ::= atomic <id>[(params)] <[<S>,][<X>,][<Y>,][<δint>,][<δext>,][<λ>,][<ta>]> is
    [<params>]
    [<S>]
    [<X>]
    [<Y>]
    [<δint>]
    [<δext>]
    [<λ>]
    [<ta>]
end <id>
```

---

#### B.1.1. Estructura general de un modelo atómico DEVS-Suite

```
import view.modeling.ViewableAtomic;
import model.modeling.content;
import model.modeling.message;
import ... ;
```



```

public class ModelName extends ViewableAtomic{
    /* Declaración de variables del estado */
    /* Declaración del tipo de los inputs */
    ...
    public ModelName(){
        super("ModelName");
        /* Declaración de puertos */
        addInport("in");
        addOutport("out");
        /* Configuración de parámetros */
        ...
    }
    public void initialize(){
        /* Instanciar la variables que corresonda */
        var = new ... ();
        /* Inicializar variables de estado (si corresponde) */
        ...
    }
    public void deltint(){
        ...
    }
    public void deltext(double e,message x){
        ...
    }
    public message out(){
        ...
    }
    public double ta(){
        ...
    }
}

```

## B.1.2. Estructura general de un modelo atómico PowerDEVS

### Estructura archivo modelname.pds

```

Root-Coordinator
{
    Simulator
    {
        Path = "path/modelname.h"
        Parameters =
    }
    EIC
    {
    }
    EOC
    {
    }
    IC
    {
    }
}

```

### Estructura archivo modelname.h

```

#if !defined modelname_h
#define modelname_h

```

```

#include "simulator.h"
#include "path/modelname.h"
#include "event.h"
#include "stdarg.h"
#include "..."

class modelname: public Simulator {
#define INFINITY 1e10
public:
    modelname(const char *n): Simulator(n) {};
    void init(double, ...);
    double ta(double t);
    void dint(double);
    void dext(Event , double );
    Event lambda(double);
    void exit();
};
#endif

```

### Estructura archivo modelname.cpp:

```

#include "modelname.h"
void modelname::init(double t,...) {
    ...
    /* Inicializar variables, si corresponde */
}
void modelname::dint(double t){
    ...
}
void modelname::dext(Event x, double t){
    ...
}
Event modelname::lambda(double t) {
    ...
}
double modelname::ta(double t){
    ...
}
void modelname::exit() {
    ...
}

```

## B.2. Definiciones

De ahora en más, para representar una regla de traducción utilizaremos la estructura cuyo esquema se describe en la Figura B.1. Cada regla consiste en un nombre; el código a ser traducido; un contexto, i.e. las condiciones bajo las cuales esta regla se aplica; el código traducido (código Java y C++); y, eventualmente, un comentario sobre la regla. Las expresiones entre doble corchetes,  $\llbracket \dots \rrbracket$ , son expresiones que todavía tienen que traducirse. El subíndice indica el lenguaje destino a traducirse, Java o C++; y el superíndice, la regla que debe ser aplicada (como en el encabezado del esquema de la regla).

**NOMBRE DE LA REGLA**

Código a traducir

**CONTEXT:**

Condiciones sobre las cuales se aplica esta regla

**CODE:**

- DEVS-Suite:  
Código Java resultante
- PowerDEVS:  
Código C++ resultante

**COMMENT:**

(Los comentarios son opcionales)

**Figura B.1:** Esquema de una regla de traducción

---

```

<S> ::= S is
      <definitions>
      [(synonyms)]
      end S
<definitions> ::= <id>{,<id>}:<type>;
                [<definitions>]
<type> ::=  $\mathbb{N}$  |  $\mathbb{Z}$  |  $\mathbb{R}$  | Time | Text | Boolean | <enum>
          |  $\mathbb{P}$  <type>
          | List <type>
          | <type> $\cup$ <type>{ $\cup$ <type>}
          | <type> $\times$ <type>{ $\times$ <type>}
          | <id>
<synonyms> ::= <id>==<Type>;
              [<synonyms>]

```

---

**DEFINITION** $\llbracket \langle id \rangle : \langle type \rangle ; \rrbracket^D$ **CONTEXT:** $\langle id \rangle = \text{"varName"};$ **CODE:**

Case &lt;type&gt; of:

- $\mathbb{N}$ :
  - DEVS-Suite:  
Integer varName;

- PowerDEVS:  
unsigned int varName;
- $\mathbb{Z}$ :
  - DEVS-Suite:  
Integer varName;
  - PowerDEVS:  
int varName;
- $\mathbb{R}$ :
  - DEVS-Suite:  
Double varName;
  - PowerDEVS:  
double varName;
- Time:
  - DEVS-Suite:  
Double varName;
  - PowerDEVS:  
double varName;
- Boolean:
  - DEVS-Suite:  
Boolean varName;
  - PowerDEVS:  
bool varName;
- Text:
  - DEVS-Suite:  
String varName;
  - PowerDEVS:  
std::string varName;
- $\langle enum \rangle$ 
  - DEVS-Suite:  
String varName;
  - PowerDEVS:  
std::string varName;
- $Type_1 \cup \dots \cup Type_n$ 
  - DEVS-Suite:
 

```
static class T_varName extends Object implements Comparable<Object>{
    public [[Type_1]]_J v_[[Type_1]]^N;
    :
    public [[Type_n]]_J v_[[Type_n]]^N;
    public String type;
    public boolean equals(T_varName other){
        :
    }
    public int compareTo(T_varName other){
        :
    }
    T_varName(){
    T_varName([[Type_1]]_J v){
        v_[[Type_1]]^N = v;
        type="[[Type_1]]^N";
    }
    :
    T_varName([[Type_n]]_J v){
        v_[[Type_n]]^N = v;
        type="[[Type_n]]^N";
    }
}
```

```

    T_varName(T_varName other){
        v_[[Type1]]N = other.v_[[Type1]]N;
        :
        v_[[Typen]]N = other.v_[[Typen]]N;
        type=other.type;
    }
}
T_varName varName;

```

- PowerDEVS:

```

class T_varName{
    [[Type1]]C v_[[Type1]]N;
    :
    [[Typen]]C v_[[Typen]]N;
    std::string type;
    bool operator<(const T_varName& other) const{
        :
    }
    bool operator==(const T_varName& other) const{
        :
    }
    T_varName& operator=(const T_varName other){
        :
    }
    T_varName(){};
    T_varName([[Type1]]C v){
        v_[[Type1]]N = v;
        type="[[Type1]]N";
    }
    :
    T_varName([[Typen]]C v){
        v_[[Typen]]N = v;
        type="[[Typen]]N";
    }
} varName;

```

- $Type_1 \times \dots \times Type_n$

- DEVS-Suite:

```

static class T_varName extends Object implements Comparable<Object>{
    public [[Type1]]J v1;
    :
    public [[Typen]]J vn;
    public boolean equals(T_varName other){
        :
    }
    public int compareTo(T_varName other){
        :
    }
    T_varName(){ }
    T_varName([[Type1]]J v1, ..., [[Typen]]J vn){
        this.v1 = v1;
        :
        this.vn = vn;
    }
}

```

```

    T_varName(T_varName other){
        v_[[Type1]]N = other.v_[[Type1]]N;
        ⋮
        v_[[Typen]]N = other.v_[[Typen]]N;
    }
}
T_varName varName;

```

- PowerDEVS:

```

class T_varName{
    [[Type1]]C v1;
    ⋮
    [[Typen]]C vn;
    bool operator<(const T_varName& other) const{
        ⋮
    }
    bool operator==(const T_varName& other) const{
        ⋮
    }
    T_varName& operator=(const T_varName other){
        ⋮
    }
    T_varName(){};
    T_varName([[Type1]]C v1, ..., [[Typen]]C vn){
        this.v1 = v1;
        ⋮
        this.vn = vn;
    }
} varName;

```

- $\mathbb{P}$  Type

- DEVS-Suite:
 

```
Set<[[Type]]J> varName;
```
- PowerDEVS:
 

```
std::set<[[Type]]C> varName;
```

- List Type

- DEVS-Suite:
 

```
List<[[Type]]J> varName;
```
  - PowerDEVS:
 

```
std::list<[[Type]]C> varName;
```
-

### B.3. Puertos de entrada

---

```

⟨X⟩ ::= X is
    ⟨definitions⟩
end X

```

---

#### CML-DEVS:

```

portNamee1 : Type1;
...
portNamen : Typen;

```

Se crea la siguiente variable en CML-DEVS, y se la traduce a DEVS-Suite y PowerDEVS según las reglas de definición (descriptas anteriormente):

$$T\_in : Type_1 \cup \dots \cup Type_n;$$

Además:

#### DEVS-Suite:

Dentro del constructor de la clase ModelName:

```

addInport("portName1");
...
addInport("portNameN");

```

#### PowerDEVS:

Si se utiliza la IDE de PowerDEVS, el número de puertos se especifica en el archivo modelName.pd.

### B.4. Puertos de salida

---

```

⟨Y⟩ ::= Y is
    ⟨definitions⟩
end Y

```

---

#### CML-DEVS:

```

portNamee1 : Type1;
...
portNamen : Typen;

```

#### DEVS-Java:

Dentro del constructor de la clase ModelName:

```

addOutport("portName1");
...
addInport("portNameN");

```

Además, se crea una clase por cada puerto, siguiendo las reglas de traducción de las definiciones detalladas anteriormente:

```
public class T_Typei extends entity implements Comparable<Object>{
    ...
}
```

### PowerDEVS:

Si se utiliza la IDE de PowerDEVS, el número de puertos se especifica en el archivo modelName.pd.

Además, se crea una clase por cada puerto, siguiendo las reglas de traducción de las definiciones detalladas anteriormente:

```
public class T_Typei{
    ...
}
```

## B.5. Funciones de transición, salida y avance de tiempo

---

```

<δint> ::= δint[⟨ids⟩] is
    {⟨sentence⟩}
    end δint
<δext> ::= δext[⟨ids⟩] is
    {⟨sentence⟩}
    end δext
⟨λ⟩ ::= λ [⟨ids⟩] is
    {⟨sentence⟩}
    end λ
⟨ta⟩ ::= ta [⟨ids⟩] is
    {⟨sentence⟩}
    end ta
⟨ids⟩ ::= ((⟨id⟩ | ⟨ids⟩){, (⟨id⟩ | ⟨ids⟩)})
⟨sentence⟩ ::= ⟨assignment⟩
    | ⟨expr⟩
    | ⟨foreach⟩
    | ⟨caseblock⟩
    | ⟨whereblock⟩

```

---



DEVS-Java:

```
public void deltint(){
    /*sentences...*/
}
public deltext(double e,message x){
    /*sentences...*/
}
public message out(){
    message m=new message();
    content con;
    /*sentences...*/
}
public double ta(){
    /*sentences...*/
    return sigma;
}
}
```

PowerDEVS:

```
void modelName::dint(double t){
    /*sentences...*/
}
void mdoelName::dext(Event x, double t){
    /*sentences...*/
}
Event modelName::lambda(double t){
    /*sentences*/
    return Event(..., ...);
}
double modeName::ta(double t){
    /*sentences...*/
    return sigma;
}
}
```

### B.5.1. Asignaciones

---

$\langle assignment \rangle ::= \langle var \rangle = \langle expr \rangle;$   
 $\langle var \rangle ::= \langle id \rangle \mid \langle idComp \rangle \mid value \mid port \mid e$   
 $\langle idComp \rangle ::= \langle id \rangle . \langle digit \rangle \{ . \langle digit \rangle \}$   
 $\langle expr \rangle ::= \langle var \rangle \mid \langle val \rangle \mid \langle vals \rangle \mid \langle operation \rangle$   
 $\langle vals \rangle ::= (\langle expr \rangle, \langle expr \rangle \{ , \langle expr \rangle \})$   
 $\langle set \rangle ::= \{ \langle expr \rangle \{ , \langle expr \rangle \} \}$   
 $\langle list \rangle ::= \langle < \rangle \langle expr \rangle \{ , \langle expr \rangle \} \langle > \rangle$

---

**ASSIGNMENT Basic Numbers**

$$\llbracket \langle var \rangle = \langle expr \rangle \rrbracket^A$$
**CONTEXT:**

$$\text{Type}(\langle var \rangle) = \mathbb{N} \mid \mathbb{Z} \mid \mathbb{R} \mid \text{Time}$$

$$\text{Type}(\langle expr \rangle) = \mathbb{N} \mid \mathbb{Z} \mid \mathbb{R} \mid \text{Time}$$
**CODE:**

case  $\text{Type}(\langle var \rangle)$  of:

- $\mathbb{N} \mid \mathbb{Z}$ :
  - DEVS-Suite:
 
$$\llbracket \langle var \rangle \rrbracket_J = \text{toInteger}(\llbracket \langle expr \rangle \rrbracket_J);$$
  - PowerDEVS:
 
$$\llbracket \langle var \rangle \rrbracket_C = (\text{int})(\llbracket \langle expr \rangle \rrbracket_C);$$
- $\mathbb{R} \mid \text{Time}$ :
  - DEVS-Suite:
 
$$\llbracket \langle var \rangle \rrbracket_J = \text{toDouble}(\llbracket \langle expr \rangle \rrbracket_J);$$
  - PowerDEVS:
 
$$\llbracket \langle var \rangle \rrbracket_C = (\text{double})(\llbracket \langle expr \rangle \rrbracket_C);$$

**ASSIGNMENT Basic Not Numbers**

$$\llbracket \langle var \rangle = \langle expr \rangle \rrbracket^A$$
**CONTEXT:**

$$\text{Type}(\text{varId}) = \text{Type}(\langle expr \rangle) = \text{Text} \mid \text{Bool} \mid \langle enum \rangle$$
**CODE:**

- DEVS-Suite:
 
$$\llbracket \langle var \rangle \rrbracket_J = \llbracket \langle expr \rangle \rrbracket_J;$$
- PowerDEVS:
 
$$\llbracket \langle var \rangle \rrbracket_C = \llbracket \langle expr \rangle \rrbracket_C;$$

**ASSIGNMENT Tuple**

$$\llbracket \langle var \rangle = \langle expr \rangle \rrbracket^A$$
**CONTEXT:**

$$\langle var \rangle = \text{varId}$$

$$\text{Type}(\text{varId}) = \text{Type}_1 \times \dots \times \text{Type}_n$$

**CODE:**

Case  $\langle expr \rangle$  of:

- $\langle expr \rangle = (expr_1, \dots, expr_n)$   
 $\llbracket varId.1 = expr_1 \rrbracket^A$   
 $\vdots$   
 $\llbracket varId.n = expr_n \rrbracket^A$
- $\langle id \rangle = varName$   
 $\llbracket varId.1 = varName.1 \rrbracket^A$   
 $\vdots$   
 $\llbracket varId.n = varName.n \rrbracket^A$
- $\langle funAppl \rangle = funId(var1, \dots, varn)$   
 $\llbracket varTmp: TypeVarId \rrbracket^D$   
 $varTmp = funId(var1, \dots, varn);$   
 $\llbracket varId.1 = varTmp.1 \rrbracket^A$   
 $\vdots$   
 $\llbracket varId.n = varTmp.n \rrbracket^A$

**ASSIGNMENT Union and Number**

$\llbracket \langle var \rangle = \langle expr \rangle \rrbracket^A$

**CONTEXT:**

$Type(\langle var \rangle) = Type_1 \cup \dots \cup Type_n$

$Type(\langle expr \rangle) = \mathbb{N} \mid \mathbb{Z} \mid \mathbb{R} \mid \text{Time}$

$Type_i \in \{Type_1, \dots, Type_n\}$

$Type_i = \mathbb{N} \mid \mathbb{Z} \mid \mathbb{R} \mid \text{Time}$

**CODE:**

case  $Type_i$  of:

- $\mathbb{N} \mid \mathbb{Z}$ :
  - DEVS-Suite:
 
$$\llbracket \langle var \rangle \rrbracket_J.v_{\llbracket Type_i \rrbracket^N} = toInteger(\llbracket \langle expr \rangle \rrbracket_J);$$

$$\llbracket \langle var \rangle \rrbracket_J.type = "\llbracket Type_i \rrbracket^N";$$
  - PowerDEVS:
 
$$\llbracket \langle var \rangle \rrbracket_C.v_{\llbracket Type_i \rrbracket^N} = (int)(\llbracket \langle expr \rangle \rrbracket_C);$$

$$\llbracket \langle var \rangle \rrbracket_C.type = "\llbracket Type_i \rrbracket^N";$$
- $\mathbb{R} \mid \text{Time}$ :
  - DEVS-Suite:
 
$$\llbracket \langle var \rangle \rrbracket_J.v_{\llbracket Type_i \rrbracket^N} = toDouble(\llbracket \langle expr \rangle \rrbracket_J);$$

$$\llbracket \langle var \rangle \rrbracket_J.type = "\llbracket Type_i \rrbracket^N";$$

- PowerDEVS:

$$\begin{aligned} \llbracket \langle var \rangle \rrbracket_c.v_{\llbracket Type\_i \rrbracket^N} &= (\text{double})(\llbracket \langle expr \rangle \rrbracket_c); \\ \llbracket \langle var \rangle \rrbracket_c.type &= "\llbracket Type\_i \rrbracket^N"; \end{aligned}$$

### ASSIGNMENT Union and Not a Number

$$\llbracket \langle var \rangle = \langle expr \rangle \rrbracket^A$$

#### CONTEXT:

$$\begin{aligned} \text{Type}(\langle var \rangle) &= \text{Type}_1 \cup \dots \cup \text{Type}_n \\ \text{Type}(\langle expr \rangle) &= \text{Type}_i \in \{\text{Type}_1, \dots, \text{Type}_n\} \\ \text{Type}_i &\neq \mathbb{N} \mid \mathbb{Z} \mid \mathbb{R} \mid \text{Time} \end{aligned}$$

#### CODE:

- DEVS-Suite:

$$\begin{aligned} \llbracket \langle var \rangle.v_{\llbracket Type\_i \rrbracket^N} &= \langle expr \rangle \rrbracket^A \\ \llbracket \langle var \rangle \rrbracket_j.type &= "\llbracket Type\_i \rrbracket^N"; \end{aligned}$$

- PowerDEVS:

$$\begin{aligned} \llbracket \langle var \rangle.v_{\llbracket Type\_i \rrbracket^N} &= \langle expr \rangle \rrbracket^A \\ \llbracket \langle var \rangle \rrbracket_c.type &= "\llbracket Type\_i \rrbracket^N"; \end{aligned}$$

### ASSIGNMENT Union and Number in Union

$$\llbracket \langle var \rangle = \langle expr \rangle \rrbracket^A$$

#### CONTEXT:

$$\begin{aligned} \text{Type}(\langle var \rangle) &= \text{Type}_1 \cup \dots \cup \text{Type}_n \\ \text{Type}(\langle expr \rangle) &= \text{Type}_{n+1} \cup \dots \cup \text{Type}_m \\ \text{Type}_i &= \mathbb{N} \mid \mathbb{Z} \mid \mathbb{R} \mid \text{Time} \\ \langle var \rangle.type &= "\llbracket Type\_i \rrbracket^N" \\ \text{Type}_j &= \mathbb{N} \mid \mathbb{Z} \mid \mathbb{R} \mid \text{Time} \\ \langle expr \rangle.type &= "\llbracket Type\_j \rrbracket^N" \end{aligned}$$

#### CODE:

case  $\text{Type}_i$  of:

- $\mathbb{N} \mid \mathbb{Z}$ :

- DEVS-Suite:

$$\begin{aligned} \llbracket \langle var \rangle \rrbracket_j.v_{\llbracket Type\_i \rrbracket^N} &= \text{toInteger}(\llbracket \langle expr \rangle \rrbracket_j.v_{\llbracket Type\_j \rrbracket^N}); \\ \llbracket \langle var \rangle \rrbracket_j.type &= "\llbracket Type\_i \rrbracket^N"; \end{aligned}$$

- PowerDEVS:

$$\begin{aligned} \llbracket \langle var \rangle \rrbracket_c.v_{\llbracket Type\_i \rrbracket^N} &= (\text{int})(\llbracket \langle expr \rangle \rrbracket_c.v_{\llbracket Type\_j \rrbracket^N}); \\ \llbracket \langle var \rangle \rrbracket_c.type &= "\llbracket Type\_i \rrbracket^N"; \end{aligned}$$

- $\mathbb{R} \mid \text{Time}$ :

- DEVS-Suite:

$$\begin{aligned} \llbracket \langle var \rangle \rrbracket_j.v_{\llbracket Type\_i \rrbracket^N} &= \text{toDouble}(\llbracket \langle expr \rangle \rrbracket_j.v_{\llbracket Type\_j \rrbracket^N}); \\ \llbracket \langle var \rangle \rrbracket_j.type &= "\llbracket Type\_i \rrbracket^N"; \end{aligned}$$

- PowerDEVS:

$$\begin{aligned} \llbracket \langle var \rangle \rrbracket_c.v\_ \llbracket \text{Type}_i \rrbracket^N &= (\text{double})(\llbracket \langle expr \rangle \rrbracket_c.v\_ \llbracket \text{Type}_j \rrbracket^N); \\ \llbracket \langle var \rangle \rrbracket_c.type &= \llbracket \llbracket \text{Type}_i \rrbracket^N \rrbracket; \end{aligned}$$

### ASSIGNMENT Union and Not a Number in Union

$$\llbracket \langle var \rangle = \langle expr \rangle \rrbracket^A$$

#### CONTEXT:

$$\begin{aligned} \text{Type}(\langle var \rangle) &= \text{Type}_1 \cup \dots \cup \text{Type}_n \\ \text{Type}(\langle expr \rangle) &= \text{Type}_{n+1} \cup \dots \cup \text{Type}_m \\ \text{Type}_i &\in \{\text{Type}_1, \dots, \text{Type}_n\} \\ \text{Type}_j &\neq \mathbb{N} \mid \mathbb{Z} \mid \mathbb{R} \mid \text{Time} \\ \langle expr \rangle.type &= \llbracket \llbracket \text{Type}_j \rrbracket^N \rrbracket \\ \text{Type}_i &= \text{Type}_j \end{aligned}$$

#### CODE:

- DEVS-Suite:

$$\begin{aligned} \llbracket \langle var \rangle.v\_ \llbracket \text{Type}_j \rrbracket^N &= \langle expr \rangle.v\_ \llbracket \text{Type}_j \rrbracket^N \rrbracket^A \\ \llbracket \langle var \rangle \rrbracket_j.type &= \llbracket \llbracket \text{Type}_i \rrbracket^N \rrbracket; \end{aligned}$$

- PowerDEVS:

$$\begin{aligned} \llbracket \langle var \rangle.v\_ \llbracket \text{Type}_j \rrbracket^N &= \langle expr \rangle.v\_ \llbracket \text{Type}_j \rrbracket^N \rrbracket^A \\ \llbracket \langle var \rangle \rrbracket_c.type &= \llbracket \llbracket \text{Type}_i \rrbracket^N \rrbracket; \end{aligned}$$

### ASSIGNMENT Set

$$\llbracket \text{varId} = \langle expr \rangle \rrbracket^A$$

#### CONTEXT:

$$\text{Type}(\text{varId}) = \text{Type}(\langle expr \rangle) = \mathbb{P} \text{Type}$$

#### CODE:

Case  $\langle expr \rangle$  of:

- $\langle set \rangle = \{expr_1, \dots, expr_n\}$

- DEVS-Suite:

$$\text{varId} = \text{buildSet}(\text{new} \llbracket \llbracket \text{Type} \rrbracket_j(\llbracket \llbracket expr_1 \rrbracket_j \rrbracket), \dots, \text{new} \llbracket \llbracket \text{Type} \rrbracket_j(\llbracket \llbracket expr_n \rrbracket_j \rrbracket));$$

- PowerDEVS:

$$\text{varId} = \text{buildSet} \langle \llbracket \llbracket \text{Type} \rrbracket_c \rangle (n, \llbracket \llbracket expr_1 \rrbracket_c \rrbracket, \dots, \llbracket \llbracket expr_n \rrbracket_c \rrbracket);$$

- $\langle var \rangle \mid \langle operation \rangle$

- DEVS-Suite:

$$\begin{aligned} \text{varId.clear}(); \\ \text{varId.addAll}(\llbracket \llbracket \langle expr \rangle \rrbracket_j \rrbracket); \end{aligned}$$

- PowerDEVS:

$$\text{varId} = \llbracket \llbracket \langle expr \rangle \rrbracket_c \rrbracket;$$

**ASSIGNMENT List**


---


$$\llbracket \text{varId} = \langle \text{expr} \rangle \rrbracket^A$$


---

**CONTEXT:**

$$\text{Type}(\text{varId}) = \text{Type}(\langle \text{expr} \rangle) = \text{List Type}$$


---

**CODE:**

Case  $\langle \text{expr} \rangle$  of:

- $\langle \text{list} \rangle = \langle \text{expr}_1, \dots, \text{expr}_n \rangle$ 
    - DEVS-Suite:
 
$$\text{varId} = \text{buildList}(\text{new } \llbracket \text{Type} \rrbracket_J(\llbracket \text{expr}_1 \rrbracket_J), \dots, \text{new } \llbracket \text{Type} \rrbracket_J(\llbracket \text{expr}_n \rrbracket_J));$$
    - PowerDEVS:
 
$$\text{varId} = \text{buildList} \langle \llbracket \text{Type} \rrbracket_C \rangle(n, \llbracket \text{expr}_1 \rrbracket_C, \dots, \llbracket \text{expr}_n \rrbracket_C);$$
  - $\langle \text{var} \rangle \mid \langle \text{operation} \rangle$ 
    - DEVS-Suite:
 
$$\begin{aligned} &\text{varId.clear}(); \\ &\text{varId.addAll}(\llbracket \langle \text{expr} \rangle \rrbracket_J); \end{aligned}$$
    - PowerDEVS:
 
$$\text{varId} = \llbracket \langle \text{expr} \rangle \rrbracket_C;$$
- 

**B.5.2. Estructura “For Each”**


---


$$\begin{aligned} \langle \text{foreach} \rangle ::= & \text{foreach } \langle \text{id} \rangle \text{ in } \langle \text{expr} \rangle \{ \\ & \quad \langle \text{sentence} \rangle \\ & \quad \{ \langle \text{sentence} \rangle \} \\ & \} \end{aligned}$$


---

**FOR EACH Set**

$$\begin{aligned} &\text{foreach } \langle \text{id} \rangle \text{ in } \langle \text{expr} \rangle \{ \\ & \quad \langle \text{sentences} \rangle \\ & \} \end{aligned}$$


---

**CONTEXT:**

$$\begin{aligned} \langle \text{id} \rangle &= \text{varName} \\ \text{Type}(\langle \text{id} \rangle) &= \text{TypeId} \\ \text{Type}(\langle \text{expr} \rangle) &= \mathbb{P} \text{TypeId} \end{aligned}$$


---

**CODE:**

Case  $\langle \text{expr} \rangle$  of:

- $\langle \text{set} \rangle \mid \langle \text{operation} \rangle$ 
  - DEVS-Suite:
 
$$\begin{aligned} &\text{Set} \langle \text{TypeId} \rangle \text{ setTmp} = \llbracket \langle \text{expr} \rangle \rrbracket_J; \\ &\text{for}(\text{TypeId } \text{varName}: \text{setTmp}) \{ \\ & \quad \llbracket \langle \text{sentences} \rangle \rrbracket_J \\ & \} \end{aligned}$$

- PowerDEVS:
 

```
std::set<TypeId> setTmp=⟦⟨expr⟩⟧C;
for (std::set<TypeId>::iterator it = setTmp.begin(); it != setTmp.end(); it++)
  TypeId varName = *it;
  ⟦⟨sentences⟩⟧C
}
```
- $\langle var \rangle = \text{varName2};$
- DEVS-Suite:
 

```
Set<TypeId> setTmp = new TreeSet<TypeId>(varName2);
for(TypeId varName: setTmp){
  ⟦⟨sentences⟩⟧J
}
```
- PowerDEVS:
 

```
std::set<TypeId> setTmp = varName2;
for(std::set<TypeId>::iterator it = setTmp.begin(); it!=setTmp.end(); it++){
  TypeId varName = *it;
  ⟦⟨sentences⟩⟧C
}
```

### B.5.3. Definiciones por caso

$\langle caseblock \rangle ::= \text{"\begin\{defcases\}"}$

```
\case{
  ⟨sentence⟩;{⟨sentence⟩;}
  \if
  ⟨conditions⟩
}
{\case{
  ⟨sentence⟩;{⟨sentence⟩;}
  \if
  ⟨conditions⟩
}}
[\default{
  ⟨sentence⟩;{⟨sentence⟩;}
}]
"\end\{defcases\}"
```

**CASE BLOCK**

```

"\begin{defcases}"
:
"\end{defcases}"

```

**CONTEXT:****CODE:**

## ■ DEVS-Suite:

```

if (/*conditions*/){
  /*sentences*/
}
else if (/*conditions*/){
  /*sentences*/
}
:
else{ /*si es que está definido '\default'*/
  /*sentences*/
}

```

## ■ PowerDEVS:

```

if (/*conditions*/){
  /*sentences*/
}
else if (/*conditions*/){
  /*sentences*/
}
:
else{ /*si es que está definido '\default'*/
  /*sentences*/
}

```

**B.5.4. Condiciones**

$\langle conditions \rangle ::= \langle condition \rangle$

|  $\neg (\langle conditions \rangle)$

|  $(\langle conditions \rangle \wedge \langle conditions \rangle)$

|  $(\langle conditions \rangle \vee \langle conditions \rangle)$

**CONDITIONS**

$\langle conditions \rangle$

**CONTEXT:****CODE:**

Case  $\langle conditions \rangle$  of:

■  $\langle condition \rangle$ :

$\llbracket \langle condition \rangle \rrbracket^{\text{Cond}}$



- $\neg (\langle condition \rangle)$ :
  - DEVS-Suite:  
 $! (\llbracket \langle condition \rangle \rrbracket^{\text{Cond}})$
  - PowerDEVS:  
 $! (\llbracket \langle condition \rangle \rrbracket^{\text{Cond}})$
- $(\langle condition1 \rangle \wedge \langle condition2 \rangle)$ :
  - DEVS-Suite:  
 $((\llbracket \langle condition1 \rangle \rrbracket^{\text{Cond}}) \ \&\& \ (\llbracket \langle condition2 \rangle \rrbracket^{\text{Cond}}))$
  - PowerDEVS:  
 $((\llbracket \langle condition1 \rangle \rrbracket^{\text{Cond}}) \ \&\& \ (\llbracket \langle condition2 \rangle \rrbracket^{\text{Cond}}))$
- $(\langle condition1 \rangle \vee \langle condition2 \rangle)$ :
  - DEVS-Suite:  
 $((\llbracket \langle condition1 \rangle \rrbracket^{\text{Cond}}) \ || \ (\llbracket \langle condition2 \rangle \rrbracket^{\text{Cond}}))$
  - PowerDEVS:  
 $((\llbracket \langle condition1 \rangle \rrbracket^{\text{Cond}}) \ || \ (\llbracket \langle condition2 \rangle \rrbracket^{\text{Cond}}))$

---

### Condición

$\langle condition \rangle ::= (\langle var \rangle \mid \langle val \rangle \mid \langle operation \rangle) \langle comparison \rangle (\langle var \rangle \mid \langle val \rangle \mid \langle operation \rangle)$   
 $\langle comparison \rangle ::= < \mid > \mid \leq \mid \geq \mid = \mid \neq \mid \in \mid \notin \mid \subset \mid \subseteq$

---



---

### CONDITION

$\llbracket \langle condition \rangle \rrbracket^{\text{Cond}}$

---

### CONTEXT:

$\langle condition \rangle = \langle expr1 \rangle \langle comparison \rangle \langle expr2 \rangle$

---

### CODE:

Case  $\langle comparison \rangle$  of:

- =:  
 $\llbracket \langle expr1 \rangle = \langle expr2 \rangle \rrbracket^E$
- $\neq$ :  
 $! (\llbracket \langle expr1 \rangle = \langle expr2 \rangle \rrbracket^E)$
- <:  
 $\llbracket \langle expr1 \rangle < \langle expr2 \rangle \rrbracket^L$
- >:  
 $\llbracket \langle expr1 \rangle > \langle expr2 \rangle \rrbracket^G$
- $\leq$ :  
 $\llbracket \langle expr1 \rangle \leq \langle expr2 \rangle \rrbracket^{LE}$

- $\geq$ :
  - $\llbracket \langle expr1 \rangle \geq \langle expr2 \rangle \rrbracket^{GE}$
- $\in$ :
  - $\llbracket \langle expr2 \rangle \in \langle expr1 \rangle \rrbracket^B$
- $\notin$ :
  - DEVS-Suite:
    - $!(\llbracket \langle expr2 \rangle \in \langle expr1 \rangle \rrbracket^B)$
  - PowerDEVS:
    - $!(\llbracket \langle expr2 \rangle \in \langle expr1 \rangle \rrbracket^B)$
- $\subset$ :
  - DEVS-Suite:
    - $((\llbracket \langle expr2 \rangle \rrbracket_J).containsAll(\llbracket \langle expr1 \rangle \rrbracket_J) \&\& ((\llbracket \langle expr1 \rangle \rrbracket_J).size() < (\llbracket \langle expr2 \rangle \rrbracket_J).size()))$
  - PowerDEVS:
    - $(std::includes((\llbracket \langle expr1 \rangle \rrbracket_C).begin(), (\llbracket \langle expr2 \rangle \rrbracket_C).end()), (\llbracket \langle expr2 \rangle \rrbracket_C).begin(), (\llbracket \langle expr2 \rangle \rrbracket_C).end()) \&\& ((\llbracket \langle expr1 \rangle \rrbracket_C).size() < (\llbracket \langle expr2 \rangle \rrbracket_C).size()))$
- $\subseteq$ :
  - DEVS-Suite:
    - $((\llbracket \langle expr2 \rangle \rrbracket_J).containsAll(\llbracket \langle expr1 \rangle \rrbracket_J))$
  - PowerDEVS:
    - $(std::includes((\llbracket \langle expr1 \rangle \rrbracket_C).begin(), (\llbracket \langle expr2 \rangle \rrbracket_C).end()), (\llbracket \langle expr2 \rangle \rrbracket_C).begin(), (\llbracket \langle expr2 \rangle \rrbracket_C).end()))$

## Comparación de Igualdad

### EQUALS Basic

$$\llbracket \langle expr1 \rangle = \langle expr2 \rangle \rrbracket^E$$

### CONTEXT:

$$\text{Type}(\langle expr1 \rangle) = \text{Type}(\langle expr2 \rangle) = \mathbb{N} \mid \mathbb{Z} \mid \mathbb{R} \mid \text{Time} \mid \text{Text} \mid \text{Bool} \mid \langle enum \rangle$$

### CODE:

- DEVS-Suite:
  - $(\llbracket \langle expr1 \rangle \rrbracket_J).equals(\llbracket \langle expr2 \rangle \rrbracket_J)$
- C++
  - $(\llbracket \langle expr1 \rangle \rrbracket_C) == (\llbracket \langle expr2 \rangle \rrbracket_C)$

---



---

**EQUALS Union1**  $\llbracket \langle expr1 \rangle = \langle expr2 \rangle \rrbracket^E$

---



---

**CONTEXT:**

$Type(\langle expr1 \rangle) = Type_1 \cup \dots \cup Type_n$   
 $Type(\langle expr2 \rangle) = Type_i \in \{Type_1, \dots, Type_n\}$

---

**CODE:**

- DEVS-Suite:  
 $((\llbracket \langle expr1 \rangle \rrbracket_J).type == \llbracket Type_i \rrbracket^N) \ \&\& \ ((\langle expr1 \rangle).v_{\llbracket Type_i \rrbracket^N} = \langle expr2 \rangle)^E$
  - PowerDEVS:  
 $((\llbracket \langle expr1 \rangle \rrbracket_C).type == \llbracket Type_i \rrbracket^N) \ \&\& \ ((\langle expr1 \rangle).v_{\llbracket Type_i \rrbracket^N} = \langle expr2 \rangle)^E$
- 

**COMMENT:**

The Union type is already normalized

---



---



---



---

**EQUALS Union2**  $\llbracket \langle expr1 \rangle = \langle expr2 \rangle \rrbracket^E$

---



---

**CONTEXT:**

$Type(\langle expr1 \rangle) = Type_1 \cup \dots \cup Type_n$   
 $Type(\langle expr2 \rangle) = Type_{n+1} \cup \dots \cup Type_m$

---

**CODE:**

- DEVS-Suite:  
 $((\llbracket \langle expr1 \rangle \rrbracket_J).type == (\llbracket \langle expr2 \rangle \rrbracket_J).type) \ \&\& \ ((\langle expr1 \rangle).v_{\llbracket Type_i \rrbracket^N} = (\langle expr2 \rangle).v_{\llbracket Type_j \rrbracket^N})^E$
  - PowerDEVS:  
 $((\llbracket \langle expr1 \rangle \rrbracket_C).type == (\llbracket \langle expr2 \rangle \rrbracket_C).type) \ \&\& \ ((\langle expr1 \rangle).v_{\llbracket Type_i \rrbracket^N} = (\langle expr2 \rangle).v_{\llbracket Type_j \rrbracket^N})^E$
- 

**COMMENT:**

The Union types are already normalized

---



---



---



---

**EQUALS Tuple**

$\llbracket \langle exprA \rangle = \langle exprB \rangle \rrbracket^E$

---



---

**CONTEXT:**

$Type(\langle exprA \rangle) = Type(\langle exprB \rangle) = Type_1 \times \dots \times Type_n$

---

**CODE:**

Case  $\langle exprA \rangle, \langle exprB \rangle$  of:

- $\langle exprA \rangle = \text{"varName1"}, \langle exprB \rangle = \text{"varName2"}$ 
  - DEVS-Suite:  
 $varName1.equals(varName2)$

- C++
  - `varName1 == varName2`
- $\langle \langle exprA \rangle = \text{"varName"}, \langle exprB \rangle = (expr_1, \dots, expr_n) \rangle$   
 $\vee \langle \langle exprA \rangle = (expr_1, \dots, expr_n), \langle exprB \rangle = \text{"varName"} \rangle$ 
  - DEVS-Suite:
    - $\llbracket \text{varName}.1 = \text{expr}_1 \rrbracket^E$
    - $\vdots$
    - $\llbracket \text{varName}.n = \text{expr}_n \rrbracket^E$
  - C++
    - $\llbracket \text{varName}.1 = \text{expr}_1 \rrbracket^E$
    - $\vdots$
    - $\llbracket \text{varName}.n = \text{expr}_n \rrbracket^E$
- $\langle \langle exprA \rangle = (expr_1^A, \dots, expr_n^A), \langle exprB \rangle = (expr_1^B, \dots, expr_n^B) \rangle$ 
  - DEVS-Suite:
    - $\llbracket \text{expr}_1^A = \text{expr}_1^B \rrbracket^E$
    - $\vdots$
    - $\llbracket \text{expr}_n^A = \text{expr}_n^B \rrbracket^E$
  - C++
    - $\llbracket \text{expr}_1^A = \text{expr}_1^B \rrbracket^E$
    - $\vdots$
    - $\llbracket \text{expr}_n^A = \text{expr}_n^B \rrbracket^E$

**EQUALS Set**

$$\llbracket \langle exprA \rangle = \langle exprB \rangle \rrbracket^E$$
**CONTEXT:**

$$\text{Type}(\langle exprA \rangle) = \text{Type}(\langle exprB \rangle) = \mathbb{P} \text{ Type}$$
**CODE:**

Case  $\langle exprA \rangle, \langle exprB \rangle$  of:

- $\langle var \rangle = \text{"varName1"}, \langle var \rangle = \text{"varName2"}$ 
  - DEVS-Suite:
    - `varName1.equals(varName2)`
  - C++
    - `varName1 == varName2`
- $\langle \langle var \rangle = \text{"varName"}, \langle set \rangle = \{expr_1, \dots, expr_n\} \rangle$   
 $\vee \langle \langle var \rangle = \{expr_1, \dots, expr_n\}, \langle set \rangle = \text{"varName"} \rangle$ 
  - DEVS-Suite:
    - `varName.equals(buildSet( $\llbracket \text{expr}_1 \rrbracket_J, \dots, \llbracket \text{expr}_n \rrbracket_J$ ))`
  - PowerDEVS:
    - `varName==(buildSet< $\llbracket \text{Type} \rrbracket_C$ >(n,  $\llbracket \text{expr}_1 \rrbracket_C, \dots, \llbracket \text{expr}_n \rrbracket_C$ ))`

- $\langle exprA \rangle = \{expr_1^A, \dots, expr_n^A\}$ ,  $\langle exprB \rangle = \{expr_1^B, \dots, expr_n^B\}$ 
  - DEVS-Suite:
 
$$(\text{buildSet}(\llbracket expr_1^A \rrbracket_J, \dots, \llbracket expr_n^A \rrbracket_J)).\text{equals}(\text{buildSet}(\llbracket expr_1^B \rrbracket_J, \dots, \llbracket expr_n^B \rrbracket_J))$$
  - PowerDEVS:
 
$$(\text{buildSet}\langle \llbracket \text{Type} \rrbracket_C \rangle(n, \llbracket expr_1^A \rrbracket_C, \dots, \llbracket expr_n^A \rrbracket_C)) \\ == (\text{buildSet}\langle \llbracket \text{Type} \rrbracket_C \rangle(n, \llbracket expr_1^B \rrbracket_C, \dots, \llbracket expr_n^B \rrbracket_C))$$

**EQUALS List**

$$\llbracket \langle exprA \rangle = \langle exprB \rangle \rrbracket^E$$
**CONTEXT:**

$$\text{Type}(\langle exprA \rangle) = \text{Type}(\langle exprB \rangle) = \text{List Type}$$
**CODE:**

Case  $\langle exprA \rangle$ ,  $\langle exprB \rangle$  of:

- $\langle exprA \rangle = \text{"varName1"} \wedge \langle exprB \rangle = \text{"varName2"}$ 
  - DEVS-Suite:
 
$$\text{varName1}.\text{equals}(\text{varName2})$$
  - C++
 
$$\text{varName1} == \text{varName2}$$
- $(\langle exprA \rangle = \text{"varName"}, \langle exprB \rangle = \langle expr_1, \dots, expr_n \rangle) \vee (\langle exprA \rangle = \langle expr_1, \dots, expr_n \rangle, \langle exprB \rangle = \text{"varName"})$ 
  - DEVS-Suite:
 
$$\text{varName}.\text{equals}(\text{buildList}(\llbracket expr_1 \rrbracket_J, \dots, \llbracket expr_n \rrbracket_J))$$
  - PowerDEVS:
 
$$\text{varName} == (\text{buildList}\langle \text{Type} \rangle(n, \llbracket expr_1 \rrbracket_C, \dots, \llbracket expr_n \rrbracket_C))$$
- $\langle exprA \rangle = \langle expr_1^A, \dots, expr_n^A \rangle$ ,  $\langle exprB \rangle = \langle expr_1^B, \dots, expr_n^B \rangle$ 
  - DEVS-Suite:
 
$$(\text{buildList}(\llbracket expr_1^A \rrbracket_J, \dots, \llbracket expr_n^A \rrbracket_J)).\text{equals}(\text{buildList}(\llbracket expr_1^B \rrbracket_J, \dots, \llbracket expr_n^B \rrbracket_J))$$
  - PowerDEVS:
 
$$(\text{buildList}\langle \text{Type} \rangle(n, \llbracket expr_1^A \rrbracket_C, \dots, \llbracket expr_n^A \rrbracket_C)) == (\text{buildList}\langle \text{Type} \rangle(n, \llbracket expr_1^B \rrbracket_C, \dots, \llbracket expr_n^B \rrbracket_C))$$

## Comparación “menor” (<)

### LESS Numbers

$$\llbracket \langle expr1 \rangle < \langle expr2 \rangle \rrbracket^L$$

#### CONTEXT:

$$\text{Type}(\langle expr1 \rangle) = \mathbb{N} \mid \mathbb{Z} \mid \mathbb{R} \mid \text{Time}$$

$$\text{Type}(\langle expr2 \rangle) = \mathbb{N} \mid \mathbb{Z} \mid \mathbb{R} \mid \text{Time}$$

#### CODE:

- DEVS-Suite:

$$(\llbracket \langle expr1 \rangle \rrbracket_J) < (\llbracket \langle expr2 \rangle \rrbracket_J)$$

- C++

$$(\llbracket \langle expr1 \rangle \rrbracket_C) < (\llbracket \langle expr2 \rangle \rrbracket_C)$$

### LESS Union and number $\llbracket \langle expr1 \rangle < \langle expr2 \rangle \rrbracket^L$

#### CONTEXT:

$$\text{Type}(\langle expr1 \rangle) = \text{Type}_1 \cup \dots \cup \text{Type}_n$$

$$\text{Type}(\langle expr2 \rangle) = \mathbb{N} \mid \mathbb{Z} \mid \mathbb{R} \mid \text{Time}$$

$$\text{Type}_i = \mathbb{N} \mid \mathbb{Z} \mid \mathbb{R} \mid \text{Time}$$

$$\langle expr1 \rangle.\text{type} = \llbracket \text{Type}_i \rrbracket^N$$

#### CODE:

- DEVS-Suite:

$$(\llbracket \langle expr1 \rangle \rrbracket_J.v.\llbracket \text{Type}_i \rrbracket^N) < \llbracket \langle expr2 \rangle \rrbracket_J$$

- PowerDEVS:

$$(\llbracket \langle expr1 \rangle \rrbracket_C.v.\llbracket \text{Type}_i \rrbracket^N) < \llbracket \langle expr2 \rangle \rrbracket_C$$

#### COMMENT:

The Union type is already normalized

It must be checked before if  $\langle var \rangle$  is currently a number, e.g.  $\langle var \rangle \in \mathbb{R}$ .

### LESS Numbers in Unions $\llbracket \langle expr1 \rangle < \langle expr2 \rangle \rrbracket^L$

#### CONTEXT:

$$\text{Type}(\langle expr1 \rangle) = \text{Type}_1 \cup \dots \cup \text{Type}_n$$

$$\text{Type}(\langle expr2 \rangle) = \text{Type}_{n+1} \cup \dots \cup \text{Type}_m$$

$$\text{Type}_i = \mathbb{N} \mid \mathbb{Z} \mid \mathbb{R} \mid \text{Time}$$

$$\langle expr1 \rangle.\text{type} = \llbracket \text{Type}_i \rrbracket^N$$

$$\text{Type}_j = \mathbb{N} \mid \mathbb{Z} \mid \mathbb{R} \mid \text{Time}$$

$$\langle expr2 \rangle.\text{type} = \llbracket \text{Type}_j \rrbracket^N$$

**CODE:**

## ■ DEVS-Suite:

```
((⟦⟨expr1⟩⟧J).type=="⟦Typei⟧N")
  && ((⟦⟨expr2⟩⟧J).type=="⟦Typej⟧N")
  && ((⟦⟨expr1⟩⟧.v_⟦Typei⟧N < (⟨expr2⟩).v_⟦Typej⟧N]E)
```

## ■ PowerDEVS:

```
((⟦⟨expr1⟩⟧C).type=="⟦Typei⟧N")
  && ((⟦⟨expr2⟩⟧C).type=="⟦Typej⟧N")
  && ((⟦⟨expr1⟩⟧.v_⟦Typei⟧N < (⟨expr2⟩).v_⟦Typej⟧N]E)
```

**COMMENT:**

The Union type is already normalized

It must be checked before if  $\langle expr1 \rangle$  and  $\langle expr2 \rangle$  are currently numbers, e.g.  $\langle expr1 \rangle \in \mathbb{R}$ .

**Comparación “menor o igual” ( $\leq$ )**

$$\llbracket \langle expr1 \rangle \leq \langle expr2 \rangle \rrbracket^L$$

Estas son las mismas reglas que las de la Sección B.5.4 cambiando  $<$  por  $\leq$  en el código traducido.

**Comparación “mayor” ( $>$ )**

$$\llbracket \langle expr1 \rangle > \langle expr2 \rangle \rrbracket^L$$

Estas son las mismas reglas que las de la Sección B.5.4 cambiando  $<$  por  $>$  en el código traducido.

**Comparación “mayor o igual” ( $\geq$ )**

$$\llbracket \langle expr1 \rangle \geq \langle expr2 \rangle \rrbracket^L$$

Estas son las mismas reglas que las de la Sección B.5.4 cambiando  $<$  por  $\geq$  en el código traducido.

**Pertenece****BELONGS 1**  $\llbracket \langle exprA \rangle \in \langle exprB \rangle \rrbracket^B$ **CONTEXT:** $Type(\langle exprB \rangle) = \mathbb{P} Type(\langle exprA \rangle)$ **CODE:***Case*  $\langle exprB \rangle$  *of:*

- $\langle var \rangle \mid \langle defFun \rangle \mid \langle operation \rangle$ 
  - DEVS-Suite:
 
$$\llbracket \langle exprB \rangle \rrbracket_J . contains(\llbracket \langle exprA \rangle \rrbracket_J)$$
  - C++
 
$$findInSet(\llbracket \langle exprB \rangle \rrbracket_C, \llbracket \langle exprA \rangle \rrbracket_C)$$
- $\langle set \rangle = \{expr_1, \dots, expr_n\}$ 
  - DEVS-Suite:
 
$$(buildSet(\llbracket expr_1 \rrbracket_J, \dots \llbracket expr_n \rrbracket_J)).contains(\llbracket \langle exprA \rangle \rrbracket_J)$$
  - PowerDEVS:
 
$$findInSet(buildSet\langle Type(\langle exprA \rangle) \rrbracket_C \rangle(n, \llbracket expr_1 \rrbracket_C, \dots \llbracket expr_n \rrbracket_J), \llbracket \langle exprA \rangle \rrbracket_C)$$
- $\mathbb{N}$ 
  - DEVS-Suite:
 
$$isNat(\llbracket \langle exprA \rangle \rrbracket_J)$$
  - PowerDEVS:
 
$$isNat(\llbracket \langle exprA \rangle \rrbracket_C)$$
- $\mathbb{Z}$ 
  - DEVS-Suite:
 
$$isInt(\llbracket \langle exprA \rangle \rrbracket_J)$$
  - PowerDEVS:
 
$$isInt(\llbracket \langle exprA \rangle \rrbracket_C)$$
- $\mathbb{R}$ 
  - DEVS-Suite:
 
$$isReal(\llbracket \langle exprA \rangle \rrbracket_J)$$
  - PowerDEVS:
 
$$isReal(\llbracket \langle exprA \rangle \rrbracket_C)$$

**COMMENT:**No sirve para, por ejemplo,  $x \in \mathbb{P} \mathbb{N}$



**BELONGS 2**

$$\llbracket \langle exprA \rangle \in \langle exprB \rangle \rrbracket^B$$

**CONTEXT:**

$$\text{Type}(\langle exprA \rangle) = \text{Type}_1 \cup \dots \cup \text{Type}_n$$

$$\text{Type}(\langle exprB \rangle) = \mathbb{P} \text{Type}_i, \text{Type}_i \in \{\text{Type}_1, \dots, \text{Type}_n\}$$

**CODE:**

- DEVS-Suite:

$$\begin{aligned} & ((\llbracket \langle exprA \rangle \rrbracket_J) . \text{type} == \llbracket \text{Type}_i \rrbracket^N) \\ & \ \&\& \llbracket (\llbracket \langle exprA \rangle \rrbracket_J) . v\_ \llbracket \text{Type}_i \rrbracket^N \in \langle exprB \rangle \rrbracket^B \end{aligned}$$

- PowerDEVS:

$$\begin{aligned} & ((\llbracket \langle exprA \rangle \rrbracket_C) . \text{type} == \llbracket \text{Type}_i \rrbracket^N) \\ & \ \&\& \llbracket (\llbracket \langle exprA \rangle \rrbracket_C) . v\_ \llbracket \text{Type}_i \rrbracket^N \in \langle exprB \rangle \rrbracket^B \end{aligned}$$

**Subconjunto Propio****PROPER SUBSET**

$$\llbracket \langle exprA \rangle \subset \langle exprB \rangle \rrbracket^{\text{PS}}$$

**CONTEXT:**

$$\text{Type}(\langle exprB \rangle) = \text{Type}(\langle exprA \rangle) = \mathbb{P} \text{Type}$$

**CODE:**

Case  $\langle exprA \rangle, \langle exprB \rangle$  of:

- $(\langle var \rangle \mid \langle defFun \rangle \mid \langle operation \rangle), (\langle var \rangle \mid \langle defFun \rangle \mid \langle operation \rangle)$

- DEVS-Suite:

$$\text{isProperSubset}(\llbracket \langle exprA \rangle \rrbracket_J, \llbracket \langle exprB \rangle \rrbracket_J)$$

- C++

$$\text{isProperSubset}(\llbracket \langle exprA \rangle \rrbracket_C, \llbracket \langle exprB \rangle \rrbracket_C)$$

- $(\langle var \rangle \mid \langle defFun \rangle \mid \langle operation \rangle), \langle set \rangle = \{\text{expr}_1, \dots, \text{expr}_n\}$

- DEVS-Suite:

$$\text{isProperSubset}(\llbracket \langle exprA \rangle \rrbracket_J, (\text{buildSet}(\llbracket \text{expr}_1 \rrbracket_J, \dots \llbracket \text{expr}_n \rrbracket_J)))$$

- PowerDEVS

$$\text{isProperSubset}(\llbracket \langle exprA \rangle \rrbracket_C, (\text{buildSet}<\llbracket \text{Type} \rrbracket_C>(n, \llbracket \text{expr}_1 \rrbracket_C, \dots \llbracket \text{expr}_n \rrbracket_C)))$$

- $\langle set \rangle = \{\text{expr}_1, \dots, \text{expr}_n\}, (\langle var \rangle \mid \langle defFun \rangle \mid \langle operation \rangle)$

- DEVS-Suite:

$$\text{isProperSubset}(\text{buildSet}(\llbracket \text{expr}_1 \rrbracket_J, \dots \llbracket \text{expr}_n \rrbracket_J), \llbracket \langle exprA \rangle \rrbracket_J)$$

- PowerDEVS:

$$\text{isProperSubset}(\text{buildSet}<\llbracket \text{Type} \rrbracket_C>(n, \llbracket \text{expr}_1 \rrbracket_C, \dots \llbracket \text{expr}_n \rrbracket_C), \llbracket \langle exprA \rangle \rrbracket_C)$$

- $\langle set \rangle = \{expr_1^A, \dots, expr_n^A\}, \langle set \rangle = \{expr_1^B, \dots, expr_m^B\}$ 
  - DEVS-Suite:
 
$$\text{isProperSubset}(\text{buildSet}(\llbracket expr_1^A \rrbracket_J, \dots \llbracket expr_n^A \rrbracket_J), \text{buildSet}(\llbracket expr_1^B \rrbracket_J, \dots \llbracket expr_m^B \rrbracket_J))$$
  - PowerDEVS:
 
$$\text{isProperSubset}(\text{buildSet}\langle \llbracket \text{Type} \rrbracket_C \rangle(n, \llbracket expr_1^A \rrbracket_C, \dots \llbracket expr_n^A \rrbracket_C), \text{buildSet}\langle \llbracket \text{Type} \rrbracket_C \rangle(n, \llbracket expr_1^B \rrbracket_C, \dots \llbracket expr_m^B \rrbracket_C))$$

## Subconjunto

### SUBSET

$$\llbracket \langle exprA \rangle \subseteq \langle exprB \rangle \rrbracket^{\text{PS}}$$

### CONTEXT:

$$\text{Type}(\langle exprB \rangle) = \text{Type}(\langle exprA \rangle) = \mathbb{P} \text{ Type}$$

### CODE:

Case  $\langle exprA \rangle, \langle exprB \rangle$  of:

- $(\langle var \rangle \mid \langle defFun \rangle \mid \langle operation \rangle), (\langle var \rangle \mid \langle defFun \rangle \mid \langle operation \rangle)$ 
  - DEVS-Suite:
 
$$\text{isSubset}(\llbracket \langle exprA \rangle \rrbracket_J, \llbracket \langle exprB \rangle \rrbracket_J)$$
  - C++
 
$$\text{isSubset}(\llbracket \langle exprA \rangle \rrbracket_C, \llbracket \langle exprB \rangle \rrbracket_C)$$
- $(\langle var \rangle \mid \langle defFun \rangle \mid \langle operation \rangle), \langle set \rangle = \{expr_1, \dots, expr_n\}$ 
  - DEVS-Suite:
 
$$\text{isSubset}(\llbracket \langle exprA \rangle \rrbracket_J, (\text{buildSet}(\llbracket expr_1 \rrbracket_J, \dots \llbracket expr_n \rrbracket_J)))$$
  - C++
 
$$\text{isSubset}(\llbracket \langle exprA \rangle \rrbracket_C, (\text{buildSet}\langle \llbracket \text{Type} \rrbracket_C \rangle(n, \llbracket expr_1 \rrbracket_C, \dots \llbracket expr_n \rrbracket_C)))$$
- $\langle set \rangle = \{expr_1, \dots, expr_n\}, (\langle var \rangle \mid \langle defFun \rangle \mid \langle operation \rangle)$ 
  - DEVS-Suite:
 
$$\text{isSubset}(\text{buildSet}(\llbracket expr_1 \rrbracket_J, \dots \llbracket expr_n \rrbracket_J), \llbracket \langle exprA \rangle \rrbracket_J)$$
  - C++
 
$$\text{isSubset}(\text{buildSet}\langle \llbracket \text{Type} \rrbracket_C \rangle(n, \llbracket expr_1 \rrbracket_C, \dots \llbracket expr_n \rrbracket_C), \llbracket \langle exprA \rangle \rrbracket_C)$$
- $\langle set \rangle = \{expr_1^A, \dots, expr_n^A\}, \langle set \rangle = \{expr_1^B, \dots, expr_m^B\}$ 
  - DEVS-Suite:
 
$$\text{isSubset}(\text{buildSet}(\llbracket expr_1^A \rrbracket_J, \dots \llbracket expr_n^A \rrbracket_J), \text{buildSet}(\llbracket expr_1^B \rrbracket_J, \dots \llbracket expr_m^B \rrbracket_J))$$
  - C++
 
$$\text{isSubset}(\text{buildSet}\langle \llbracket \text{Type} \rrbracket_C \rangle(n, \llbracket expr_1^A \rrbracket_C, \dots \llbracket expr_n^A \rrbracket_C), \text{buildSet}\langle \llbracket \text{Type} \rrbracket_C \rangle(n, \llbracket expr_1^B \rrbracket_C, \dots \llbracket expr_m^B \rrbracket_C))$$

### B.5.5. Sentences “Where”

$\langle whereblock \rangle ::= \text{defwhere}$

```

    <sentence>
    {<sentence>}
    where
    [<definition>]
    [<synonyms>]
    {<sentence>}
    end defwhere

```

---

#### Where

```

[[defwhere
<sentencesA>
where
<definitions>
<synonyms>
<sentencesB>
end defwhere ]]

```

#### CODE:

- DEVS-Suite:
 

```

[[<definitions>]]J
[[<synonyms>]]J
[[<sentencesB>]]J
[[<sentencesA>]]J

```
- PowerDEVS:
 

```

[[<definitions>]]C
[[<synonyms>]]C
[[<sentencesB>]]C
[[<sentencesA>]]C

```

---

## B.6. Funciones definidas por el usuario

$\langle function \rangle ::= \text{function } \langle id \rangle \text{ is}$

```

    <id>:<type>{,<id>:<type>}→<id>:<Type>;
    [<definitions>]
    [<synonyms>]
    <sentence>;
    {<sentence>;}
    end function

```

**Function**  $\llbracket \langle function \rangle \rrbracket^F$ **CONTEXT:**

$\llbracket \langle id \rangle \rrbracket = [\text{funId}]$

$\langle id \rangle: \langle type \rangle \{, \langle id \rangle: \langle type \rangle \} \rightarrow \langle id \rangle: \langle Type \rangle = \text{var1: Type1}, \dots, \text{varn: Typen} \rightarrow \text{retVal: funType}$

**CODE:**

- DEVS-Suite:

```
public funType funId(Type1 var1, ..., Typen varn){
     $\llbracket \text{retVal: funType} \rrbracket^D$ 
     $\llbracket \langle definitions \rangle \rrbracket^D$  /*If any*/
     $\llbracket \langle sentence \rangle \rrbracket^S$ 
    :
     $\llbracket \langle sentence \rangle \rrbracket^S$ 
    return retVal;
}
```

- PowerDEVS:

- En la cabecera (archivo .h):

```
funType modeName::funId(Type1, ..., Typen);
```

- En el código fuente (archivo .cpp):

```
funType modeName::funId(Type1 var1, ..., Typen varn){
     $\llbracket \text{retVal: funType} \rrbracket^D$ 
     $\llbracket \langle definitions \rangle \rrbracket^D$  /*If any*/
     $\llbracket \langle sentence \rangle \rrbracket^S$ 
    :
     $\llbracket \langle sentence \rangle \rrbracket^S$ 
    return retVal;
}
```

**COMMENT:**

Si el tipo de la función no ha sido ya definido, definirlo.

## B.7. Código Java y Código C++

### B.7.1. Código Java (Expr)

**JAVA CODE Expr**

$\llbracket \langle expr \rangle \rrbracket_J$

**CONTEXT:**

$\text{TypeName}(\langle expr \rangle) = \text{TypeName}$

**CODE:**

Case  $\langle expr \rangle$  of:

- $\langle id \rangle = \text{"Name"}$ :

Name

- $\langle idComp \rangle = \langle id \rangle "." \langle digit \rangle \{ "." \langle digit \rangle \}$ :  
 $\llbracket \langle id \rangle \rrbracket_J . v \llbracket \langle digit \rangle \rrbracket_J . \dots . v \llbracket \langle digit \rangle \rrbracket_J$
- $\langle digit \rangle = "7"$ :  
7
- $\langle val \rangle = "value"$ :  
*Case*  $Type(\langle val \rangle)$  *of*:
  - $\mathbb{N} \mid \mathbb{Z} \mid \mathbb{R} \mid \text{Bool}$ :  
value
  - Text:  
" 'value' "
  - Time:
    - value =  $\infty$   
INFINITY
    - otherwise:  
value
  - $\langle enum \rangle = \text{value}$ :  
"value"
  - $\langle Type \rangle \cup \dots \cup \langle Type \rangle$ :  
new TypeName( $\llbracket \text{value} \rrbracket_C$ )
- $\sigma$ :  
sigma
- port:  
port
- value:  
value
- $\langle vals \rangle = (\text{expr}_1, \dots, \text{expr}_n)$ :  
TypeName( $\llbracket \text{expr}_1 \rrbracket_J, \dots, \llbracket \text{expr}_n \rrbracket_J$ ) %Contruye la variable
- $\langle set \rangle = \{ \text{expr}_1, \dots, \text{expr}_n \} \wedge Type(\langle set \rangle) = \mathbb{P} Type$ :  
buildSet( $\llbracket \text{expr}_1 \rrbracket_J, \dots, \llbracket \text{expr}_n \rrbracket_J$ )
- $\langle list \rangle = \langle \text{expr}_1, \dots, \text{expr}_n \rangle \wedge Type(\langle list \rangle) = \text{List Type}$ :  
buildList( $\llbracket \text{expr}_1 \rrbracket_J, \dots, \llbracket \text{expr}_n \rrbracket_J$ )
- $\langle operation \rangle = \langle unOp \rangle \langle operand \rangle$   
*Case*  $\langle unOp \rangle$  *of*:
  - $"_"$ :  
 $-(\llbracket \langle operand \rangle \rrbracket_J)$
  - $"rev"$ :  
listRev( $\llbracket \langle operand \rangle \rrbracket_J$ )

- “head”:  
`([[<operand>]]_J).get(0)`
- “last”:  
`([[<operand>]]_J).get(([[<operand>]]_J).size()-1)`
- “front”:  
`([[<operand>]]_J).subList(0, ([[<operand>]]_J).size()-2)`
- “tail”:  
`([[<operand>]]_J).subList(1, ([[<operand>]]_J).size()-1)`
- “#”:  
`([[<operand>]]_J).size()`
- “max”:  
`Collections.max([[<operand>]]_J)`
- “min”:  
`Collections.min([[<operand>]]_J)`
- $\langle operation \rangle = \langle operand1 \rangle \langle binOp \rangle \langle operand2 \rangle$   
Case  $\langle binOp \rangle$  of:
  - +:  
`([[<operand1>]]_J) + ([[<operand2>]]_J)`
  - -:  
`([[<operand1>]]_J) - ([[<operand2>]]_J)`
  - \*:  
`([[<operand1>]]_J) * ([[<operand2>]]_J)`
  - \:  
Case  $Type(\langle operand1 \rangle)$  of:
    - $\langle \mathbb{R} \rangle \mid \langle \mathbb{Z} \rangle \mid \langle \mathbb{N} \rangle$ :  
`([[<operand1>]]_J) \setminus ([[<operand2>]]_J)`
    - $\mathbb{P}$  Type:  
`setDiff([[<operand1>]]_J, [[<operand2>]]_J)`
  - $\hat{\cap}$ :  
`listCat([[<operand1>]]_J, [[<operand2>]]_J)`
  - $\cap$ :  
`setInter([[<operand1>]]_J, [[<operand2>]]_J)`
  - $\cup$ :  
`setUnion([[<operand1>]]_J, [[<operand2>]]_J)`
- $\langle mathFun \rangle = \langle funId \rangle (\langle parameter \rangle)$ :  
Case  $\langle funId \rangle$  of:
  - sin:  
`sin([[<parameter>]]_J)`
  - cos:  
`cos([[<parameter>]]_J)`

- tan:
  - tan( $\llbracket \langle parameter \rangle \rrbracket_J$ )
- arcsin:
  - asin( $\llbracket \langle parameter \rangle \rrbracket_J$ )
- arccos:
  - acos( $\llbracket \langle parameter \rangle \rrbracket_J$ )
- arctan:
  - atan( $\llbracket \langle parameter \rangle \rrbracket_J$ )
- log:
  - log( $\llbracket \langle parameter \rangle \rrbracket_J$ )
- sing:
  - singnum( $\llbracket \langle parameter \rangle \rrbracket_J$ )
- $\langle defFun \rangle = \text{funName}(\text{param1}, \dots, \text{paramn})$ :
  - funName( $\llbracket \text{param1} \rrbracket_J, \dots, \llbracket \text{paramn} \rrbracket_J$ )
- $\langle Type \rangle$ :
  - Case  $\langle Type \rangle$  of:
    - $\mathbb{N}$ :
      - Integer
    - $\mathbb{Z}$ :
      - Integer
    - $\mathbb{R} \mid \text{Time}$ :
      - Double
    - Text | Enum:
      - String
    - Boolean:
      - Boolean
    - $\langle synonym \rangle = \text{synName}$ :
      - T\_synName

## B.7.2. Código C++ (Expr)

### C++ CODE Expr

$\llbracket \langle expr \rangle \rrbracket_C$

#### CONTEXT:

TypeName( $\langle expr \rangle$ )=TypeName

#### CODE:

Case  $\langle expr \rangle$  of:

- $\langle id \rangle = \text{"Name"}$ :
  - Name
- $\langle idComp \rangle = \langle id \rangle \text{"."} \langle digit \rangle \{ \text{"."} \langle digit \rangle \}$ :
  - $\llbracket \langle id \rangle \rrbracket_C \cdot v \llbracket \langle digit \rangle \rrbracket_C \dots v \llbracket \langle digit \rangle \rrbracket_C$
- $\langle digit \rangle = \text{"7"}$ :

7

- $\langle val \rangle = \text{"value"}$ :  
*Case*  $Type(\langle val \rangle)$  *of*:
  - $\mathbb{N} \mid \mathbb{Z} \mid \mathbb{R} \mid \text{Bool}$ :  
`value`
  - `Text`:  
`'value'`
  - `Time`:
    - `value = ∞`  
`INFINITY`
    - `otherwise`:  
`value`
  - $\langle enum \rangle$ :  
`"value"`
  - $\langle Type \rangle \cup \dots \cup \langle Type \rangle$ :  
`TypeName(⟦value⟧C)`
- $\sigma$ :  
`sigma`
- `port`:  
`port`
- `value`:  
`value`
- $\langle vals \rangle = (\text{expr}_1, \dots, \text{expr}_n)$ :  
`TypeName(⟦expr1⟧C, ..., ⟦exprn⟧C)`
- $\langle set \rangle = \{\text{expr}_1, \dots, \text{expr}_n\} \wedge Type(\langle set \rangle) = \mathbb{P} Type$ :  
`buildSet<Type>(n, ⟦expr1⟧C, ..., ⟦exprn⟧C)`
- $\langle list \rangle = \langle \text{expr}_1, \dots, \text{expr}_n \rangle \wedge Type(\langle list \rangle) = \text{List } Type$ :  
`buildList<Type>(n, ⟦expr1⟧J, ..., ⟦exprn⟧J)`
- $\langle operation \rangle = \langle unOp \rangle \langle operand \rangle$   
*Case*  $\langle unOp \rangle$  *of*:
  - `"_"`:  
`-(⟦⟨operand⟩⟧C)`
  - `"rev"`:  
`listRev(⟦⟨operand⟩⟧C)`
  - `"head"`:  
`(⟦⟨operand⟩⟧C).front()`
  - `"last"`:  
`(⟦⟨operand⟩⟧C).back()`



- “front”:  
listFront( $\llbracket \langle operand \rangle \rrbracket_C$ )
- “tail”:  
listTail( $\llbracket \langle operand \rangle \rrbracket_C$ )
- “#”:  
( $\llbracket \langle operand \rangle \rrbracket_C$ ).size()
- “max”:  
Case Type( $\langle operand \rangle$ ) of:
  - $\mathbb{P}$  Type:  
setMax( $\llbracket \langle operand \rangle \rrbracket_C$ );
  - List Type:  
listMax( $\llbracket \langle operand \rangle \rrbracket_C$ );
- “min”:  
Case Type( $\langle operand \rangle$ ) of:
  - $\mathbb{P}$  Type:  
setMin( $\llbracket \langle operand \rangle \rrbracket_C$ );
  - List Type:  
listMin( $\llbracket \langle operand \rangle \rrbracket_C$ );
- $\langle operation \rangle = \langle operand1 \rangle \langle binOp \rangle \langle operand2 \rangle$   
Case  $\langle binOp \rangle$  of:
  - +:  
( $\llbracket \langle operand1 \rangle \rrbracket_C$ ) + ( $\llbracket \langle operand2 \rangle \rrbracket_C$ )
  - -:  
( $\llbracket \langle operand1 \rangle \rrbracket_C$ ) - ( $\llbracket \langle operand2 \rangle \rrbracket_C$ )
  - \*:  
( $\llbracket \langle operand1 \rangle \rrbracket_C$ ) \* ( $\llbracket \langle operand2 \rangle \rrbracket_C$ )
  - \:  
Case Type( $\langle operand1 \rangle$ ) of:
    - $\langle \mathbb{R} \rangle \mid \langle \mathbb{Z} \rangle \mid \langle \mathbb{N} \rangle$ :  
( $\llbracket \langle operand1 \rangle \rrbracket_C$ ) \ ( $\llbracket \langle operand2 \rangle \rrbracket_C$ )
    - $\mathbb{P}$  Type:  
setDiff( $\llbracket \langle operand1 \rangle \rrbracket_C$ , ( $\llbracket \langle operand2 \rangle \rrbracket_C$ )
  - $\hat{\cap}$ :  
listCat( $\llbracket \langle operand1 \rangle \rrbracket_C$ ,  $\llbracket \langle operand2 \rangle \rrbracket_C$ )
  - $\cap$ :  
setInter( $\llbracket \langle operand1 \rangle \rrbracket_C$ ,  $\llbracket \langle operand2 \rangle \rrbracket_C$ )
  - $\cup$ :  
setUnion( $\llbracket \langle operand1 \rangle \rrbracket_C$ ,  $\llbracket \langle operand2 \rangle \rrbracket_C$ )
- $\langle mathfun \rangle = \langle funId \rangle (\langle parameter \rangle)$ :  
Case  $\langle funId \rangle$  of:
  - sin:  
sin( $\llbracket \langle parameter \rangle \rrbracket_C$ )

- cos:  
cos( $\llbracket \langle parameter \rangle \rrbracket_C$ )
  - tan:  
tan( $\llbracket \langle parameter \rangle \rrbracket_C$ )
  - arcsin:  
asin( $\llbracket \langle parameter \rangle \rrbracket_C$ )
  - arccos:  
acos( $\llbracket \langle parameter \rangle \rrbracket_C$ )
  - arctan:  
atan( $\llbracket \langle parameter \rangle \rrbracket_C$ )
  - log:  
log( $\llbracket \langle parameter \rangle \rrbracket_C$ )
  - sing:  
( $((\llbracket \langle parameter \rangle \rrbracket_C) == 0.0) ? 0.0 : ((\llbracket \langle parameter \rangle \rrbracket_C) < 0.0) ? -1.0 : 1.0$ )
- $\langle defFun \rangle = \text{funName}(\text{param1}, \dots, \text{paramn})$ :  
funName( $\llbracket \text{param1} \rrbracket_C, \dots, \llbracket \text{paramn} \rrbracket_C$ )
  - $\langle Type \rangle$ :  
Case  $\langle Type \rangle$  of:
    - $\mathbb{N}$ :  
unsigned int
    - $\mathbb{Z}$ :  
int
    - $\mathbb{R}$  | Time:  
double
    - Text | Enum:  
string
    - Boolean:  
bool
    - $\langle synonym \rangle = \text{synName}$ :  
T\_synName

### B.7.3. Nombres

#### Name

$\llbracket \langle Type \rangle \rrbracket^N$

#### CODE:

Case  $\langle Type \rangle$  of:

- $\mathbb{N} | \mathbb{Z} | \mathbb{R} | \text{Time}$ :  
Number
- Text:  
Text
- Boolean:  
Boolean
- Enum:  
Enum
- $\langle synonym \rangle = \text{synName}$ :  
synName

## B.8. Funciones Auxiliar

---

### AUXILIARY FUNCTIONS

---

#### CODE:

##### ■ setUnion:

- DEVS-Suite:

```
public static <T> Set<T> setUnion(Set<T> setA, Set<T> setB){
    Set<T> union = new HashSet<T>(setA);
    union.addAll(setB);
    return union;
}
```

- PowerDEVS:

```
template <class T>
std::set<T> setUnion(std::set<T> setA,
                    std::set<T> setB){
    std::set<T> res;
    std::set_union(setA.begin(), setA.end(), setB.begin(),
                  setB.end(), inserter(res, res.begin()));
    return res;
}
```

##### ■ setInter:

- DEVS-Suite:

```
public static <T> Set<T> setInter(Set<T> setA, Set<T> setB){
    Set<T> inter = new HashSet<T>(setA);
    inter.retainAll(setB);
    return inter;
}
```

- PowerDEVS:

```
template <class T>
std::set<T> setInter(std::set<T> setA,
                    std::set<T> setB){
    std::set<T> res;
    std::set_intersection(setA.begin(),
                          setA.end(),
                          setB.begin(),
                          setB.end(),
                          inserter(res, res.begin()));
    return res;
}
```

##### ■ setDiff:

- DEVS-Suite:

```
public static <T> Set<T> setDiff(Set<T> setA, Set<T> setB){
    Set<T> diff = new HashSet<T>(setA);
    diff.removeAll(setB);
    return diff;
}
```

- PowerDEVS:

```
template <class T>
std::set<T> setDiff(std::set<T> setA,
                   std::set<T> setB){
    std::set<T> res;
    std::set_difference(setA.begin(), setA.end(),
                       setB.begin(), setB.end(),
                       inserter(res, res.begin()));
    return res;
}
```

##### ■ listCat:

- DEVS-Suite:

```
public static <T> List<T> listCat(List<T> listA, List<T> listB){
    List<T> cat = new ArrayList<T>(listA);
    cat.addAll(listB);
    return cat;
}
```

- PowerDEVS:

```
template <class T>
std::list<T> listCat(std::list<T> listA,
                   std::list<T> listB){
    std::list<T> res=listA;
    res.insert(res.end(),listB.begin(),listB.end());
    return res;
}
```

#### ■ listFront:

- PowerDEVS:

```
template <class T>
std::list<T> listFront(std::list<T> list){
    std::list<T> res=list;
    res.erase(--res.end());
    return res;
}
```

#### ■ listTail:

- PowerDEVS:

```
template <class T>
std::list<T> listTail(std::list<T> list){
    std::list<T> res=list;
    res.erase(res.begin());
    return res;
}
```

#### ■ listRev:

- DEVS-Suite:

```
public static <T> List<T> listRev(List<T> list){
    List<T> rev= new ArrayList<T>(list);
    Collections.reverse(rev);
    return rev;
}
```

- PowerDEVS:

```
template <class T>
std::list<T> listRev(std::list<T> list){
    std::list<T> res=list;
    res.reverse();
    return res;
}
```

#### ■ buildSet:

- DEVS-Suite:

```
public static <T> Set<T> buildSet(T ...elements){
    Set<T> set = new HashSet<T>(Arrays.asList(elements));
    return set;
}
```

- PowerDEVS:

```
template <class T>
std::set<T> buildSet(int n, ...){
    std::set<T> res;
    va_list vl;
    va_start(vl,n);
    for (int i=0; i<n; i++){
        T val=(T)(va_arg(vl,T));
        res.insert(val);
    }
    va_end(vl);
    return res;
}
```

#### ■ buildList:

- DEVS-Suite:

```
public static <T> List<T> buildList(T ...elements){
    List<T> list=new ArrayList<T>(Arrays.asList(elements));
    return list;
}
```

- PowerDEVS:

```
template <class T>
std::list<T> buildList(int n, ...){
    std::list<T> res;
    T val;
    va_list vl;
    va_start(vl,n);
    for (int i=0; i<n; i++){
        val=va_arg(vl,T);
        res.push_back(val);
    }
    va_end(vl);
    return res;
}
```

- isProperSubset:

- DEVS-Suite:

```
public static <T> Boolean isProperSubset(Set<T> setA,
                                       Set<T> setB){
    return setB.containsAll(setA) &&
           (setA).size()<(setB).size();
}
```

- PowerDEVS:

```
template <class T>
bool isProperSubset(std::set<T> setA,
                   std::set<T> setB){
    return std::includes(setB.begin(), setB.end(),
                        setA.begin(), setA.end())
           && setA.size()<setB.size();
}
```

- isSubset:

- DEVS-Suite:

```
public static <T> Boolean isSubset(Set<T> setA, Set<T> setB){
    return setB.containsAll(setA);
}
```

- PowerDEVS:

```
template <class T>
bool isSubset(std::set<T> setA,
              std::set<T> setB){
    return std::includes(setB.begin(), setB.end(),
                        setA.begin(), setA.end());
}
```

- isNat:

- DEVS-Suite:

```
public static Boolean isNat(Object var){
    if (var instanceof Integer)
        if ((Integer)var >=0) return true;
        else return false;
    else return false;
}
```

- PowerDEVS:

```
bool isNat(int var){
    return (var>0);
}
template <typename T> bool isNat(T var){
    return false;
}
```

- isInt:

- DEVS-Suite:

```
public static Boolean isInt(Object var){
    if (var instanceof Integer) return true;
    else return false;
}
```

- PowerDEVS:

```
template <typename T> bool isInt(T var){
    return (typeid(var)==typeid(int));
}
```

#### ■ isReal:

- DEVS-Suite:

```
public static Boolean isReal(Object var){
    if ((var instanceof Double)
        || (var instanceof Integer)) return true;
    else return false;
}
```

- PowerDEVS:

```
template <typename T> bool isReal(T var){
    return (typeid(var)==typeid(double)
        || typeid(var)==typeid(int));
}
```

#### ■ findInSet:

- PowerDEVS:

```
bool findInSet(std::set<const char*> s, const char* x){
    for (std::set<const char*>::iterator it = s.begin(); it != s.end(); it++){
        const char* elem = *it;
        if (strcmp(elem,x)==0) return true;
    }
    return false;
}
```

#### ■ toInteger:

- DEVS-Suite:

```
public static Integer toInteger(Object var){
    Integer res=null;
    if (var instanceof Integer){
        res=((Integer) var).intValue();
    }
    else if (var instanceof Double){
        res=((Double) var).intValue();
    }
    return res;
}
```

#### ■ toDouble:

- DEVS-Suite:

```
public static Double toDouble(Object var){
    Double res=null;
    if (var instanceof Integer){
        res=((Integer) var).doubleValue();
    }
    else if (var instanceof Double){
        res=((Double) var).doubleValue();
    }
    return res;
}
```

#### ■ setMin:

- PowerDEVS:

```
template <class T> T setMin(std::set<T> s){
    return *std::min_element(s.begin(), s.end());
}
```

#### ■ setMax:

- PowerDEVS:

```
template <class T> T setMax(std::set<T> s){
    return *std::min_element(s.begin(), s.end());
}
```

## ■ listMin:

- PowerDEVS:

```
template <class T> T listMin(std::set<T> l){  
    return *std::min_element(l.begin(), l.end());  
}
```

## ■ listMax:

- PowerDEVS:

```
template <class T> T listMax(std::list<T> l){  
    return *std::min_element(l.begin(), l.end());  
}
```

---

# Apéndice C

## SCCs generadas para el Ascensor

### C.1. Funciones de transición definidas por casos

- $IniSt_1 = \{s : s \in S \mid eng = \text{stopped} \wedge fc = \emptyset\}$ ,  
 $InPairs_1 = \{((in, n), t) : n \in \mathbb{N}, t \in \mathbb{R}_0^+ \mid n \neq f\}$
- $IniSt_2 = \{s : s \in S \mid eng = \text{up}\}$ ,  
 $InPairs_2 = \{((in, \text{fsig}), t) : t \in \mathbb{R}_0^+\}$
- $IniSt_3 = \{s : s \in S \mid eng = \text{down}\}$ ,  
 $InPairs_3 = \{((in, \text{fsig}), t) : t \in \mathbb{R}_0^+\}$
- $IniSt_4 = \{s : s \in S \mid eng = \text{stopped}\}$ ,  
 $InPairs_4 = \{((in, \text{ds}_{\text{on}}), t) : t \in \mathbb{R}_0^+\}$
- $IniSt_5 = \{s : s \in S \mid eng \neq \text{stopped}\}$ ,  
 $InPairs_5 = \{((in, \text{ds}_{\text{on}}), t) : t \in \mathbb{R}_0^+\}$
- $IniSt_6 = \{s : s \in S \mid d = \text{open} \wedge fc \neq \emptyset \wedge ws = 0 \wedge sw = 0\}$ ,  
 $InPairs_6 = \{((in, \text{ds}_{\text{off}}), t) : t \in \mathbb{R}_0^+\}$
- $IniSt_7 = \{s : s \in S \mid d \neq \text{open} \vee fc = \emptyset \vee ws = 1 \vee sw = 1\}$ ,  
 $InPairs_7 = \{((in, \text{ds}_{\text{off}}), t) : t \in \mathbb{R}_0^+\}$
- $IniSt_8 = \{s : s \in S \mid eng = \text{stopped}\}$ ,  
 $InPairs_8 = \{((in, \text{ws}_{\text{on}}), t) : t \in \mathbb{R}_0^+\}$
- $IniSt_9 = \{s : s \in S \mid eng \neq \text{stopped}\}$ ,  
 $InPairs_9 = \{((in, \text{ws}_{\text{on}}), t) : t \in \mathbb{R}_0^+\}$
- $IniSt_{10} = \{s : s \in S \mid fc \neq \emptyset \wedge d = \text{open}\}$ ,  
 $InPairs_{10} = \{((in, \text{ws}_{\text{off}}), t) : t \in \mathbb{R}_0^+\}$
- $IniSt_{11} = \{s : s \in S \mid fc = \emptyset \vee d \neq \text{open}\}$ ,  
 $InPairs_{11} = \{((in, \text{ws}_{\text{off}}), t) : t \in \mathbb{R}_0^+\}$
- $IniSt_{12} = \{s : s \in S\}$ ,  
 $InPairs_{12} = \{(s_{\text{on}}, t) : t \in \mathbb{R}_0^+\}$
- $IniSt_{13} = \{s : s \in S \mid d = \text{open} \wedge fc \neq \emptyset \wedge fc \neq f\}$ ,  
 $InPairs_{13} = \{((in, s_{\text{off}}), t) : t \in \mathbb{R}_0^+\}$
- $IniSt_{14} = \{s : s \in S \mid fc = \emptyset\}$ ,  
 $InPairs_{14} = \{(s_{\text{off}}, t) : t \in \mathbb{R}_0^+\}$
- $IniSt_{15} = \{s : s \in S \mid fc \neq \emptyset \wedge d = \text{closed}\}$ ,  
 $InPairs_{15} = \{((in, s_{\text{off}}), t) : t \in \mathbb{R}_0^+\}$
- $IniSt_{16} = \{s : s \in S \mid d = \text{closing}\}$ ,  
 $InPairs_{16} = \{((in, \text{od}_{\text{press}}), t) : t \in \mathbb{R}_0^+\}$
- $IniSt_{17} = \{s : s \in S \mid d = \text{open} \wedge fc \neq \emptyset \wedge ds = 0 \wedge ws = 0 \wedge sw = 0\}$ ,  
 $InPairs_{17} = \{((in, \text{cd}_{\text{press}}), t) : t \in \mathbb{R}_0^+\}$
- $IniSt_{18} = \{s : s \in S \mid nt = O \wedge eng \neq \text{stopped} \wedge f = fc \wedge f \neq 0\}$ ,  
 $InPairs_{18} = \{(\tau, 0)\}$
- $IniSt_{19} = \{s : s \in S \mid nt = O \wedge eng \neq \text{stopped} \wedge f = fc \wedge f = 0\}$ ,  
 $InPairs_{19} = \{(\tau, 0)\}$
- $IniSt_{20} = \{s : s \in S \mid nt = O \wedge eng \neq \text{stopped} \wedge f \neq fc\}$ ,  
 $InPairs_{20} = \{(\tau, 0)\}$
- $IniSt_{21} = \{s : s \in S \mid nt = O \wedge sw = 1 \wedge eng \neq \text{stopped}\}$ ,  
 $InPairs_{21} = \{(\tau, 0)\}$
- $IniSt_{22} = \{s : s \in S \mid nt = O \wedge sw = 1 \wedge eng = \text{stopped}\}$ ,  
 $InPairs_{22} = \{(\tau, 0)\}$
- $IniSt_{23} = \{s : s \in S \mid nt = O \wedge ds = 0 \wedge ws = 0 \wedge sw = 0 \wedge d = \text{closed} \wedge fc \neq \emptyset \wedge fc > f\}$ ,  
 $InPairs_{23} = \{(\tau, 0)\}$
- $IniSt_{24} = \{s : s \in S \mid nt = O \wedge ds = 0 \wedge ws = 0 \wedge sw = 0 \wedge d = \text{closed} \wedge fc \neq \emptyset \wedge fc < f\}$ ,  
 $InPairs_{24} = \{(\tau, 0)\}$



- $IniSt_{25} = \{s : s \in S \mid nt = O \wedge ds = 0 \wedge ws = 0 \wedge sw = 0 \wedge d = \text{open} \wedge fc \neq \emptyset\}$   
 $InPairs_{25} = \{(\tau, 0)\}$
- $IniSt_{26} = \{s : s \in S \mid nt = O \wedge ds = 0 \wedge ws = 0 \wedge sw = 0 \wedge fc = \emptyset\}$   
 $InPairs_{26} = \{(\tau, 0)\}$
- $IniSt_{27} = \{s : s \in S \mid nt = O \wedge d = \text{closing}\}$   
 $InPairs_{27} = \{(\tau, 0)\}$
- $IniSt_{28} = \{s : s \in S \mid nt = D_1 \wedge ds = 0 \wedge ws = 0 \wedge sw = 0\}$   
 $InPairs_{28} = \{(\tau, 0)\}$
- $IniSt_{29} = \{s : s \in S \mid nt = D_1 \wedge \neg(ds = 0 \wedge ws = 0 \wedge sw = 0)\}$   
 $InPairs_{29} = \{(\tau, 0)\}$
- $IniSt_{30} = \{s : s \in S \mid nt = D_2 \wedge ds = 0 \wedge ws = 0 \wedge sw = 0 \wedge fc > f\}$   
 $InPairs_{30} = \{(\tau, 0)\}$
- $IniSt_{31} = \{s : s \in S \mid nt = D_2 \wedge ds = 0 \wedge ws = 0 \wedge sw = 0 \wedge fc < f\}$   
 $InPairs_{31} = \{(\tau, 0)\}$
- $IniSt_{32} = \{s : s \in S \mid nt = D_2 \wedge \neg(ds = 0 \wedge ws = 0 \wedge sw = 0)\}$   
 $InPairs_{32} = \{(\tau, 0)\}$
- $IniSt_{33} = \{s : s \in S \mid nt = A\}$   
 $InPairs_{33} = \{(\tau, 0)\}$
- $IniSt_{34} = \{s : s \in S \mid nt = GF \wedge f \neq 0 \wedge fc \neq \emptyset \wedge d = \text{open} \wedge ds = 0 \wedge ws = 0 \wedge sw = 0\}$   
 $InPairs_{34} = \{(\tau, 0)\}$
- $IniSt_{35} = \{s : s \in S \mid nt = GF \wedge f \neq 0 \wedge fc \neq \emptyset \wedge d = \text{open} \wedge \neg(ds = 0 \wedge ws = 0 \wedge sw = 0)\}$   
 $InPairs_{35} = \{(\tau, 0)\}$

## C.2. Conjuntos definidos por extensión

- $IniSt_{36} = \{s : s \in S\},$   
 $InPairs_{36} = \{((in, n), t) : n \in \mathbb{N}, t \in \mathbb{R}_0^+\}$
- $IniSt_{37} = \{s : s \in S\},$   
 $InPairs_{37} = \{((in, \text{fsig}), t) : t \in \mathbb{R}_0^+\}$
- $IniSt_{38} = \{s : s \in S\},$   
 $InPairs_{38} = \{((in, \text{ws}_{\text{on}}), t) : t \in \mathbb{R}_0^+\}$
- $IniSt_{39} = \{s : s \in S\},$   
 $InPairs_{39} = \{((in, \text{ws}_{\text{off}}), t) : t \in \mathbb{R}_0^+\}$
- $IniSt_{40} = \{s : s \in S\},$   
 $InPairs_{40} = \{((in, \text{ds}_{\text{on}}), t) : t \in \mathbb{R}_0^+\}$
- $IniSt_{41} = \{s : s \in S\},$   
 $InPairs_{41} = \{((in, \text{ds}_{\text{off}}), t) : t \in \mathbb{R}_0^+\}$
- $IniSt_{42} = \{s : s \in S\},$   
 $InPairs_{42} = \{((in, \text{od}_{\text{press}}), t) : t \in \mathbb{R}_0^+\}$
- $IniSt_{43} = \{s : s \in S\},$   
 $InPairs_{43} = \{((in, \text{cd}_{\text{press}}), t) : t \in \mathbb{R}_0^+\}$
- $IniSt_{44} = \{s : s \in S\},$   
 $InPairs_{44} = \{((in, \text{s}_{\text{on}}), t) : t \in \mathbb{R}_0^+\}$
- $IniSt_{45} = \{s : s \in S\},$   
 $InPairs_{45} = \{((in, \text{s}_{\text{off}}), t) : t \in \mathbb{R}_0^+\}$
- $IniSt_{46} = \{s : s \in S \mid \text{eng} = \text{up}\},$   
 $InPairs_{46} = \{(x, t) : x \in X \cup \{\tau\}, t \in \mathbb{R}_0^+\}$
- $IniSt_{47} = \{s : s \in S \mid \text{eng} = \text{down}\},$   
 $InPairs_{47} = \{(x, t) : x \in X \cup \{\tau\}, t \in \mathbb{R}_0^+\}$
- $IniSt_{48} = \{s : s \in S \mid \text{eng} = \text{stopped}\},$   
 $InPairs_{48} = \{(x, t) : x \in X \cup \{\tau\}, t \in \mathbb{R}_0^+\}$
- $IniSt_{49} = \{s : s \in S \mid d = \text{open}\},$   
 $InPairs_{49} = \{(x, t) : x \in X \cup \{\tau\}, t \in \mathbb{R}_0^+\}$
- $IniSt_{50} = \{s : s \in S \mid d = \text{closed}\},$   
 $InPairs_{50} = \{(x, t) : x \in X \cup \{\tau\}, t \in \mathbb{R}_0^+\}$
- $IniSt_{51} = \{s : s \in S \mid d = \text{closing}\},$   
 $InPairs_{51} = \{(x, t) : x \in X \cup \{\tau\}, t \in \mathbb{R}_0^+\}$
- $IniSt_{52} = \{s : s \in S \mid ws = 0\},$   
 $InPairs_{52} = \{(x, t) : x \in X \cup \{\tau\}, t \in \mathbb{R}_0^+\}$
- $IniSt_{53} = \{s : s \in S \mid ws = 1\},$   
 $InPairs_{53} = \{(x, t) : x \in X \cup \{\tau\}, t \in \mathbb{R}_0^+\}$
- $IniSt_{54} = \{s : s \in S \mid ds = 0\},$   
 $InPairs_{54} = \{(x, t) : x \in X \cup \{\tau\}, t \in \mathbb{R}_0^+\}$
- $IniSt_{55} = \{s : s \in S \mid ds = 1\},$   
 $InPairs_{55} = \{(x, t) : x \in X \cup \{\tau\}, t \in \mathbb{R}_0^+\}$
- $IniSt_{56} = \{s : s \in S \mid a = 0\},$   
 $InPairs_{56} = \{(x, t) : x \in X \cup \{\tau\}, t \in \mathbb{R}_0^+\}$
- $IniSt_{57} = \{s : s \in S \mid a = 1\},$   
 $InPairs_{57} = \{(x, t) : x \in X \cup \{\tau\}, t \in \mathbb{R}_0^+\}$
- $IniSt_{58} = \{s : s \in S \mid sw = 0\},$   
 $InPairs_{58} = \{(x, t) : x \in X \cup \{\tau\}, t \in \mathbb{R}_0^+\}$
- $IniSt_{59} = \{s : s \in S \mid sw = 1\},$   
 $InPairs_{59} = \{(x, t) : x \in X \cup \{\tau\}, t \in \mathbb{R}_0^+\}$

- $IniSt_{60} = \{s : s \in S \mid fc = n \in \mathbb{N}\},$   
 $InPairs_{60} = \{(x, t) : x \in X \cup \{\tau\}, t \in \mathbb{R}_0^+\}$
- $IniSt_{61} = \{s : s \in S \mid fc = \emptyset\},$   
 $InPairs_{61} = \{(x, t) : x \in X \cup \{\tau\}, t \in \mathbb{R}_0^+\}$
- $IniSt_{62} = \{s : s \in S \mid nt = \mathbf{A}\},$   
 $InPairs_{62} = \{(x, t) : x \in X \cup \{\tau\}, t \in \mathbb{R}_0^+\}$
- $IniSt_{63} = \{s : s \in S \mid nt = \mathbf{D}_1\},$   
 $InPairs_{63} = \{(x, t) : x \in X \cup \{\tau\}, t \in \mathbb{R}_0^+\}$
- $IniSt_{64} = \{s : s \in S \mid nt = \mathbf{D}_2\},$   
 $InPairs_{64} = \{(x, t) : x \in X \cup \{\tau\}, t \in \mathbb{R}_0^+\}$
- $IniSt_{65} = \{s : s \in S \mid nt = \mathbf{GF}\},$   
 $InPairs_{65} = \{(x, t) : x \in X \cup \{\tau\}, t \in \mathbb{R}_0^+\}$
- $IniSt_{66} = \{s : s \in S \mid nt = \mathbf{O}\},$   
 $InPairs_{66} = \{(x, t) : x \in X \cup \{\tau\}, t \in \mathbb{R}_0^+\}$

### C.3. Particiones estándar

- $IniSt_{67} = \{s : s \in S \mid nt = \mathbf{O} \wedge ds = 0 \wedge ws = 0 \wedge sw = 0 \wedge d = \text{closed} \wedge fc \neq \emptyset \wedge fc = f \wedge f = 0\},$   
 $InPairs_{67} = \{(\tau, 0)\}$
- $IniSt_{68} = \{s : s \in S \mid nt = \mathbf{O} \wedge ds = 0 \wedge ws = 0 \wedge sw = 0 \wedge d = \text{closed} \wedge fc \neq \emptyset \wedge fc = f \wedge f > 0\},$   
 $InPairs_{68} = \{(\tau, 0)\}$
- $IniSt_{69} = \{s : s \in S \mid nt = \mathbf{O} \wedge ds = 0 \wedge ws = 0 \wedge sw = 0 \wedge d = \text{closed} \wedge fc \neq \emptyset \wedge fc < f \wedge fc > 0\},$   
 $InPairs_{69} = \{(\tau, 0)\}$
- $IniSt_{70} = \{s : s \in S \mid nt = \mathbf{O} \wedge ds = 0 \wedge ws = 0 \wedge sw = 0 \wedge d = \text{closed} \wedge fc \neq \emptyset \wedge fc > f \wedge f > 0\},$   
 $InPairs_{70} = \{(\tau, 0)\}$
- $IniSt_{71} = \{s : s \in S \mid nt = \mathbf{O} \wedge ds = 0 \wedge ws = 0 \wedge sw = 0 \wedge d = \text{closed} \wedge fc \neq \emptyset \wedge fc < f \wedge fc = 0\},$   
 $InPairs_{71} = \{(\tau, 0)\}$
- $IniSt_{72} = \{s : s \in S \mid nt = \mathbf{O} \wedge ds = 0 \wedge ws = 0 \wedge sw = 0 \wedge d = \text{closed} \wedge fc \neq \emptyset \wedge fc > f \wedge f = 0\},$   
 $InPairs_{72} = \{(\tau, 0)\}$
- $IniSt_{73} = \{s : s \in S \mid nt = \mathbf{D}_2 \wedge ds = 0 \wedge ws = 0 \wedge sw = 0 \wedge fc = f \wedge f = 0\},$   
 $InPairs_{73} = \{(\tau, 0)\}$
- $IniSt_{74} = \{s : s \in S \mid nt = \mathbf{D}_2 \wedge ds = 0 \wedge ws = 0 \wedge sw = 0 \wedge fc = f \wedge f > 0\},$   
 $InPairs_{74} = \{(\tau, 0)\}$
- $IniSt_{75} = \{s : s \in S \mid nt = \mathbf{D}_2 \wedge ds = 0 \wedge ws = 0 \wedge sw = 0 \wedge fc < f \wedge fc > 0\},$   
 $InPairs_{75} = \{(\tau, 0)\}$
- $IniSt_{76} = \{s : s \in S \mid nt = \mathbf{D}_2 \wedge ds = 0 \wedge ws = 0 \wedge sw = 0 \wedge fc > f \wedge f > 0\},$   
 $InPairs_{76} = \{(\tau, 0)\}$
- $IniSt_{77} = \{s : s \in S \mid nt = \mathbf{D}_2 \wedge ds = 0 \wedge ws = 0 \wedge sw = 0 \wedge fc < f \wedge fc = 0\},$   
 $InPairs_{77} = \{(\tau, 0)\}$
- $IniSt_{78} = \{s : s \in S \mid nt = \mathbf{D}_2 \wedge ds = 0 \wedge ws = 0 \wedge sw = 0 \wedge fc > f \wedge f = 0\},$   
 $InPairs_{78} = \{(\tau, 0)\}$

### C.4. Particiones del tiempo

- $IniSt_{79} = \{s : s \in S\}$   
 $InPairs_{79} = \{(x, 0) : x \in X \cup \{\tau\}\}$
- $IniSt_{80} = \{s : s \in S\}$   
 $InPairs_{80} = \{(x, t) : x \in X \cup \{\tau\}, t \in \mathbb{R}_0^+ \wedge 0 < t < \mathbf{T}_{D_1}\}$
- $IniSt_{81} = \{s : s \in S\}$   
 $InPairs_{81} = \{(x, \mathbf{T}_{D_1}) : x \in X \cup \{\tau\}\}$
- $IniSt_{82} = \{s : s \in S\}$   
 $InPairs_{82} = \{(x, t) : x \in X \cup \{\tau\}, t \in \mathbb{R}_0^+ \wedge \mathbf{T}_{D_1} < t < \mathbf{T}_{D_2}\}$
- $IniSt_{83} = \{s : s \in S\}$   
 $InPairs_{83} = \{(x, \mathbf{T}_{D_2}) : x \in X \cup \{\tau\}\}$
- $IniSt_{84} = \{s : s \in S\}$   
 $InPairs_{84} = \{(x, t) : x \in X \cup \{\tau\}, t \in \mathbb{R}_0^+ \wedge \mathbf{T}_{D_2} < t < \mathbf{T}_A\}$
- $IniSt_{85} = \{s : s \in S\}$   
 $InPairs_{85} = \{(x, \mathbf{T}_A) : x \in X \cup \{\tau\}\}$
- $IniSt_{86} = \{s : s \in S\}$   
 $InPairs_{86} = \{(x, t) : x \in X \cup \{\tau\}, t \in \mathbb{R}_0^+ \wedge \mathbf{T}_A < t < \mathbf{T}_{GF}\}$
- $IniSt_{87} = \{s : s \in S\}$   
 $InPairs_{87} = \{(x, \mathbf{T}_{GF}) : x \in X \cup \{\tau\}\}$
- $IniSt_{88} = \{s : s \in S\}$   
 $InPairs_{88} = \{(x, t) : x \in X \cup \{\tau\}, t \in \mathbb{R}_0^+ \wedge t > \mathbf{T}_{GF}\}$



# Apéndice D

## SCCs generadas para la máquina expendedora de gaseosas

### D.1. Funciones de transición definidas por casos

- $IniSt_1 = \{s : s \in S \mid m \in \{\text{idle}, \text{operating}\}\},$   
 $InPairs_1 = \{((in, c), t) : c \in \{100, 50, 25\}, t \in \mathbb{R}_0^+\}$
- $IniSt_2 = \{s : s \in S \mid d \geq np\},$   
 $InPairs_2 = \{((in, \text{getNormal}), t) \mid t \in \mathbb{R}_0^+\}$
- $IniSt_3 = \{s : s \in S \mid d \geq dp\},$   
 $InPairs_3 = \{((in, \text{getDiet}), t) \mid t \in \mathbb{R}_0^+\}$
- $IniSt_4 = \{s : s \in S\},$   
 $InPairs_4 = \{((in, \text{cancel}), t) \mid t \in \mathbb{R}_0^+\}$
- $IniSt_5 = \{s : s \in S\},$   
 $InPairs_5 = \{((in, \text{moneyRetreated}), t) \mid t \in \mathbb{R}_0^+\}$
- $IniSt_6 = \{s : s \in S \mid m = \text{operating} \wedge ot < it\},$   
 $InPairs_6 = \{(\tau, 0)\}$
- $IniSt_7 = \{s : s \in S \mid m = \text{finishOp} \wedge ot < it\},$   
 $InPairs_7 = \{(\tau, 0)\}$
- $IniSt_8 = \{s : s \in S \mid m = \text{cancelOp} \wedge ot < it\},$   
 $InPairs_8 = \{(\tau, 0)\}$
- $IniSt_9 = \{s : s \in S \mid m = \text{waitRetChange} \wedge ot < it\},$   
 $InPairs_9 = \{(\tau, 0)\}$
- $IniSt_{10} = \{s : s \in S \mid m = \text{idle} \wedge ot < it\},$   
 $InPairs_{10} = \{(\tau, 0)\}$
- $IniSt_{11} = \{s : s \in S \mid m = \text{idle} \wedge it \leq ot\},$   
 $InPairs_{11} = \{(\tau, 0)\}$

### D.2. Particiones estándar

- $IniSt_{12} = \{s : s \in S \mid d = np = 0\},$   
 $InPairs_{12} = \{(x, t) : x \in X \cup \{\tau\}, t \in \mathbb{R}_0^+\}$
- $IniSt_{13} = \{s : s \in S \mid d > 0 \wedge np = 0\},$   
 $InPairs_{13} = \{(x, t) : x \in X \cup \{\tau\}, t \in \mathbb{R}_0^+\}$
- $IniSt_{14} = \{s : s \in S \mid d = 0 \wedge np > 0\},$   
 $InPairs_{14} = \{(x, t) : x \in X \cup \{\tau\}, t \in \mathbb{R}_0^+\}$
- $IniSt_{15} = \{s : s \in S \mid d > 0 \wedge np > 0\},$   
 $InPairs_{15} = \{(x, t) : x \in X \cup \{\tau\}, t \in \mathbb{R}_0^+\}$
- $IniSt_{16} = \{s : s \in S \mid d = dp = 0\},$   
 $InPairs_{16} = \{(x, t) : x \in X \cup \{\tau\}, t \in \mathbb{R}_{+0}\}$
- $IniSt_{17} = \{s : s \in S \mid d > 0 \wedge dp = 0\},$   
 $InPairs_{17} = \{(x, t) : x \in X \cup \{\tau\}, t \in \mathbb{R}_{+0}\}$
- $IniSt_{18} = \{s : s \in S \mid d = 0 \wedge dp > 0\},$   
 $InPairs_{18} = \{(x, t) : x \in X \cup \{\tau\}, t \in \mathbb{R}_{+0}\}$
- $IniSt_{19} = \{s : s \in S \mid d > 0 \wedge dp > 0\},$   
 $InPairs_{19} = \{(x, t) : x \in X \cup \{\tau\}, t \in \mathbb{R}_{+0}\}$
- $IniSt_{20} = \{s : s \in S \mid d = np = 0\},$   
 $InPairs_{20} = \{(x, t) : x \in X \cup \{\tau\}, t \in \mathbb{R}_0^+\}$
- $IniSt_{21} = \{s : s \in S \mid d = np \wedge np > 0\},$   
 $InPairs_{21} = \{(x, t) : x \in X \cup \{\tau\}, t \in \mathbb{R}_0^+\}$

- $IniSt_{22} = \{s : s \in S \mid 0 < d < np\}$ ,  
 $InPairs_{22} = \{(x, t) : x \in X \cup \{\tau\}, t \in \mathbb{R}_0^+\}$
  - $IniSt_{23} = \{s : s \in S \mid 0 < np < d\}$ ,  
 $InPairs_{23} = \{(x, t) : x \in X \cup \{\tau\}, t \in \mathbb{R}_0^+\}$
  - $IniSt_{24} = \{s : s \in S \mid d = dp = 0\}$ ,  
 $InPairs_{24} = \{(x, t) : x \in X \cup \{\tau\}, t \in \mathbb{R}_0^+\}$
  - $IniSt_{25} = \{s : s \in S \mid d = dp \wedge dp > 0\}$ ,  
 $InPairs_{25} = \{(x, t) : x \in X \cup \{\tau\}, t \in \mathbb{R}_0^+\}$
  - $IniSt_{26} = \{s : s \in S \mid 0 < d < dp\}$ ,  
 $InPairs_{26} = \{(x, t) : x \in X \cup \{\tau\}, t \in \mathbb{R}_0^+\}$
  - $IniSt_{27} = \{s : s \in S \mid 0 < dp < d\}$ ,  
 $InPairs_{27} = \{(x, t) : x \in X \cup \{\tau\}, t \in \mathbb{R}_0^+\}$
  - $IniSt_{28} = \{s : s \in S \mid d = 0\}$ ,  
 $InPairs_{28} = \{(x, t) : x \in X \cup \{\tau\}, t \in \mathbb{R}_0^+\}$
- Para la operación  $d \circ (coins1d, coins50c, coins25c)$  existen 351 SCCs. aquí solo mostramos algunas de ellas:
- $IniSt_{29} = \{s : s \in S \mid 0 < d < coins1d \wedge coins25c = d - coins1d' - coins50c' = 0\}$ ,  
 $InPairs_{29} = \{(x, t) : x \in X \cup \{\tau\}, t \in \mathbb{R}_0^+\}$
  - $IniSt_{30} = \{s : s \in S \mid coins1d < d = 1 \wedge 0 < coins25c < d - coins1d' - coins50c'\}$ ,  
 $InPairs_{30} = \{(x, t) : x \in X \cup \{\tau\}, t \in \mathbb{R}_0^+\}$
  - $IniSt_{31} = \{s : s \in S \mid 1 < d < coins1d \wedge 0.50 < d - coins1d' < coins50c'\}$ ,  
 $InPairs_{31} = \{(x, t) : x \in X \cup \{\tau\}, t \in \mathbb{R}_0^+\}$
  - $IniSt_{32} = \{s : s \in S \mid d > 0 \wedge coins1d = coins50c = coins25c = 0\}$ ,  
 $InPairs_{32} = \{(x, t) : x \in X \cup \{\tau\}, t \in \mathbb{R}_0^+\}$

### D.3. Conjuntos definidos por extensión

- $IniSt_{33} = \{s : s \in S \mid m = \text{idle}\}$ ,  
 $InPairs_{33} = \{(x, t) : x \in X \cup \{\tau\}, t \in \mathbb{R}_0^+\}$
- $IniSt_{34} = \{s : s \in S \mid m = \text{operating}\}$ ,  
 $InPairs_{34} = \{(x, t) : x \in X \cup \{\tau\}, t \in \mathbb{R}_0^+\}$
- $IniSt_{35} = \{s : s \in S \mid m = \text{finishOp}\}$ ,  
 $InPairs_{35} = \{(x, t) : x \in X \cup \{\tau\}, t \in \mathbb{R}_0^+\}$
- $IniSt_{36} = \{s : s \in S \mid m = \text{cancelOp}\}$ ,  
 $InPairs_{36} = \{(x, t) : x \in X \cup \{\tau\}, t \in \mathbb{R}_0^+\}$
- $IniSt_{37} = \{s : s \in S \mid m = \text{waitRetChange}\}$ ,  
 $InPairs_{37} = \{(x, t) : x \in X \cup \{\tau\}, t \in \mathbb{R}_0^+\}$
- $IniSt_{38} = \{s : s \in S\}$ ,  
 $InPairs_{38} = \{(in, 25), t) : t \in \mathbb{R}_0^+\}$
- $IniSt_{39} = \{s : s \in S\}$ ,  
 $InPairs_{39} = \{(in, 50), t) : t \in \mathbb{R}_0^+\}$
- $IniSt_{40} = \{s : s \in S\}$ ,  
 $InPairs_{40} = \{(in, 100), t) : t \in \mathbb{R}_0^+\}$
- $IniSt_{41} = \{s : s \in S\}$ ,  
 $InPairs_{41} = \{(in, \text{getNormal}), t) : t \in \mathbb{R}_0^+\}$
- $IniSt_{42} = \{s : s \in S\}$ ,  
 $InPairs_{42} = \{(in, \text{getDiet}), t) : t \in \mathbb{R}_0^+\}$
- $IniSt_{43} = \{s : s \in S\}$ ,  
 $InPairs_{43} = \{(in, \text{cancel}), t) : t \in \mathbb{R}_0^+\}$
- $IniSt_{44} = \{s : s \in S\}$ ,  
 $InPairs_{44} = \{(in, \text{moneyRetreated}), t) : t \in \mathbb{R}_0^+\}$

### D.4. Particiones del tiempo

- $IniSt_{45} = \{s : s \in S\}$ ,  
 $InPairs_{45} = \{(\tau, 0)\}$
- $IniSt_{46} = \{s : s \in S \mid it > 0\}$ ,  
 $InPairs_{46} = \{(x, t) : x \in X \cup \{\tau\}, t \in \mathbb{R}_0^+ \wedge 0 < t < it\}$
- $IniSt_{47} = \{s : s \in S \mid it > 0\}$ ,  
 $InPairs_{47} = \{(x, it) : x \in X \cup \{\tau\}\}$
- $IniSt_{48} = \{s : s \in S\}$ ,  
 $InPairs_{48} = \{(x, t) : x \in X \cup \{\tau\}, t \in \mathbb{R}_0^+ \mid t > it\}$
- $IniSt_{49} = \{s : s \in S \mid ot > 0\}$ ,  
 $InPairs_{49} = \{(x, t) : x \in X \cup \{\tau\}, t \in \mathbb{R}_0^+ \wedge 0 < t < ot\}$
- $IniSt_{50} = \{s : s \in S \mid ot > 0\}$ ,  
 $InPairs_{50} = \{(x, ot) : x \in X \cup \{\tau\}\}$
- $IniSt_{51} = \{s : s \in S\}$ ,  
 $InPairs_{51} = \{(x, t) : x \in X \cup \{\tau\}, t \in \mathbb{R}_0^+ \mid t > ot\}$
- $IniSt_{52} = \{s : s \in S \mid 0 < it < ot\}$ ,  
 $InPairs_{52} = \{(x, t) : x \in X \cup \{\tau\}, t \in \mathbb{R}_0^+ \wedge 0 < t < it\}$

- $IniSt_{53} = \{s : s \in S \mid 0 < it < ot\},$   
 $InPairs_{53} = \{(x, it) : x \in X \cup \{\tau\}\}$
- $IniSt_{54} = \{s : s \in S \mid 0 < it < ot\},$   
 $InPairs_{54} = \{(x, t) : x \in X \cup \{\tau\}, t \in \mathbb{R}_0^+ \wedge it < t < ot\}$
- $IniSt_{55} = \{s : s \in S \mid 0 < it < ot\},$   
 $InPairs_{55} = \{(x, ot) : x \in X \cup \{\tau\}\}$
- $IniSt_{56} = \{s : s \in S \mid 0 < it < ot\},$   
 $InPairs_{56} = \{(x, t) : x \in X \cup \{\tau\}, t \in \mathbb{R}_0^+ \mid t > ot\}$
- $IniSt_{57} = \{s : s \in S \mid 0 < ot < it\},$   
 $InPairs_{57} = \{(x, t) : x \in X \cup \{\tau\}, t \in \mathbb{R}_0^+ \wedge 0 < t < ot\}$
- $IniSt_{58} = \{s : s \in S \mid 0 < ot < it\},$   
 $InPairs_{58} = \{(x, ot) : x \in X \cup \{\tau\}\}$
- $IniSt_{59} = \{s : s \in S \mid 0 < ot < it\},$   
 $InPairs_{59} = \{(x, t) : x \in X \cup \{\tau\}, t \in \mathbb{R}_0^+ \wedge ot < t < it\}$
- $IniSt_{60} = \{s : s \in S \mid 0 < ot < it\},$   
 $InPairs_{60} = \{(x, it) : x \in X \cup \{\tau\}\}$
- $IniSt_{61} = \{s : s \in S \mid 0 < ot < it\},$   
 $InPairs_{61} = \{(x, t) : x \in X \cup \{\tau\}, t \in \mathbb{R}_0^+ \mid t > it\}$
- $IniSt_{62} = \{s : s \in S \mid ot = it\},$   
 $InPairs_{62} = \{(x, t) : x \in X \cup \{\tau\}, t \in \mathbb{R}_0^+ \mid t < ot\}$
- $IniSt_{63} = \{s : s \in S \mid ot = it\},$   
 $InPairs_{63} = \{(x, t) : x \in X \cup \{\tau\}, t \in \mathbb{R}_0^+ \mid t = ot\}$
- $IniSt_{64} = \{s : s \in S \mid ot = it\},$   
 $InPairs_{64} = \{(x, t) : x \in X \cup \{\tau\}, t \in \mathbb{R}_0^+ \mid t > ot\}$



# Bibliografía

- [1] Zeigler, B. P., Praehofer, H., Kim, T. G. Theory of Modeling and Simulation, Second Edition. London: Academic Press, 2000. [2](#), [3](#)
- [2] Zeigler, B. P., Vahie, S. Devs Formalism And Methodology: Unity Of Conception/Diversity Of Application. En: In Proceedings of the 25th Winter Simulation Conference, págs. 573–579. ACM Press, 1993. [2](#)
- [3] Wainer, G. A. Discrete-Event Modeling and Simulation: a Practitioner’s approach. CRC Press. Taylor and Francis, 2009. [2](#)
- [4] Chow, A. C. Parallel devs: A parallel, hierarchical, modular modeling formalism and its distributed simulator. *TRANSACTIONS of the Society for Computer Simulation*, **13** (2), 55–68, 1996. [7](#)
- [5] Hong, J. S., Song, H.-S., Kim, T. G., Park, K. H. A real-time discrete event system specification formalism for seamless real-time software development. *Discrete Event Dynamic Systems*, **7** (4), 355–375, 1997. [7](#)
- [6] Wainer, G. Discrete-events cellular models with explicit delays. Tesis Doctoral, Doctoral dissertation, Université d’Aix-Marseille III, 1998. [7](#)
- [7] Castro, R., Kofman, E., Wainer, G. A formal framework for stochastic discrete event system specification modeling and simulation. *Simulation*, **86** (10), 587–611, oct 2010. [7](#)
- [8] Bergero, F., Kofman, E. A vectorial devs extension for large scale system modeling and parallel simulation. *SIMULATION*, **90** (5), 522–546, 2014. [7](#)
- [9] Cho, H. J., Cho, Y. K. DEVS-C++ Reference Guide. The University of Arizona, 1997. [7](#), [11](#)
- [10] Kim, T. G. DEVSim++ User’s Manual. C++ Based Simulation with Hierarchical Modular DEVS Models. Korea Advance Institute of Science and Technology, 1994. [7](#), [11](#)



- [11] Bergero, F., Kofman, E. Powerdevs: a tool for hybrid system modeling and real-time simulation. *SIMULATION*, **87** (1-2), 113–132, 2011. [7](#)
- [12] Wainer, G., Christen, G., Dobniewski, A. Defining models with the CD++ toolkit. En: In Proceedings of the European Simulation Symposium 2001. Marseille, France: SCS Publisher, 2001. [7](#)
- [13] Rodríguez, D. A., Wainer, G. A. New extensions to the CD++ tool. En: In Proceedings of the 32 nd SCS Summer Computer Simulation Conference. Chicago, IL: SCS Publisher, 1999. [7](#)
- [14] Kim, S., Sarjoughian, H. S., Elamvazhuthi, V. DEVS-Suite: A Simulator Supporting Visual Experimentation Design and Behavior Monitoring. En: Proceedings of the 2009 Spring Simulation Multiconference, SpringSim '09, págs. 161:1–161:7. San Diego, CA, USA: Society for Computer Simulation International, 2009. [7](#), [8](#), [11](#)
- [15] Filippi, J. B., Delhom, M., Bernardi, F. The JDEVS Environmental Modeling and Simulation Environment. En: In Proceedings of IEMSS 2002, págs. 283–288. 2002. [7](#), [11](#)
- [16] Cellier, F. E., Kofman, E. Continuous System Simulation. Secaucus, NJ, USA: Springer-Verlag New York, Inc., 2006. [7](#)
- [17] Sarjoughian, H. S., Zeigler, B. DEVSJAVA: Basis for a DEVS-based collaborative M&S environment. *Simulation Series*, **30**, 29–36, 1998. [8](#)
- [18] Sarjoughian, H. S., Singh, R. Building Simulation Modeling Environments Using Systems Theory and Software Architecture Principles. En: Proceedings of the Advanced Simulation Technology Conference, págs. 99–104. 2004. [8](#)
- [19] Hollmann, D. A., Cristiá, M., Frydman, C. A family of simulation criteria to guide DEVS models validation rigorously, systematically and semi-automatically. *Simulation Modelling Practice and Theory*, **49**, 1 – 26, 2014. [11](#)
- [20] Wainer, G. CD++: a toolkit to develop DEVS models. *Software - Practice and Experience*, **32**, 1261–1306, 2002. [11](#)
- [21] Bergero, F., Kofman, E. PowerDEVS: a tool for hybrid system modeling and real-time simulation. *SIMULATION*, 2010. [11](#)
- [22] Spivey, J. M. The Z notation: a reference manual. Hertfordshire, UK, UK: Prentice Hall International (UK) Ltd., 1992. [12](#)

- [23] Abrial, J.-R. *The B-book: Assigning Programs to Meanings*. New York, NY, USA: Cambridge University Press, 1996. [12](#)
- [24] Jackson, D. Alloy: A logical modelling language. En: ZB 2003: Formal Specification and Development in Z and B, Third International Conference of B and Z Users, Turku, Finland, June 4-6, 2003, Proceedings, pág. 1. 2003. [12](#)
- [25] DEVS Standardization Group. Website, <http://cell-devs.sce.carleton.ca/devsgroup/>, Último Acceso: 13-11-2014. [14](#)
- [26] Vangheluwe, H., Bolduc, L., Posse, E. DEVS Standardization: some thoughts. En: Winter Simulation Conference. 2001. [14](#)
- [27] Touraille, L., Traoré, M. K., Hill, D. R. C. A Mark-up Language for the Storage, Retrieval, Sharing and Interoperability of DEVS Models. En: Proceedings of the 2009 Spring Simulation Multiconference, SpringSim '09, págs. 163:1–163:6. San Diego, CA, USA: Society for Computer Simulation International, 2009. [14](#), [15](#)
- [28] Hong, K. J., Kim, T. G. DEVSpecL: DEVS specification language for modeling, simulation and analysis of discrete event systems. *Inf. Softw. Technol.*, **48** (4), 221–234, abr. 2006. [14](#)
- [29] Mittal, S., Douglass, S. A. DEVSML 2.0: The Language and the Stack. En: Proceedings of the 2012 Symposium on Theory of Modeling and Simulation - DEVS Integrative M&S Symposium, TMS/DEVS '12, págs. 17:1–17:12. San Diego, CA, USA: Society for Computer Simulation International, 2012. [15](#)
- [30] Fishwick, P. Using XML for simulation modeling. En: Proceedings of the Winter Simulation Conference, 2002, tomo 1, págs. 616–622 vol.1. 2002. [15](#)
- [31] Rohl, M., Uhrmacher, A. Flexible integration of XML into modeling and simulation systems. En: Proceedings of the Winter Simulation Conference, 2005, págs. 8 pp.–. 2005.
- [32] Sarjoughian, H. S., Chen, Y. Standardizing DEVS Models: An Endogenous Standpoint. En: Proceedings of the 2011 Symposium on Theory of Modeling & Simulation: DEVS Integrative M&S Symposium, TMS-DEVS '11, págs. 266–273. San Diego, CA, USA: Society for Computer Simulation International, 2011. [15](#)
- [33] Touraille, L. Application of Model-Driven Engineering and Metaprogramming to DEVS Modeling & Simulation. Tesis Doctoral, Doctoral dissertation, Université d'Auvergne, 2012. [15](#)

- [34] Lamport, L. *LaTeX: A Document Preparation System* (2nd Edition). Addison-Wesley Professional, 1994. [27](#), [40](#)
- [35] Hollmann, D. A., Cristiá, M., Frydman, C. Adapting Model-Mased Testing Techniques to DEVS Models Validation. En: Proceedings of the 2012 Symposium on Theory of Modeling and Simulation - DEVS Integrative M&S Symposium, TMS/-DEVS '12, págs. 6:1–6:8. San Diego, CA, USA: Society for Computer Simulation International, 2012. [43](#), [48](#)
- [36] Hollmann, D. A., Cristiá, M., Frydman, C. CML-DEVS: a specification language for DEVS conceptual models. *Simulation Modelling Practice and Theory*, **57**, 100 – 117, 2014. [43](#), [48](#)
- [37] DoDD 5000.59. DoD Modeling and Simulation (M&S) Management, Jan 4, 1994. [43](#)
- [38] Labiche, Y., Wainer, G. Towards the verification and validation of DEVS models. En: in Proceedings of 1st Open International Conference on Modeling & Simulation, 2005, págs. 295–305. 2005. [44](#), [45](#), [48](#)
- [39] Sargent, R. G. Validation and Verification of Simulation Models. En: Winter Simulation Conference, págs. 104–114. 1992. [44](#)
- [40] Robinson, S. Simulation model verification and validation: increasing the users' confidence. En: Proceedings of the 29th conference on Winter simulation, págs. 53–59. IEEE Computer Society, 1997. [44](#)
- [41] Hierons, R. M., Bogdanov, K., Bowen, J. P., Cleaveland, R., Derrick, J., Dick, J., *et al.* Using formal specifications to support testing. *ACM Computing Surveys*, **41** (2), 1–76, 2009. [45](#), [47](#), [51](#)
- [42] Utting, M., Legéard, B. *Practical Model-Based Testing: A Tools Approach*. San Francisco, CA, USA: Morgan Kaufmann Publishers Inc., 2006. [47](#)
- [43] Cristiá, M., Albertengo, P., Frydman, C., Plüss, B., Monetti, P. R. Tool Support for the Test Template Framework. *Softw. Test., Verif. Reliab.*, 2013. Online Version of Record published before inclusion in an issue – <http://onlinelibrary.wiley.com/doi/10.1002/stvr.1477/abstract>. [47](#)
- [44] Stocks, P., Carrington, D. A Framework for Specification-Based Testing. *IEEE Trans. Softw. Eng.*, **22**, 777–793, November 1996. [47](#), [52](#)
- [45] Balci, O. Verification, validation and accreditation of simulation models. En: Proceedings of the 29th conference on Winter simulation, WSC '97, págs. 135–141. Washington, DC, USA: IEEE Computer Society, 1997. [48](#)

- [46] Sargent, R. G. Verification and validation: verification and validation of simulation models. En: Proceedings of the 35th conference on Winter simulation: driving innovation, WSC '03, págs. 37–48. Winter Simulation Conference, 2003. 48
- [47] Sargent, R. G. Verification and validation of simulation models. En: Proceedings of the 37th conference on Winter simulation, WSC '05, págs. 130–143. Winter Simulation Conference, 2005.
- [48] Sargent, R. G. Verification and validation of simulation models. En: Proceedings of the 39th conference on Winter simulation, WSC '07, págs. 124–137. Piscataway, NJ, USA: IEEE Press, 2007.
- [49] Sargent, R. G. Verification and validation of simulation models. En: Proceedings of the 2010 Winter Simulation conference, WSC '07, págs. 166 –183. 2010. 48
- [50] Napoli, M., Parente, M. Graded CTL Model Checking for Test Generation. En: Proceedings of the 2011 Symposium on Theory of Modeling & Simulation: DEVS Integrative M&S Symposium, TMS-DEVS '11, págs. 59–66. San Diego, CA, USA: Society for Computer Simulation International, 2011. 49
- [51] Saadawi, H., Wainer, G. Principles of Discrete Event System Specification model verification. *SIMULATION*, **89** (1), 41–67, 2013. 49
- [52] Baier, C., Katoen, J.-P. Principles of model checking. MIT Press, 2008. 49
- [53] Hong, K. J., Kim, T. G. Timed I/O Test Sequences for Discrete Event Model Verification. En: T. Kim (ed.) Artificial Intelligence and Simulation, tomo 3397 de *Lecture Notes in Computer Science*, págs. 275–284. Springer Berlin / Heidelberg, 2005. 49
- [54] da Silva, P. S., de Melo, A. C. V. On-the-fly verification of discrete event simulations by means of simulation purposes. En: Proceedings of the 2011 Symposium on Theory of Modeling & Simulation: DEVS Integrative M&S Symposium, TMS-DEVS '11, págs. 238–247. San Diego, CA, USA: Society for Computer Simulation International, 2011. 49
- [55] Li, X., Vangheluwe, H., Lei, Y., Song, H., Wang, W. A testing framework for DEVS formalism implementations. En: Proceedings of the 2011 Symposium on Theory of Modeling & Simulation: DEVS Integrative M&S Symposium, TMS-DEVS '11, págs. 183–188. San Diego, CA, USA: Society for Computer Simulation International, 2011. 49

- [56] Bougé, L., Choquet, N., Fribourg, L., Gaudel, M. C. Test sets generation from algebraic specifications using logic programming. *Journal of Systems and Software*, **6**, 343–360, November 1986. [51](#)
- [57] Cristiá, M., Monetti, P. Implementing and Applying the Stocks-Carrington Framework for Model-Based Testing. En: K. Breitman, A. Cavalcanti (eds.) Formal Methods and Software Engineering, tomo 5885 de *Lecture Notes in Computer Science*, págs. 167–185. Springer Berlin Heidelberg, 2009. [52](#), [56](#)
- [58] Fitting, M. First-order logic and automated theorem proving (2nd ed.). Secaucus, NJ, USA: Springer-Verlag New York, Inc., 1996. [55](#), [56](#)
- [59] Stocks, P. A. Applying Formal Methods to Software Testing, 1993. [57](#)
- [60] Souza, S. R. S., Maldonado, J. C., Fabbri, S. C. P., Masiero, P. C. Statecharts Specifications: A Family of Coverage Testing Criteria. En: XXVI Conferência Latinoamericana de Informática – CLEI’2000. Tecnológico de Monterrey – México: Springer Berlin / Heidelberg, 2000. [62](#)
- [61] Cristiá, M., Hollmann, D. A., Albertengo, P., Frydman, C. S., Monetti, P. R. A Language for Test Case Refinement in the Test Template Framework. En: ICFEM, págs. 601–616. 2011. [63](#)
- [62] Gomes, C. P., Kautz, H., Sabharwal, A., Selman, B. Satisfiability Solvers. En: Handbook of Knowledge Representation, tomo 3 de *Foundations of Artificial Intelligence*, págs. 89–134. Elsevier, 2008. [63](#)
- [63] Nieuwenhuis, R., Oliveras, A., Tinelli, C. Solving SAT and SAT Modulo Theories: From an abstract Davis–Putnam–Logemann–Loveland procedure to DPLL(T). *J. ACM*, **53** (6), 937–977, nov. 2006. [63](#)
- [64] Cristiá, M., Frydman, C. S. Applying SMT Solvers to the Test Template Framework. En: A. K. Petrenko, H. Schlingloff (eds.) MBT, tomo 80 de *EPTCS*, págs. 28–42. 2012. [63](#)
- [65] Dovier, A., Omodeo, E. G., Pontelli, E., Rossi, G. {log}: A Language For Programming In Logic With Finite Sets. *Journal of Logic Programming*, **28**, 28–1, 1996. [63](#)
- [66] Dovier, A., Piazza, C., Pontelli, E., Rossi, G. Sets and constraint logic programming. *ACM Trans. Program. Lang. Syst.*, **22** (5), 861–931, sep. 2000.
- [67] Cristiá, M., Rossi, G., Frydman, C. {log} as a test case generator for the Test Template Framework. En: R. M. Hierons, M. Brevetti, M. Merayo, M. Brevetti

---

(eds.) SEFM, Lecture Notes in Computer Science, págs. 229–243. Springer, 2013.  
To appear. [63](#)

[68] Xtext. Website, <http://www.eclipse.org/Xtext/>, Último Acceso: 13-11-2014. [93](#)



# Publicaciones durante el doctorado

1. Cristiá, M., Hollmann, D.A., Albertengo, P., Frydman, C., Rodríguez Monetti, P. A Language for Test Case Refinement in the Test Template Framework. En *13th International Conference on Formal Engineering Methods, ICFEM 2011*, Durham, UK, 2011.
2. Hollmann, D.A., Cristiá, M., Frydman, C. Adapting Model-Based Testing Techniques to DEVS Models Validation. En *Symposium on Theory of Modeling and Simulation (TMS/DEVS 2012)*, 2012.  
  
Premiado como mejor artículo del Symposium on Theory of Modeling & Simulation (TMS/DEVS 2012) y artículo finalista de la Spring Simulation Multi-Conference 2012 en reconocimiento a su calidad, originalidad e importancia para el modelado y la simulación.
3. Hollmann, D.A., Cristiá, M., Frydman, C. A Family of Simulation Criteria to Guide DEVS Models Validation Rigorously, Systematically and Semi-Automatically. En *Simulation Modelling Practice and Theory*, Elsevier, vol. 49, pág. 1-26. 2014.
4. Hollmann, D.A., Cristiá, M., Frydman, C. CML-DEVS: a specification language for DEVS conceptual models. En *Simulation Modelling Practice and Theory*, Elsevier, vol. 57, pág 100-117. 2015.







# CML-DEVS: A specification language for DEVS conceptual models



Diego A. Hollmann<sup>a,\*</sup>, Maximiliano Cristiá<sup>a,b</sup>, Claudia Frydman<sup>a,c</sup>

<sup>a</sup> CIFASIS Centro Internacional Franco Argentino de Ciencias de la Información y de Sistemas, Ocampo y Esmeralda, S2000EZP Rosario, Argentina

<sup>b</sup> FCEIA – UNR, Rosario, Argentina

<sup>c</sup> Aix Marseille Université, CNRS, ENSAM, Université de Toulon, LSIS UMR 7296, 13397 Marseille, France

## ARTICLE INFO

### Article history:

Received 23 December 2014

Received in revised form 21 June 2015

Accepted 22 June 2015

Available online 7 July 2015

### Keywords:

Conceptual model

Abstract model

DEVS

Discrete event simulation

Abstract language

## ABSTRACT

DEVS models are widely used in the research community, in the industry and even in military or defense departments. Therefore, several software tools exist for modeling and simulating these models. However, each of these tools has its specific input language and a DEVS model described within a particular framework cannot be simulated by a different one. Moreover, the practitioners willing to use one of these tools must have non-trivial programming skills or must ask to a programmer to translate their models into the language of the desired tool. In this paper, we present CML-DEVS, a language that allows the conceptual, abstract or mathematical representation of DEVS models, in terms of mathematical and logical expressions without involving programming issues. Models described with CML-DEVS can be automatically translated (i.e. compiled) into the input language of different modeling and simulation tools. We also present a set of rules to translate CML-DEVS models into models that can be simulated with well-known DEVS frameworks such as DEVS-Suite and PowerDEVS. These rules allow the implementation of a multi-target compiler.

© 2015 Elsevier B.V. All rights reserved.

## 1. Introduction

Modeling and simulation (M&S) has grown in the last years becoming a discipline by itself. It is used by many different communities, in a wide range of application domains from academia to industry and defense departments.

One of the most popular formalisms among all these M&S communities is DEVS (Discrete Event System Specification) [1], being the most general formalism to describe discrete event systems (DES). DEVS is an abstract formalism for model specification and simulation that is independent of any particular implementation. It is based on system theory and is expressive enough as to represent all other DES formalisms, i.e. all models representable in those formalisms can be represented in DEVS [2].

Nowadays, many DEVS tools were developed and are currently used with very good results (for instance, DEVS-C++ [3], DEVSim++ [4], CD++ [5], PowerDEVS [6], JDEVS [7], DEVS-Suite [8], LSIS-DME [9]). Each of these tools has its own input language based on some programming language, or use some sentences in a programming language, or is, simply, a programming language like Java, C or C++. Therefore, those practitioners who want to simulate their models using such tools must have, at least, basic programming skills or they need a programmer to implement their models.

\* Corresponding author.

E-mail addresses: [hollmann@cifasis-conicet.gov.ar](mailto:hollmann@cifasis-conicet.gov.ar) (D.A. Hollmann), [cristia@cifasis-conicet.gov.ar](mailto:cristia@cifasis-conicet.gov.ar) (M. Cristiá), [claudia.frydman@lsis.org](mailto:claudia.frydman@lsis.org) (C. Frydman).

Generally, each of these input languages is different, hindering the interoperability between simulation tools. For instance, a simulation model described using PowerDEVS cannot be simulated in JDEVS (or at least not in a straightforward way). On the other hand, the model described in PowerDEVS models essentially the same system that would be modeled in JDEVS. Hence, it would be desirable to be able to describe the abstract model as is seen by the expert and then automatically translate it to one or more input languages.

The contribution of this paper is a formal modeling language, CML-DEVS (Conceptual Modeling Language for DEVS), that allows the conceptual or abstract description of DEVS models in terms of logical and mathematical expressions without involving programming concepts. That is, engineers can use CML-DEVS to write DEVS models using every-day mathematics. CML-DEVS models, however, can be automatically parsed, analyzed and translated into the input languages of different M&S tools to simulate them with any of these tools. This approach is widely used in the formal method community (cf. Z [10], B [11], Alloy [12]) where formal specifications are written in classic mathematics and logic in such a way that these specifications can be directly used in tools such as type-checkers, theorem provers, and code-generators.

Fig. 1 depicts an overview of the modeling and simulation process using CML-DEVS. First, the model is expressed in its abstract form by the practitioner using CML-DEVS. Then, using a multi-target compiler, the model is translated into the proper input language of different simulation tools in order to simulate it with the desired M&S framework (the implementation of this multi-target compiler is part of our future work). Commonly, during the model validation process, for example via simulations [13], the original model may need to be modified. In any case, these modifications must be done over the abstract model, which is recompiled before continuing with the validation process. In this way, the practitioner avoids modifying the source code of the translated models.

CML-DEVS is described by its syntax and semantics. The former is given by means of examples and its EBNF (Extended Backus Naur Form), the usual way to formally describe grammars, while the latter is given in terms of the code that must be generated in the input language of two M&S tools, DEVS-Suite and PowerDEVS. These rules completely define the multi-target compiler, turning its implementation in a rather direct task (using standard compiler implementation techniques). To extend CML-DEVS to other target languages, it is only necessary to provide and implement the corresponding set of translation rules. The choice of these particular tools is relatively arbitrary. Since these tools have different input languages (C++ and Java) the intention is to show how a CML-DEVS model can be automatically translated into different simulators languages.

The remainder of this paper is organized as follows. In the following section we describe and comment some other approaches about the description of DEVS models. In Section 3 the DEVS formalism is briefly described. Section 4 presents CML-DEVS showing its purpose with several examples. Section 5 introduces the set of rules to translate a CML-DEVS model into a DEVS-Suite and a PowerDEVS model. In Section 7 we very briefly comment two case studies. Finally, in Section 8 we discuss some conclusions and further consideration.

## 2. Related work and other approaches

DEVS is a powerful and widely used formalism in the M&S community. Several simulation tools were independently developed to describe DEVS models requiring a great effort. Because of this, an international group composed by researchers from several universities around the world has been created with the goal of defining a standard for modeling and simulating systems with DEVS [14].

This group has identified four areas of the DEVS framework that need to be standardized [15,16]:

- the DEVS formalism itself, and its variants,
- model representation, which should describe the model structure and dynamics in a platform-independent manner,
- minimum requirements for a simulator to be labeled “DEVS-compliant”,
- model libraries, aimed at providing a collection of models usable out of the box.

CML-DEVS attacks the second issue, representing DEVS models in an abstract way and independently of any platform or programming language.

We see CML-DEVS as an extended or improved version of the specification language for DEVS models, DEVSpecL, developed by Hong and Kim [17]. As DEVSpecL, CML-DEVS aims to preserve the abstract concept of the DEVS formalism. However our proposal adds new abstract mathematical notions to DEVSpecL such as a set theory which is essential to describe abstract models. As Hong and Kim mention, DEVSpecL supports only basic features which need user defined APIs to be able to describe general models. The modeler should define these APIs in the programming language or environment in which the model is executed. Furthermore, regarding the *complex types* supported by DEVSpecL, they only include sequences (but actually used as stacks). These considerations limit the abstraction level of DEVSpecL. Moreover, the modeler still has to write programming code to make something complex. CML-DEVS is inspired by the formal notations used in software engineering such as Z, B or Alloy, adding mathematical theories fundamental to model systems.

In addition, we consider that models defined with CML-DEVS have a more “pure DEVS” style compared to DEVSpecL. For instance, with DEVSpecL the modeler should define message types and interfaces to represent input/output events, which

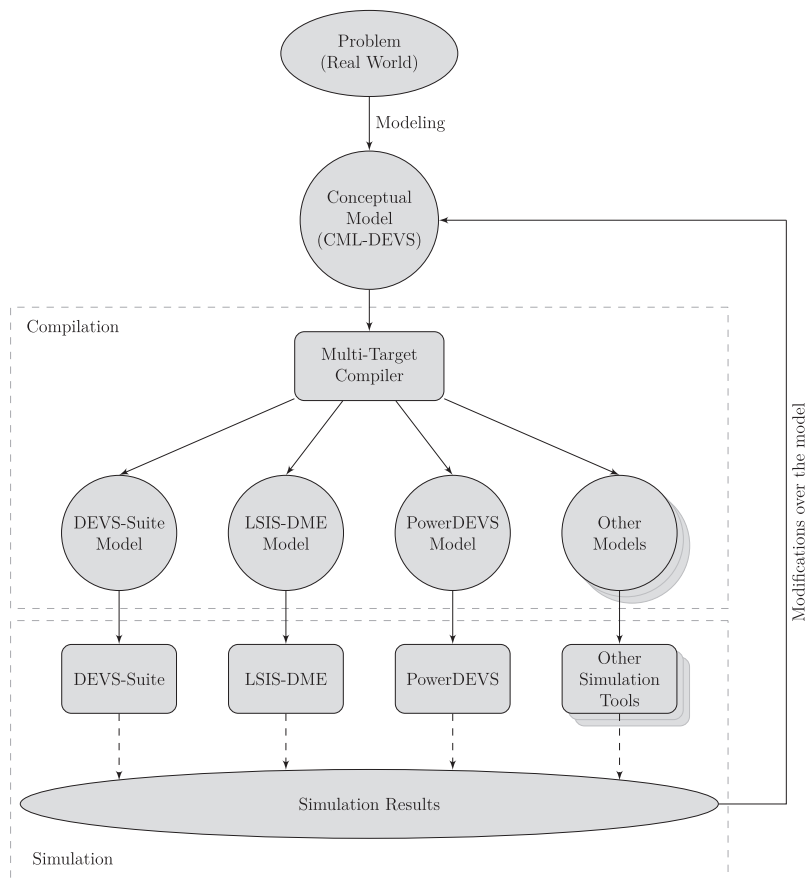


Fig. 1. DEVS modeling and simulation process.

may contain general purpose programming language code or structural types. With CML-DEVS we intend to keep input/output events in an abstract way just defining the port values types.

Moreover, the article that presents DEVSpeL [17] lacks sufficient details in some aspects. For instance, the external and internal transition functions consist of sequences of expressions (`expr`), that are not further explained except for a few examples. Also, no reference to the elapsed time,  $e$ , is made in the external transition function.

Finally, in this paper we present the translation rules that allow the implementation of a multi-target compiler for the input language of two different simulators. This does not seem to have been presented by Hong and Kim.

Mittal and Douglass [18] present a domain specific language, based on Finite Deterministic DEVS (FDDEVS) [19], for Parallel DEVS as a component of the revised DEVSMML framework (DEVSMML 2.0). It also intends to be used as an abstract representation of DEVS models (among other things). To define DEVS models with some fancy features like code assistance and run-time model validation, they integrate into Eclipse a DEVSMML editor using the Xtext framework and the EBNF grammar of their language. However, the DEVSMML grammar has some differences and limitations with respect to Parallel DEVS. For instance, input/output values are defined as *message entities*. The elapsed time in the external transition is omitted and replaced by *continue* and *reschedule* sentences. Finally, FDDEVS is a constrained, less expressive subset of DEVS.

Both works described above would allow automatic code generation in order to get executable DEVS code in different DEVS implementations, like DEVJSJAVA, DEVSim++, DEVSim-Java.

Several works propose XML as a language to describe DEVS models [20,21,16,22]. According to Touraille et al. [16] it seems to be a good choice, since there are many XML tools and it is platform independent. However, XML by itself nor these specific proposals provide an abstract representation of DEVS models neither. Perhaps, XML can be a suitable option as an intermediate representation, i.e. between the abstract description of the model and its representation in some simulation tool.

In a recent work, framed in his PhD thesis, Touraille [23] developed a framework aimed to model systems with DEVS. The core of this framework is a meta-model for DEVS. It is virtually separated in two parts, one to specify the “static” part of the model, i.e. states, inputs/outputs; and the other to define the behavior, namely, the internal and external transition functions

as well as the time advance and output functions. The latter is based on a semi-generic language defined by him which only supports a restricted set of features. To allow the modeler to use more advanced features, he gives the possibility to embed some “un-generic” code, whose actual content will depend on the target platform. Based on such meta-model, he developed translations into several DEVS platforms allowing the interoperability between several simulation tools. This transformation is not made from an abstract description of a DEVS model, but from, precisely, this meta-model. This approach is related to model driven engineering, while ours comes from formal methods.

On a different approach, a huge effort has been spent in adopting Model Driven Engineering (MDE) and Model Driven Development (MDD) principles and techniques to achieve the so called *Models Transformations* [24–30]. The MDE approach addresses the steps required to take a model from conceptual design through to final implementation [28]. In this approach, different modeling or metal-modeling languages are proposed to describe each stage (model) of those transformations. None of these modeling languages describes a DEVS model using only mathematical or logical concepts. Although, some of these model transformations are automatic some of them still require to write code in some general-purpose programming language. In this way, we think that our work could also contribute to this MDD approach, describing DEVS models in the corresponding model transformation level.

In summary, there are many languages that can be used for describing DEVS models. However, as far as we know, none of them takes as starting point the abstract description (based only on mathematics and logic) of a DEVS model. Some of these approaches require at some point the introduction of programming code.

### 3. The DEVS formalism

As mentioned in the introduction, DEVS is a formalism independent of any particular implementation. According to Zeigler et al. [1], there are two classes of DEVS models, Atomic models and Coupled models. Our work concerns only with atomic models. In fact, a coupled model is equivalent to a (complex) atomic model [1]. An atomic DEVS Model is defined by the structure:

$$M = (X, Y, S, \delta_{int}, \delta_{ext}, \lambda, ta)$$

where

- $X = \{(p, v) | p \in InPorts, v \in X_p\}$  is the set of input ports and values, where *InPorts* represents the set of input ports and  $X_p$ , the set of values for the input ports;
- $Y = \{(p, v) | p \in OutPorts, v \in Y_p\}$  is the set of output ports and values, where *OutPorts* represents the set of output ports and  $Y_p$ , the set of values for the output ports;
- $S$  is the set of state values;
- $\delta_{int} : S \rightarrow S$  is the internal transition function;
- $\delta_{ext} : Q \times X \rightarrow S$  is the external transition function, where:  
 $Q = \{(s, e) | s \in S, 0 \leq e \leq ta(s)\}$  is the *total state* set, and  
 $e$  is the *time elapsed* since last transition;
- $\lambda : S \rightarrow Y$  is the output function; and
- $ta : S \rightarrow \mathbb{R}_{0, \infty}^+$  is the time advance function.

$\delta_{int}$ ,  $\delta_{ext}$ ,  $\lambda$  and  $ta$  are the functions that define the system dynamics. Each possible state  $s \in S$  is associated to a time advance value,  $ta(s) \in \mathbb{R}_{0, \infty}^+$ , which indicates the time that the system will remain in that state if no input events occur. Once that time has passed, an internal transition is performed, reaching a new state  $s'$ ,  $s' = \delta_{int}(s)$ . At the same time, an output event,  $y$ , is generated by the output function,  $y = \lambda(s)$ . Therefore,  $\delta_{int}$ ,  $ta$  and  $\lambda$  define the autonomous behavior of the system.

When an input event arrives, an external transition is performed. The new state depends on the input value, the previous state and also the elapsed time since the last transition. If the system is in the state  $s$  and the input event  $x$  arrives in the instant  $e$  (i.e.  $e$  time units from the last transition) the new state,  $s'$ , is calculated as  $s' = \delta_{ext}(s, e, x)$ . In case of an external transition, no output event is generated.

Let us see briefly how to describe a model using the DEVS formalism with two little examples, a processor and a queue. These examples were taken from the book where Zeigler presents the formalism [1] and, therefore, is the original form to describe DEVS models. It can be understood by anyone without programming knowledge or skills and it is independent of any simulator.

#### Example 3.1. Processor

This model represents a processor that receives jobs that take a given time to be processed. The input value received by the model represents the time that takes the processor to process the incoming job. If the processor is busy when a new job arrives, it is ignored. Once the job is processed, the system issues an output event with the time it took to process it.

$$M_{proc} = (X, Y, S, \delta_{int}, \delta_{ext}, \lambda, ta)$$

- $X = \{(in, x) : x \in \mathbb{R}^+\}$
- $Y = \{(out, y) : y \in \mathbb{R}^+\}$
- $S = \{idle, busy\} \times (\mathbb{R}_0^+ \cup \{\infty\}) \times \mathbb{R}^+$
- $\delta_{int}((phase, \sigma, job)) = (idle, \infty, job)$
- $\delta_{ext}((phase, \sigma, job), e, (port, value)) = \begin{cases} (busy, value, value) & \text{if } phase = idle \\ (phase, \sigma - e, job) & \text{otherwise} \end{cases}$
- $\lambda((phase, \sigma, job)) = (out, job)$
- $ta((phase, \sigma, job)) = \sigma$

The set of ports and values for the input events consist of a single port, *in* and of values from  $\mathbb{R}^+$ , representing the processing time of the incoming job. The output set has the same interpretation, respectively, with the port *out*. The state consists of three variables.<sup>1</sup> The first represents the state of the processor (*idle* or *busy*); the second one, the remaining processing time of the current job ( $\infty$  if there is no job being processed); and the third one, the total processing time of the current job. If a job arrives when the processor is *idle*, the remaining processing time is set according to the input value, *value*, and the phase is changed. On the other hand, if the phase is *busy*, the job is just ignored and the elapsed processing time is updated. When the processing time finishes, this value is issued as an output. In the corresponding internal transition the phase is changed to *idle* and the remaining processing time is set to  $\infty$ ; in this case no further transition will occur unless a new job arrives.

### Example 3.2. Queue

The queue consists on a list that stores jobs IDs (elements from  $\mathbb{R}^+$ ), as they arrive. When a signal is received, instead of a job, the queue transmits the first job of the list (i.e. the first to arrive), if any, and it is removed from the queue.

$$M = \langle X, Y, S, \delta_{int}, \delta_{ext}, \lambda, ta \rangle$$

- $X = \{(in, x) : x \in \mathbb{R}^+ \cup \{signal\}\}$
- $Y = \{(out, y) : y \in \mathbb{R}^+ \cup \{\emptyset\}\}$
- $S = (\text{List } \mathbb{R}^+) \times (\mathbb{R}_0^+ \cup \{\infty\})$
- $\delta_{int}((xs, \sigma)) = \begin{cases} (\text{tail } xs, \infty) & \text{if } xs \neq \emptyset \\ (xs, \infty) & \text{otherwise} \end{cases}$
- $\delta_{ext}((xs, \sigma), e, (port, value)) = \begin{cases} (xs \frown \langle value \rangle, \infty) & \text{if } value \in \mathbb{R} \\ (xs, 0) & \text{if } value = signal \end{cases}$
- $\lambda((xs, \sigma)) = \begin{cases} (out, \text{head } xs) & \text{if } xs \neq \emptyset \\ (out, \emptyset) & \text{otherwise} \end{cases}$
- $ta((xs, \sigma)) = \sigma$

We think, that at this point, this example needs no further explanations than saying that  $\text{List } \mathbb{R}^+$  is a list of real positive numbers;  $xs \frown \langle value \rangle$  concatenates the element *value* at the end of *xs*;  $\text{tail } xs$  represents all except the first element of the list *xs* and  $\text{head } xs$ , the first element of *xs*.

## 4. Writing abstract DEVS models with CML-DEVS

As mentioned before, the contribution of this work is a modeling language that allows the description of abstract DEVS models, similarly as the examples shown above, without using programming notions (such as control flow, memory management, and data structures).

In Fig. 2 we show how the model of the processing queue could be described using CML-DEVS. In this example can be observed, roughly, how is the structure of a CML-DEVS model. It consists of several substructures or components, each one representing a component of an atomic DEVS model. Each component is framed by *markers* or *key words*, like *X is ... end X* for the input ports. The state variables and input and output ports are defined in the same way, each within the corresponding structure. Variables are declared by giving a name and its type (e.g.  $s : \mathbb{R} \cup \{\emptyset\}$ ). Transition, output and time advance functions, have also similar structures. The body of these functions consist of different type of sentences. Mainly, these sentences are assignments to update the state value or to issue an event on an output port. As can be seen in this example, there are a bit more complex sentences, like the definition by cases (*defcases ... end defcases*). The definition by cases has a structure very similar to the abstract model of the example, where the result of the function (the new state or the output value, respectively) is bound to a condition.

If a practitioner wants to simulate one of the example models of Section 3, even one so simple, it will involve some programming task. For instance, in Example 3.2 a decision must be made about the representation of *X*, *Y* and *S*, regarding how

<sup>1</sup> Or consists of one variable with three components.

```

atomic queue is < X, Y, S,  $\delta_{\text{int}}$ ,  $\delta_{\text{ext}}$ ,  $\lambda$ , ta > where
X is
    in :  $\mathbb{R} \cup \{\text{signal}\}$ ;
end X
Y is
    out :  $\mathbb{R} \cup \{\emptyset\}$ ;
end Y
S is
    s : List  $\mathbb{R} \times \text{Time}$ ;
end S
 $\delta_{\text{int}}((xs, \sigma))$  is
    defcases
        case s = (tail xs,  $\infty$ ); if (xs  $\neq$  {})
        case s = (xs,  $\infty$ ); if (xs = {})
    end defcases
end  $\delta_{\text{int}}$ 
 $\delta_{\text{ext}}((xs, \sigma), e, (in, x))$  is
    defcases
        case s = (xs  $\hat{\ } \langle x \rangle$ ,  $\infty$ ); if ( $x \in \mathbb{R}$ )
        case s = (xs, 0); if ( $x = \text{signal}$ )
    end defcases
end  $\delta_{\text{ext}}$ 
 $\lambda((xs, \sigma))$  is
    defcases
        case (out, head xs); if (xs  $\neq$  {})
        case (out,  $\emptyset$ ); if (xs = {})
    end defcases
end  $\lambda$ 
ta((xs,  $\sigma$ )) is
     $\sigma$ ;
end ta
end atomic

```

Fig. 2. CML-DEVS model of the queue.

to represent the symbol  $\emptyset$  and *signal*. Maybe, in this particular case, with a `float` or `double` variable in some language will suffice for *X* and *Y* using, say, a negative number to represent *signal* and  $\emptyset$  respectively. However, in a slightly different case, for instance  $\mathbb{R} \cup \{\emptyset\}$ , this representation would not work and another one must be defined. In addition, a data structure is needed in order to manage the elements of the queue. Using CML-DEVS, the practitioner does not need to deal with these issues, he or she can describe the model in its abstract form and later automatically translate it into the language of the desired simulation tool.

Besides the structures that can be observed in Fig. 2, CML-DEVS allows the definition of *parameters* of the model, *auxiliary functions* and provides an easy method to set the initial state for the simulation. These features will be detailed later.

As can be seen, CML-DEVS is intended to be as close as the specialist would describe a model “with pen and paper”, like the examples of Section 3. Even more, a CML-DEVS model can be easily formatted to look like those examples. This could be done, for instance, using a language like L<sup>A</sup>T<sub>E</sub>X [31] (see more in Section 6).

As in any language there are *reserved* words. In the queue example they can be distinguished from variables or values because they appear in another font type, like `atomic`.

In the following sections, we explain in detail the syntax of CML-DEVS. Moreover, the EBNF of the language can be seen in an on-line technical report [32].

#### 4.1. Structure of an atomic model

As mentioned above, an atomic model in CML-DEVS consists of several substructures related to each component of an atomic DEVS model. The order in which these structures are declared is not relevant. Furthermore, it is not necessary to declare them if they are not used. That is, if a model does not receive any input event, the declaration of *X* and  $\delta_{\text{ext}}$  can be omitted. If these are not defined, neither should be declared in the vector defining the model:  $\langle X, Y, S, \delta_{\text{int}}, \delta_{\text{ext}}, \lambda, \text{ta} \rangle$ . That is, all components declared in that vector, must be defined later.

## 4.2. Definitions and types

The definition of the state and the input and output ports have the same syntax as shown before in the [Example 3.2](#). In [Fig. 3](#) different definitions are presented. These can be either state variables, input ports or output ports, depending on the structure within which they are declared.

Regarding the input and outputs events, each definition represents a port (input and output, accordingly) and the types or set of the values issued by them. The input and output sets are formed by the Cartesian product of those defined ports and values.

CML-DEVS provides several *basic* types and allows the construction of new *complex* ones like tuples, unions, sets, lists and partial functions, as shown above. The basic types are:  $\mathbb{N}$ ,  $\mathbb{Z}$ ,  $\mathbb{R}$ , Time (equivalent to  $\mathbb{R}_0^+ \cup \{\emptyset\}$ ), Text, Boolean and enumerated types expressed within braces,  $\{\}$ .

$\mathbb{P}$ , List,  $\cup$ ,  $\times$  and  $\rightarrow$  allow the construction of complex types from basic or other complex types.  $\mathbb{P}$  Type represents an unsorted set of elements of type *Type* (without repeated elements). List Type, in turn, is a sorted list of elements of type *Type* (lists may have repeated elements).  $\cup$  and  $\times$  construct unions and tuples, respectively, of possibly different types (in fact, unions of the same type would make no sense). Finally,  $\rightarrow$  constructs partial functions.

CML-DEVS also allows the definition of *synonyms*. They are used to simplify or facilitate the variable declaration, or even the declaration of new synonyms. For example, if some complex type is used several times, the practitioner can name this complex type with some synonym and then use the latter in the declaration of variables. For instance:

```
var1 :  $\mathbb{N} \times \mathbb{R}$ ;
var2 :  $(\mathbb{N} \times \mathbb{R}) \times \text{Boolean}$ ;
var3 : List  $(\mathbb{N} \times \mathbb{R}) \cup \{\emptyset\}$ ;
```

Could be replaced by:

```
NRPair ==  $\mathbb{N} \times \mathbb{R}$ ;
var1 : NRPair;
var2 : NRPair  $\times$  Boolean;
var3 : List NRPair  $\cup \{\emptyset\}$ ;
```

It is worth mentioning the importance of sets and partial functions for the abstract or conceptual modeling. For instance, let us think of the model of a simple scheduler that changes the state of a scheduled process according with some signals or values. The state of the scheduler could be:

$$sch : \mathbb{N} \rightarrow \{\text{idle}, \text{exec}, \text{finished}\}$$

where  $\mathbb{N}$  represents the process identifiers and  $\{\text{idle}, \text{exec}, \text{finished}\}$ , the different process states. Changing the state of a specific process, *proc*, to *idle* could be done easily (using the *overwriting* operator) as follows:

$$sch = sch \oplus \{(proc, \text{idle})\};$$

However, had the scheduler been modeled with a list, like:

$$sch : \text{List}(\mathbb{N} \times \{\text{idle}, \text{exec}, \text{finished}\})$$

that simple operation would involve a longer expression:

```
schTmp: List  $(\mathbb{N} \times \{\text{idle}, \text{exec}, \text{finished}\})$ ;
foreach p in sch
  defcases
    if (p.1 = proc)  $\Rightarrow$  schTmp  $\hat{=}$   $\langle (p.1, \text{idle}) \rangle$ ;
    default  $\Rightarrow$  schTmp  $\hat{=}$   $\langle p \rangle$ ;
  end defcases
end foreach
sch = schTmp;
```

Hence, in many situations modeling with sets can yield simpler, more readable models than using programming-oriented data structures such as lists. In general this is so because many entities in the “real world” are essentially sets rather than lists.

## 4.3. Transition, output and time advance functions

The description of the transition functions, and also the time advance and output functions, have the same main structure. An overview of these were presented in the previous section with the example. These function definitions consist of a



```

jobs : List ℝ;
σ : Time;
in : ℝ ∪ {signal};
out : ℝ ∪ {∅};
elevator : {up, down, stopped};
sensor : Boolean;
name : Text;
years : ℙ ℕ;
pair : ℤ × ℝ;
sch : ℤ → {idle, exec, finished};

```

Fig. 3. CML-DEVS – state, input ports and output ports.

frame, for example  $\delta_{int}$  is `...end  $\delta_{int}$`  for the internal transition function, with optional arguments. These arguments are, indeed, the arguments of such functions, i.e.  $(s, e, x)$  in  $\delta_{ext}$  and  $(s)$  in  $\delta_{int}$ ,  $\lambda$  and  $ta$ .

If the arguments are explicitly declared, this must be done in the order the state variables were declared in the *state* section. However, the names used as arguments may not necessarily be the same as those previously defined:

```

S is
  var: ℝ × ℝ;
end S
:
 $\delta_{int}((var1, var2))$  is
  var1 = ...
  var2 = ...
end  $\delta_{int}$ 

```

where  $var1$  ( $var2$ ) corresponds to the first (second) component of  $var$ .

This is also the case of the [Example 3.2](#), where the state is defined by the variable  $s : List \mathbb{R} \times Time$ , and then, the transition, output and time advance functions, instead of using  $s$  as argument, use the pair  $(xs, \sigma)$ .

The last two arguments of  $\delta_{ext}$ , in case they are explicitly defined, can have any arbitrary name. However, the modeler can use the *reserved* CML-DEVS names  $e$ ,  $value$  and  $port$ :

```

 $\delta_{ext}(s, e, (port, value))$  is
  s = value;
  ...
end  $\delta_{ext}$ 

```

If in any function the arguments are not present, the variables declared in the *state* are implicitly used together with the reserved variables  $e$ ,  $port$  and  $value$ :

```

S is
  var1: ℝ;
  var2: ℕ;
end S
:
 $\delta_{ext}$  is
  var1 = value + e;
  var2 = 0;
end  $\delta_{ext}$ 

```

The body of each function is composed by *sentences*. There are four kinds of sentences in CML-DEVS.

#### 4.3.1. Assignment

The simplest one is the *assignment* sentence. It is used, mainly, to update the state variables after a transition of the model, like  $xs = tail\ xs$ ; or to issue a value by an output port,  $out = head\ xs$ . The left hand side of an assignment is always a variable name. The right hand side, instead, can be any expression (a value, a variable name, an operation or compound expressions like tuples, sets or lists). Some example of assignments can be observed in [Fig. 4](#).

```

engine = stopped;
years = {1974, 1988, 1990, 1991, 1992, 2004, 2013};
pair = (-14, 3.1416);
val = sin(45);
jobs = {2.34, 5.98, 6.83};
elem = head xs;
σ = σ - e;
listA = listB;

```

**Fig. 4.** CML-DEVS – assignments.

**Table 1**  
CML-DEVS – operators and mathematical functions.

+	–	*	\
∪	∩	#	(
sin	cos	tan	arcsin
arccos	arctan	log	sign
min	max	sqrt	rev
head	last	tail	front
div	dom	ran	◁
▷	⊕		

CML-DEVS supports a variety of mathematical operations (including list and set operations), mathematical and trigonometric functions and the application of *custom* functions defined using CML-DEVS. The operators and mathematical functions supported are listed in [Table 1](#).

#### 4.3.2. Definition by cases

The second kind of sentence is a structure that allows the definition of a function by cases. This is widely used and usually a very useful way to define the transition, output or time advance functions. In [Example 3.2](#),  $\delta_{int}$ ,  $\delta_{ext}$  and  $\lambda$  were defined in such a way.

For instance, an internal transition function defined by cases in DEVS is as follows:

$$\delta_{int}(s) = \begin{cases} \text{sentence}_1 & \text{if } \text{condition}_1 \\ \text{sentence}_2 & \text{if } \text{condition}_2 \\ \dots & \\ \text{sentence}_n & \text{otherwise} \end{cases}$$

can be described with CML-DEVS as:

```

δint(s) is
defcases
  if condition1 ⇒ sentence1;
  if condition2 ⇒ sentence2;
  ...
  default ⇒ sentencen;
end defcases
end δint

```

All cases are framed by `defcases ... end defcases`. A condition consists of a *relational operator* between two *operands*. The operators supported by CML-DEVS are listed in [Table 2](#). Meanwhile, the operands can be a variable name, a value or an operation. Moreover, conditions can be conjoined, disjointed or negated using the logical operators  $\wedge$ ,  $\vee$  and  $\neg$ , respectively. [Fig. 5](#) shows some examples of conditions. Note that the operator  $=$  is overloaded, i.e. it is used in assignments and in comparisons with different meanings.

The above form to describe cases is inspired in logical constructions: *if condition then expression* (or *condition ⇒ expression*). Meanwhile, CML-DEVS provides an alternative way to define such cases, more similar to the mathematical definitions, enunciating the result of the case first, and then the condition (as in the examples of [Section 3](#)). In this alternative, each case is defined within the structure `case sentences if condition end case`.

The optional command, `default`, can be used for the case where none of the conditions is satisfied. This is followed only by the *sentences*, without the command `if, ⇒` nor the *conditions*.

**Table 2**  
CML-DEVS – relational operators.

<	>	≤	≥
=	≠	∈	∉
⊂	⊆	⊄	

$\neg (\text{engine} = \text{stopped})$   
 $(\text{years} \neq \{\})$   
 $(\text{pair}.1 \leq 13)$   
 $((5.63 \in \text{jobs}) \wedge (4.13 \notin \text{jobs}))$   
 $((\{1974, 1990\} \subseteq \text{years}) \vee (\#\text{years} = 1))$   
 $(\text{value} = \text{signal})$

**Fig. 5.** CML-DEVS – condition examples.

#### 4.3.3. For each structure

The third type of sentence aims at modeling expressions such as:

$$\forall a \in A \bullet A = (A \setminus \{a\}) \cup \{a * 2\}$$

The above expression can be depicted in CML-DEVS as follows:

```

foreach a in A
  A = (A \ {a}) ∪ {a*2};
end foreach

```

It is assumed that the type of  $x$  is *Type* and that of  $X$  is  $\mathbb{P}$  *Type*.

These sentences consist of the *foreach* declaration followed by an identifier, the keyword *in*, a variable or expression, followed by a set of sentences and finish with *end foreach*. The type of the expression or variable must be *List Type* or  $\mathbb{P}$  *Type*; and the identifier represents an element of that expression, thus its type is *Type*.

#### 4.3.4. Where structure

The other usual way to define a function of a model is using auxiliary variables or expressions. For instance:

```

 $\delta_{ext}((xs, \sigma), e, (port, value)) = (ys, \infty)$ 
where:
 $ys = xs \hat{\ } \langle value \rangle$ 

```

The fourth and last type of CML-DEVS sentence intends to provide such declarations. In Fig. 6 it is depicted the corresponding CML-DEVS code for the above example. This structure is framed by *defwhere* and *end defwhere* and consists of sentences and definitions. The definitions and sentences that come after *where* refer to the auxiliary variables.

Recall that the *for each* structure, the definition by cases and the *where* structure can be combined with each other since all three are considered sentences.

A final remark about the transition functions is that if a state variable does not change its value it is not necessary to explicitly declare this situation (for instance  $xs = xs$ ), thus being this statement optional. Variables that do not appear in the left hand side of any assignment are assumed to maintain their values.

Regarding the output function, it generally consists of a pair of the form  $(p, v)$  representing, precisely, issuing an output event with value  $v$  through port  $p$ . Besides, it can be used *defcases*, in which case, the sentences will be pairs as the mentioned above. Moreover, if it is necessary, it can be used the *defwhere* and *foreach* structures.

Finally, the time advance function,  $ta$ , is similar to the output function, except that instead of a pair it consists of an expression of type  $\mathbb{R}_0^+ \cup \{\infty\}$ , being the value of such expression the value returned by the time advance function.

#### 4.4. Parameters of the model

Although parameters are not part of the original DEVS formalism, they are used by almost all M&S tools and facilitates the description and maintenance of the models. If the modeler wants to use parameters for a model, he or she must indicate this situation with the sentence (*params*) after the model name:

atomic *ModelName*(*params*)  $\langle \dots \rangle$  is

```

 $\delta\text{ext}((xs, \sigma), e, (\text{port}, \text{value}))$  is
defwhere
   $xs = ys$ ;
   $\sigma = \infty$ ;
where
   $ys : \text{List } \mathbb{R}$ ;
   $ys = xs \hat{\ } \langle \text{value} \rangle$ ;
end defwhere
end  $\delta\text{ext}$ 

```

**Fig. 6.** CML-DEVS – where example.

and later, he or she must define such parameters within the structure:

```

params is
  param1 = val1;
  param2 = val2;
  ...
end params

```

The parameters are not defined as the other variables of the models. Since they are declared with a fixed value (i.e. these values do not change throughout the whole the model), the type is derived from that value. That is, the type is implicit. These parameters can be seen as constant values of the model.

#### 4.5. User defined functions

The definition of auxiliary functions by the modeler is also not part of the formalism originally defined by Zeigler either [1]. However, it is very common and useful to define auxiliary functions to describe the behavior of a part of the model or make some operation. CML-DEVS provides a basic structure to define this type of auxiliary functions. They are all defined within the structure:

```

functions LibraryName is
  ...
end functions

```

The functions defined therein form a *library* and the invocation of such functions is as follows:

```
LibraryName.funcName(...);
```

It is worth mentioning that this library can be used by any model which requires any of those functions. That is, the definition of the libraries is independent of the model.

The auxiliary functions are described using almost the same grammar used for the functions of the model. The first line of the body of a function defines its type, i.e. the arguments type and the return value type. This is followed, probably, by the definition of other variables and, later, one or more sentences as described above.

Let us see how it works with a short example. Consider a kind of filter function that takes a set of integer numbers, an integer number and returns a set with all the elements of the first argument that are smaller than the second argument. Fig. 7 shows a possible way to describe this function using CML-DEVS.

Note that these functions are defined abstractly using classical mathematical language. Later, they are compiled into a concrete programming language, in the same way that the model that uses them.

```

function filter is
   $S : \mathbb{P } \mathbb{N}, n : \mathbb{N} \rightarrow res : \mathbb{P } \mathbb{N}$ ;
  foreach  $x$  in  $S$ 
    defcases
      if  $(x < n) \Rightarrow res = res \cup \{x\}$ ;
    end defcases
  end foreach
end function

```

**Fig. 7.** CML-DEVS – function example.

#### 4.6. Initial values for simulations

CML-DEVS provides, also, an easy way to define initial values for the state variables. The structure is quite simple:

```
simulate ModelName from
  assignments
end simulate
```

where the *assignments* have the same form as those already described before and are used, precisely, to assign values to the state variables.

Although this issue does not concern to the modeling phase, but rather to the simulation of the model, we think that it is helpful (and almost mandatory) to provide this alternative in CML-DEVS. As mentioned before, the modeler should not modify the code already translated into the simulation language. Thereby, he or she can set these initial values without dealing with such code.

#### 4.7. What CML-DEVS can specify

CML-DEVS can specify any DEVS model that can be implemented/simulated in a M&S tool. A DEVS model implemented in a M&S tool is a program in some programming language. First-order logic and set theory can specify any program (as it is known by the software engineering community [10–12]). CML-DEVS is based on first-order logic and set theory. Therefore, CML-DEVS can specify all DEVS models that can be written in a programming language. DEVS models that cannot be implemented/simulated in a M&S tool, cannot be described with CML-DEVS.

### 5. Translation of CML-DEVS models into simulation models

The intention of this section is to show that it is possible to automatically translate a CML-DEVS model into different simulation models (in different languages). We think that it is an important contribution for the M&S community to be able to describe abstractly a DEVS model and, then, automatically translate it into the language of the desired simulation tool. As an example, we show how to translate CML-DEVS models into PowerDEVS and DEVS-Suite models.

This translation task is responsibility of the multi-target compiler, shown in Fig. 1. The compiler can generate code in different target languages. The abstract syntax tree (AST) generated by the lexical analyzer has all the information about the model in a structured form. Then the AST is processed by a semantic analyzer, responsible for checking the correctness of the model, for example, not attempting to compare a set with text (type checking). Later, once the model is semantically verified, the code for each target language is produced by “specialized” code generators (i.e. the components implementing the translation rules). If one wishes to generate code for a new M&S tool, he or she only needs to add a new code generator. The multi-target compiler can be implemented using basic compiler development techniques. A scheme of a CML-DEVS multi-target compiler is outlined in Fig. 8.

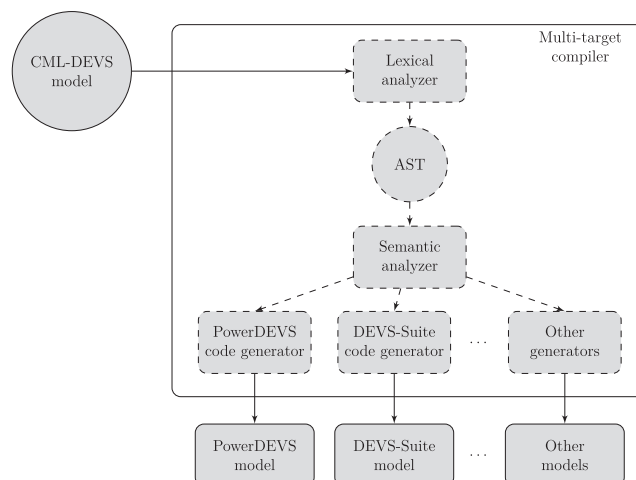


Fig. 8. Schema of a CML-DEVS multi-target compiler.

## 5.1. Preprocessing

Before starting with the translation of the CML-DEVS model, it must be performed a preprocessing. In this preprocessing the definition of the model is “normalized” according to two criteria. The first one relates to the normalization in the definition of the *Union* types and, the second one, to the definition of complex types in general. A detailed explanation of such preprocessing can be found in the CML-DEVS technical report [32].

## 5.2. Translation rules

In this section we show and comment, through some examples, how to translate an abstract model written in CML-DEVS into models implemented in DEVS-Suite and PowerDEVS (some translations are shown for DEVS-Suite and others for PowerDEVS). The full description of these rules is in the technical report [32]. As can be noted in that technical report, several rules are defined recursively, or they use other rules, in turn, to carry out the translation.

### 5.2.1. Model structure

The first thing to do in order to simulate a model, both in DEVS-Suite and in PowerDEVS, is to generate the necessary files, with the structure and code that each tool requires. In the case of DEVS-Suite, a file “ModelName.java” is needed, including in it all the model. This file consists of a Java class representing the model itself. The state variables are declared as class member variables together with the transition, output and time advance functions as class member methods. In the class constructor the variable members are instantiated and the input and output ports are declared. If necessary, DEVS-Suite provides a method for instantiating the state variables.

In the case of PowerDEVS, at least three files are needed. One file with the model structure (path to the model implementation, parameters and port connections), “ModelName.pds”. The other two files are the C++ header file, “ModelName.h”, and the C++ source code, “ModelName.cpp”. In the header file the state variables are defined and the transition, output and time advance functions are declared. Their definitions are in the .cpp file. Furthermore, if the practitioner wants to simulate the model using the GUI of PowerDEVS, one more file is necessary, “ModelName.pdm”, including the graphical data (size, colors, position, etc).

### 5.2.2. Definitions

The *definitions* are used, mainly, to define the state variables. But also, as we mentioned before, CML-DEVS allows the definition of variables in other parts of the model, e.g. in the sentences *where* and in the user defined functions.

The basic types,  $\mathbb{N}$ ,  $\mathbb{Z}$ ,  $\mathbb{R}$ , Time, Text and Boolean; are quite simple to translate since for each of these types there is a type or class in Java and in C++ to which it can be translated. Regarding enumerated types,  $\{enum_1, \dots, enum_n\}$ , instead of using `enum` of Java and C++ we decided to use `String` and `const char*`, respectively, because this facilitates the inclusion of them in complex types. Sets, lists and partial functions are also quite simple since we take advantage of templates already defined in both languages. Table 3 shows these translations.

Regarding tuples and unions, different kinds of classes are defined to represent them. Also, depending on the type, each class needs different methods and constructors that will help in handling them in assignments, comparisons or inclusions. For instance in Listing 1 we show how to translate into Java code (i.e. DEVS-Suite) the following definition of an union:

```
in :  $\mathbb{R} \cup \{signal\};$ 
```

The method `equals(...)` of Listing 1 (Line 23) is used to compare instances of such type in order to determine whether they are equal or not. In Java, the classes used to translate tuples and unions implement `Comparable<Object>` and this requires to implement the method `compareTo(...)` (Line 34). Implementing `Comparable<Object>` is necessary to include such unions or tuples in sets or lists.

Concerning the input ports, both in DEVS-Suite and PowerDEVS an extra variable is defined, whose type is the union of the different input port types. This variable is used to handle the input values in the external transition function. Regarding

**Table 3**

Translation of basic types, sets, lists and partial functions.

CML-DEVS	DEVS-Suite	PowerDEVS
$vName : \mathbb{N}$	Integer vName	unsigned int vName
$vName : \mathbb{Z}$	Integer vName	int vName
$vName : \mathbb{R}$	Double vName	double vName
$vName : \text{Time}$	Double vName	double vName
$vName : \text{Boolean}$	Boolean vName	bool vName
$vName : \text{Text}$	String vName	const char* vName
$vName : \{\dots\}$	String vName	const char* vName
$vName : \mathbb{P} \text{ Type}$	Set<Type> vName	std::set<Type> vName
$vName : \text{List Type}$	List<Type> vName	std::list<Type> vName
$vName : \text{Type1} \mapsto \text{Type2}$	Map<Type1,Type2> vName	std::map<Type1,Type2> vName

```

1  static class T_in extends Entity implements Comparable<Object>{
2      public Double v_Number;
3      public String v_Enum;
4      public String type;
5      T_in(){
6          v_Number = new Double(0.0);
7          v_Enum = new String("");
8          type = new String("");
9      }
10     T_in(T_in other){
11         this.v_Number=other.v_Number;
12         this.v_Enum=other.v_Enum;
13         this.type=other.type;
14     }
15     T_in(Double v){
16         v_Number=v;
17         type="Number";
18     }
19     T_in(String v){
20         v_Enum=v;
21         type="Enum";
22     }
23     @Override public boolean equals(Object obj){
24         if (obj == this) return true;
25         else if (obj==null) return false;
26         else if (obj.getClass() !=T_in.class) return false;
27         else{
28             T_in other = (T_in) obj;
29             if (other.type!=this.type) return false;
30             else if (this.type=="Number") return (this.v_Number.equals(other.v_Number));
31             else return (this.v_Enum.equals(other.v_Enum));
32         }
33     }
34     @Override public int compareTo(Object other){
35         return this.equals(other)?0:1;
36     }
37 }
38 T_in out;

```

Listing 1. Translation of the union  $in : \mathbb{R} \cup \{signal\}$  from CML-DEVS to DEVS-Suite.

```

1  engine = "stopped";
2  years = buildSet<int>(7,1974, 1988, 1990, 1991, 1992, 2004, 2013);
3  pair.v1 = (int)-14;
4  pair.v2 = (double)3.1416;
5  val = sin(45);
6  jobs = buildList<double>(3,2.34, 5.98, 6.83);
7  elem = (xs).front();
8  sigma = sigma - e;
9  listA = listB;

```

Listing 2. Translation of CML-DEVS assignments into C++ code.

the output ports, an “independent” class is defined for each of them since the values issued by these ports must be accessible from outside of the atomic model.

### 5.2.3. Assignments

Depending on the variable type or on the right hand side expression, an assignment may involve one or more sentences in the target language. Moreover, some auxiliary functions may be needed. Listing 2 shows the translation of the assignments of Fig. 4 into C++ (i.e. PowerDEVS) code.

Besides the *auxiliary functions* `buildSet` and `buildList`, there are several more that help with the translation. These can be seen in the technical report [32]. Note that these functions are not defined by the modeler, but by the compiler designer.

```

1 Set<Integer> setTmp = new TreeSet<Integer>(X);
2 for(Integer x: setTmp){
3     X = setDiff(X,buildSet(new Integer(x)));
4     X = setUnion(X,buildSet(new Integer(x*2)));
5 }

```

**Listing 3.** Translation of a CML-DEVS foreach sentence into Java code.

```

1 if (xs != buildList()){
2     s.v1 = xs.subList(1,xs.size()-1);
3     s.v2 = INFINITY;
4 }
5 else if (xs == buildList()){
6     s.v1 = xs;
7     s.v2 = INFINITY;
8 }

```

**Listing 4.** Translation of CML-DEVS case sentences into Java code.

#### 5.2.4. “For Each” sentences

Translating foreach sentences may need some auxiliary variables. Fig. 3 shows the translation into Java code of the CML-DEVS foreach sentence of the example in *For each structure* of Section 4.3. Recall that this kind of sentence works only with  $\mathbb{P}$  and List.

#### 5.2.5. “Case” sentences

The main structure of the case sentences are translated using the classical conditional structures of Java and C++, if, else if and else. Listing 4 shows how to translate into Java the case sentences of the internal transition function of Example 3.2. The key issue is the translation of the conditions. In Listing 5 we show the translation of the example conditions of Fig. 5 into C++.

#### 5.2.6. “Where” sentences

The translation of where sentences consists, precisely, in properly rearranging the order of the definitions and sentences in the target language, and performing the corresponding translations of such definitions and sentences. The translation of the where sentences of Fig. 6 into C++ is described in Listing 6.

### 5.3. Post-processing

Once the model has been translated into either DEVS-Java or PowerDEVS, a post-processing must be performed. Each occurrence of a state variable on an assignment or on the right hand side of an assignment, inside the transition function definitions, is replaced by a copy of these variables made at the beginning of the function. This replacement is done because in the internal and external transition functions, these variables may be modified, but their uses in the abstract model refer to their original values.

Suppose that in a model the state has the following representation:

$$S = \mathbb{N} \times \mathbb{R} \times \text{Time}$$

and the internal transition function,  $\delta_{int}$ , is as follows:

$$\delta_{int}((n, r, \sigma)) = (n + 1, r * n, \sigma + n)$$

```

1 !(engine=="stopped")
2 year != buildSet<int>()
3 pair.v1 <= 13
4 findInSet(jobs, (double)5.63)
5 isSubset(buildSet<int>((int)1974), years)
6 (in.type=="Enum") && (in.v_Enum=="emitir")

```

**Listing 5.** Translation of CML-DEVS conditions into C++ code.



```

1  std::list<Double> ys;
2  ys = listCat(xs, (double) value);
3  xs = ys;

```

**Listing 6.** Translation of a CML-DEVS where sentence into C++ code.

In this case, in both  $r * n$  and in  $\sigma + n$  the value of  $n$  before performing such transition must be considered, i.e. before  $n$  assumes the value  $n + 1$ . This is performed in two stages:

1. During the main translation step the following code is generated:

```

public void deltint() {
    n = n + 1;
    r = r*n;
    sigma = sigma + n;
}

```

2. And during post-processing the code above is modified as follows:

```

public void deltint() {
    modelName prev = new modelName(this);
    n = prev.n + 1;
    r = prev.r*prev.n;
    sigma = prev.sigma + prev.n;
}

```

#### 5.4. Translating back the simulation results

Once the model is simulated with the selected tool, a mechanism to translate back these results into CML-DEVS is needed in order to let the user analyze the simulation results, namely abstracting the *concrete* results. With the defined translation rules, a mapping between ports, with the associated value types, and its corresponding translations is established. Therefore, the backward translation is relatively straightforward because it entails only reversing that mapping. Recall that the output of the simulations is a list of events issued by some ports. These are constant values that are in the range of the mapping mentioned above.

For instance, let us consider again the example of the queue and its translation into a PowerDEVS model.<sup>2</sup> The first step is to create an atomic model just to capture the output of the queue atomic model, namely `QueueOut`. The definition of `QueueOut` only needs to know the class of the output values of the queue. Note that this information is available to our compiler since it defined such class. `QueueOut` translates back into CML-DEVS the received values and save them in a file. Recall that, in PowerDEVS, the output function outputs instances of the class `Event`. The relevant class members (for this explanation) are `void *value` and `Port port` (with `typedef int Port`). Consider that `QueueOut` receives the events in variable `Event event`. Therefore, the compiler needs to translate `event.value`. Suppose that two different values received by `QueueOut` are those described in the left hand column of [Table 4](#).

The compiler knows that `event.port` corresponds to CML-DEVS port *out*. So, it will generate an order pair of the form  $(out, value)$  where *value* is the translation of `event.value`. As can be seen, all the compiler needs to do at this point is to translate the same type of values that it translated when the simulation model was generated. For example `event.value.v_Number` is the result of translating  $\mathbb{R}$ , so, the number 3.14 is translated to 3.14.

## 6. A proposal for a CML-DEVS editor

To describe a CML-DEVS model it would be useful having a tool to assist the definition and edition of such a model, i.e. a CML-DEVS editor. This is specially helpful for using symbols like  $\mathbb{N}$ ,  $\mathbb{R}$ ,  $\infty$ ,  $\emptyset$ , and for describing in a fancy way, for example, functions defined by cases.

The first option is to write the models in plain text using commands as those of  $\text{\LaTeX}$ . One advantage is that CML-DEVS models can be easily rendered (i.e. display in an elegant form, as in a PDF document) as they would look if written with *pen and paper*.

An alternative solution consists in using any word processor, like Write of LibreOffice or Microsoft Word, and use the symbols provided by these tools. Later on, these documents can be easily processed by the compiler (because they save

<sup>2</sup> In this example we avoid as much as possible programming details such as casts, references, and pointers, to simplify the presentation.

**Table 4**  
Translating back outputs of the queue.

PowerDEVS output	CML-DEVS output
<pre>event.value.type = "Number" event.value.v_Number = 3.14 event.port = 0</pre>	(out, 3.14)
<pre>event.value.type = "Enum" event.value.v_Enum = "EMPTY" event.port = 0</pre>	(out, $\emptyset$ )

documents according to some XML style). A similar and complementary alternative is using any formula editor, to define complex functions or mathematical or logical sentences.

A third option could be to develop an IDE providing code typing assistance and syntax verification. A graphical environment capable of describing those symbols and showing models in an elegant way can help making user experience more satisfactory and similar to writing models by hand. This IDE can be integrated in a tool like Eclipse.

## 7. Validation and discussion of the proposal

We have used CML-DEVS in two case studies. Both include a DEVS model, its representation with CML-DEVS and its translation into PowerDEVS and DEVS-Suite generated by manually applying the translation rules presented in this article. Due to the extension of such case studies (specially the translated models) we do not include them here; they can be found on-line in [33]. One of the models represents the control system of an elevator and the other one a soda can vending machine. These DEVS models make use of all the advanced features of DEVS and some of the operators of set theory. The resulting CML-DEVS descriptions are as large as the original models. In turn, the translated code is considerably larger and complex both in PowerDEVS and DEVS-Suite. In our opinion these case studies show the feasibility of the approach presented in this paper.

## 8. Conclusions and further considerations

We introduced CML-DEVS, a novel modeling language that allows the description of conceptual DEVS models in their abstract form, independent of any platform or implementation. We consider that CML-DEVS is really abstract, specifically on its expressiveness and on its way of defining models. CML-DEVS main purpose is to bring DEVS models specifications closer to formalisms such as Z and B, where set theory is used to specify systems.

The main benefit of this language is that the specialist can define a model without having programming skills or without knowing a particular modeling language of a specific M&S tool. A model described using CML-DEVS looks like a conceptual model, based on mathematics and logic instead of a particular implementation of such model in a M&S tool.

We also present a set of rules to translate CML-DEVS models into PowerDEVS and DEVS-Suite models. These rules can be implemented within a compiler in order to automate these translations. In this way, the practitioner can describe his or her models in an abstract way and, afterwards, simulate them with the desired tool. Although we chose these two particular tools, it can be extended to other M&S tool languages.

The goal of describing DEVS models in their most abstract form, independent of any particular implementation, is two-fold: (a) it allows the interoperability between practitioners and/or researchers; and (b) it facilitates models' maintenance and modifications.

As part of our future research, we will develop a CML-DEVS multi-target compiler. We think that, having already defined the translation rules, it is not a very complex task to create a CML-DEVS IDE, including the CML-DEVS editor and the multi-target compiler.

Future work also involves extending CML-DEVS to characterize variants or extensions of DEVS, like P-DEVS [34], STDEVS [35], Cell-DEVS [36], RT-DEVS [37], VECDEVS [38]; i.e. use CML-DEVS to describe abstractly models in such formalisms. We may consider extending the translation rules of CML-DEVS models into other M&S tool languages.

Although the code generated from automated translations could be different from what expected (concerning complexity and/or optimality), we discourage editing the resulting code. If the practitioners need to make changes to the model, they should modify the CML-DEVS model and re-compile it. Only once the model is properly validated (for instance, using the techniques presented in [13]), the specialist could ask to some developer to make an optimal implementation in the most suitable simulator for such model.

## Acknowledgements

This research was partially funded by CONICET under grant a doctoral scholarship and by ANPCyT under grant PICT 2011-1002.

## References

- [1] B.P. Zeigler, H. Praehofer, T.G. Kim, *Theory of Modeling and Simulation*, 2nd ed., Academic Press, London, 2000.
- [2] B.P. Zeigler, S. Vahie, Devs formalism and methodology: unity of conception/diversity of application, in: *Proceedings of the 25th Winter Simulation Conference*, ACM Press, 1993, pp. 573–579.
- [3] H.J. Cho, Y.K. Cho, *DEVS-C++ Reference Guide*, The University of Arizona, 1997.
- [4] T.G. Kim, *DEVS++ User's Manual. C++ Based Simulation with Hierarchical Modular DEVS Models.*, Korea Advance Institute of Science and Technology, 1994.
- [5] G. Wainer, CD++: a toolkit to develop DEVS models, *Softw. – Pract. Exp.* 32 (2002) 1261–1306.
- [6] F. Bergero, E. Kofman, PowerDEVS: a tool for hybrid system modeling and real-time simulation, *Simulation* 87 (1–2) (2010) 113–132.
- [7] J.-B. Filippi, P. Bisgambiglia, JDEVS: an implementation of a DEVS based formal framework for environmental modelling, *Environ. Modell. Softw.* 19 (2004) 261–274.
- [8] S. Kim, H.S. Sarjoughian, V. Elamvazhuthi, DEVS-suite: a simulator supporting visual experimentation design and behavior monitoring, in: *Proceedings of the 2009 Spring Simulation Multiconference*, SpringSim '09, Society for Computer Simulation International, San Diego, CA, USA, 2009, pp. 161:1–161:7.
- [9] M.E.-A. Hamri, G. Zacharewicz, LSI-DME: an environment for modeling and simulation of DEVS specifications, in: *AIS-CMS International modeling and simulation multiconference*, Buenos Aires, Argentina, pp. 55–60.
- [10] J.M. Spivey, *The Z Notation: A Reference Manual*, Prentice Hall International (UK) Ltd., Hertfordshire, UK, UK, 1992.
- [11] J.-R. Abrial, *The B-book: Assigning Programs to Meanings*, Cambridge University Press, New York, NY, USA, 1996.
- [12] D. Jackson, Alloy: a logical modelling language, in: *ZB 2003: Formal Specification and Development in Z and B*, Third International Conference of B and Z Users, Turku, Finland, June 4–6, 2003, Proceedings, p. 1.
- [13] D.A. Hollmann, M. Cristiá, C. Frydman, A family of simulation criteria to guide DEVS models validation rigorously, systematically and semi-automatically, *Simul. Model. Pract. Theory* 49 (2014) 1–26.
- [14] DEVS Standardization Group. <<http://cell-devs.sce.carleton.ca/devsgroup/>> (Accessed: 06.18.14).
- [15] H. Vangheluwe, L. Bolduc, E. Posse, DEVS Standardization: some thoughts, in: *Winter Simulation Conference*, 2001.
- [16] L. Touraille, M.K. Traoré, D.R.C. Hill, A Mark-up Language for the storage, retrieval, sharing and interoperability of DEVS models, in: *Proceedings of the 2009 Spring Simulation Multiconference*, SpringSim '09, Society for Computer Simulation International, San Diego, CA, USA, 2009, pp. 163:1–163:6.
- [17] K.J. Hong, T.G. Kim, DEVSpect: DEVS specification language for modeling, simulation and analysis of discrete event systems, *Inf. Softw. Technol.* 48 (2006) 221–234.
- [18] S. Mittal, S.A. Douglass, DEVSMML 2.0: the language and the stack, in: *Proceedings of the 2012 Symposium on Theory of Modeling and Simulation – DEVS Integrative M&S Symposium*, TMS/DEVS '12, Society for Computer Simulation International, San Diego, CA, USA, 2012, pp. 17:1–17:12.
- [19] M.H. Hwang, B. Zeigler, Reachability graph of finite and deterministic DEVS networks, *IEEE Trans. Autom. Sci. Eng.* 6 (2009) 468–478.
- [20] P. Fishwick, Using XML for simulation modeling, in: *Simulation Conference*, 2002. Proceedings of the Winter, vol. 1, 2002, pp. 616–622.
- [21] M. Rohl, A. Uhrmacher, Flexible integration of XML into modeling and simulation systems, in: *Simulation Conference*, 2005 Proceedings of the Winter, 2005, p. 8.
- [22] H.S. Sarjoughian, Y. Chen, Standardizing DEVS models: an endogenous standpoint, in: *Proceedings of the 2011 Symposium on Theory of Modeling & Simulation: DEVS Integrative M&S Symposium*, TMS-DEVS '11, Society for Computer Simulation International, San Diego, CA, USA, 2011, pp. 266–273.
- [23] L. Touraille, Application of Model-driven Engineering and Metaprogramming to DEVS Modeling & Simulation, Ph.D. thesis, Doctoral dissertation, Université d'Auvergne, 2012.
- [24] H. Vangheluwe, Foundations of Modelling and Simulation of Complex Systems, *ECEASST*, vol. 10, 2008.
- [25] T. Kühne, G. Mezei, E. Syriani, H. Vangheluwe, M. Wimmer, Systematic Transformation Development, *ECEASST*, vol. 21, 2009.
- [26] M. Seck, A. Verbraeck, DEVS in DSOL: adding dev's operational semantics to a generic event-scheduling simulation environment, in: *Proceedings of the 2009 Summer Computer Simulation Conference*, SCSC '09, Society for Modeling & Simulation International, Vista, CA, 2009, pp. 261–266.
- [27] D. Cetinkaya, A. Verbraeck, M.D. Seck, A metamodel and a DEVS implementation for component based hierarchical simulation modeling, in: *Proceedings of the 2010 Spring Simulation Multiconference*, SpringSim '10, Society for Computer Simulation International, San Diego, CA, USA, 2010, pp. 170:1–170:8.
- [28] D. Cetinkaya, A. Verbraeck, M. Seck, Applying a model driven approach to component based modeling and simulation, in: *Simulation Conference (WSC)*, Proceedings of the 2010 Winter, pp. 546–553.
- [29] D. Cetinkaya, A. Verbraeck, M.D. Seck, MDD4MS: a model driven development framework for modeling and simulation, in: *Proceedings of the 2011 Summer Computer Simulation Conference*, SCSC '11, Society for Modeling & Simulation International, Vista, CA, 2011, pp. 113–121.
- [30] D. Cetinkaya, A. Verbraeck, Metamodeling and model transformations in modeling and simulation, in: *Proceedings of the Winter Simulation Conference*, WSC '11, Winter Simulation Conference, 2011, pp. 3048–3058.
- [31] L. Lamport, *LaTeX: A Document Preparation System*, 2nd ed., Addison-Wesley Professional, 1994.
- [32] D.A. Hollmann, CML-DEVS Technical Report. CIFASIS – CONICET, Rosario, Argentina, 2014. <<http://www.cifasis-conicet.gov.ar/hollmann/projects/CML-DEVS/TechReport.pdf>>.
- [33] D.A. Hollmann, CML-DEVS Models. CIFASIS – CONICET, Rosario, Argentina, 2014. <<http://www.cifasis-conicet.gov.ar/hollmann/projects/CML-DEVS/models/>>.
- [34] A.C. Chow, Parallel dev's: a parallel, hierarchical, modular modeling formalism and its distributed simulator, *Tran. Soc. Comput. Simul.* 13 (1996) 55–68.
- [35] R. Castro, E. Kofman, G. Wainer, A formal framework for stochastic discrete event system specification modeling and simulation, *Simulation* 86 (2010) 587–611.
- [36] G. Wainer, Discrete-events Cellular Models with Explicit Delays, Ph.D. thesis, Doctoral Dissertation, Université d'Aix-Marseille III, 1998.
- [37] J.S. Hong, H.-S. Song, T.G. Kim, K.H. Park, A real-time discrete event system specification formalism for seamless real-time software development, *Discrete Event Dyna. Syst. T* 7 (1997) 355–375.
- [38] F. Bergero, E. Kofman, A vectorial dev's extension for large scale system modeling and parallel simulation, *Simulation* 90 (2014) 522–546.



## A family of simulation criteria to guide DEVS models validation rigorously, systematically and semi-automatically



Diego A. Hollmann <sup>a,\*</sup>, Maximiliano Cristiá <sup>a,b</sup>, Claudia Frydman <sup>a,c</sup>

<sup>a</sup> CIFASIS, Centro Internacional Franco Argentino de Ciencias de la Información y de Sistemas, Ocampo y Esmeralda, S2000EZF Rosario, Argentina

<sup>b</sup> FCEIA – UNR, Rosario, Argentina

<sup>c</sup> Aix Marseille Université, CNRS, ENSAM, Université de Toulon, LSIS UMR 7296, 13397, Marseille, France

### ARTICLE INFO

#### Article history:

Received 30 September 2013

Received in revised form 7 July 2014

Accepted 9 July 2014

#### Keywords:

Model validation

DEVS

Discrete event simulation

Simulation criteria

Software engineering

### ABSTRACT

The most common method to validate a DEVS model against the requirements is to simulate it several times under different conditions, with some simulation tool. The behavior of the model is compared with what the system is supposed to do. The number of different scenarios to simulate is usually infinite, therefore, selecting them becomes a crucial task. This selection, actually, is made following the experience or intuition of an engineer. Here we present a family of criteria to conduct DEVS model simulations in a disciplined way and covering the most significant simulations to increase the confidence on the model. This is achieved by analyzing the mathematical representation of the DEVS model and, thus, part of the validation process can be automatized.

© 2014 Elsevier B.V. All rights reserved.

## 1. Introduction

The development and use of simulation models has been increasing considerably in recent years. Frequently they are used as the first representation of systems that later will be used for decision-making on critical situations. It has become increasingly necessary the definition of rigorous techniques to assure that these models represent as well as possible the real system being modeled. In other words, Verification and Validation (V&V) of simulation models has become crucial.

According to the US Department of Defense directive [1] verification is “the process of determining that a model implementation accurately represents the developer’s conceptual description and specifications”. In the context of simulation models, the question that model verification tries to answer is: “Are we simulating, or have we simulated, the model right?”. On the other hand, validation is “the process of determining the degree to which a model is an accurate representation of the real-world from the perspective of the intended uses of the model”. Here, the question is: “Are we simulating, or have we simulated, the right model?”

Performing V&V of simulation models has been identified as a paramount activity as it can increase the confidence of the user in the simulation results and lead to the accreditation/certification of the simulated system [2]. This accreditation or certification is specially important when the simulation results influence decision making over crucial issues.

Fig. 1, presented by Robinson [3], which, in turn, is adapted from Sargent [4] shows the different phases of V&V onto the modeling process. Our work is related to the *Conceptual Model Validation* phase, i.e., validate the conceptual or abstract simulation model against the requirements.

\* Corresponding author.

E-mail addresses: [hollmann@cifasis-conicet.gov.ar](mailto:hollmann@cifasis-conicet.gov.ar) (D.A. Hollmann), [cristia@cifasis-conicet.gov.ar](mailto:cristia@cifasis-conicet.gov.ar) (M. Cristiá), [claudia.frydman@lsis.org](mailto:claudia.frydman@lsis.org) (C. Frydman).

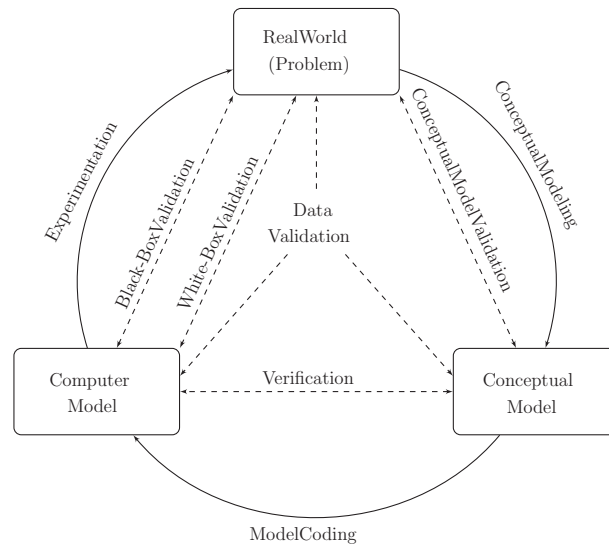


Fig. 1. Simulation model verification and validation in the modeling process.

### 1.1. Validation of simulation models and model-based testing

The validation of a model against the requirements, usually, cannot be performed mathematically because the requirements are not formal. An alternative way is via simulations. The engineer compares the results of the simulations with the requirements in order to decide if the model is correct or not. This is particularly important when either the model is large, its implementation is critical or critical decisions are made according to the results provided by the implementation of the model or by its simulations. Besides, since it is very important to find as many errors as possible and as earlier as possible, then a thorough simulation process can be an activity that will reduce the total cost of ownership of the target system.

During model simulation it would be desirable to run simulations from all possible simulation configurations and compare these behaviors against the requirements. Unfortunately, exhaustive simulation is impractical in almost all projects, since it involves an infinite number of simulation configurations. Considering this, the selection of an appropriate set of simulation configurations is a crucial issue that should consider two opposite factors: (a) the set of simulation configurations should be large enough as to give a reasonable assurance that the model is a correct representation of the requirements and (b) the set should be small enough so V&V fits within time and budget.

In this paper DEVS (Discrete Event system Specification) [5] is used as the modeling formalism. DEVS has gained popularity in recent years and it is the most general formalism to describe discrete event systems (DES). DEVS is an abstract basis for model specification that is independent of any particular simulation implementation. It is a formalism based on system theory, expressive enough to represent all other DES formalisms, i.e. all models representable in those formalisms can be represented in DEVS [6].

Fig. 2 presents a possible DEVS model validation process via simulations. According to this picture, first of all, the requirements and expected results are extracted from the *Real World*, or from the depiction of the problem being modeled. Based on them, the conceptual or abstract model is defined using a modeling formalism, in this case, DEVS. At this point, it is important to point out that, in order to simplify the validation process, this model must be described using a mathematical or logical representation of DEVS.

According to this validation process, once the abstract DEVS model is defined, a set of simulations configuration is derived from it. Afterwards, both, the simulations and the abstract DEVS model are refined, i.e. written in the input language of some concrete simulator (for instance, DEVS-C++ [7], DEVS++ [8], CD++ [9], PowerDEVS [10], JDEVS [11]). That is, in this context refinement means to translate an abstract representation into a concrete one. The concept of refinement is borrowed from the software engineering community [12].

Finally, the (concrete) simulation results need to be abstracted. In this sense, abstraction is the inverse process of refinement. Later, these abstract results are compared with the expected results. This latter issue, generally known as the *oracle problem*, is acute in this context as it is, for instance, in software testing, and there is no general solution [2,13].

Despite the fact that the final goal is to formalize the whole validation process, this article is focused on the selection of an appropriate set of simulation configurations. As mentioned before, this is the crucial part of this validation process. It consists in turning an infinite problem (the set of all simulations configurations) into a finite one. Further, this must be done trying to keep in the final set the important or revealing simulations. In other words, the final set of simulation configurations must be small and must thoroughly cover all the functional alternatives described in the model. The rest of the validation process consists mainly in an implementation process and is further detailed in Section 4.

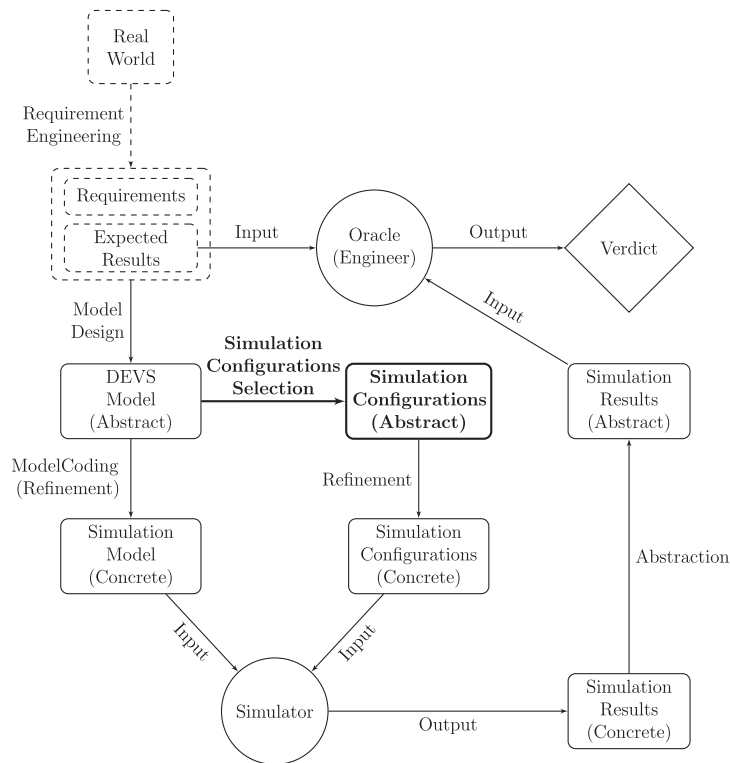


Fig. 2. DEVS model validation via simulations.

In general, model simulation is performed according to the experience or intuition of a specialist. Therefore no rigorous guidelines or criteria are followed to define an adequate set of simulations, making the simulation process informal and error prone. On the other hand, given that the selection of the simulations is an informal activity it cannot be automated in a high degree. However, it can be automated to some extent if the selection process is formalized in such a way that, later, a software tool can help in this task. Therefore, it would be desirable to formally define simulation criteria to consider the simulation of a model as a validation process with an acceptable degree of accuracy.

In the software testing field there is an analogous scenario. According to Utting and Legeard [12] software testing deals with the dynamic verification of the behavior of a program on a finite set of test cases, suitably selected from the usually infinite execution domain, against the expected behavior. There are several works trying to formalize the software testing process. Most of these works belong to a subfield of testing known as Model-Based Testing (MBT). Utting and Legeard define MBT as the generation of executable test cases, based on models of the behavior of the system under test (SUT). Hence, an analogy can be established between MBT and model validation by simulation. The model can be seen as the specification of the SUT in MBT and the test case generation as the generation of simulation configurations.

Being so important in software development, the MBT process has been improved up to the point of turning it almost automatic, in many cases obtaining quite good results [13,12,14]. Thus, it is worth to explore if MBT techniques can be replicated in the context of model validation by simulation.

An important part of this automation is possible because there are precise testing criteria. That is, testing criteria indicate which tests must be generated from the model, since there is usually an infinite number of possible tests [12]. Some of these criteria are based on the exploration of the model and others on the exploration of the source code of the program.

Even though many MBT methods can be used or adapted to follow the analogy mentioned before, we based our work on the Test Template Framework (TTF). The TTF is a MBT method presented by Stocks and Carrington [15] and implemented by Cristiá et al. [14]. The TTF was introduced to formally define test data sets providing structure to the testing process. The selection of the TTF as a MBT method is motivated by the fact that it deals with the logical and mathematical definition of the model instead of analyze, for instance, traces or executions of the model. Therefore, it can be applied to systems more complex than Finite State Machines (FSM) and DEVS is much more general than a simple FSM.

Taking all of this into account, the idea of this work is to extend the rigorous validation process of DEVS models presented by Hollmann et al. [16]. Also, a possible way to automate this process is discussed here. Furthermore, a new case study is presented and, in addition, we show some possible errors that could be overlooked during the validation or simulation phase if it is not carried following some systematic and disciplined criteria. The major contribution of this paper is to present an alternative systematic and semi-automatic method to conduct the simulation process of DEVS models in order to validate

them. This alternative method is based on well-known techniques in the *testing world* that can be adapted for the *model and simulation community*. We believe that simulating DEVS models following the techniques presented in this work will increase the confidence that the model is correct validating aspects or features of the model that could be overlooked by the specialist.

It is important to point out that the issue of running the simulations is not faced in this paper, leaving it as a second step of our research. Here, we give formal criteria to generate the simulation configurations that allow the corresponding simulations to be run in order to validate the model. However, we discuss how this work can be extended in such a way that simulation configurations can be provided to simulation tools.

The remainder of this paper is organized as follows. In the following section we describe and comment some other approaches to model validation. Section 3 presents the simulation criteria that form the core of our contribution. The possible automation of this validation process is addressed in Section 4. In Section 5 two case studies are described, and in Section 6 conclusion and some future work is discussed.

## 2. Related works and similar approaches

Below we discuss and comment different works involving verification and validation of simulation models. These works either present the most similar approaches to the one presented here, or they motivate or show why our work should be relevant for the modeling and simulation community.

Balci [17] presents guidelines for conducting verification, validation and accreditation of simulation models. He made a classification of the different V&V techniques for simulation models presenting a taxonomy of more than 77 V&V techniques for conventional simulation models and 38 V&V techniques for object-oriented simulation models. In his work, Balci listed model testing as one of the candidates for V&V of simulation models. Also, Labiche and Wainer [2] make a review of the V&V of discrete event system models. They propose to apply or adapt existing software testing techniques to the V&V of DEVS models. In particular, they claim that formal techniques should be applied. Thus justifying our approach. In several works [18–21] Sargent discusses different approaches, paradigms and techniques related to validation and verification of simulation models. These are interesting works to learn about a generalization of different validation and verification processes, however they do not describe any particular validation process in detail. Our present work complements all these papers by giving a detailed, semi-formal validation method adapted from the software engineering community.

There are several works that use verification techniques, like model checking, to verify the correctness of a model. For instance, Napoli and Parente [22] present a model-checking algorithm for Hierarchical Finite State Machines as an abstract DEVS model. They also focus on the generation of simulation configurations for DEVS, but as counter-examples obtained by the application of their model-checking algorithm. Another relevant and recent work involving verification techniques is [23] where Saadawi and Wainer introduce a new extension to the DEVS formalism, called the Rational Time-Advance DEVS (RTA-DEVS). RTA-DEVS models can be formally checked with standard model-checking algorithm and tools. Further, they introduce a methodology to transform classic DEVS models to RTA-DEVS models, allowing formal verification of classic DEVS. Although model checking techniques are formally defined and they are useful to prove properties and theorems over a model, the main problem of such techniques is the so-called *state explosion problem* [24], i.e. the exponential blowup of the state space and variables in any real or practical system. This made almost impossible the use of such techniques in large projects, although model checking has been used in real projects.

Hong and Kim [25] introduce a method for the verification of discrete event models. They propose a formalism, Time State Reachability Graph (TSRG), to specify modules of a discrete event model and a methodology for the generation of test sequences to test such modules at an I/O level. Later, a graph theoretical analysis of TSRG generates all possible timed I/O sequences from which a test set of timed I/O sequences with 100% coverage can be constructed. Similar to our work, they make an analogy between model verification and software testing.

Another recent work that applies verification techniques over discrete event simulation is [26] where da Silva and de Melo presents a method to perform simulations orderly and verify properties about them using transition systems. Both, the possible simulation paths and the property to be verified are described as transition systems. The verification is achieved by building a special kind of synchronous product between these two transition systems. They focused their work on the verification of properties by simulation but not on the generation of simulations in order to validate the model.

Li et al. [27] present a framework to test DEVS tools. In their framework they combine black-box and white-box testing approaches. Actually, this work is not really related to ours because they do not validate or verify a DEVS model, whereas they test DEVS implementations. However, it is useful to see how they introduce software testing techniques in the DEVS world.

After reviewing many works about V&V for simulation models it seems that there is no proposals similar to the validation method presented in this article. For instance, we could not find any work that deals with the mathematical or logical representation of the model as a starting point of the validation process. Moreover, we think that, in general, people of the modeling and simulation community do not take this issue into account. Actually they develop their models directly over a simulation tool, using its own modeling language, and make experiments directly over it. By working with the concrete model, these techniques aim at a verification problem, i.e. comparing the concrete model with the abstract model. We, on the other hand, propose, as a complementary technique, to work with the abstract model to check whether it conforms with

the user requirements or objectives. More concretely, our work proposes a method to formally validate abstract models and to introduce well known MBT techniques into this community.

### 3. A family of simulation criteria

The simulation criteria presented in this work aim to provide a guideline for methodically simulate DEVS models in order to validate them. As we mentioned in the introduction, DEVS is a formalism widely used in the modeling and simulation community and is the most general formalism to describe discrete event systems.

According to Zeigler et al. [5], there are two classes of models, *Atomic* models and *Coupled* models. Our work concerns only atomic models. In fact, a coupled model is equivalent to a (complex) atomic model [5].

An atomic DEVS Model is defined by the structure:

$$M = (X, Y, S, \delta_{int}, \delta_{ext}, \lambda, ta)$$

where

- $X$  is the set of input event values, i.e., the set of all possible values that an input event can assume;
- $Y$  is the set of output event values;
- $S$  is the set of state values;
- $\delta_{int} : S \rightarrow S$  is the internal transition function;
- $\delta_{ext} : Q \times S \rightarrow S$  is the external transition function, where  $Q = \{(s, e), s \in S, 0 \leq e \leq ta(s)\}$  is the *total state set*, and  $e$  is the *time elapsed* since last transition;
- $\lambda : S \rightarrow Y$  is the output function; and
- $ta : S \rightarrow \mathbb{R}_{0,\infty}^+$  is the time advance function.

$\delta_{int}$ ,  $\delta_{ext}$ ,  $\lambda$  and  $ta$  are the functions that define the system dynamics. Each possible state  $s \in S$  has associated a time advance,  $ta(s) \in \mathbb{R}_{0,\infty}^+$ , which indicates the time that the system will remain in that state if no input events occur. Once that time has passed, an internal transition is performed, reaching a new state  $s'$ ,  $s' = \delta_{int}(s)$ . At the same time, an output event,  $y$ , is generated by the output function,  $y = \lambda(s)$ . Therefore,  $\delta_{int}$ ,  $ta$  and  $\lambda$  define the autonomous behavior of the system.

When an input event arrives, an external transition is performed. The new state depends on the input value, the previous state and also the elapsed time since the last transition. If the system is in the state  $s$  and the input event  $x$  arrives in the instant  $e$  (i.e.  $e$  time unites the last transition) the new state,  $s'$ , is calculated as  $s' = \delta_{ext}(s, e, x)$ . In case of an external transition, no output event is generated.

#### 3.1. Simulation configurations partition

Given a DEVS model, in order to simulate it with some simulation tool, it is necessary to provide an initial state (not defined by the formalism) and a sequence of input events with their corresponding occurrence time, we call this initial state and sequence of input event a *Simulation Configuration*. Usually, the set of possible simulation configurations (all possible initial state and all possible input events) is infinite, even if the model has finite sets of inputs, states and outputs. Therefore, validation via simulation requires to select some of these possible simulation configurations, see Fig. 3. Currently, this selection is done according the experience of the engineer, therefore, a domain expert is usually needed.

The technique presented in this work proposes to divide the set of all possible simulation configurations into equivalence classes by applying one or more *partition criteria*. We call each of these equivalence classes a *Simulation Configuration Class* (SCC), i.e. a SCC is a set of possible simulation configurations. Afterward, one simulation configuration of each SCC must be selected, see Fig. 4. These selected simulation configurations are the only one that should be executed.

The reason for selecting just one simulation configuration from each class is based on the *uniformity hypothesis* presented by Bougé et al. [28]. They assert, in software testing, that “A program behaves uniformly on a equivalence class if the following holds: if the program works correctly for some input data of the equivalence class then it works correctly for any of them.” This is a key assumption made by the software testing community because it allows to reduce the potentially infinite

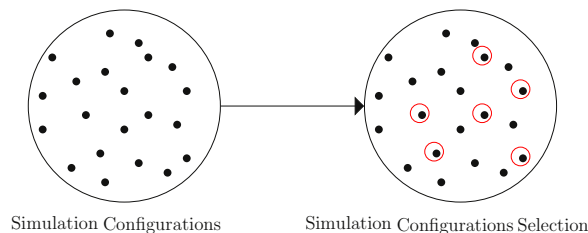


Fig. 3. Traditional configurations selection.



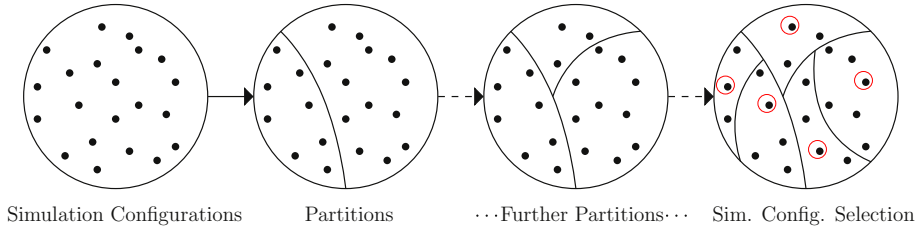


Fig. 4. Our proposal: simulation configurations partition.

input domain to a small, finite one. Being an assumption it is not proved although many testing methods are based on it [13]. In fact, the very idea of testing is implicitly based on this hypothesis because a single test case actually represents a whole class of test cases. In other words, when a tester selects a test case, he or she is assuming that it represents a set of possible candidates.

We adapt this concept to model validation. Therefore, we say that these subsets, in which the set of possible simulations was divided, are equivalence classes because it is assumed that the model has a uniform behavior for each subset of simulations. Furthermore, if the uniformity hypothesis holds and an error in the model is found for some simulation of a given class, then the same error would be revealed with any other simulation of that class.

In this context, the uniformity hypothesis can be formalized as follows. Let  $M_{abs}$  be some abstract model ( $M_{abs}$  can be seen as a mathematical or logical formula),  $M_{con}$  its concrete model, i.e. its corresponding refinement in a simulation tool language. If  $a$  is a simulation configuration derived from  $M_{abs}$ , let  $a'$  be its refinement. Then,  $M_{con}(a')$  means the execution of  $a'$  on  $M_{con}$ ; and  $M_{abs}(a, M_{con}(a'))$  asserts that  $M_{con}(a')$  is the expected result with respect to  $a$  according to  $M_{abs}$ . Note that if  $M_{con}(a')$  is not the expected result of  $a$  according to  $M_{abs}$ , then  $M_{abs}(a, M_{con}(a'))$  is false (i.e.  $\neg M_{abs}(a, M_{con}(a'))$  is true). Then, the uniformity hypothesis holds if and only if for every  $SCC_i$  and  $a \in SCC_i$  the following holds:

$$M_{abs}(a, M_{con}(a')) \Rightarrow \forall x \in SCC_i : M_{abs}(x, M_{con}(x'))$$

that is, the uniformity hypothesis holds if the model behaves the same for any two elements of a given  $SCC_i$ .

With this uniformity hypothesis, some strategies or criteria assume that every element of a class is equivalent to all the others (of the same class) for the simulation of a particular functionality of the model. However, this is just an hypothesis and it is not always satisfied. Therefore, as noted by Stocks and Carrington [15], this assumption is often invalid and they propose to apply repeatedly the strategies in order to partition the classes into sub-classes until either the engineer considers that the classes are reasonable small or each functionality of the model is covered by only one class [29].

Each element of a SCC consists of an initial state (to initialize the simulation) and an input pair containing the event to simulate and its corresponding time, i.e. when the event must be simulated.

Following this idea, in order to describe a SCC we need to define the set of possible initial states and the set of possible input pairs for the simulation. An input pair is an ordered pair (*event, time*). Therefore a SCC is defined by:

- a set of states,  $IniSt \subseteq S$ , and
- a set of ordered pairs of event and time,  $InPairs \subseteq \{(x, t) : x \in X \cup \{\tau\}, t \in \mathbb{R}_0^+\}$ .

where  $\tau$  represents the *no event* situation and an internal transitions occur in that case. This is necessary to indicate the simulation of an internal transition.

It is important to point out that in the DEVS formalism no initial state is defined. This, actually, belongs to the simulation phase and, since this work aims to conduct these simulations, an initial state must be defined. This is not necessarily the initial state of the system it is just the starting state for the simulation. Moreover, defining the initial state makes the simulation of the different functionalities of the model simpler, since it would not be necessary to guide the system to a particular state and start a simulation from there.

The total class of simulations, i.e. the set of all possible simulations, for a given DEVS model is defined by:

- $IniSt = IniSt_1 \cup \dots \cup IniSt_n = S$ , and
- $InPairs = InPairs_1 \cup \dots \cup InPairs_n = \{(x, t) : x \in X \cup \{\tau\} \wedge t \in \mathbb{R}_0^+\}$ .

$IniSt$  represents all possible initial states from which a simulation can be started. Note that, initially, all the states of the model, i.e.  $S$ , are potential candidates. However, some of this states may be considered *unsafe* or *unreachable* for the domain expert. Actually, until the model is validated, this could not be confirmed because, precisely, the engineers are trying to discover whether they have correctly understood and formalized the requirements, so they need to validate all the states (and discard all that are unsafe or unreachable).

$InPairs$  is the set of all possible input pairs. Then, the idea is to partition  $IniSt \times InPairs$  by analyzing the DEVS model guided by criteria defined below.

### 3.2. Partition criteria

Now we present the different partition criteria proposed in this work. The criteria are applied to different aspects of DEVS models. Some criteria apply, for instance, to the external transition function definition, others to the internal transition function definition and others to the definition of the states or input and outputs sets.

It is important to mention that at any time of the partition process it is possible that some criteria could not generate new classes, this is because the result could be classes already obtained. Moreover, it does not matter the order in which the criteria are applied, since each criterion is independent from the others.

In each of the following subsections a partition criterion is described.

#### 3.2.1. Transition functions defined by cases

It is very common to define the external and internal transition functions by cases. The first and more intuitive criterion is to partition the set of possible simulations into several classes, one for each case in the definition of the function.

Let  $\delta_{ext}$  and  $\delta_{int}$  be the transition functions of a DEVS model defined by cases:

$$\delta_{ext}(s, e, x) = \begin{cases} \text{expr}_{ext}^1(s, e, x) & \text{if } P_{ext}^1(s, e, x) \\ \vdots \\ \text{expr}_{ext}^n(s, e, x) & \text{if } P_{ext}^n(s, e, x) \end{cases}$$

$$\delta_{int}(s) = \begin{cases} \text{expr}_{int}^1(s) & \text{if } P_{int}^1(s) \\ \vdots \\ \text{expr}_{int}^m(s) & \text{if } P_{int}^m(s) \end{cases}$$

where  $\text{expr}_{ext}^i$  and  $\text{expr}_{int}^i$  are the results of the function if the proposition  $P_{ext}^i$  or  $P_{int}^i$ , respectively, holds. This criterion proposes to generate one class for each proposition in the definition of the internal and external transition functions. Each class is defined by:

- Associated to the External Transition Function:

$$\text{IniSt}_i = \{s \in S \mid \exists e \in \mathbb{R}_0^+, x \in X : P_{ext}^i(s, e, x)\},$$

$$\text{InPairs}_i = \{(x, t) \in \text{InPairs} \mid \exists s \in \text{IniSt}_i, e \in \mathbb{R}_0^+ : P_{ext}^i(s, e, x)\}.$$

with  $i \in [1, n]$

- Associated to the Internal Transition Function:

$$\text{IniSt}_j = \{s \in S \mid P_{int}^j(s)\},$$

$$\text{InPairs}_j = \{(\tau, 0)\}.$$

with  $j \in [1, m]$ .

In the case of the internal transition the idea is to configure a certain state allowing a particular internal transition to occur, that is why the time relative to the  $\tau$  event is 0.

#### 3.2.2. Extensional sets

In the definition of DEVS models, sometimes, some sets are defined by extension (states, input events or output events), i.e. listing the elements of the set. Necessarily these sets will be finite and relatively small. Therefore, this criterion proposes to simulate all scenarios where appears at least once each element of these sets.

Let us suppose that the set of states values,  $S$ , of some DEVS model is an extensional set:

$$S = \{s_1, s_2, \dots, s_n\}$$

therefore, the classes generated by applying this criterion should be:

$$\text{IniSt}_i = \{s_i\},$$

$$\text{InPairs}_i = \text{InPairs}.$$

with  $i \in [1, n]$ . By applying this criterion the engineer guarantees the simulation of the model in each possible state. However, if this criterion is only applied over the state definition, and no other criterion is applied, certain input events would not be simulated for certain states.

Let us suppose now, that the set of input variables is defined as:

$$X = \{x_1, x_2, \dots, x_n\}$$

the resulting classes now would be:

$$IniSt_i = S,$$

$$InPairs_i = \{(x_i, t), t \in \mathbb{R}_0^+\}.$$

with  $i \in [1, n]$ . Herein, the engineer ensures to simulate all possible input events. Combining these classes with the former, allows the simulation of all states with all inputs. This is explained further in Section 3.3.

### 3.2.3. Intentional sets

Set comprehensions or intentional sets is another usual form for defining sets in a DEVS model, i.e. specifying the properties that each element of the set must comply. This is done by a logical predicate, that could be a simple one or a very complex definition involving several operations. Thus, this criterion proposes to use this definition to partition the set of simulation configurations.

Let us suppose that the set of state is an intentional set,  $S = \{s : TYPE|P(s)\}$ , where  $TYPE$  is the type of the elements of the set and  $P$  is a logical predicate. The criterion proposes, first, to write  $P$  in its disjunctive normal form (DNF) [30]:

$$P = (P_1^1 \wedge \dots \wedge P_{n_1}^1) \vee (P_1^2 \wedge \dots \wedge P_{n_2}^2) \vee \dots \vee (P_1^m \wedge \dots \wedge P_{n_m}^m)$$

and afterward, partition the simulation configurations set according to this DNF:

$$IniSt_i = \{s \in S | (P_1^i(s) \wedge \dots \wedge P_{n_i}^i(s))\},$$

$$InPairs_i = InPairs.$$

with  $i \in [1, m]$ . The same idea can be applied to the set of inputs, outputs or any other intentional set of the model.

For instance, let us suppose that the set of inputs  $X$  of a given model is  $X = \{(n, m) | n * m > 0 \Rightarrow n > m\}$ . Therefore, the predicate  $P = n * m > 0 \Rightarrow n > m$  is written in its DNF by applying a known algorithm [30],  $P = \neg(n * m > 0) \vee (n > m)$  and two SCCs should be defined, one for the predicate  $\neg(n * m > 0)$  and the other for  $n > m$ .

### 3.2.4. Standard partitions

In almost all models, different mathematical operators appear in the definitions of the model elements (transition functions, time advance function, state values) and they can be simple (addition, sets union) or more complex (operators defined in terms of simpler ones, functions defined in a programming language or in a pseudo-code). Each operator has a particular input domain and this criterion proposes to divide this domain associating to it a *standard partition*. A standard partition is a partition of the operator's domain into sets called sub-domains; each sub-domain is defined by the conditions that each operand of the operation must satisfy. Thus, each sub-domain is transformed into a condition to generate a SCC.

Therefore, for each operator in the model a standard partition should be defined. For example, for the operator  $<$  ( $a < b$ ), the standard partition could be [29]:

$$\begin{array}{lll} a < 0, b < 0 & a < 0, b = 0 & a < 0, b > 0 \\ a = 0, b < 0 & a = 0, b = 0 & a = 0, b > 0 \\ a > 0, b < 0 & a > 0, b = 0 & a > 0, b > 0 \end{array}$$

Let us suppose that  $x_1, \dots, x_n$  are some of the variables that define the set of states,  $S$ , of some model and  $\theta(x_1, \dots, x_n)$  is an operator of arity  $n$  with the associated standard partition  $SP_1(x_1, \dots, x_n), \dots, SP_m(x_1, \dots, x_n)$ . When  $\theta$  appears in an expression the set of possible simulations must be partitioned using the standard partition associated with it:

$$IniSt_i = \{s \in S | SP_i(x_1, \dots, x_n)\},$$

$$InPairs_i = InPairs.$$

### 3.2.5. Domain propagation

This is a particular criterion, since it does not generate new partitions by itself. The purpose of it is to obtain standard partitions of complex operators combining the standard partitions of simpler sub-operators.

Each sub-operation has input domain partitions of its own which are ignored by the standard partitions criterion if it is applied to the complex operator. Using domain propagation the input domain partition of sub-operations are propagated to the higher level [31].

For example, let  $\square$  be a complex operator defined as:  $\square(A, B, C) = (A \triangle B) \diamond C$  where  $\triangle$  and  $\diamond$  are simple operators.

Let us suppose that  $\triangle$  and  $\diamond$  have the following standard partitions:

$$SP^\triangle(S, T) = D_1^\triangle(S, T) \vee \dots \vee D_n^\triangle(S, T)$$

$$SP^\diamond(U, V) = D_1^\diamond(U, V) \vee \dots \vee D_k^\diamond(U, V)$$

We apply first  $SP^\triangle$  to the sub-expression  $(A \triangle B)$ , replacing the formal parameters appearing in  $SP^\triangle$  by  $A$  and  $B$  respectively:

$$SP^\triangle(A, B) = D_1^\triangle(A, B) \vee \dots \vee D_m^\triangle(A, B)$$

with  $m \leq n$ .

Afterward we do the same with  $SP^\diamond$ , obtaining:

$$SP^\diamond(A \Delta B, C) = D_1^\diamond(A \Delta B, C), \vee \dots \vee D_j^\diamond(A \Delta B, C)$$

with  $j \leq k$ .

Finally, we combine both propositions obtained and simplify:

$$SP^\square = SP^\Delta(A, B) \wedge SP^\diamond(A \Delta B, C)$$

### 3.2.6. Time partitions

In timed formalisms, like DEVS, modeling the time is a crucial issue. It is very common, in DEVS models, to use additional variables to model time. Furthermore, one characteristic of these models is that the elapsed time appears in the external transition function definition as a variable. Therefore, in the validation of such a model, a question arise: “*how do we know if each event has been already simulated in all relevant or significant time interval?*”. That is, those time intervals in which it is possible to find an error in the model. Again, to answer that question all events must be simulated in all possible time interval making the validation an infinite process.

Therefore, this criterion consists in, first, identifying those variables of the state that interact with the elapsed time or are used to simulate the time advance or timers, for instance. Afterward it defines key time points, or intervals according with the interaction of those variables, for example, using the standard partition for the operations that involve every time variable. Once these key time intervals are defined, one class must be generated for each input at each time point. For example, let us suppose that the time interval  $[a, b]$  is relevant to see a particular functionality of the model, therefore it would be meaningful to simulate input events  $(x, t)$  with  $x \in X \cup \{\tau\}$  and times  $t < a, t = a, a < t < b, t = b$  and  $t > b$ . Formally, for each defined time interval  $[a_i, b_i]$ , five SCCs should be created:

- $IniSt_i^1 = \{s \in S\},$   
 $InPairs_i^1 = \{(x, t) | x \in X \cup \{\tau\}, t \in \mathbb{R}_0^+ \wedge t < a_i\}.$
- $IniSt_i^2 = \{s \in S\},$   
 $InPairs_i^2 = \{(x, a_i) | x \in X \cup \{\tau\}\}.$
- $IniSt_i^3 = \{s \in S\},$   
 $InPairs_i^3 = \{(x, t) | x \in X \cup \{\tau\}, t \in \mathbb{R}_0^+ \wedge a_i < t < b_i\}.$
- $IniSt_i^4 = \{s \in S\},$   
 $InPairs_i^4 = \{(x, b_i) | x \in X \cup \{\tau\}\}.$
- $IniSt_i^5 = \{s \in S\},$   
 $InPairs_i^5 = \{(x, t) | x \in X \cup \{\tau\}, t \in \mathbb{R}_0^+ \wedge t > b_i\}.$

and for each defined time point  $t_j$ , three classes should be created:

- $IniSt_j^1 = \{s \in S\},$   
 $InPairs_j^1 = \{(x, t) | x \in X \cup \{\tau\}, t \in \mathbb{R}_0^+ \wedge t < t_j\}.$
- $IniSt_j^2 = \{s \in S\},$   
 $InPairs_j^2 = \{(x, t_j) | x \in X \cup \{\tau\}\}.$
- $IniSt_j^3 = \{s \in S\},$   
 $InPairs_j^3 = \{(x, t) | x \in X \cup \{\tau\}, t \in \mathbb{R}_0^+ \wedge t > t_j\}.$

The intention of this criterion is to simulate different scenarios where events occur at different moments, to verify the interaction of those variables used to simulate the time among them and the interaction between these ones with the elapsed time (for external transitions).

Later, when this classes are combined with those generated, for instance, by the Extensional Sets criterion, it will be able to simulate all input events in all relevant time instants.

### 3.3. Combining classes

As has been mentioned in Section 3.2, the partition criteria are independent from each other. Furthermore, each simulation configuration aims to validate a particular characteristic of the model. However, it is usually more efficient to simultaneously validate more than one characteristic. We use efficiency as a measure of the number of errors found in the model. Computational efficiency is not addressed here.

In order to achieve this, it is better to combine the classes generated by applying each criterion. Observe that, however, not all criteria are always applied. This will depend on the model and on the time available for validating it. Also, observe that the same criterion can be applied more than once on the same model. For instance, if the criterion known as Extensional Sets is firstly applied over the state set and secondly over the input set of a given model, the result is two independent sets of

configurations. These sets of configurations can be combined in order to simulate the arrival of every input event on every state. In this way, these combined SCCs would find errors, for example, due to the arrival of an event on a wrong state.

Let us see how SCCs can be combined with a toy example. Let  $M_T = (X, Y, S, \delta_{int}, \delta_{ext}, \lambda, ta)$ , with  $X = \mathbb{N}$  and  $S = \mathbb{N} \times \{ON, OFF\}$ , be part of the model of some system. Suppose that after applying some criteria the following SCCs are obtained:

- $SCC_a$ :  
 $IniSt_a = \{(n, m) \in S | n \leq 10\}$ ,  
 $InPairs_a = \{(1, t) | t \in \mathbb{R}_0^+\}$
- $SCC_b$ :  
 $IniSt_b = \{(n, m) \in S | m = ON\}$ ,  
 $InPairs_b = \{(1, t) | t \in \mathbb{R}_0^+\}$
- $SCC_c$ :  
 $IniSt_c = \{(n, m) \in S | m = OFF\}$ ,  
 $InPairs_c = \{(1, t) | t \in \mathbb{R}_0^+\}$

Now, we can combine these classes by intersecting the corresponding *IniSt* and *InPairs* sets as follows:

- $SCC_d = SCC_a \wedge SCC_b$ :  
 $IniSt_d = IniSt_a \cap IniSt_b = \{(n, m) \in S | n \leq 10\} \cap \{(n, m) \in S | m = ON\} = \{(n, m) \in S | n \leq 10 \wedge m = ON\}$ ,  
 $InPairs_d = InPairs_a \cap InPairs_b = \{(1, t) | t \in \mathbb{R}_0^+\} \cap \{(1, t) | t \in \mathbb{R}_0^+\} = \{(1, t) | t \in \mathbb{R}_0^+\}$
- $SCC_e = SCC_a \wedge SCC_c$ :  
 $IniSt_e = IniSt_a \cap IniSt_c = \{(n, m) \in S | n \leq 10\} \cap \{(n, m) \in S | m = OFF\} = \{(n, m) \in S | n \leq 10 \wedge m = OFF\}$ ,  
 $InPairs_e = InPairs_a \cap InPairs_c = \{(1, t) | t \in \mathbb{R}_0^+\} \cap \{(1, t) | t \in \mathbb{R}_0^+\} = \{(1, t) | t \in \mathbb{R}_0^+\}$
- $SCC_f = SCC_b \wedge SCC_c$ :  
 $IniSt_f = IniSt_b \cap IniSt_c = \{(n, m) \in S | m = ON\} \cap \{(n, m) \in S | m = OFF\} = \{\}$   
 $InPairs_f = InPairs_b \cap InPairs_c = \{(1, t) | t \in \mathbb{R}_0^+\} \cap \{(1, t) | t \in \mathbb{R}_0^+\} = \{(1, t) | t \in \mathbb{R}_0^+\}$

Note, however, that only  $SCC_d$  and  $SCC_e$  are valid SCC since  $SCC_f$  is empty because  $IniSt_f$  is an empty set.

As this example shows, combining SCCs by intersection may yield empty classes. If this is the case: (a) eliminate them and (b) keep the SCCs that produced the empty ones.

Observe that, since intersection is commutative, it is the same to combine, for instance,  $SCC_a$  and  $SCC_b$  as  $SCC_a \cap SCC_b$  or as  $SCC_b \cap SCC_a$ . Moreover, if  $SCC_d$  is the result of combining  $SCC_a$  and  $SCC_b$ , and  $SCC_d$  is combined with some  $SCC_x$  the result is  $SCC_b \cap SCC_a \cap SCC_x$  which is the same regardless of the order in which classes are combined. In summary, SCCs can be combined in any order.

### 3.4. Simulation sequencing

Once all SCCs are defined it is necessary to set the initial state of the simulation and to execute a transition. However, the new state obtained from the transition may be the initial state of another SCC. If this is the case, then it would be computationally more efficient to continue the simulation by executing the transition indicated by this other SCC. This avoids a new configuration of another simulation for the mentioned SCC, i.e. this reuses the configuration left by the previous run. Then, this process yields a sequence of configurations that should be run one after the other.

Here we propose an algorithm to generate these sequences by analyzing the classes obtained by the application of the criteria. The pseudo code of the algorithm can be seen in [Algorithm 1](#), and it is explained below.

#### Algorithm 1. Simulation Sequencing

---

**Input:** *TotSCC*: Set of all SCCs generated by applying our methods  
**Output:** *SimSeq*: Set of configuration simulation sequences

- 1: **while** *TotSCC*  $\neq \emptyset$  **do**
- 2:   select *scc*  $\in$  *TotSCC*
- 3:   select *is*  $\in$  *scc.IniSt*
- 4:   select *ip*  $\in$  *scc.InPair*
- 5:   *s*  $\leftarrow$  *simulate(is, ip)*

```

6:  seq ← (is, ip)
7:  TotSCC ← TotSCC \ {scc}
8:  while ∃ scc' ∈ TotSCC | s ∈ scc'.IniSt do
9:    select scc' ∈ TotSCC | s ∈ scc'.IniSt
10:   select ip' ∈ scc'.InPairs
11:   s ← simulate(s, ip')
12:   seq ← seq ∘ (s, ip')
13:   TotSCC ← TotSCC \ {scc'}
14: end while
15: SimSeq ← SimSeq ∪ {seq}
16: end while

```

---

The main progress of [Algorithm 1](#) is led by the following idea: select one SCC ( $scc \in TotSCC$ ), an initial state from that SCC ( $is \in scc.IniSt$ ) and simulate one event of the set of input pairs ( $event, time$ ) associated to that SCC ( $ip \in scc.InPair$ ).  $simulate(s, ip')$  means to execute on step of the simulation model. Once the selected event has been simulated and a new state,  $s$ , is reached the current sequence is updated (sentence 6) and the set of SCCs is reduced by removing the SCC added to the sequence (sentence 7). Now, there are two alternatives: (a) wait for an internal transition to occur (if  $ta(s) \neq \infty$ ); (b) simulate another event. As shown in sentence 8, if there is a SCC,  $scc'$ , such that  $s$  is one of its initial states, then  $scc'$  is chosen as the next SCC. In which case one of its input pairs is simulated (sentences 10 and 11). Afterward, the process continues repeatedly choosing an event or waiting for an internal transition. At any point of this process, if the state reached from the last simulation step does not belong to any initial state of the remaining SCCs, that sequence ends there and it is added to the set of configuration simulation sequences (sentence 15). A new configuration simulation sequence is started if there are more SCCs.

Thereby, with [Algorithm 1](#) all SCCs are used at least once. Further, more complex coverage criteria could be defined for the generation of the sequences, for example, in a similar way than Souza et al. [\[32\]](#).

#### 4. Discussion and automation

As has been mentioned in the introduction, the technique presented in this paper would allow the automation of an important part of the DEVS model validation process. The intention of this section is to show that it would be possible to build a software tool to assist engineers when they apply our method. Therefore, we explain what can be automatically done in each step and we describe the main issues that need to be addressed in order to achieve this automation. Also, further considerations about this methodology are discussed.

An overview of this semi-automated process is the following:

1. Parse the mathematical description of the DEVS model.
2. Select and apply the partition criteria to generate the simulations.
3. Select simulations and generate simulation sequences.
4. Translate the simulation configurations into some simulation language and simulate them.
5. Translate the simulation results into the model formalism.
6. Compare the results with the requirements in order to achieve a verdict about the validation of the model.

The mathematical description of a DEVS model can be automatically be parsed only if it is written in a standard, formal notation. Being so important this issue in the modeling and simulation community, there exists an international group [\[33\]](#) trying to develop standards for a computer processable representation of the mathematical description of DEVS models. This is still an open area. This standard should be based on mathematics and logics, for instance, like Z [\[34\]](#) or TLA [\[35\]](#), instead of a standard based on or akin to a programming language. In this way, engineers do not need to have programming skills for writing their models. For example, we think that DEVSPEC [\[36\]](#), a DEVS specification language developed by Hong and Kim, looks more like a programming language rather than a mathematical representation of DEVS. The definition of a standard mathematical language for DEVS involves the definition of its syntax and semantic and the implementation of a compiler or parser to transform the mathematical model to the input language of a simulator.

Regarding the application of the criteria, a preliminary analysis indicates that it would be appropriate to apply them semi-automatically. We think that a tool should allow engineers to select which criterion must be applied to which part of the model. Moreover, the engineer could add new criteria and use them. Another alternative would be to implement an heuristic that automatically select the criteria according to an analysis over the description of the model.

The application of the criteria involves an important problem, which is the total number of SCCs generated. A preliminary analysis indicates that, although the number of classes could be considerable, it is not exponential since the number of criteria involved is fixed and small. The crucial issue is the combination between classes. The order of classes is given by  $O(x^n)$

where  $x$  is the number of classes generated by a criterion and  $n$  the number of criteria applied (recall that  $n$  is fixed and small).

Once the criteria have been applied and the SCCs have been defined in the following phase one simulation configuration for each SCC is selected. Finding a simulation configuration for a given SCC means to find an element belonging to it. Usually, this involves solving a formula over Set Theory, Arithmetic over Integer and Real Numbers and, possibly, other mathematical theories. Further, free variables range over infinite sets, making the problem undecidable. One possibility is to adopt a Satisfiability Modulo Theories (SMT) solver [37,38], by adapting the work of Cristiá and Frydman [39]. Another alternative could be to use constraint solvers such as  $\{log\}$  (pronounced 'setlog') [40–42].

The simulation configurations generated above, are described essentially in mathematics. Therefore, to perform the simulations these need to be refined, i.e. rewritten in the input language of some simulation tool, as the model definition. A possible way to do this, is adapting the work done for MBT [43]. This would be a semi-automatic process, since the engineer must define some rules to do this translation.

After performing the simulations, the reverse process must be done. That is, the results of these simulations must be rewritten in the mathematical or formal language used to describe the DEVS model. Again, this would be a semi-automatic process due to the definition of the translation rules. Then, the simulation results can be compared with the expected result (Requirements). This comparison is necessarily manual since involves the requirements.

Besides, it is possible to use this methodology to test the concrete simulation model. However, note that both validations cannot be done simultaneously for the same model. In effect, if our methodology is used to validate the abstract model it is necessary to assume that the concrete model is a faithful representation of the abstract one. On the other hand, if it is used to validate the concrete model it is necessary to assume that the abstract model is correct with respect to the requirements.

Finally, as can be seen, the simulation criteria are applied over the mathematical definition of the model and are based also on mathematical or logical operations. Therefore, the proposed validation methodology is rigorous and systematic (because it is based on mathematics, logic and formal languages). Moreover this methodology is systematic since the whole set of simulation configurations is systematically partitioned obtaining refined and more expressive simulation configuration classes. In this way, given that covering all possible paths of the model is impossible (because they are infinite) we propose to cover the logical and mathematical structure of the model, thus, covering the significant paths of the model.

## 5. Case studies

In this section we show the application of the criteria in two examples. In each case, first we present the requirements of the system, then we describe the DEVS model and finally the SCCs that follow the application of the criteria.

### 5.1. Elevator

The following requirements correspond to the control system of an elevator. It has a control panel with one button for each floor and two other buttons, one for opening and one for closing the door. Furthermore, it has a switch to interrupt or restart its operation. Every time the elevator reaches a floor it receives a signal (the same signal for all floors). To prevent accidents or malfunction of the elevator, it has two sensors, one to check, before or during the door close, if someone or something is crossing it; and the other one to prevent exceeding the weight limit of the elevator. To complete the functionality of the elevator, the system has three timers, whose purpose is described below.

The requirements of the system are:

- The door should not be closed if:
  - Any sensor is active (someone or something is crossing the door, or the weight limit is exceeded).
  - The Stop Switch is on.
- If the elevator is stopped at any floor and someone call it from another floor or someone press the button (on the control panel) of another floor, after  $T_{D_1}$  units of time the door should start closing, and takes  $T_{D_2}$  units of time to close completely. However, if the Open Button is pressed or the door sensor activates the timer is reset.
- If after  $T_A$  units of time ( $T_A > T_{D_1}$ ) since the elevator is called the door is not closed, an alarm is fired. Unlike the former timer, this is not reset even though the door sensor is activated or the open button is pressed. It is reset only when the door is totally closed and the elevator starts moving. If the alarm is fired, it should be turned off when this timer is reset.
- After  $T_{GF}$  units of time since the elevator is stopped in a floor different from the ground, if no one calls it, it should return to the ground floor and open its door.
- This elevator has no memory, therefore, it goes to the first floor indicated since it has been stopped.

#### 5.1.1. DEVS model

Figs. 5–7 represent a possible DEVS model corresponding to the control system of the elevator described before.

A state,  $s \in S$ , of the model is a tuple that represents, respectively, the floor where elevator is, the floor where it must go, the state of the elevator engine, the state of its door, the door and weight sensors, the alarm, the display, the different timers (door and alarm), including an operational timer, artificially added to control or manage some external events, and finally, a variable indicating the next timeout.

$$\begin{aligned}
M_{sv} &= (S, X, Y, \delta_{int}, \delta_{ext}, \lambda, ta) \\
S &= ActualFloor \times FloorCalled \times Engine \times Door \times Sensors \times Switch \times Alarm \times Timers \times NextTimer \\
\text{where:} \\
ActualFloor &= \mathbb{N} \\
FloorCalled &= \mathbb{N} \cup \{\emptyset\} \\
Engine &= \{\text{up, down, stopped}\} \\
Door &= \{\text{open, closed, closing}\} \\
Sensors &= \{0, 1\} \times \{0, 1\} \\
Alarm &= Switch = \{0, 1\} \\
Timers &= (\mathbb{R}_0^+ \cup \{\infty\}) \times (\mathbb{R}_0^+ \cup \{\infty\}) \times (\mathbb{R}_0^+ \cup \{\infty\}) \times (\mathbb{R}_0^+ \cup \{\infty\}) \times (\mathbb{R}_0^+ \cup \{\infty\}) \\
NextTimer &= \{A, D_1, D_2, GF, O\} \\
X &= \mathbb{N} \cup \{\text{fsig, ws}_{on}, \text{ws}_{off}, \text{ds}_{on}, \text{ds}_{off}, \text{od}_{press}, \text{cd}_{press}, \text{s}_{on}, \text{s}_{off}\} \\
Y &= (\mathbb{N} \cup \{\text{ST}\}) \times \{\text{up, down, stop, } \perp\} \times \{\text{opendoor, closeddoor, } \perp\} \times \{\text{firealarm, stopalarm, } \perp\} \\
\delta_{int}((f, fc, eng, d, (ws, ds), sw, a, (at, dt1, dt2, gft, ot), nt)) &= \\
&\left\{ \begin{aligned}
&(f, \emptyset, \text{stopped, open, } (ws, ds), sw, a, (\infty, \infty, \infty, \infty, T_{GF}, \infty), nt'(\infty, \infty, \infty, T_{GF}, \infty)) \\
&\quad \text{if } nt = O \wedge eng \neq \text{stopped} \wedge f = fc \wedge f \neq 0 \tag{1} \\
&(f, \emptyset, \text{stopped, open, } (ws, ds), sw, a, (\infty, \infty, \infty, \infty, \infty), nt'(\infty, \infty, \infty, T_{GF}, \infty)) \\
&\quad \text{if } nt = O \wedge eng \neq \text{stopped} \wedge f = fc \wedge f = 0 \tag{2} \\
&(f, fc, eng, d, (ws, ds), sw, a, (\infty, \infty, \infty, \infty, \infty), nt'(\infty, \infty, \infty, \infty, \infty)) \\
&\quad \text{if } nt = O \wedge eng \neq \text{stopped} \wedge f \neq fc \tag{3} \\
&(f, fc, \text{stopped, d, } (ws, ds), sw, a, (T_A, \infty, \infty, \infty, \infty), nt'(T_A, \infty, \infty, \infty, \infty)) \\
&\quad \text{if } nt = O \wedge sw = 1 \wedge eng \neq \text{stopped} \tag{4} \\
&(f, fc, eng, d, (ws, ds), sw, a, (at - ot, dt1 - ot, dt2 - ot, gft - ot, \infty), nt'(at - ot, dt1 - ot, dt2 - ot, gft - ot, \infty)) \\
&\quad \text{if } nt = O \wedge sw = 1 \wedge eng = \text{stopped} \tag{5} \\
&(f, fc, \text{up, d, } (ws, ds), sw, 0, (\infty, \infty, \infty, \infty, \infty), nt'(\infty, \infty, \infty, \infty, \infty)) \\
&\quad \text{if } nt = O \wedge ds = 0 \wedge ws = 0 \wedge sw = 0 \wedge d = \text{closed} \wedge fc \neq \emptyset \wedge fc > f \tag{6} \\
&(f, fc, \text{down, d, } (ws, ds), sw, 0, (\infty, \infty, \infty, \infty, \infty), nt'(\infty, \infty, \infty, \infty, \infty)) \\
&\quad \text{if } nt = O \wedge ds = 0 \wedge ws = 0 \wedge sw = 0 \wedge d = \text{closed} \wedge fc \neq \emptyset \wedge fc < f \tag{7} \\
&(f, fc, eng, \text{closing, } (ws, ds), sw, 0, (at - ot, \infty, T_{D_2}, \infty, \infty), nt'(at - ot, \infty, T_{D_2}, \infty, \infty)) \\
&\quad \text{if } nt = O \wedge ds = 0 \wedge ws = 0 \wedge sw = 0 \wedge d = \text{open} \wedge fc \neq \emptyset \tag{8} \\
&(f, fc, eng, d, (ws, ds), sw, a, (\infty, \infty, \infty, gft - ot, \infty), nt'(\infty, \infty, \infty, gft - ot, \infty)) \\
&\quad \text{if } nt = O \wedge ds = 0 \wedge ws = 0 \wedge sw = 0 \wedge fc = \emptyset \tag{9} \\
&(f, fc, eng, \text{open, } (ws, ds), sw, a, (at - ot, T_{D_1}, \infty, \infty, \infty), nt'(at - ot, T_{D_1}, \infty, \infty, \infty)) \\
&\quad \text{if } nt = O \wedge d = \text{closing} \tag{10} \\
&(f, fc, eng, \text{closing, } (ws, ds), sw, a, (at - dt1, \infty, T_{D_2}, \infty, ot - dt1), nt'(at - dt1, \infty, T_{D_2}, \infty, ot - dt1)) \\
&\quad \text{if } nt = D_1 \wedge ds = 0 \wedge ws = 0 \wedge sw = 0 \tag{11} \\
&(f, fc, eng, d, (ws, ds), sw, a, (at - dt1, \infty, \infty, \infty, ot - dt1), nt'(at - dt1, \infty, \infty, \infty, ot - dt1)) \\
&\quad \text{if } nt = D_1 \wedge \neg(ds = 0 \wedge ws = 0 \wedge sw = 0) \tag{12} \\
&(f, fc, \text{up, closed, } (ws, ds), sw, 0, (\infty, \infty, \infty, \infty, \infty, ot - dt2), nt'(\infty, \infty, \infty, \infty, \infty, ot - dt2)) \\
&\quad \text{if } nt = D_2 \wedge ds = 0 \wedge ws = 0 \wedge sw = 0 \wedge fc > f \tag{13} \\
&(f, fc, \text{down, closed, } (ws, ds), sw, 0, (\infty, \infty, \infty, \infty, \infty, ot - dt2), nt'(\infty, \infty, \infty, \infty, \infty, ot - dt2)) \\
&\quad \text{if } nt = D_2 \wedge ds = 0 \wedge ws = 0 \wedge sw = 0 \wedge fc < f \tag{14} \\
&(f, fc, eng, d, (ws, ds), sw, a, (at - dt2, \infty, \infty, \infty, \infty, ot - dt2), nt'(at - dt2, \infty, \infty, \infty, \infty, ot - dt2)) \\
&\quad \text{if } nt = D_2 \wedge \neg(ds = 0 \wedge ws = 0 \wedge sw = 0) \tag{15} \\
&(f, fc, eng, d, (ws, ds), sw, 1, (\infty, dt1 - at, dt2 - at, gft - at, ot - at), nt'(\infty, dt1 - at, dt2 - at, gft - at, ot - at)) \\
&\quad \text{if } nt = A \tag{16} \\
&(f, 0, eng, \text{closing, } (ws, ds), sw, a, (\infty, \infty, T_{D_2}, \infty, \infty), nt'(\infty, \infty, T_{D_2}, \infty, \infty)) \\
&\quad \text{if } nt = GF \wedge f \neq 0 \wedge fc = \emptyset \wedge d = \text{open} \wedge ds = 0 \wedge ws = 0 \wedge sw = 0 \tag{17} \\
&(f, 0, eng, d, (ws, ds), sw, a, (at - gft, \infty, \infty, \infty, \infty), nt'(at - gft, \infty, \infty, \infty, \infty)) \\
&\quad \text{if } nt = GF \wedge f \neq 0 \wedge fc = \emptyset \wedge d = \text{open} \wedge \neg(ds = 0 \wedge ws = 0 \wedge sw = 0) \tag{18}
\end{aligned} \right.
\end{aligned}$$

Fig. 5. DEVS Model of an elevator control system (part a).

The input, can be a number (indicating a floor) or different signals, indicating that the elevator has reached a floor, the weight or door sensor has been activated or deactivated, the opening or closing door button is pressed or the switch is turned on or off.

The output, in turn, is a tuple, where each variable represent an indication, respectively, for the display, the engine, the door and the alarm.  $\perp$  means “do nothing”.

Regarding the internal transition function let us describe some cases in order to understand it. For instance, the case (15) represents when the timer of the alarm finish and the alarm must fire, with its corresponding cases (24) and (25) in the



$\delta_{ext}((f, fc, eng, d, (ws, ds), sw, a, (at, dt1, dt2, gft, ot), nt), e, x) =$

$$\begin{aligned}
 & \left. \begin{aligned}
 & (f, n, eng, d, (ws, ds), sw, a, (\top_A, \top_{D_1}, dt2', \infty, ot'), nt'(\top_A, \top_{D_1}, dt2', \infty, ot')) \\
 & \quad \text{if } x = n, n \in \mathbb{N} \wedge n \neq f \wedge eng = \text{stopped} \wedge fc = \emptyset \tag{1} \\
 & (f + 1, fc, eng, d, (ws, ds), sw, a, (at', dt1', dt2', gft', 0), nt'(at', dt1', dt2', gft', 0)) \\
 & \quad \text{if } x = \text{fsig} \wedge eng = \text{up} \tag{2} \\
 & (f - 1, fc, eng, d, (ws, ds), sw, a, (at', dt1', dt2', gft', 0), nt'(at', dt1', dt2', gft', 0)) \\
 & \quad \text{if } x = \text{fsig} \wedge eng = \text{down} \tag{3} \\
 & (f, fc, eng, d, (ws, 1), sw, a, (at', dt1', dt2', gft', 0), nt'(at', dt1', dt2', gft', 0)) \\
 & \quad \text{if } x = \text{ds}_{on} \wedge eng = \text{stopped} \tag{4} \\
 & (f, fc, eng, d, (ws, 1), sw, a, (at', dt1', dt2', gft', ot'), nt'(at', dt1', dt2', gft', ot')) \\
 & \quad \text{if } x = \text{ds}_{on} \wedge eng \neq \text{stopped} \tag{5} \\
 & (f, fc, eng, d, (ws, 0), sw, a, (at', \top_{D_1}, dt2', gft', ot'), nt'(at', \top_{D_1}, dt2', gft', ot')) \\
 & \quad \text{if } x = \text{ds}_{off} \wedge d = \text{open} \wedge fc \neq \emptyset \wedge ws = 0 \wedge sw = 0 \tag{6} \\
 & (f, fc, eng, d, (ws, 0), sw, a, (at', dt1', dt2', gft', ot'), nt'(at', dt1', dt2', gft', ot')) \\
 & \quad \text{if } x = \text{ds}_{off} \wedge (d \neq \text{open} \vee fc = \emptyset \vee ws = 1 \vee sw = 1) \tag{7} \\
 & (f, fc, eng, d, (1, ds), sw, a, (at', dt1', dt2', gft', 0), nt'(at', dt1', dt2', gft', 0)) \\
 & \quad \text{if } x = \text{ws}_{on} \wedge eng = \text{stopped} \tag{8} \\
 & (f, fc, eng, d, (1, ds), sw, a, (at', dt1', dt2', gft', ot'), nt'(at', dt1', dt2', gft', ot')) \\
 & \quad \text{if } x = \text{ws}_{on} \wedge eng \neq \text{stopped} \tag{9} \\
 & (f, fc, eng, d, (0, ds), sw, a, (at', \top_{D_1}, gft', ot'), nt'(at', \top_{D_1}, gft', ot')) \\
 & \quad \text{if } x = \text{ws}_{off} \wedge fc \neq \emptyset \wedge d = \text{open} \tag{10} \\
 & (f, fc, eng, d, (0, ds), sw, a, (at', dt1', dt2', gft', ot'), nt'(at', dt1', dt2', gft', ot')) \\
 & \quad \text{if } x = \text{ws}_{off} \wedge (fc = \emptyset \vee d \neq \text{open}) \tag{11} \\
 & (f, fc, eng, d, (ws, ds), 1, a, (at', dt1', dt2', gft', 0), nt'(at', dt1', dt2', gft', 0)) \\
 & \quad \text{if } x = s_{on} \tag{12} \\
 & (f, fc, eng, d, (ws, ds), 0, a, (at', \top_{D_1}, dt2', gft', ot'), nt'(at', \top_{D_1}, dt2', gft', ot')) \\
 & \quad \text{if } x = s_{off} \wedge d = \text{open} \wedge fc \neq \emptyset \wedge fc \neq f \tag{13} \\
 & (f, fc, eng, d, (ws, ds), 0, a, (at', dt1', dt2', gft', ot'), nt'(at', dt1', dt2', gft', ot')) \\
 & \quad \text{if } x = s_{off} \wedge fc = \emptyset \tag{14} \\
 & (f, fc, eng, d, (ws, ds), 0, a, (at', dt1', dt2', gft', 0), nt'(at', dt1', dt2', gft', 0)) \\
 & \quad \text{if } x = s_{off} \wedge fc \neq \emptyset \wedge d = \text{closed} \tag{15} \\
 & (f, fc, eng, d, (ws, ds), sw, a, (at', dt1', dt2', gft', 0), nt'(at', dt1', dt2', gft', 0)) \\
 & \quad \text{if } x = \text{od}_{press} \wedge d = \text{closing} \tag{16} \\
 & (f, fc, eng, d, (ws, ds), sw, a, (at', 0, dt2', gft', ot'), nt'(at', 0, dt2', gft', ot')) \\
 & \quad \text{if } x = \text{cd}_{press} \wedge d = \text{open} \wedge fc \neq \emptyset \wedge ds = 0 \wedge ws = 0 \wedge sw = 0 \tag{17} \\
 & (f, fc, eng, d, (ws, ds), sw, a, (at', dt1', dt2', gft', ot'), nt'(at', dt1', dt2', gft', ot')) \\
 & \quad \text{Otherwise} \tag{18}
 \end{aligned}
 \right\}
 \end{aligned}$$

$$nt'(at, dt1, dt2, gft, ot) = \begin{cases}
 A & \text{if } \min(at, dt1, dt2, gft, ot) = at \\
 D_1 & \text{if } \min(at, dt1, dt2, gft, ot) = dt1 \\
 D_2 & \text{if } \min(at, dt1, dt2, gft, ot) = dt2 \\
 GF & \text{if } \min(at, dt1, dt2, gft, ot) = gft \\
 O & \text{if } \min(at, dt1, dt2, gft, ot) = ot
 \end{cases}$$

$$at' = at - e, dt1' = dt1 - e, dt2' = dt2 - e, gft' = gft - e, ot' = ot - e,$$

Fig. 6. DEVS Model of an elevator control system (part b).

output function case. The case (9), in turn, represents when the open button is pressed and the door must be opened, being the door closing. The corresponding case in the output function is (15).

On the other hand, the external transition function is more intuitive to understand each case of it. For instance, case (1) represents when the elevator is called from some floor, different from the actual, the engine is stopped and there is no other floor called. Meanwhile, cases (8) and (9) stand for the case when the switch is activated being the engine stopped or not respectively.

### 5.1.2. Generating simulations

Starting with the set of all possible simulations for this example, we now apply each criteria presented before generating different classes. Later, these classes are conjoined, generating new classes. For each criterion, here, we show only some classes, the rest of them can be observed in [Appendix A](#).

$\lambda((f, fc, eng, d, (ws, ds), sw, a, (at, dt1, dt2, gft, ot), nt)) =$

$(f, \perp, \text{closedoor}, \perp)$	if $nt = D_1 \wedge ds = 0 \wedge ws = 0 \wedge sw = 0$	(1)
$(f, \perp, \perp, \perp)$	if $nt = D_1 \wedge (ws = 1 \vee ds = 1) \wedge sw = 0$	(2)
$(ST, \perp, \perp, \perp)$	if $nt = D_1 \wedge sw = 1$	(3)
$(f, \text{up}, \perp, \perp)$	if $nt = D_2 \wedge ds = 0 \wedge ws = 0 \wedge sw = 0 \wedge fc > f \wedge a = 0$	(4)
$(f, \text{down}, \perp, \perp)$	if $nt = D_2 \wedge ds = 0 \wedge ws = 0 \wedge sw = 0 \wedge fc < f \wedge a = 0$	(5)
$(f, \text{up}, \perp, \text{stopalarm})$	if $nt = D_2 \wedge ds = 0 \wedge ws = 0 \wedge sw = 0 \wedge fc > f \wedge a = 1$	(6)
$(f, \text{down}, \perp, \text{stopalarm})$	if $nt = D_2 \wedge ds = 0 \wedge ws = 0 \wedge sw = 0 \wedge fc < f \wedge a = 1$	(7)
$(f, \perp, \perp, \perp)$	if $nt = D_2 \wedge (ws = 1 \vee ds = 1) \wedge sw = 0$	(8)
$(ST, \perp, \perp, \perp)$	if $nt = D_2 \wedge sw = 1$	(9)
$(f, \perp, \text{closedoor}, \perp)$	if $nt = GF \wedge f \neq 0 \wedge fc = \perp \wedge d = \text{open} \wedge ds = 0 \wedge ws = 0 \wedge sw = 0$	(10)
$(f, \perp, \perp, \perp)$	if $nt = GF \wedge (f = 0 \vee ws = 1 \vee ds = 1) \wedge sw = 0$	(11)
$(ST, \perp, \perp, \perp)$	if $nt = GF \wedge sw = 1$	(12)
$(f, \text{stop}, \text{opendoor}, \perp)$	if $nt = O \wedge eng \neq \text{stopped} \wedge f = fc$	(13)
$(f, \perp, \perp, \perp)$	if $nt = O \wedge eng \neq \text{stopped} \wedge f \neq fc$	(14)
$(f, \perp, \text{opendoor}, \perp)$	if $nt = O \wedge d \neq \text{open} \wedge eng = \text{stopped}$	(15)
$(ST, \text{stop}, \perp, \perp)$	if $nt = O \wedge sw = 1 \wedge eng \neq \text{stopped}$	(16)
$(ST, \perp, \perp, \perp)$	if $nt = O \wedge sw = 1 \wedge eng = \text{stopped}$	(17)
$(f, \text{up}, \perp, \perp)$	if $nt = O \wedge ds = 0 \wedge ws = 0 \wedge sw = 0 \wedge d = \text{closed} \wedge fc > f \wedge a = 0$	(18)
$(f, \text{down}, \perp, \perp)$	if $nt = O \wedge ds = 0 \wedge ws = 0 \wedge sw = 0 \wedge d = \text{closed} \wedge fc < f \wedge a = 0$	(19)
$(f, \text{up}, \perp, \text{stopalarm})$	if $nt = O \wedge ds = 0 \wedge ws = 0 \wedge sw = 0 \wedge d = \text{closed} \wedge fc > f \wedge a = 1$	(20)
$(f, \text{down}, \perp, \text{stopalarm})$	if $nt = O \wedge ds = 0 \wedge ws = 0 \wedge sw = 0 \wedge d = \text{closed} \wedge fc < f \wedge a = 1$	(21)
$(f, \perp, \perp, \perp)$	if $nt = O \wedge d = \text{open} \wedge sw = 0$	(22)
$(f, \perp, \text{closedoor}, \perp)$	if $nt = O \wedge d = \text{open} \wedge fc \neq \perp \wedge a = 1$	(23)
$(f, \perp, \perp, \text{firealarm})$	if $nt = A \wedge sw = 0$	(24)
$(ST, \perp, \perp, \text{firealarm})$	if $nt = A \wedge sw = 1$	(25)

$ta((f, fc, eng, d, (ws, ds), sw, a, f(at, dt1, dt2, gft, ot))) = \min(at, dt1, dt2, gft, ot)$

Fig. 7. DEVS Model of an elevator control system (part c).

5.1.2.1. *Transition function defined by cases.* The first criterion that we apply to this example uses the definition of the external and the internal transition functions generating one class for each case in each function definition.

To describe the SCCs for this example, we will use several times a generic  $s \in S$  defined as  $s = (f, fc, eng, d, (ws, ds), sw, a, f(at, dt1, dt2, gft, ot), nt)$ .

Some classes generated by this criterion:

- $IniSt_1 = \{s : s \in S | eng = \text{stopped} \wedge fc = \emptyset\}$ ,  
 $InPairs_1 = \{(x, t) | x = n, n \in \mathbb{N} \wedge n \neq f \wedge t \in \mathbb{R}_0^+\}$
- $IniSt_{13} = \{s : s \in S | d = \text{open} \wedge fc \neq \emptyset \wedge fc \neq f\}$ ,  
 $InPairs_{13} = \{(s_{\text{off}}, t) | t \in \mathbb{R}_0^+\}$
- $IniSt_{30} = \{s : s \in S | nt = D_2 \wedge ds = 0 \wedge ws = 0 \wedge sw = 0 \wedge fc > f\}$   
 $InPairs_{30} = \{(\tau, 0)\}$

5.1.2.2. *Extensional sets.* In this example we have six sets defined by extension, *Engine, Door, Sensors, Alarm, Switch* and *Next-Timer*. Furthermore,  $X$  is the union of an infinite set and a set defined by extension.

Since these sets have a relative small number of elements (considering only the finite set of the union resulting in  $X$ ), we should define one SCC for each element of them, as this criterion proposes:

- $IniSt_{36} = \{s : s \in S\}$ ,  
 $InPairs_{36} = \{(x, t) | x \in \mathbb{N}, t \in \mathbb{R}_0^+\}$
- $IniSt_{49} = \{s : s \in S | d = \text{open}\}$ ,  
 $InPairs_{49} = \{(x, t) | x \in X \cup \{\tau\}, t \in \mathbb{R}_0^+\}$
- $IniSt_{57} = \{s : s \in S | a = 1\}$ ,  
 $InPairs_{57} = \{(x, t) | x \in X \cup \{\tau\}, t \in \mathbb{R}_0^+\}$
- $IniSt_{59} = \{s : s \in S | sw = 1\}$ ,  
 $InPairs_{59} = \{(x, t) | x \in X \cup \{\tau\}, t \in \mathbb{R}_0^+\}$

5.1.2.3. *Standard partitions.* Now we apply the standard partitions criterion over the operators  $<$ ,  $>$ ,  $+$  and  $-$ . For these operators could be used the same standard before in subSection 3.2.4. However, some cases must be ignored since the involved variables cannot be less than zero ( $f \geq 0$  and  $fc \geq 0$ ).

The following classes are some of the result of applying this criterion. The first two relate to the occurrence of the operators  $<$  and  $>$  in the definition of the internal transition function and the last two, to the occurrence of the operators  $+$  and  $-$  in the external transition function.

- $IniSt_{67} = \{s : s \in S | nt = 0 \wedge ds = 0 \wedge ws = 0 \wedge sw = 0 \wedge d = \text{closed} \wedge fc \neq \emptyset \wedge fc = f \wedge f = 0\}$ ,  
 $InPairs_{67} = \{(\tau, 0)\}$
- $IniSt_{72} = \{s : s \in S | nt = 0 \wedge ds = 0 \wedge ws = 0 \wedge sw = 0 \wedge d = \text{closed} \wedge fc \neq \emptyset \wedge fc > f \wedge f = 0\}$ ,  
 $InPairs_{72} = \{(\tau, 0)\}$
- $IniSt_{76} = \{s : s \in S | nt = D_2 \wedge ds = 0 \wedge ws = 0 \wedge sw = 0 \wedge fc > f \wedge f > 0\}$ ,  
 $InPairs_{76} = \{(\tau, 0)\}$
- $IniSt_{77} = \{s : s \in S | nt = D_2 \wedge ds = 0 \wedge ws = 0 \wedge sw = 0 \wedge fc < f \wedge fc = 0\}$ ,  
 $InPairs_{77} = \{(\tau, 0)\}$

5.1.2.4. *Time partitions.* Finally, we apply this particular criterion, taking into account the relation between the elapsed time,  $e$ , and the variables used for the timers:  $at$ ,  $dt1$ ,  $dt2$ ,  $gft$  and  $ot$ . Considering the values that this variables assume, the relevant key time intervals are:  $[0, T_{D_1}]$ ,  $[0, T_{D_2}]$ ,  $[0, T_A]$ ,  $[0, T_{GF}]$ ,  $[T_{D_1}, T_{D_2}]$ ,  $[T_{D_1}, T_A]$ ,  $[T_{D_1}, T_{GF}]$ ,  $[T_{D_2}, T_A]$ ,  $[T_{D_2}, T_{GF}]$ ,  $[T_A, T_{GF}]$  (assuming  $T_{D_1} < T_{D_2} < T_A < T_{GF}$ ). Therefore, the relevant times  $t$  to simulate the each input event are:  $t = 0$ ,  $0 < t < T_{D_1}$ ,  $t = T_{D_1}$ ,  $T_{D_1} < t < T_{D_2}$ ,  $t = T_{D_2}$ ,  $T_{D_2} < t < T_A$ ,  $t = T_A$ ,  $T_A < t < T_{GF}$ ,  $t = T_{GF}$  and  $T > T_{GF}$ . Hence, some of the classes generated by this criterion are:

- $IniSt_{82} = \{s : s \in S\}$   
 $InPairs_{82} = \{(x, t) | x \in X \cup \{\tau\}, t \in \mathbb{R}_0^+ \wedge T_{D_1} < t < T_{D_2}\}$
- $IniSt_{85} = \{s : s \in S\}$   
 $InPairs_{85} = \{(x, T_A) | x \in X \cup \{\tau\}\}$
- $IniSt_{87} = \{s : s \in S\}$   
 $InPairs_{87} = \{(x, T_{GF}) | x \in X \cup \{\tau\}\}$

5.1.2.5. *Combining classes.* Once all criteria are applied we make the intersection of the resulting classes obtaining new and refined ones. Here, we show only some of the classes yielded by these combinations. For example, if we want to test when someone call the elevator from some floor when the engine is stopped with the door open we must conjoin  $SCC_1$  and  $SCC_{49}$  resulting as follows:

- $SCC_1 \cap SCC_{49}$ :  
 $IniSt_{89} = IniSt_1 \cap IniSt_{49} = \{s : s \in S | eng = \text{stopped} \wedge fc = \emptyset\} \cap \{s : s \in S | d = \text{open}\}$   
 $= \{s : s \in S | eng = \text{stopped} \wedge fc = \emptyset \wedge d = \text{open}\}$ ,  
 $InPairs_{89} = InPairs_1 \cap InPairs_{49} = \{(x, t) | x = n, n \in \mathbb{N} \wedge n \neq f \wedge t \in \mathbb{R}_0^+\} \cap \{(x, t) | x \in X \cup \{\tau\}, t \in \mathbb{R}_0^+\}$   
 $= \{(x, t) | x = n, n \in \mathbb{N} \wedge n \neq f \wedge t \in \mathbb{R}_0^+\}$

Here it can be seen the effect of the commutativity of intersection, since  $SCC_1 \cap SCC_{49}$  than  $SCC_{49} \cap SCC_1$ . Another interesting combination results from  $SCC_1$  and  $SCC_{57}$ , because now, the alarm is fired:

- $SCC_1 \cap SCC_{57}$ :  
 $IniSt_{90} = \{s : s \in S | eng = \text{stopped} \wedge fc = \emptyset \wedge a = 1\}$ ,  
 $InPairs_{90} = \{(x, t) | x \in \mathbb{N} \wedge t \in \mathbb{R}_0^+\}$

With the following two classes, errors could be found if the tie-breaking rules are not well defined or they are not given at all. These are obtained by combining  $SCC_{36}$  with  $SCC_{87}$ , on one side, and  $SCC_{13}$ ,  $SCC_{59}$  and  $SCC_{85}$  on the other. For instance, the SCC defined by  $IniSt_{91}$  and  $InPairs_{91}$  simulates the case when the elevator is called at the same time when the “ground floor timer” finish.

- $SCC_{36} \cap SCC_{87}$ :  
 $IniSt_{91} = \{s : s \in S\}$ ,  
 $InPairs_{91} = \{(x, T_{GF}) | x \in \mathbb{N}\}$

- $SCC_{13} \cap SCC_{59} \cap SCC_{85}$ :

$$IniSt_{92} = \{s : s \in S | d = \text{open} \wedge fc \neq \emptyset \wedge fc \neq f \wedge sw = 1\},$$

$$InPairs_{92} = \{(s_{\text{off}}, T_A)\}$$

## 5.2. Soda can vending machine

This system consists in the control of a soda can vending machine. The machine accepts coins of \$ 0.25, \$ 0.50 and \$ 1. It gives change, optimizing it (i.e. giving the less coins as possible).

The machine has cans of two different prices (normal and diet), and the system that controls the machine must comply with the following requirements:

$$M_{sv} = (S, X, Y, \delta_{\text{int}}, \delta_{\text{ext}}, \lambda, ta)$$

$$S = \text{MachState} \times \text{Display} \times \text{OpTime} \times \text{NormalPrice} \times \text{DietPrice} \times \text{IncrTime} \times \text{MoneyStorage} \times \text{OperationMoney} \times \text{MoneyReturned}$$

where:

$$\text{MachState} = \{\text{idle}, \text{operating}, \text{finishOp}, \text{cancelOp}, \text{waitRetChange}\}$$

$$\text{OpTime} = \mathbb{R}_0^+ \cup \{\infty\}$$

$$\text{Display} = \text{IncrTime} = \text{NormalPrice} = \text{DietPrice} = \mathbb{R}_0^+$$

$$\text{MoneyStorage} = \text{OperationMoney} = \text{MoneyReturned} = \text{Coins1d} \times \text{Coins50c} \times \text{Coins25c}$$

where:

$$\text{Coins1d} = \text{Coins50c} = \text{Coins25c} = \mathbb{N}_0$$

$$X = \{25, 50, 100, \text{getNormal}, \text{getDiet}, \text{cancel}, \text{moneyRetreated}\}$$

$$Y = \text{Display} \times \text{MoneyReturned}$$

$$\delta_{\text{ext}}((m, d, ot, np, dp, it, ms, om, mr), e, x) =$$

$$\begin{cases} (\text{operating}, d + x, 0, np, dp, it - e, ms, om \oplus x, \bar{0}) & \text{if } x \in \{100, 50, 25\} \wedge m \in \{\text{idle}, \text{operating}\} & (1) \\ (\text{finishOp}, d - np, 0, np, dp, it - e, ms \oplus om, \bar{0}, (d - np) \odot (ms \oplus om)) & \text{if } x = \text{getNormal} \wedge d \geq np & (2) \\ (\text{finishOp}, d - dp, 0, np, dp, it - e, ms \oplus om, \bar{0}, \bar{0}) & \text{if } x = \text{getDiet} \wedge d \geq dp & (3) \\ (\text{cancelOp}, d, 0, np, dp, it - e, ms, \bar{0}, om) & \text{if } x = \text{cancel} & (4) \\ (\text{idle}, 0, 0, np, dp, it - e, ms, \bar{0}, \bar{0}) & \text{if } x = \text{moneyRetreated} & (5) \end{cases}$$

$$\delta_{\text{int}}((m, d, ot, np, dp, it, ms, om, mr)) =$$

$$\begin{cases} (\text{operating}, d, T_{\text{ret}}, np, dp, it - ot, ms, om, \bar{0}) & \text{if } m = \text{operating} \wedge ot < it & (1) \\ (\text{waitRetChange}, d, T_{\text{chg}}, np, dp, it - ot, ms \oplus (d \odot ms), om, d \odot ms) & \text{if } m = \text{finishOp} \wedge ot < it & (2) \\ (\text{waitRetChange}, d, T_{\text{chg}}, np, dp, it - ot, ms, \bar{0}, mr) & \text{if } m = \text{cancelOp} \wedge ot < it & (3) \\ (\text{idle}, 0, \infty, np, dp, it - ot, ms \oplus mr, \bar{0}, \bar{0}) & \text{if } m = \text{waitRetChange} \wedge ot < it & (4) \\ (\text{idle}, 0, \infty, np, dp, it - ot, ms, \bar{0}, \bar{0}) & \text{if } m = \text{idle} \wedge ot < it & (5) \\ (m, d, ot - it, np + 0.25, dp + 0.25, T_{\text{incr}}, ms, om, mr) & \text{if } it \leq ot & (6) \end{cases}$$

$$\lambda((m, d, ot, np, dp, it, ms, om, mr)) = (d, ms)$$

$$ta((m, d, ot, np, dp, it, ms, om, mr)) = \min(ot, it)$$

$$(\text{coins1d}, \text{coins50c}, \text{coins25c}) \oplus x =$$

$$\begin{cases} (\text{coins1d} + x, \text{coins50c}, \text{coins25c}) & \text{if } x = 100 \\ (\text{coins1d}, \text{coins50c} + x, \text{coins25c}) & \text{if } x = 50 \\ (\text{coins1d}, \text{coins50c}, \text{coins25c} + x) & \text{if } x = 25 \end{cases}$$

$$(\text{coins1d}, \text{coins50c}, \text{coins25c}) \oplus (\text{coins1d}', \text{coins50c}', \text{coins25c}') = (\text{coins1d} + \text{coins1d}', \text{coins50c} + \text{coins50c}', \text{coins25c} + \text{coins25c}')$$

$$(\text{coins1d}, \text{coins50c}, \text{coins25c}) \ominus (\text{coins1d}', \text{coins50c}', \text{coins25c}') = (\text{coins1d} - \text{coins1d}', \text{coins50c} - \text{coins50c}', \text{coins25c} - \text{coins25c}')$$

$$d \odot (\text{coins1d}, \text{coins50c}, \text{coins25c}) = (\text{coins1d}', \text{coins50c}', \text{coins25c}'),$$

where:

$$\text{coins1d}' = \min(\text{coins1d}, d \div 1)$$

$$\text{coins50c}' = \min(\text{coins50c}, (d - \text{coins1d}') \div 0.50)$$

$$\text{coins25c}' = \min(\text{coins25c}, (d - \text{coins1d}' - \text{coins50c}') \div 0.25)$$

$$\bar{0} = (0, 0, 0)$$

Fig. 8. DEVS Model of a soda can vending machine.

- During an operation, if after  $T_{ret}$  units of time no coin is introduced into the machine or no soda is selected, the machine returns all the money that has been introduced.
- Prices of sodas increase as time passes. Every  $T_{incr}$  units of time both prices are increased in \$ 0.25.
- if the returned money is not collected by the user after  $T_{chg}$  units of time the machine recovers it.
- The machine has a display that shows the amount of money introduced or the change after an operation.
- At any time, before selecting a soda, the user can cancel the operation and the machine returns the money.

Some additional temporal requirements (in particular the second one) were artificially included in order to have more time variables interacting in the model allowing to increase the partitions obtained by applying the criteria of the previous section.

### 5.2.1. DEVS model

In Fig. 8 is described a possible DEVS model for this example.

In this model, a state  $s \in S$  is a tuple where each variable represents, respectively, the machine state, the display, an internal timer, the actual prices (normal and diet), the timer controlling the prices increment, the money stored in the machine, the money inserted for the current operation and the change.

The input values represent, each coin denomination, the request of a normal or diet soda, the cancellation of the current operation and the signal of the change retreated.

The external transition function has one case for each input different from a coin (2, 3, 4 and 5) and one case (1) for all coins. Meanwhile, the internal transition function has one case for each internal state of the machine ( $m \in MachState$ ) for the “operational timer” (1, 2, 3, 4 and 5) and one case (6) for the timeout of the “increase price timer”.

The output consists of an ordered pair indicating what to show in the display and how much money (if any) must be returned.

### 5.2.2. Generating simulations

As in the previous example, we start with the set of all possible simulations, apply the criteria generating different classes and later conjoin this classes obtaining new ones. As in the previous example, here we show only a few classes. The whole description of the classes obtained can be found in Appendix B.

5.2.2.1. *Transition function defined by cases.* Here we also use a generic  $s \in S$  to describe the SCCs for this example, defined as  $s = (m, d, ot, np, dp, it, ms, om, mr)$ .

Some of the classes generated applying this criterion are:

- $IniSt_3 = \{s : s \in S | d \geq dp\}$ ,  
 $InPairs_3 = \{(getDiet, t) | t \in \mathbb{R}_0^+\}$
- $IniSt_7 = \{s : s \in S | m = finishOp \wedge ot < it\}$ ,  
 $InPairs_7 = \{(\tau, 0)\}$
- $IniSt_{11} = \{s : s \in S | m = idle \wedge ot \leq it\}$ ,  
 $InPairs_{11} = \{(\tau, 0)\}$

5.2.2.2. *Standard partitions.* We now apply the standard partitions criterion over the partitions over the operators  $\geq, +, -, \oplus, \ominus$  and  $\emptyset$ .

- $\geq$  appears twice ( $d \geq np$  and  $d \geq dp$ ) and the standard partition for this operator is equal to the standard partition for the  $<$  described in Section 3.2.4. The following classes are some the result of applying this criterion. The first two correspond to the application of the criterion over the operation  $d \geq np$  and the last one over the operation  $d \geq dp$ :
  - $IniSt_{12} = \{s : s \in S | d = np = 0\}$ ,  
 $InPairs_{12} = \{(x, t) | x \in X \cup \{\tau\}, t \in \mathbb{R}_0^+\}$
  - $IniSt_{14} = \{s : s \in S | d = 0 \wedge np > 0\}$ ,  
 $InPairs_{14} = \{(x, t) | x \in X \cup \{\tau\}, t \in \mathbb{R}_0^+\}$
  - $IniSt_{19} = \{s : s \in S | d > 0 \wedge dp > 0\}$ ,  
 $InPairs_{19} = \{(x, t) | x \in X \cup \{\tau\}, t \in \mathbb{R}_{+0}\}$
- $\oplus$ , by definition, is based on  $+$  and with the same type involved,  $\mathbb{N}_0$ , therefore they could have the same standard partition. However, since they involve only elements in  $\mathbb{N}_0$  no further significant partitions can be proposed. Except if we want to simulate those cases where the implementation of those operations in the modeling language could rise some errors, e.g. overflow errors. In this case, the errors are not properly in the model but in its implementation. This is more related to a testing problem rather than validating through simulations.
- $-$ , where the operator “ $-$ ” interacts with those variables used for representation of the time, the classes for those cases will be described later (Time Partitions). Some of the classes for the remaining occurrences of the operator “ $-$ ” are:

- $IniSt_{22} = \{s : s \in S | 0 < d < np\}$ ,  
 $InPairs_{22} = \{(x, t) : x \in X \cup \{\tau\}, t \in \mathbb{R}_0^+\}$
- $IniSt_{26} = \{s : s \in S | 0 < d < dp\}$ ,  
 $InPairs_{26} = \{(x, t) : x \in X \cup \{\tau\}, t \in \mathbb{R}_0^+\}$
- $IniSt_{27} = \{s : s \in S | 0 < dp < d\}$ ,  
 $InPairs_{27} = \{(x, t) : x \in X \cup \{\tau\}, t \in \mathbb{R}_0^+\}$
- $\emptyset$ , with the operator  $\emptyset$  the Domain Propagation criterion can be applied since  $\emptyset$  is formed by two simpler operators. Despite  $-$  and  $\div$  have the same standard partition, these operators involves different variables. Therefore, new classes are generated by applying the domain propagation.  
 Some classes generated:

- $IniSt_{28} = \{s : s \in S | d = 0\}$ ,  
 $InPairs_{28} = \{(x, t) : x \in X, t \in \mathbb{R}_0^+\}$
- $IniSt_{29} = \{s : s \in S | 0 < d < coins1d \wedge coins25c = d - coins1d' - coins50c' = 0\}$ ,  
 $InPairs_{29} = \{(x, t) : x \in X, t \in \mathbb{R}_0^+\}$
- $IniSt_{31} = \{s : s \in S | 1 < d < coins1d \wedge 0.50 < d - coins1d' < coins50c'\}$ ,  
 $InPairs_{31} = \{(x, t) : x \in X, t \in \mathbb{R}_0^+\}$

5.2.2.3. *Sets defined by extension.* In this example we have two sets defined by extension,  $X$  and  $MachState$ . Since these two sets have a relative small number of elements, we define one SCC for each element of them, as this criterion proposes. Some of these classes:

- $IniSt_{32} = \{s : s \in S | m = operating\}$ ,  
 $InPairs_{32} = \{(x, t) | x \in X \cup \{\tau\} \wedge t \in \mathbb{R}_0^+\}$
- $IniSt_{34} = \{s : s \in S | m = cancelOp\}$ ,  
 $InPairs_{34} = \{(x, t) | x \in X \cup \{\tau\} \wedge t \in \mathbb{R}_0^+\}$
- $IniSt_{41} = \{s : s \in S\}$ ,  
 $InPairs_{41} = \{(x, t) | x = getNormal \wedge t \in \mathbb{R}_0^+\}$
- $IniSt_{42} = \{s : s \in S\}$ ,  
 $InPairs_{42} = \{(x, t) | x = getDiet \wedge t \in \mathbb{R}_0^+\}$

5.2.2.4. *Time partitions.* In this example, the variables used to manage or simulate the time are  $ot$  and  $it$ , besides the elapsed time  $e$ . Again, we have to consider the values that this variables assume to define the key time intervals in which it is relevant to simulate input events:  $[0, it]$ ,  $[0, ot]$ ,  $[it, ot]$  (when  $it < ot$ ) and  $[ot, it]$  (when  $ot < it$ ). Besides, a key time point is  $t = ot = it$ . Some classes:

- $IniSt_{46} = \{s : s \in S | it > 0\}$ ,  
 $InPairs_{46} = \{(x, t) : x \in X \cup \{\tau\}, t \in \mathbb{R}_0^+ \wedge 0 < t < it\}$
- $IniSt_{53} = \{s : s \in S | 0 < it < ot\}$ ,  
 $InPairs_{53} = \{(x, it) : x \in X \cup \{\tau\}\}$
- $IniSt_{59} = \{s : s \in S | 0 < ot < it\}$ ,  
 $InPairs_{59} = \{(x, t) : x \in X \cup \{\tau\}, t \in \mathbb{R}_0^+ \wedge ot < t < it\}$
- $IniSt_{62} = \{s : s \in S | ot = it\}$ ,  
 $InPairs_{62} = \{(x, t) : x \in X \cup \{\tau\}, t \in \mathbb{R}_0^+ \wedge t < ot\}$
- $IniSt_{64} = \{s : s \in S | ot = it\}$ ,  
 $InPairs_{64} = \{(x, t) : x \in X \cup \{\tau\}, t \in \mathbb{R}_0^+ \wedge t > ot\}$

5.2.2.5. *Combining partitions.* Once that we have applied the partition criteria, we make the conjunctions between them and we keep those where the result is non empty.

Some classes obtained hereby:

- $SCC_3 \cap SCC_{19}$ :  
 $IniSt_{65} = \{s : s \in S | d \geq dp \wedge d > 0 \wedge dp > 0\}$ ,  
 $InPairs_{65} = \{(getDiet, t) | t \in \mathbb{R}_0^+\}$
- $SCC_{22} \cap SCC_{41}$ :  
 $IniSt_{66} = \{s : s \in S | 0 < d < np\}$ ,  
 $InPairs_{66} = \{(getNormal, t) | t \in \mathbb{R}_0^+\}$

- $SCC_{27} \cap SCC_{42} \cap SCC_{62}$ :  
 $IniSt_{67} = \{s : s \in S | 0 < dp < d \wedge it = ot\}$ ,  
 $InPairs_{67} = \{(getDiet, t) | t \in \mathbb{R}_0^+ \wedge t < ot\}$

Here, can be seen how an error could be detected with the SCC defined by  $IniSt_{67}$  and  $InPairs_{67}$ , since that represents a case not defined, that is the case when the money inserted in the machine is less that the price of the soda requested.

## 6. Conclusions and future work

We present a family of criteria to conduct DEVS model simulations in a disciplined way and covering the most significant simulations to increase the confidence on the model. The main advantage of performing the simulations of a model as we propose is that users do not need the experience of a specialist or group of specialists, neither a domain expert, to select the simulations to validate the model. The selection of simulations is the result of following a set of formal rules over the mathematical model without having to know about the domain over which it is modeled. This decreases the possibility of overlooking some simulation configurations which could find errors in the model.

Another advantage of this work is the possibility of automating at least part of the validation process of DEVS models. An important open issue that needs to be addressed to enable automation is to develop a formal grammar for a mathematical language to describe DEVS models. The development of this grammar is part of our future research.

It should also be considered the possibility of re-using these techniques to test software derived from a DEVS model. A DEVS model could be used as a suitable form of the specification of a system to be implemented in some programming language. The simulation sequences generated from the application of the partition criteria could be used as test cases to test the implementation. Moreover, there exist simulation tools that generate code automatically. Thereby, if the model is thoroughly validated, the resulting piece of software would be correct.

Future work concerns with the automation of the validation process by simulation. First it is necessary to define a standard language to write the mathematical description of a DEVS model. Afterward, we would design and develop the validation tool, including a parser for the standard language, the simulation generator and an automatic translator to some simulation tool. This would also include the definition of new coverage criteria for sequencing simulations.

Other lines of future research are: (a) to extend the partition criteria to coupled models and (b) to adapt this validation technique to other formalisms.

## Appendix A. SCCs generated for the elevator

### A.1. Transition function defined by cases

- $IniSt_1 = \{s : s \in S | eng = stopped \wedge fc = \emptyset\}$ ,  
 $InPairs_1 = \{(x, t) | x = n, n \in \mathbb{N} \wedge n \neq f \wedge t \in \mathbb{R}_0^+\}$
- $IniSt_2 = \{s : s \in S | eng = up\}$ ,  
 $InPairs_2 = \{(fsig, t) | t \in \mathbb{R}_0^+\}$
- $IniSt_3 = \{s : s \in S | eng = down\}$ ,  
 $InPairs_3 = \{(fsig, t) | t \in \mathbb{R}_0^+\}$
- $IniSt_4 = \{s : s \in S | eng = stopped\}$ ,  
 $InPairs_4 = \{(ds_{on}, t) | t \in \mathbb{R}_0^+\}$
- $IniSt_5 = \{s : s \in S | eng \neq stopped\}$ ,  
 $InPairs_5 = \{(ds_{on}, t) | t \in \mathbb{R}_0^+\}$
- $IniSt_6 = \{s : s \in S | d = open \wedge fc \neq \emptyset \wedge ws = 0 \wedge sw = 0\}$ ,  
 $InPairs_6 = \{(ds_{off}, t) | t \in \mathbb{R}_0^+\}$
- $IniSt_7 = \{s : s \in S | d \neq open \vee fc = \emptyset \vee ws = 1 \vee sw = 1\}$ ,  
 $InPairs_7 = \{(ds_{off}, t) | t \in \mathbb{R}_0^+\}$
- $IniSt_8 = \{s : s \in S | eng = stopped\}$ ,  
 $InPairs_8 = \{(ws_{on}, t) | t \in \mathbb{R}_0^+\}$
- $IniSt_9 = \{s : s \in S | eng \neq stopped\}$ ,  
 $InPairs_9 = \{(ws_{on}, t) | t \in \mathbb{R}_0^+\}$
- $IniSt_{10} = \{s : s \in S | fc \neq \emptyset \wedge d = open\}$ ,  
 $InPairs_{10} = \{(ws_{off}, t) | t \in \mathbb{R}_0^+\}$
- $IniSt_{11} = \{s : s \in S | fc = \emptyset \vee d \neq open\}$ ,  
 $InPairs_{11} = \{(ws_{off}, t) | t \in \mathbb{R}_0^+\}$
- $IniSt_{12} = \{s : s \in S\}$ ,  
 $InPairs_{12} = \{(s_{on}, t) | t \in \mathbb{R}_0^+\}$
- $IniSt_{13} = \{s : s \in S | d = open \wedge fc \neq \emptyset \wedge fc \neq f\}$ ,  
 $InPairs_{13} = \{(s_{off}, t) | t \in \mathbb{R}_0^+\}$

- $IniSt_{14} = \{s : s \in S | fc = \emptyset\}$ ,  
 $InPairs_{14} = \{(s_{off}, t) | t \in \mathbb{R}_0^+\}$
- $IniSt_{15} = \{s : s \in S | fc \neq \emptyset \wedge d = \text{closed}\}$ ,  
 $InPairs_{15} = \{(s_{off}, t) | t \in \mathbb{R}_0^+\}$
- $IniSt_{16} = \{s : s \in S | d = \text{closing}\}$ ,  
 $InPairs_{16} = \{(od_{press}, t) | t \in \mathbb{R}_0^+\}$
- $IniSt_{17} = \{s : s \in S | d = \text{open} \wedge fc \neq \emptyset \wedge ds = 0 \wedge ws = 0 \wedge sw = 0\}$ ,  
 $InPairs_{17} = \{(cd_{press}, t) | t \in \mathbb{R}_0^+\}$
- $IniSt_{18} = \{s : s \in S | nt = O \wedge eng \neq \text{stopped} \wedge f = fc \wedge f \neq 0\}$   
 $InPairs_{18} = \{(\tau, 0)\}$
- $IniSt_{19} = \{s : s \in S | nt = O \wedge eng \neq \text{stopped} \wedge f = fc \wedge f = 0\}$   
 $InPairs_{19} = \{(\tau, 0)\}$
- $IniSt_{20} = \{s : s \in S | nt = O \wedge eng \neq \text{stopped} \wedge f \neq fc\}$   
 $InPairs_{20} = \{(\tau, 0)\}$
- $IniSt_{21} = \{s : s \in S | nt = O \wedge sw = 1 \wedge eng \neq \text{stopped}\}$   
 $InPairs_{21} = \{(\tau, 0)\}$
- $IniSt_{22} = \{s : s \in S | nt = O \wedge sw = 1 \wedge eng = \text{stopped}\}$   
 $InPairs_{22} = \{(\tau, 0)\}$
- $IniSt_{23} = \{s : s \in S | nt = O \wedge ds = 0 \wedge ws = 0 \wedge sw = 0 \wedge d = \text{closed} \wedge fc \neq \emptyset \wedge fc > f\}$   
 $InPairs_{23} = \{(\tau, 0)\}$
- $IniSt_{24} = \{s : s \in S | nt = O \wedge ds = 0 \wedge ws = 0 \wedge sw = 0 \wedge d = \text{closed} \wedge fc \neq \emptyset \wedge fc < f\}$   
 $InPairs_{24} = \{(\tau, 0)\}$
- $IniSt_{25} = \{s : s \in S | nt = O \wedge ds = 0 \wedge ws = 0 \wedge sw = 0 \wedge d = \text{open} \wedge fc \neq \emptyset\}$   
 $InPairs_{25} = \{(\tau, 0)\}$
- $IniSt_{26} = \{s : s \in S | nt = O \wedge ds = 0 \wedge ws = 0 \wedge sw = 0 \wedge fc = \emptyset\}$   
 $InPairs_{26} = \{(\tau, 0)\}$
- $IniSt_{27} = \{s : s \in S | nt = O \wedge d = \text{closing}\}$   
 $InPairs_{27} = \{(\tau, 0)\}$
- $IniSt_{28} = \{s : s \in S | nt = D_1 \wedge ds = 0 \wedge ws = 0 \wedge sw = 0\}$   
 $InPairs_{28} = \{(\tau, 0)\}$
- $IniSt_{29} = \{s : s \in S | nt = D_1 \wedge \neg(ds = 0 \wedge ws = 0 \wedge sw = 0)\}$   
 $InPairs_{29} = \{(\tau, 0)\}$
- $IniSt_{30} = \{s : s \in S | nt = D_2 \wedge ds = 0 \wedge ws = 0 \wedge sw = 0 \wedge fc > f\}$   
 $InPairs_{30} = \{(\tau, 0)\}$
- $IniSt_{31} = \{s : s \in S | nt = D_2 \wedge ds = 0 \wedge ws = 0 \wedge sw = 0 \wedge fc < f\}$   
 $InPairs_{31} = \{(\tau, 0)\}$
- $IniSt_{32} = \{s : s \in S | nt = D_2 \wedge \neg(ds = 0 \wedge ws = 0 \wedge sw = 0)\}$   
 $InPairs_{32} = \{(\tau, 0)\}$
- $IniSt_{33} = \{s : s \in S | nt = A\}$   
 $InPairs_{33} = \{(\tau, 0)\}$
- $IniSt_{34} = \{s : s \in S | nt = GF \wedge f \neq 0 \wedge f \neq \perp \wedge d = \text{open} \wedge ds = 0 \wedge ws = 0 \wedge sw = 0\}$   
 $InPairs_{34} = \{(\tau, 0)\}$
- $IniSt_{35} = \{s : s \in S | nt = GF \wedge f \neq 0 \wedge f \neq \perp \wedge d = \text{open} \wedge \neg(ds = 0 \wedge ws = 0 \wedge sw = 0)\}$   
 $InPairs_{35} = \{(\tau, 0)\}$

## A.2. Extensional sets

- $IniSt_{36} = \{s : s \in S\}$ ,  
 $InPairs_{36} = \{(x, t) | x \in \mathbb{N}, t \in \mathbb{R}_0^+\}$
- $IniSt_{37} = \{s : s \in S\}$ ,  
 $InPairs_{37} = \{(fsig, t) | t \in \mathbb{R}_0^+\}$
- $IniSt_{38} = \{s : s \in S\}$ ,  
 $InPairs_{38} = \{(ws_{on}, t) | t \in \mathbb{R}_0^+\}$
- $IniSt_{39} = \{s : s \in S\}$ ,  
 $InPairs_{39} = \{(ws_{off}, t) | t \in \mathbb{R}_0^+\}$
- $IniSt_{40} = \{s : s \in S\}$ ,  
 $InPairs_{40} = \{(ds_{on}, t) | t \in \mathbb{R}_0^+\}$
- $IniSt_{41} = \{s : s \in S\}$ ,  
 $InPairs_{41} = \{(ds_{off}, t) | t \in \mathbb{R}_0^+\}$
- $IniSt_{42} = \{s : s \in S\}$ ,  
 $InPairs_{42} = \{(od_{press}, t) | t \in \mathbb{R}_0^+\}$



- $IniSt_{43} = \{s : s \in S\}$ ,  
 $InPairs_{43} = \{(cd_{press}, t) | t \in \mathbb{R}_0^+\}$
- $IniSt_{44} = \{s : s \in S\}$ ,  
 $InPairs_{44} = \{(s_{on}, t) | t \in \mathbb{R}_0^+\}$
- $IniSt_{45} = \{s : s \in S\}$ ,  
 $InPairs_{45} = \{(s_{off}, t) | t \in \mathbb{R}_0^+\}$
- $IniSt_{46} = \{s : s \in S | eng = up\}$ ,  
 $InPairs_{46} = \{(x, t) | x \in X \cup \{\tau\}, t \in \mathbb{R}_0^+\}$
- $IniSt_{47} = \{s : s \in S | eng = down\}$ ,  
 $InPairs_{47} = \{(x, t) | x \in X \cup \{\tau\}, t \in \mathbb{R}_0^+\}$
- $IniSt_{48} = \{s : s \in S | eng = stopped\}$ ,  
 $InPairs_{48} = \{(x, t) | x \in X \cup \{\tau\}, t \in \mathbb{R}_0^+\}$
- $IniSt_{49} = \{s : s \in S | d = open\}$ ,  
 $InPairs_{49} = \{(x, t) | x \in X \cup \{\tau\}, t \in \mathbb{R}_0^+\}$
- $IniSt_{50} = \{s : s \in S | d = closed\}$ ,  
 $InPairs_{50} = \{(x, t) | x \in X \cup \{\tau\}, t \in \mathbb{R}_0^+\}$
- $IniSt_{51} = \{s : s \in S | d = closing\}$ ,  
 $InPairs_{51} = \{(x, t) | x \in X \cup \{\tau\}, t \in \mathbb{R}_0^+\}$
- $IniSt_{52} = \{s : s \in S | ws = 0\}$ ,  
 $InPairs_{52} = \{(x, t) | x \in X \cup \{\tau\}, t \in \mathbb{R}_0^+\}$
- $IniSt_{53} = \{s : s \in S | ws = 1\}$ ,  
 $InPairs_{53} = \{(x, t) | x \in X \cup \{\tau\}, t \in \mathbb{R}_0^+\}$
- $IniSt_{54} = \{s : s \in S | ds = 0\}$ ,  
 $InPairs_{54} = \{(x, t) | x \in X \cup \{\tau\}, t \in \mathbb{R}_0^+\}$
- $IniSt_{55} = \{s : s \in S | ds = 1\}$ ,  
 $InPairs_{55} = \{(x, t) | x \in X \cup \{\tau\}, t \in \mathbb{R}_0^+\}$
- $IniSt_{56} = \{s : s \in S | a = 0\}$ ,  
 $InPairs_{56} = \{(x, t) | x \in X \cup \{\tau\}, t \in \mathbb{R}_0^+\}$
- $IniSt_{57} = \{s : s \in S | a = 1\}$ ,  
 $InPairs_{57} = \{(x, t) | x \in X \cup \{\tau\}, t \in \mathbb{R}_0^+\}$
- $IniSt_{58} = \{s : s \in S | sw = 0\}$ ,  
 $InPairs_{58} = \{(x, t) | x \in X \cup \{\tau\}, t \in \mathbb{R}_0^+\}$
- $IniSt_{59} = \{s : s \in S | sw = 1\}$ ,  
 $InPairs_{59} = \{(x, t) | x \in X \cup \{\tau\}, t \in \mathbb{R}_0^+\}$
- $IniSt_{60} = \{s : s \in S | fc = n \in \mathbb{N}\}$ ,  
 $InPairs_{60} = \{(x, t) | x \in X \cup \{\tau\}, t \in \mathbb{R}_0^+\}$
- $IniSt_{61} = \{s : s \in S | fc = \emptyset\}$ ,  
 $InPairs_{61} = \{(x, t) | x \in X \cup \{\tau\}, t \in \mathbb{R}_0^+\}$
- $IniSt_{62} = \{s : s \in S | nt = A\}$ ,  
 $InPairs_{62} = \{(x, t) | x \in X \cup \{\tau\}, t \in \mathbb{R}_0^+\}$
- $IniSt_{63} = \{s : s \in S | nt = D_1\}$ ,  
 $InPairs_{63} = \{(x, t) | x \in X \cup \{\tau\}, t \in \mathbb{R}_0^+\}$
- $IniSt_{64} = \{s : s \in S | nt = D_2\}$ ,  
 $InPairs_{64} = \{(x, t) | x \in X \cup \{\tau\}, t \in \mathbb{R}_0^+\}$
- $IniSt_{65} = \{s : s \in S | nt = GF\}$ ,  
 $InPairs_{65} = \{(x, t) | x \in X \cup \{\tau\}, t \in \mathbb{R}_0^+\}$
- $IniSt_{66} = \{s : s \in S | nt = O\}$ ,  
 $InPairs_{66} = \{(x, t) | x \in X \cup \{\tau\}, t \in \mathbb{R}_0^+\}$

### A.3. Standard partitions

- $IniSt_{67} = \{s : s \in S | nt = O \wedge ds = 0 \wedge ws = 0 \wedge sw = 0 \wedge d = closed \wedge fc \neq \emptyset \wedge fc = f \wedge f = 0\}$ ,  
 $InPairs_{67} = \{(\tau, 0)\}$
- $IniSt_{68} = \{s : s \in S | nt = O \wedge ds = 0 \wedge ws = 0 \wedge sw = 0 \wedge d = closed \wedge fc \neq \emptyset \wedge fc = f \wedge f > 0\}$ ,  
 $InPairs_{68} = \{(\tau, 0)\}$
- $IniSt_{69} = \{s : s \in S | nt = O \wedge ds = 0 \wedge ws = 0 \wedge sw = 0 \wedge d = closed \wedge fc \neq \emptyset \wedge fc < f \wedge fc > 0\}$ ,  
 $InPairs_{69} = \{(\tau, 0)\}$
- $IniSt_{70} = \{s : s \in S | nt = O \wedge ds = 0 \wedge ws = 0 \wedge sw = 0 \wedge d = closed \wedge fc \neq \emptyset \wedge fc > f \wedge f > 0\}$ ,  
 $InPairs_{70} = \{(\tau, 0)\}$
- $IniSt_{71} = \{s : s \in S | nt = O \wedge ds = 0 \wedge ws = 0 \wedge sw = 0 \wedge d = closed \wedge fc \neq \emptyset \wedge fc < f \wedge fc = 0\}$ ,  
 $InPairs_{71} = \{(\tau, 0)\}$

- $IniSt_{72} = \{s : s \in S | nt = 0 \wedge ds = 0 \wedge ws = 0 \wedge sw = 0 \wedge d = \text{closed} \wedge fc \neq \emptyset \wedge fc > f \wedge f = 0\}$ ,  
 $InPairs_{72} = \{(\tau, 0)\}$
- $IniSt_{73} = \{s : s \in S | nt = D_2 \wedge ds = 0 \wedge ws = 0 \wedge sw = 0 \wedge fc = f \wedge f = 0\}$ ,  
 $InPairs_{73} = \{(\tau, 0)\}$
- $IniSt_{74} = \{s : s \in S | nt = D_2 \wedge ds = 0 \wedge ws = 0 \wedge sw = 0 \wedge fc = f \wedge f > 0\}$ ,  
 $InPairs_{74} = \{(\tau, 0)\}$
- $IniSt_{75} = \{s : s \in S | nt = D_2 \wedge ds = 0 \wedge ws = 0 \wedge sw = 0 \wedge fc < f \wedge fc > 0\}$ ,  
 $InPairs_{75} = \{(\tau, 0)\}$
- $IniSt_{76} = \{s : s \in S | nt = D_2 \wedge ds = 0 \wedge ws = 0 \wedge sw = 0 \wedge fc > f \wedge f > 0\}$ ,  
 $InPairs_{76} = \{(\tau, 0)\}$
- $IniSt_{77} = \{s : s \in S | nt = D_2 \wedge ds = 0 \wedge ws = 0 \wedge sw = 0 \wedge fc < f \wedge fc = 0\}$ ,  
 $InPairs_{77} = \{(\tau, 0)\}$
- $IniSt_{78} = \{s : s \in S | nt = D_2 \wedge ds = 0 \wedge ws = 0 \wedge sw = 0 \wedge fc > f \wedge f = 0\}$ ,  
 $InPairs_{78} = \{(\tau, 0)\}$

#### A.4. Time partitions

- $IniSt_{79} = \{s : s \in S\}$   
 $InPairs_{79} = \{(x, 0) | x \in X \cup \{\tau\}\}$
- $IniSt_{80} = \{s : s \in S\}$   
 $InPairs_{80} = \{(x, t) | x \in X \cup \{\tau\}, t \in \mathbb{R}_0^+ \wedge 0 < t < T_{D_1}\}$
- $IniSt_{81} = \{s : s \in S\}$   
 $InPairs_{81} = \{(x, T_{D_1}) | x \in X \cup \{\tau\}\}$
- $IniSt_{82} = \{s : s \in S\}$   
 $InPairs_{82} = \{(x, t) | x \in X \cup \{\tau\}, t \in \mathbb{R}_0^+ \wedge T_{D_1} < t < T_{D_2}\}$
- $IniSt_{83} = \{s : s \in S\}$   
 $InPairs_{83} = \{(x, T_{D_2}) | x \in X \cup \{\tau\}\}$
- $IniSt_{84} = \{s : s \in S\}$   
 $InPairs_{84} = \{(x, t) | x \in X \cup \{\tau\}, t \in \mathbb{R}_0^+ \wedge T_{D_2} < t < T_A\}$
- $IniSt_{85} = \{s : s \in S\}$   
 $InPairs_{85} = \{(x, T_A) | x \in X \cup \{\tau\}\}$
- $IniSt_{86} = \{s : s \in S\}$   
 $InPairs_{86} = \{(x, t) | x \in X \cup \{\tau\}, t \in \mathbb{R}_0^+ \wedge T_A < t < T_{GF}\}$
- $IniSt_{87} = \{s : s \in S\}$   
 $InPairs_{87} = \{(x, T_{GF}) | x \in X \cup \{\tau\}\}$
- $IniSt_{88} = \{s : s \in S\}$   
 $InPairs_{88} = \{(x, t) | x \in X \cup \{\tau\}, t \in \mathbb{R}_0^+ \wedge t > T_{GF}\}$

## Appendix B. SCCs generated for the soda can vending machine

### B.1. Transition function defined by cases

- $IniSt_1 = \{s : s \in S | m \in \{\text{idle}, \text{operating}\}\}$ ,  
 $InPairs_1 = \{(x, t) | x \in \{100, 50, 25\} \wedge t \in \mathbb{R}_0^+\}$
- $IniSt_2 = \{s : s \in S | d \geq np\}$ ,  
 $InPairs_2 = \{(\text{getNormal}, t) | t \in \mathbb{R}_0^+\}$
- $IniSt_3 = \{s : s \in S | d \geq dp\}$ ,  
 $InPairs_3 = \{(\text{getDiet}, t) | t \in \mathbb{R}_0^+\}$
- $IniSt_4 = \{s : s \in S\}$ ,  
 $InPairs_4 = \{(\text{cancel}, t) | t \in \mathbb{R}_0^+\}$
- $IniSt_5 = \{s : s \in S\}$ ,  
 $InPairs_5 = \{(\text{moneyRetreated}, t) | t \in \mathbb{R}_0^+\}$
- $IniSt_6 = \{s : s \in S | m = \text{operating} \wedge ot < it\}$ ,  
 $InPairs_6 = \{(\tau, 0)\}$
- $IniSt_7 = \{s : s \in S | m = \text{finishOp} \wedge ot < it\}$ ,  
 $InPairs_7 = \{(\tau, 0)\}$
- $IniSt_8 = \{s : s \in S | m = \text{cancelOp} \wedge ot < it\}$ ,  
 $InPairs_8 = \{(\tau, 0)\}$
- $IniSt_9 = \{s : s \in S | m = \text{waitRetChange} \wedge ot < it\}$ ,  
 $InPairs_9 = \{(\tau, 0)\}$

- $IniSt_{10} = \{s : s \in S | m = \text{idle} \wedge ot < it\}$ ,  
 $InPairs_{10} = \{(\tau, 0)\}$
- $IniSt_{11} = \{s : s \in S | m = \text{idle} \wedge it \leq ot\}$ ,  
 $InPairs_{11} = \{(\tau, 0)\}$

### B.2. Standard partitions

- $IniSt_{12} = \{s : s \in S | d = np = 0\}$ ,  
 $InPairs_{12} = \{(x, t) | x \in X \cup \{\tau\}, t \in \mathbb{R}_0^+\}$
- $IniSt_{13} = \{s : s \in S | d > 0 \wedge np = 0\}$ ,  
 $InPairs_{13} = \{(x, t) | x \in X \cup \{\tau\}, t \in \mathbb{R}_0^+\}$
- $IniSt_{14} = \{s : s \in S | d = 0 \wedge np > 0\}$ ,  
 $InPairs_{14} = \{(x, t) | x \in X \cup \{\tau\}, t \in \mathbb{R}_0^+\}$
- $IniSt_{15} = \{s : s \in S | d > 0 \wedge np > 0\}$ ,  
 $InPairs_{15} = \{(x, t) | x \in X \cup \{\tau\}, t \in \mathbb{R}_0^+\}$
- $IniSt_{16} = \{s : s \in S | d = dp = 0\}$ ,  
 $InPairs_{16} = \{(x, t) | x \in X \cup \{\tau\}, t \in \mathbb{R}_{+0}\}$
- $IniSt_{17} = \{s : s \in S | d > 0 \wedge dp = 0\}$ ,  
 $InPairs_{17} = \{(x, t) | x \in X \cup \{\tau\}, t \in \mathbb{R}_{+0}\}$
- $IniSt_{18} = \{s : s \in S | d = 0 \wedge dp > 0\}$ ,  
 $InPairs_{18} = \{(x, t) | x \in X \cup \{\tau\}, t \in \mathbb{R}_{+0}\}$
- $IniSt_{19} = \{s : s \in S | d > 0 \wedge dp > 0\}$ ,  
 $InPairs_{19} = \{(x, t) | x \in X \cup \{\tau\}, t \in \mathbb{R}_{+0}\}$
- $IniSt_{20} = \{s : s \in S | d = np = 0\}$ ,  
 $InPairs_{20} = \{(x, t) : x \in X \cup \{\tau\}, t \in \mathbb{R}_0^+\}$
- $IniSt_{21} = \{s : s \in S | d = np \wedge np > 0\}$ ,  
 $InPairs_{21} = \{(x, t) : x \in X \cup \{\tau\}, t \in \mathbb{R}_0^+\}$
- $IniSt_{22} = \{s : s \in S | 0 < d < np\}$ ,  
 $InPairs_{22} = \{(x, t) : x \in X \cup \{\tau\}, t \in \mathbb{R}_0^+\}$
- $IniSt_{23} = \{s : s \in S | 0 < np < d\}$ ,  
 $InPairs_{23} = \{(x, t) : x \in X \cup \{\tau\}, t \in \mathbb{R}_0^+\}$
- $IniSt_{24} = \{s : s \in S | d = dp = 0\}$ ,  
 $InPairs_{24} = \{(x, t) : x \in X \cup \{\tau\}, t \in \mathbb{R}_0^+\}$
- $IniSt_{25} = \{s : s \in S | d = dp \wedge dp > 0\}$ ,  
 $InPairs_{25} = \{(x, t) : x \in X \cup \{\tau\}, t \in \mathbb{R}_0^+\}$
- $IniSt_{26} = \{s : s \in S | 0 < d < dp\}$ ,  
 $InPairs_{26} = \{(x, t) : x \in X \cup \{\tau\}, t \in \mathbb{R}_0^+\}$
- $IniSt_{27} = \{s : s \in S | 0 < dp < d\}$ ,  
 $InPairs_{27} = \{(x, t) : x \in X \cup \{\tau\}, t \in \mathbb{R}_0^+\}$
- $IniSt_{28} = \{s : s \in S | d = 0\}$ ,  
 $InPairs_{28} = \{(x, t) : x \in X, t \in \mathbb{R}_0^+\}$

For the operation  $d\theta(\text{coins1d}, \text{coins50c}, \text{coins25c})$  there exist 351 SCCs, we only show some of them:

- $IniSt_{29} = \{s : s \in S | 0 < d < \text{coins1d} \wedge \text{coins25c} = d - \text{coins1d}' - \text{coins50c}' = 0\}$ ,  
 $InPairs_{29} = \{(x, t) : x \in X, t \in \mathbb{R}_0^+\}$
- $IniSt_{30} = \{s : s \in S | \text{coins1d} < d < 1 \wedge 0 < \text{coins25c} < d - \text{coins1d}' - \text{coins50c}'\}$ ,  
 $InPairs_{30} = \{(x, t) : x \in X, t \in \mathbb{R}_0^+\}$
- $IniSt_{31} = \{s : s \in S | 1 < d < \text{coins1d} \wedge 0.50 < d - \text{coins1d}' < \text{coins50c}'\}$ ,  
 $InPairs_{31} = \{(x, t) : x \in X, t \in \mathbb{R}_0^+\}$
- $IniSt_{32} = \{s : s \in S | d > 0 \wedge \text{coins1d} = \text{coins50c} = \text{coins25c} = 0\}$ ,  
 $InPairs_{32} = \{(x, t) : x \in X, t \in \mathbb{R}_0^+\}$

### B.3. Sets defined by extension

- $IniSt_{33} = \{s : s \in S | m = \text{idle}\}$ ,  
 $InPairs_{33} = \{(x, t) | x \in X \cup \{\tau\} \wedge t \in \mathbb{R}_0^+\}$
- $IniSt_{34} = \{s : s \in S | m = \text{operating}\}$ ,  
 $InPairs_{34} = \{(x, t) | x \in X \cup \{\tau\} \wedge t \in \mathbb{R}_0^+\}$
- $IniSt_{35} = \{s : s \in S | m = \text{finishOp}\}$ ,  
 $InPairs_{35} = \{(x, t) | x \in X \cup \{\tau\} \wedge t \in \mathbb{R}_0^+\}$
- $IniSt_{36} = \{s : s \in S | m = \text{cancelOp}\}$ ,  
 $InPairs_{36} = \{(x, t) | x \in X \cup \{\tau\} \wedge t \in \mathbb{R}_0^+\}$

- $IniSt_{37} = \{s : s \in S | m = \text{waitRetChange}\},$   
 $InPairs_{37} = \{(x, t) | x \in X \cup \{\tau\} \wedge t \in \mathbb{R}_0^+\}$
- $IniSt_{38} = \{s : s \in S\},$   
 $InPairs_{38} = \{(x, t) | x = 25 \wedge t \in \mathbb{R}_0^+\}$
- $IniSt_{39} = \{s : s \in S\},$   
 $InPairs_{39} = \{(x, t) | x = 50 \wedge t \in \mathbb{R}_0^+\}$
- $IniSt_{40} = \{s : s \in S\},$   
 $InPairs_{40} = \{(x, t) | x = 100 \wedge t \in \mathbb{R}_0^+\}$
- $IniSt_{41} = \{s : s \in S\},$   
 $InPairs_{41} = \{(x, t) | x = \text{getNormal} \wedge t \in \mathbb{R}_0^+\}$
- $IniSt_{42} = \{s : s \in S\},$   
 $InPairs_{42} = \{(x, t) | x = \text{getDiet} \wedge t \in \mathbb{R}_0^+\}$
- $IniSt_{43} = \{s : s \in S\},$   
 $InPairs_{43} = \{(x, t) | x = \text{cancel} \wedge t \in \mathbb{R}_0^+\}$
- $IniSt_{44} = \{s : s \in S\},$   
 $InPairs_{44} = \{(x, t) | x = \text{moneyRetreated} \wedge t \in \mathbb{R}_0^+\}$

#### B.4. Time partitions

- $IniSt_{45} = \{s : s \in S\},$   
 $InPairs_{45} = \{(\tau, 0)\}$
- $IniSt_{46} = \{s : s \in S | it > 0\},$   
 $InPairs_{46} = \{(x, t) : x \in X \cup \{\tau\}, t \in \mathbb{R}_0^+ \wedge 0 < t < it\}$
- $IniSt_{47} = \{s : s \in S | it > 0\},$   
 $InPairs_{47} = \{(x, it) : x \in X \cup \{\tau\}\}$
- $IniSt_{48} = \{s : s \in S\},$   
 $InPairs_{48} = \{(x, t) : x \in X \cup \{\tau\}, t \in \mathbb{R}_0^+ \wedge t > it\}$
- $IniSt_{49} = \{s : s \in S | ot > 0\},$   
 $InPairs_{49} = \{(x, t) : x \in X \cup \{\tau\}, t \in \mathbb{R}_0^+ \wedge 0 < t < ot\}$
- $IniSt_{50} = \{s : s \in S | ot > 0\},$   
 $InPairs_{50} = \{(x, ot) : x \in X \cup \{\tau\}\}$
- $IniSt_{51} = \{s : s \in S\},$   
 $InPairs_{51} = \{(x, t) : x \in X \cup \{\tau\}, t \in \mathbb{R}_0^+ \wedge t > ot\}$
- $IniSt_{52} = \{s : s \in S | 0 < it < ot\},$   
 $InPairs_{52} = \{(x, t) : x \in X \cup \{\tau\}, t \in \mathbb{R}_0^+ \wedge 0 < t < it\}$
- $IniSt_{53} = \{s : s \in S | 0 < it < ot\},$   
 $InPairs_{53} = \{(x, it) : x \in X \cup \{\tau\}\}$
- $IniSt_{54} = \{s : s \in S | 0 < it < ot\},$   
 $InPairs_{54} = \{(x, t) : x \in X \cup \{\tau\}, t \in \mathbb{R}_0^+ \wedge it < t < ot\}$
- $IniSt_{55} = \{s : s \in S | 0 < it < ot\},$   
 $InPairs_{55} = \{(x, ot) : x \in X \cup \{\tau\}\}$
- $IniSt_{56} = \{s : s \in S | 0 < it < ot\},$   
 $InPairs_{56} = \{(x, t) : x \in X \cup \{\tau\}, t \in \mathbb{R}_0^+ \wedge t > ot\}$
- $IniSt_{57} = \{s : s \in S | 0 < ot < it\},$   
 $InPairs_{57} = \{(x, t) : x \in X \cup \{\tau\}, t \in \mathbb{R}_0^+ \wedge 0 < t < ot\}$
- $IniSt_{58} = \{s : s \in S | 0 < ot < it\},$   
 $InPairs_{58} = \{(x, ot) : x \in X \cup \{\tau\}\}$
- $IniSt_{59} = \{s : s \in S | 0 < ot < it\},$   
 $InPairs_{59} = \{(x, t) : x \in X \cup \{\tau\}, t \in \mathbb{R}_0^+ \wedge ot < t < it\}$
- $IniSt_{60} = \{s : s \in S | 0 < ot < it\},$   
 $InPairs_{60} = \{(x, it) : x \in X \cup \{\tau\}\}$
- $IniSt_{61} = \{s : s \in S | 0 < ot < it\},$   
 $InPairs_{61} = \{(x, t) : x \in X \cup \{\tau\}, t \in \mathbb{R}_0^+ \wedge t > it\}$
- $IniSt_{62} = \{s : s \in S | ot = it\},$   
 $InPairs_{62} = \{(x, t) : x \in X \cup \{\tau\}, t \in \mathbb{R}_0^+ \wedge t < ot\}$
- $IniSt_{63} = \{s : s \in S | ot = it\},$   
 $InPairs_{63} = \{(x, t) : x \in X \cup \{\tau\}, t \in \mathbb{R}_0^+ \wedge t = ot\}$
- $IniSt_{64} = \{s : s \in S | ot = it\},$   
 $InPairs_{64} = \{(x, t) : x \in X \cup \{\tau\}, t \in \mathbb{R}_0^+ \wedge t > ot\}$

## References

- [1] DoDD 5000.59, DoD Modeling and Simulation (M&S) Management, January 4, 1994.
- [2] Y. Labiche, G. Wainer, Towards the verification and validation of DEVS models, in: Proceedings of 1st Open International Conference on Modeling & Simulation, 2005, pp. 295–305.
- [3] S. Robinson, Simulation model verification and validation: increasing the users' confidence, in: Proceedings of the 29th Conference on Winter Simulation, IEEE Computer Society, pp. 53–59.
- [4] R.G. Sargent, Validation and Verification of Simulation Models, in: Winter Simulation Conference, pp. 104–114.
- [5] B.P. Zeigler, H. Praehofer, T.G. Kim, *Theory of Modeling and Simulation*, second ed., Academic Press, London, 2000.
- [6] B.P. Zeigler, S. Vahie, DEVS formalism and methodology: unity of conception/diversity of application, in: Proceedings of the 25th Winter Simulation Conference, ACM Press, 1993, pp. 573–579.
- [7] H.J. Cho, Y.K. Cho, *DEVS-C++ Reference Guide*, The University of Arizona, 1997.
- [8] T.G. Kim, *DEVSIM++ User's Manual. C++ Based Simulation with Hierarchical Modular DEVS Models*, Korea Advance Institute of Science and Technology, 1994.
- [9] G. Wainer, CD++: a toolkit to develop DEVS models, *Softw. – Pract. Exper.* 32 (2002) 1261–1306.
- [10] F. Bergero, E. Kofman, PowerDEVS: a tool for hybrid system modeling and real-time simulation, *Simulation* (2010).
- [11] J.B. Filippi, M. Delhom, F. Bernardi, The JDEVS environmental modeling and simulation environment, in: Proceedings of IEMSS 2002, pp. 283–288.
- [12] M. Utting, B. Legeard, *Practical Model-Based Testing: A Tools Approach*, Morgan Kaufman Publishers Inc., San Francisco, CA, USA, 2006.
- [13] R.M. Hierons, K. Bogdanov, J.P. Bowen, R. Cleaveland, J. Derrick, J. Dick, M. Gheorghe, M. Harman, K. Kapoor, P. Krause, G. Lüttgen, A.J.H. Simons, S. Vilkomir, M.R. Woodward, H. Zedan, Using formal specifications to support testing, *ACM Comput. Surv.* 41 (2009) 1–76.
- [14] M. Cristiá, P. Albertengo, C. Frydman, B. Plüss, P.R. Monetti, Tool Support for the Test Template Framework, *Softw. Test., Verif. Reliab.* (2013), <http://onlinelibrary.wiley.com/doi/10.1002/stvr.1477/abstract>.
- [15] P. Stocks, D. Carrington, A framework for specification-based testing, *IEEE Trans. Softw. Eng.* 22 (1996) 777–793.
- [16] D.A. Hollmann, M. Cristiá, C. Frydman, Adapting model-based testing techniques to DEVS models validation, in: Proceedings of the 2012 Symposium on Theory of Modeling and Simulation – DEVS Integrative M&S Symposium, TMS/DEVS '12, Society for Computer Simulation International, San Diego, CA, USA, 2012, pp. 6:1–6:8.
- [17] O. Balcı, Verification, validation and accreditation of simulation models, in: Proceedings of the 29th Conference on Winter Simulation, WSC '97, IEEE Computer Society, Washington, DC, USA, 1997, pp. 135–141.
- [18] R.G. Sargent, Verification and validation: verification and validation of simulation models, in: Proceedings of the 35th Conference on Winter Simulation: Driving Innovation, WSC '03, Winter Simulation Conference, 2003, pp. 37–48.
- [19] R.G. Sargent, Verification and validation of simulation models, in: Proceedings of the 37th Conference on Winter Simulation, WSC '05, Winter Simulation Conference, 2005, pp. 130–143.
- [20] R.G. Sargent, Verification and validation of simulation models, in: Proceedings of the 39th Conference on Winter Simulation, WSC '07, IEEE Press, Piscataway, NJ, USA, 2007, pp. 124–137.
- [21] R.G. Sargent, Verification and validation of simulation models, in: Proceedings of the 2010 Winter Simulation Conference, WSC '07, pp. 166–183.
- [22] M. Napoli, M. Parente, Graded CTL model checking for test generation, in: Proceedings of the 2011 Symposium on Theory of Modeling & Simulation: DEVS Integrative M&S Symposium, TMS-DEVS '11, Society for Computer Simulation International, San Diego, CA, USA, 2011, pp. 59–66.
- [23] H. Saadawi, G. Wainer, Principles of discrete event system specification model verification, *Simulation* 89 (2013) 41–67.
- [24] C. Baier, J.-P. Katoen, *Principles of Model Checking*, MIT Press, 2008.
- [25] K.J. Hong, T.G. Kim, Timed I/O test sequences for discrete event model verification, in: T. Kim (Ed.), *Artificial Intelligence and Simulation, Lecture Notes in Computer Science*, vol. 3397, Springer, Berlin/Heidelberg, 2005, pp. 275–284.
- [26] P.S. da Silva, A.C.V. de Melo, On-the-fly verification of discrete event simulations by means of simulation purposes, in: Proceedings of the 2011 Symposium on Theory of Modeling & Simulation: DEVS Integrative M&S Symposium, TMS-DEVS '11, Society for Computer Simulation International, San Diego, CA, USA, 2011, pp. 238–247.
- [27] X. Li, H. Vangheluwe, Y. Lei, H. Song, W. Wang, A testing framework for DEVS formalism implementations, in: Proceedings of the 2011 Symposium on Theory of Modeling & Simulation: DEVS Integrative M&S Symposium, TMS-DEVS '11, Society for Computer Simulation International, San Diego, CA, USA, 2011, pp. 183–188.
- [28] L. Bougé, N. Choquet, L. Fribourg, M.C. Gaudel, Test sets generation from algebraic specifications using logic programming, *J. Syst. Softw.* 6 (1986) 343–360.
- [29] M. Cristiá, P. Monetti, Implementing and applying the Stocks–Carrington framework for model-based testing, in: K. Breitman, A. Cavalcanti (Eds.), *Formal Methods and Software Engineering, Lecture Notes in Computer Science*, vol. 5885, Springer, Berlin Heidelberg, 2009, pp. 167–185.
- [30] M. Fitting, *First-Order Logic and Automated Theorem Proving*, second ed., Springer Verlag New York, Inc., Secaucus, NJ, USA, 1996.
- [31] P.A. Stocks, *Applying Formal Methods to Software Testing*, 1993.
- [32] S.R.S. Souza, J.C. Maldonado, S.C.P. Fabbri, P.C. Masiero, Statecharts specifications: a family of coverage testing criteria, in: XXVI Conferência Latinoamericana de Informática – CLEI'2000, Springer, Berlin/Heidelberg, 2000. Tecnológico de Monterrey – México.
- [33] DEVS Standardization Group <<http://cell-devs.sce.carleton.ca/devsgroup/>> (accessed 08.12.14).
- [34] J.M. Spivey, *The Z Notation: A Reference Manual*, Prentice-Hall Inc., Upper Saddle River, NJ, USA, 1989.
- [35] L. Lamport, The temporal logic of actions, *ACM Trans. Program. Lang. Syst.* 16 (1994) 872–923.
- [36] K.J. Hong, T.G. Kim, DEVSpecL: DEVS specification language for modeling, simulation and analysis of discrete event systems, *Inform. Softw. Technol.* 48 (2006) 221–234.
- [37] C.P. Gomes, H. Kautz, A. Sabharwal, B. Selman, Satisfiability Solvers, in: *Handbook of Knowledge Representation, Foundations of Artificial Intelligence*, vol. 3, Elsevier, 2008, pp. 89–134.
- [38] R. Nieuwenhuis, A. Oliveras, G. Tinelli, Solving SAT and SAT modulo theories: from an abstract Davis–Putnam–Logemann–Loveland procedure to DPLL(T), *J. ACM* 53 (2006) 937–977.
- [39] M. Cristiá, C.S. Frydman, Applying SMT Solvers to the Test Template Framework, in: A.K. Petrenko, H. Schlingloff (Eds.), *MBT, EPTCS*, vol. 80, pp. 28–42.
- [40] A. Dovier, E.G. Omodeo, E. Pontelli, G. Rossi, {log}: a language for programming in logic with finite sets, *J. Logic Program.* 28 (1996) 28–1.
- [41] A. Dovier, C. Piazza, E. Pontelli, G. Rossi, Sets and constraint logic programming, *ACM Trans. Program. Lang. Syst.* 22 (2000) 861–931.
- [42] M. Cristiá, G. Rossi, C. Frydman, {log} as a test case generator for the test template framework, in: R.M. Hierons, M. Brevetti, M. Merayo, M. Brevetti (Eds.), *SEFM, Lecture Notes in Computer Science*, vol. 8137, Springer, 2013, pp. 229–243.
- [43] M. Cristiá, D.A. Hollmann, P. Albertengo, C.S. Frydman, P.R. Monetti, A language for test case refinement in the test template framework, in: *ICFEM*, pp. 601–616.